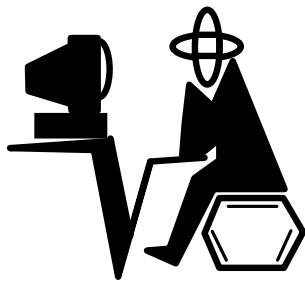


Н.Я. Турова

Неорганическая химия в таблицах



Высший химический колледж Российской академии наук

Москва 1997

ГАЛОГЕНЫ, АСТАТ

1-

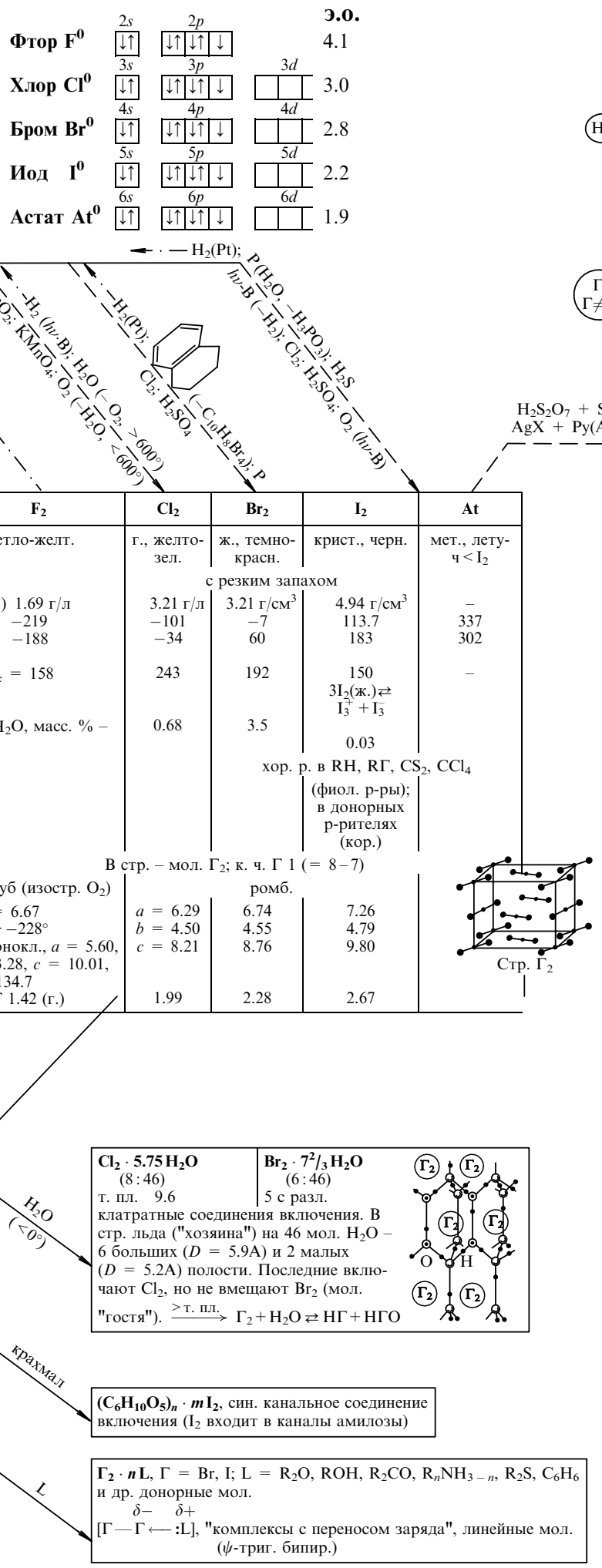
Образование At при радиоактивном распаде:				
$^{238}_{\text{U}}$	$\rightarrow \dots \rightarrow ^{218}_{\text{Po}}$	0.031%	$\beta^- \rightarrow ^{218}_{\text{At}} (\text{"RaAt"})$	$\rightarrow \dots$
α		$\sim 2c$		
$^{235}_{\text{U}}$	$\rightarrow \dots \rightarrow ^{223}_{\text{Fr}}$	0.004%	$^{219}_{\text{At}} (\text{"AcAtI"}) \rightarrow \dots ^{215}_{\text{Po}}$	$0.0005\% \rightarrow ^{215}_{\text{At}} (\text{"AcAtII"})$
α		54 c	α	$\beta^- \quad 10^{-4}\text{ c}$
$^{232}_{\text{Th}}$	$\rightarrow \dots \rightarrow ^{216}_{\text{Po}}$	0.014%	$^{216}_{\text{At}} (\text{"ThAt"}) \xrightarrow{\alpha} \dots$	$3 \cdot 10^{-4}\text{ c}$
Синтез: $^{209}_{\text{Bi}} (\alpha, 2n) \xrightarrow{+60\%} ^{211}_{\text{At}}$ (Серге, 1940); 7.2 ч. $\alpha(40\%)$ (отгоняется от Bi) ⁵¹⁾				
$^{197}_{\text{Au}} (^{12}_{\text{C}}, 4n)$	$\xrightarrow{205_{\text{At}}} \xrightarrow{25 \text{ мин}}$			

Галогеноводороды				
	HF	HCl	HBr	HI
d	г., бц., с резким запахом			
т. пл.	0.92	1.64	3.64	5.79
т. к.	-83	-112	-84	-51
ст. дис. при 1000°	19.5	10 ⁻²	0.5	33
ΔH	10 ⁻¹³	-84	-67	+26
H—G	-271	-92	-34	1.62
μ (г.)	1.00	1.27	1.41	1.62
ε (ж.)	1.91	1.08	0.79	0.42
	84 (0°)	4.6	6.3	—
	(-80°)			
p. в H ₂ O	р-ритель для H ₂ O, MГ, MnO ₃ , M ₂ SO ₄	р-рители для Г ₂ , S _n Г _m , РГ _n		
	40	35	55	70 масс. % иодистово-водородная к.
	плавиковая фтористо-	соляная хлористо-	бромисто-	
	35 (1.12)	20 (1.10)	48 (1.50)	57 (1.71)
	120	110	124	127
	9	93	93	95
	n = 0.25, 0.5 (=[H ₃ O] ⁺ [HF] ⁻); 1 (= [H ₃ O] ⁺ F ⁻)	1, 2, 3, 6 (=[H ₄ O] ₆ ²⁺ C- l ₂) 52)	2, 3, 4	2, 3, 4
Kонц. азеотропа с H ₂ O, масс. % (d ²⁰)				
т. к. азеотропа				
ст. дис. 0.1 н. р-ра, %				
НГ · n H ₂ O				

Галогениды								
MF · HF = M[HF ₂], M = Na, K, NH ₄ анион линейный [F—H...F] ⁻	M[HCl ₂], M = Cs, [NR ₄] ⁵⁰⁾ разл. H ₂ O, M[Cl(HCl) ₄]	[NR ₄][HBr ₂], оч. неуст.	[NR ₄][HI ₂]					
ионные стр.	LiF ↓ 870 NaF 997 KF 857 · 2 H ₂ O; · n HF [*] NH ₄ F возг. CaF ₂ 1419, "флюорит" AlF ₃ 1040	т. пл. 801, "галит" 776, "сильвин" 335, возг., "нашатырь" 782, · n H ₂ O, n = 1, 2, 6	NaCl KCl NH ₄ Cl CaCl ₂	т. пл. 755, · 2 H ₂ O 735 760, · n H ₂ O n = 3, 6	т. пл. 662 686			
Уст. к действию H ₂ O								
ионные стр.	UF ₃ 1495 UF ₄ ↓ 1036 UF ₅ 287 (α), 348 (β)	MgCl ₂ AlCl ₃ VCl ₂ VCl ₃	714, · 6 H ₂ O, "бишофит" 180, возг., · 6 H ₂ O 1350 500, разл., · 6 H ₂ O	MgBr ₂ NbBr ₂ NbBr _{2,6} NbBr ₄	710, · 6 H ₂ O разл. возг. 300, возг.	CaI ₂ MgI ₂ SnI ₂	783 633, разл. 320	
полимерные стр.	UF ₆ 56, возг. XeF ₆ 49 OsF ₆ 33 MoF ₆ 17.5 SeF ₆ -47, возг. PF ₃ -152	крист., жесту- чие ж. ж. ж. ж. ж.	VCl ₄ GeCl ₄ PCl ₃ BCl ₃	<-20 -50 -94 -107, г., т. к. 13	NbBr ₅ (AlBr ₃) ₂ PBr ₃	268 98 -40, ж.	SnI ₄ (AlI ₃) ₂ PI ₃	145, возг. 191 61
пол. стр.	P. в орг. Р-прте- лья + H ₂ O + Э(OH) _n → H ₂ O + F-Xe _n							
) n = 2, 3, 4 ⁵⁰⁾ Cs[XeOF ₄] ₃ F, в центре — тр-к [F [] Xe ₃], F [*] —Xe 2.63 ⁵⁰⁾ ; МГ · n МОН, М = Br, I ⁵⁰⁾							

6

Фтор F ⁰	2s $\downarrow\uparrow$	2p $\downarrow\downarrow\uparrow\downarrow\downarrow$	3d 	4.1
Хлор Cl ⁰	3s $\downarrow\uparrow$	3p $\downarrow\downarrow\uparrow\downarrow\downarrow$	4d 	3.0
Бром Br ⁰	4s $\downarrow\uparrow$	4p $\downarrow\downarrow\uparrow\downarrow\downarrow$	5d 	2.8
Иод I ⁰	5s $\downarrow\uparrow$	5p $\downarrow\downarrow\uparrow\downarrow\downarrow$	6d 	2.2
Астат At ⁰	6s $\downarrow\uparrow$	6p $\downarrow\downarrow\uparrow\downarrow\downarrow$	7d 	1.9

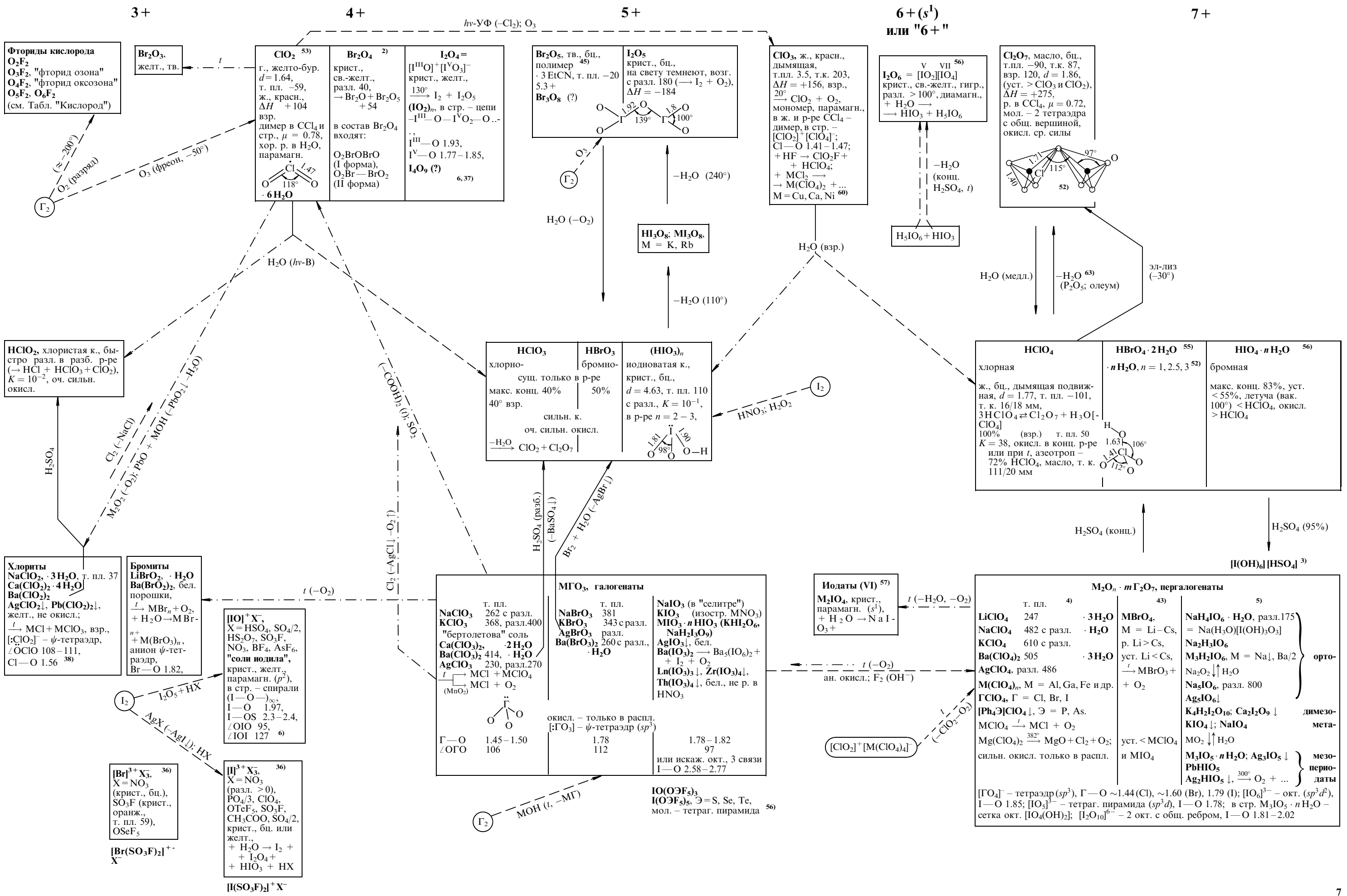


OF ₂	ан. окисл.	
Cl ₂ O ⁵³⁾	г., желто-оранж. с запахом Cl ₂	
Br ₂ O ³⁹⁾	ж., кор. оранж.	
I ₂ O · 4 Py	крист., оранж.	

HF + KF	ан. окисл.	
F ₂	MOH (-MF)	
ΔH	+24	
р. в H ₂ O	6.5	
+ H ₂ O	t	
$\xrightarrow{\text{HgO(CCl}_4, -\text{Hg}_2\text{OCl}_2)}$	+ 80	
$\mu =$	0.3	угловые мол.
O—Г	1.39	1.70
/ГОГ	104	111
		оч. сильн. окисл.
		· 2 H ₂ O
		т. пл. -36

HOCl	фторино-	
HOBr	хлорино-	
HOI	бромино-	
HOI	иодноватистая	
10 ⁻⁵ М	оч. разб. р-ры	
10 ⁻¹¹	(зеленоват.), стабилизир.	
K _{осн} = 10 ⁻¹⁰	иодом	

MOF ¹⁾	LiOCl · H ₂ O, уст	
M = [NO], [SF ₅], [CF ₃], [TeF ₅]	NaOBr · n H ₂ O, n = 5, 7	
	KOBr · 3 H ₂ O, крист., св.-желт.	
	Ca(OCl) ₂ · 3 H ₂ O (т. пл. 86)	
	"белильная известь"	



ИНТЕРГАЛОГЕНИДЫ И ОКСОФТОРИДЫ ГАЛОГЕНОВ

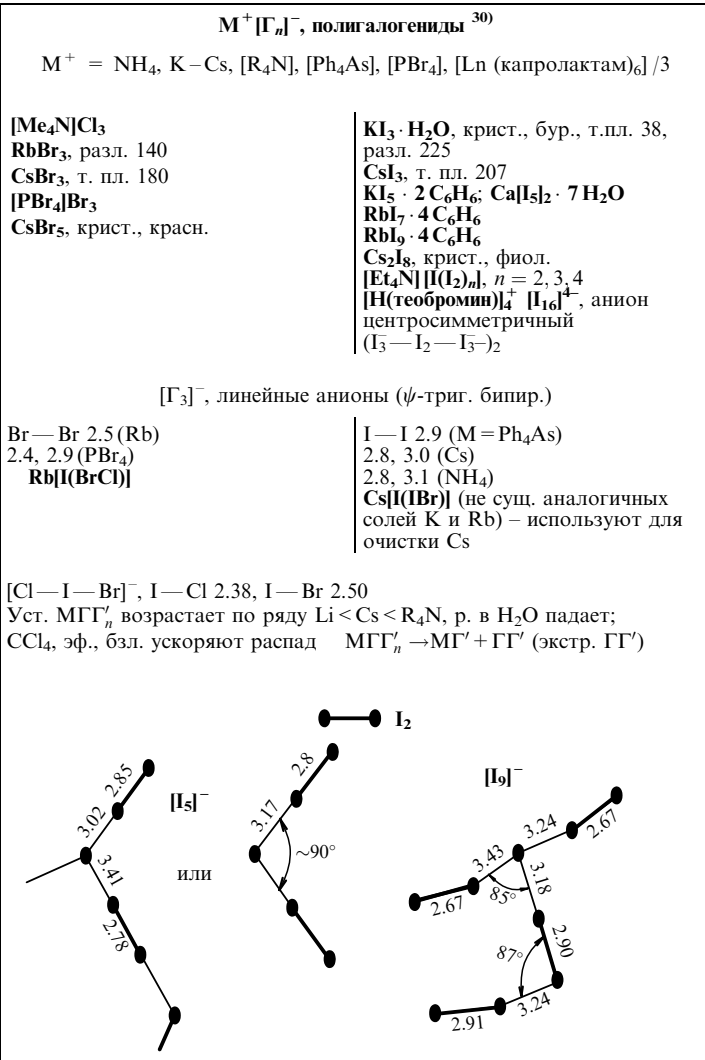
1/n-

0

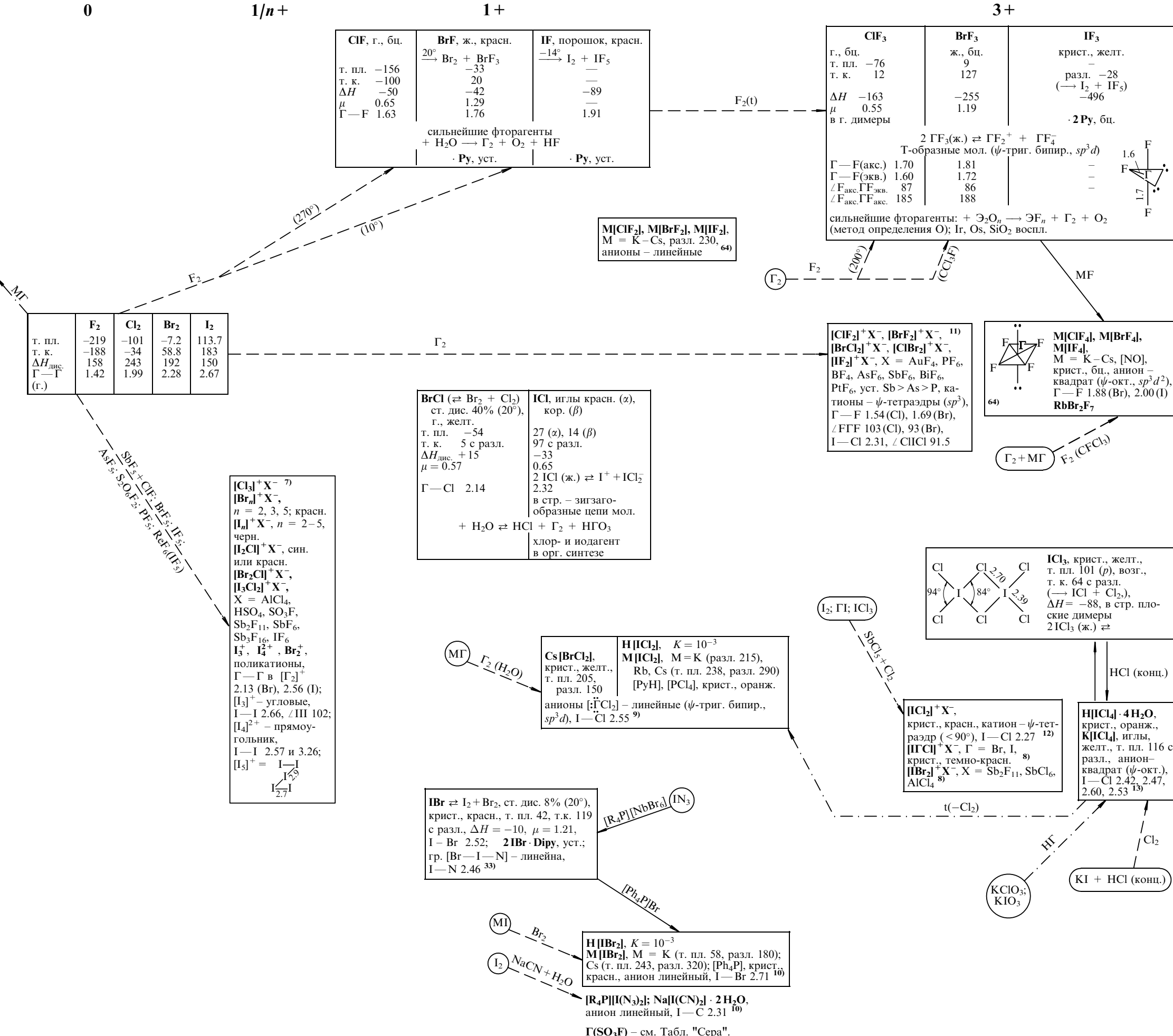
1/n+

1+

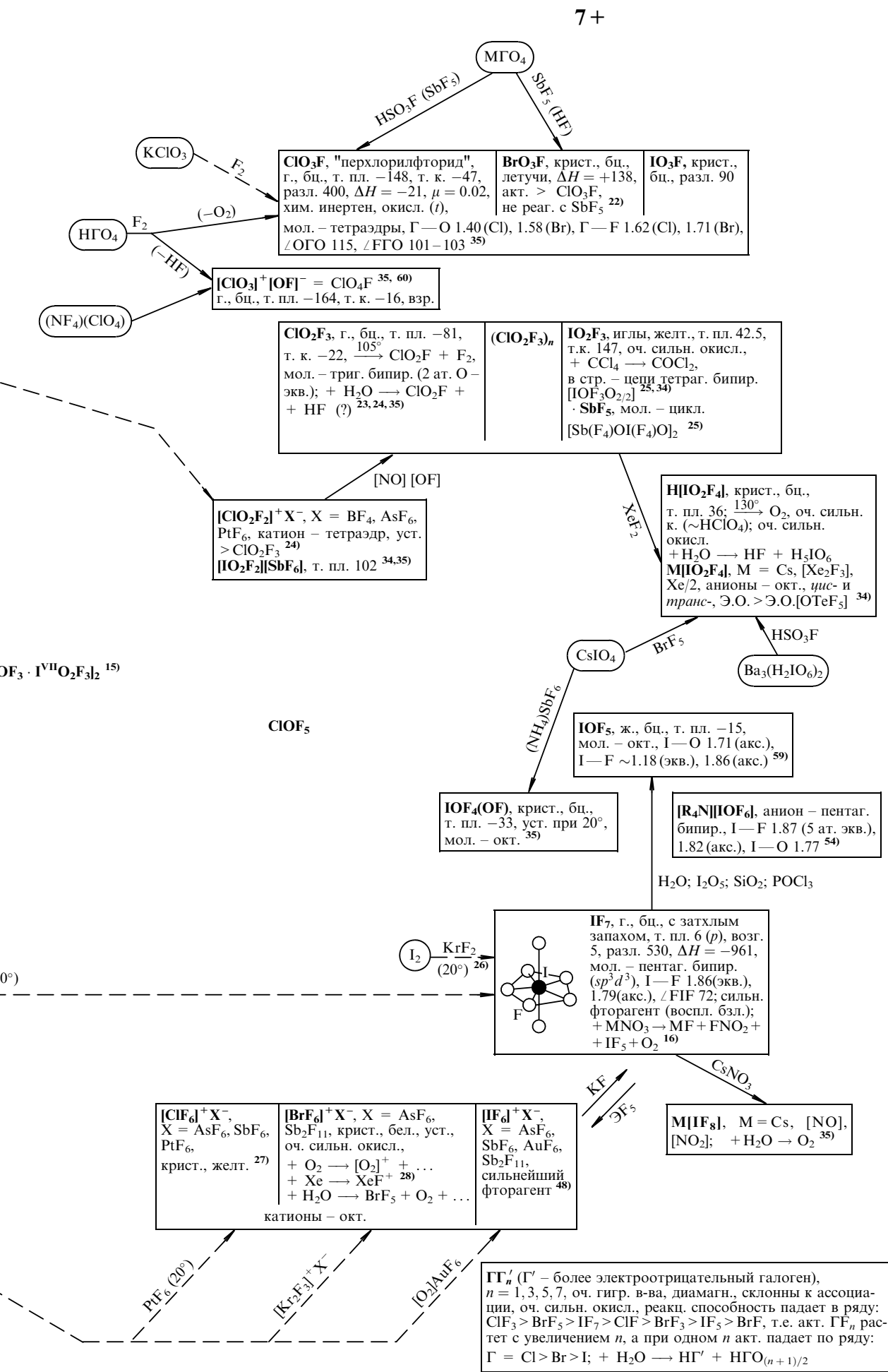
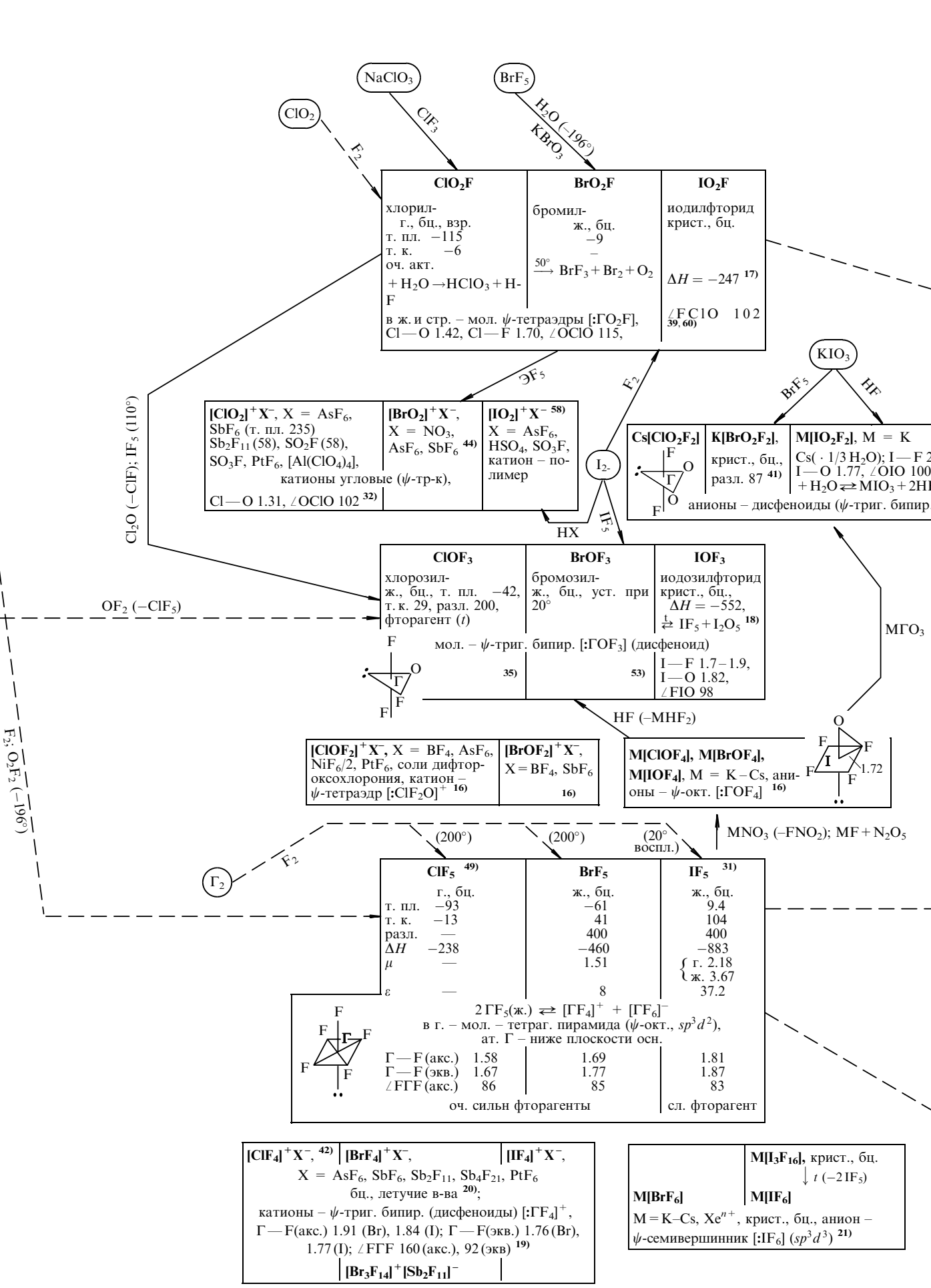
3+



ClH ₃	BrI ₃ ⁵⁷⁾
Мол. – Т-образные (ψ -триг. бипир.)	
Cl – I 1.58, 1.70	Br – I 1.73, 1.81



5+



1 -

1/3-

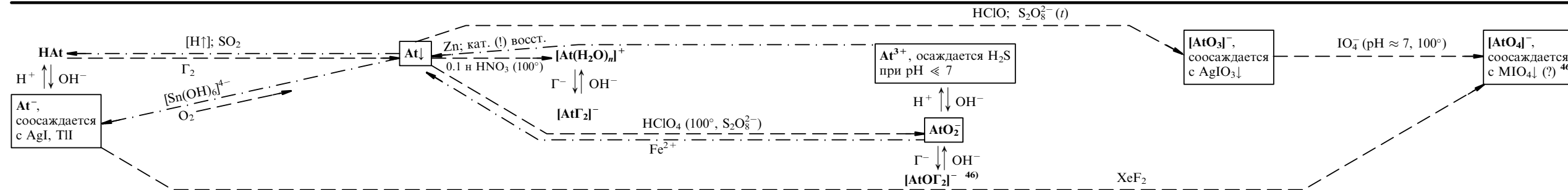
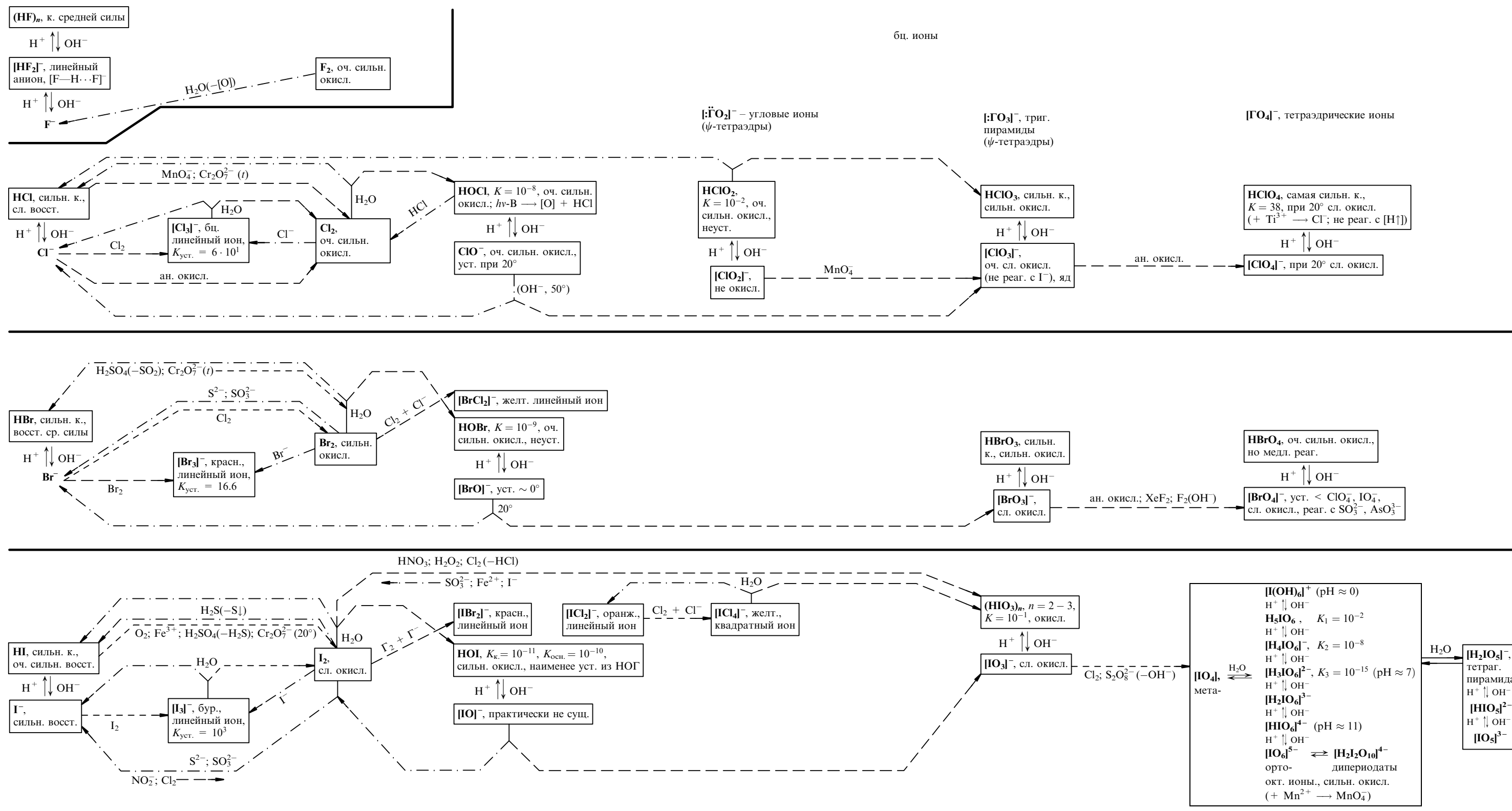
0

1+

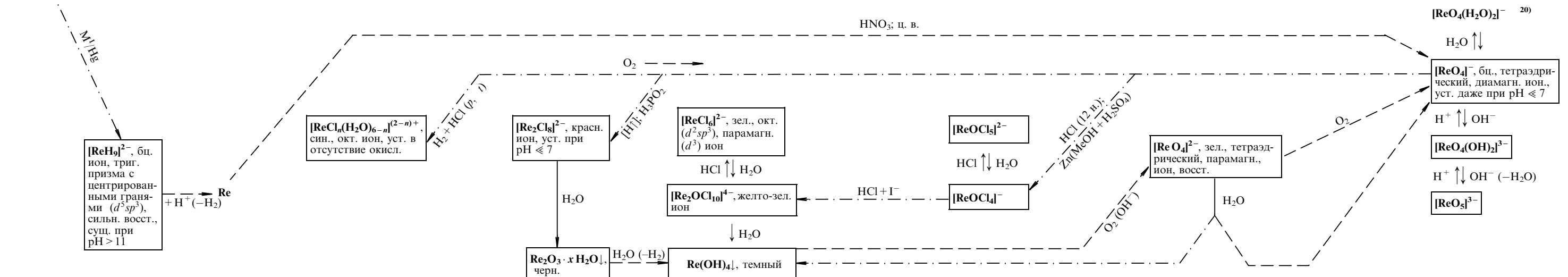
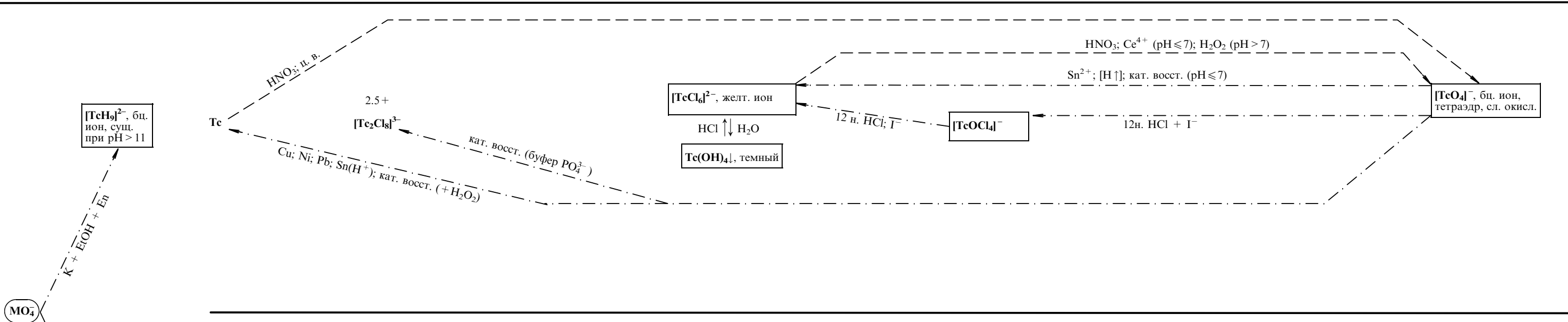
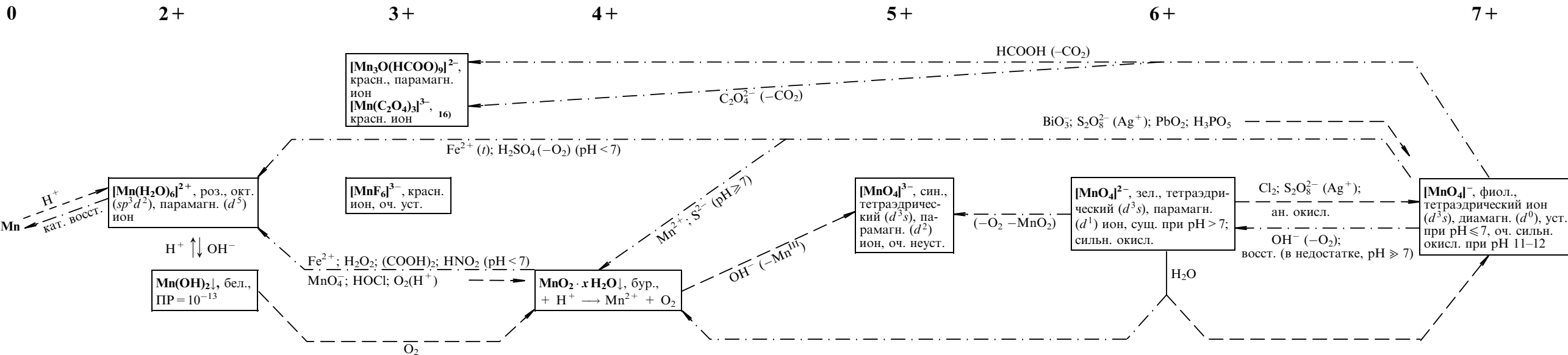
3+

5+

7+

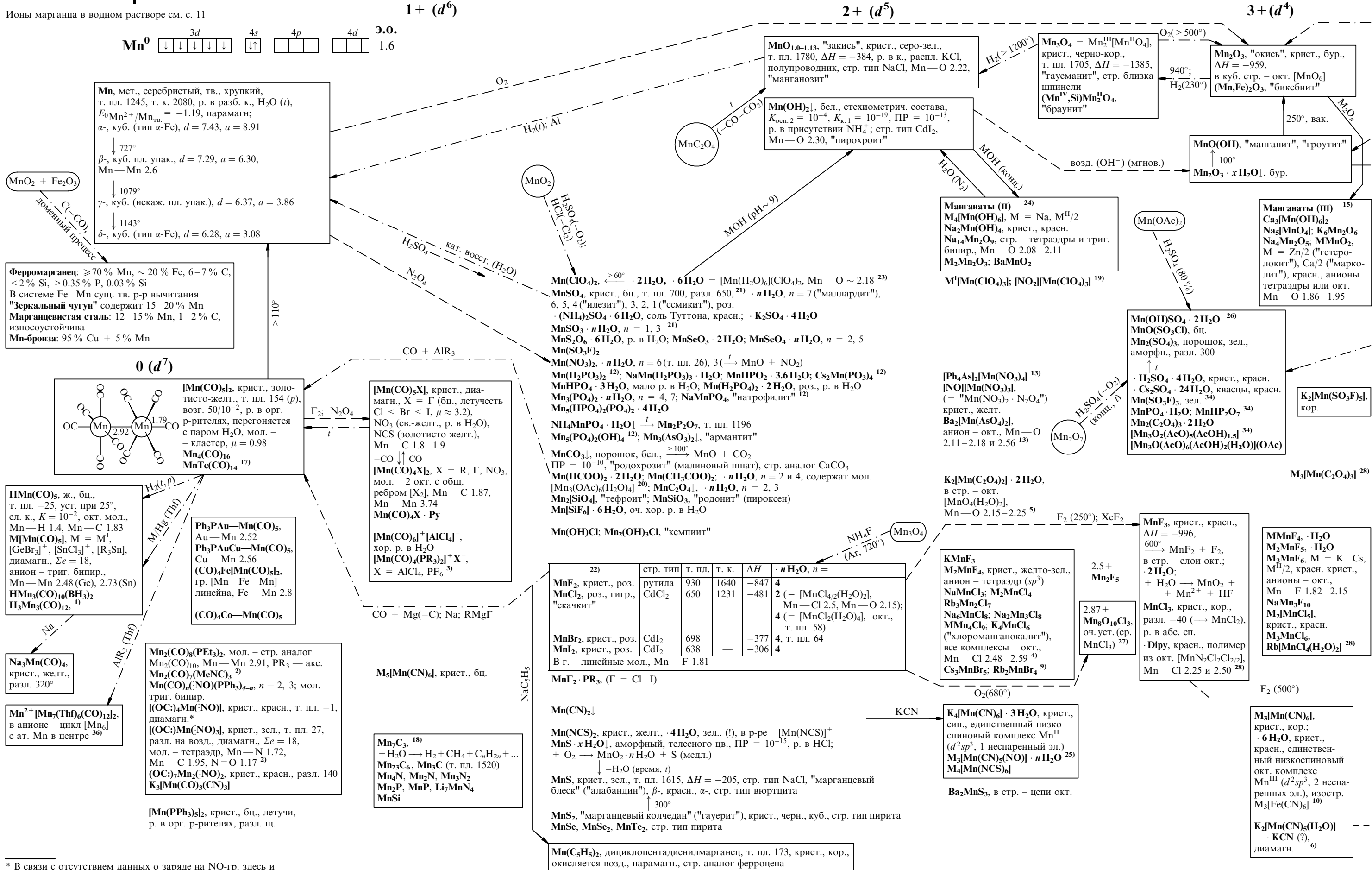


ИОНЫ МАРГАНЦА, ТЕХНЕЦИЯ И РЕНИЯ В ВОДНОМ РАСТВОРЕ

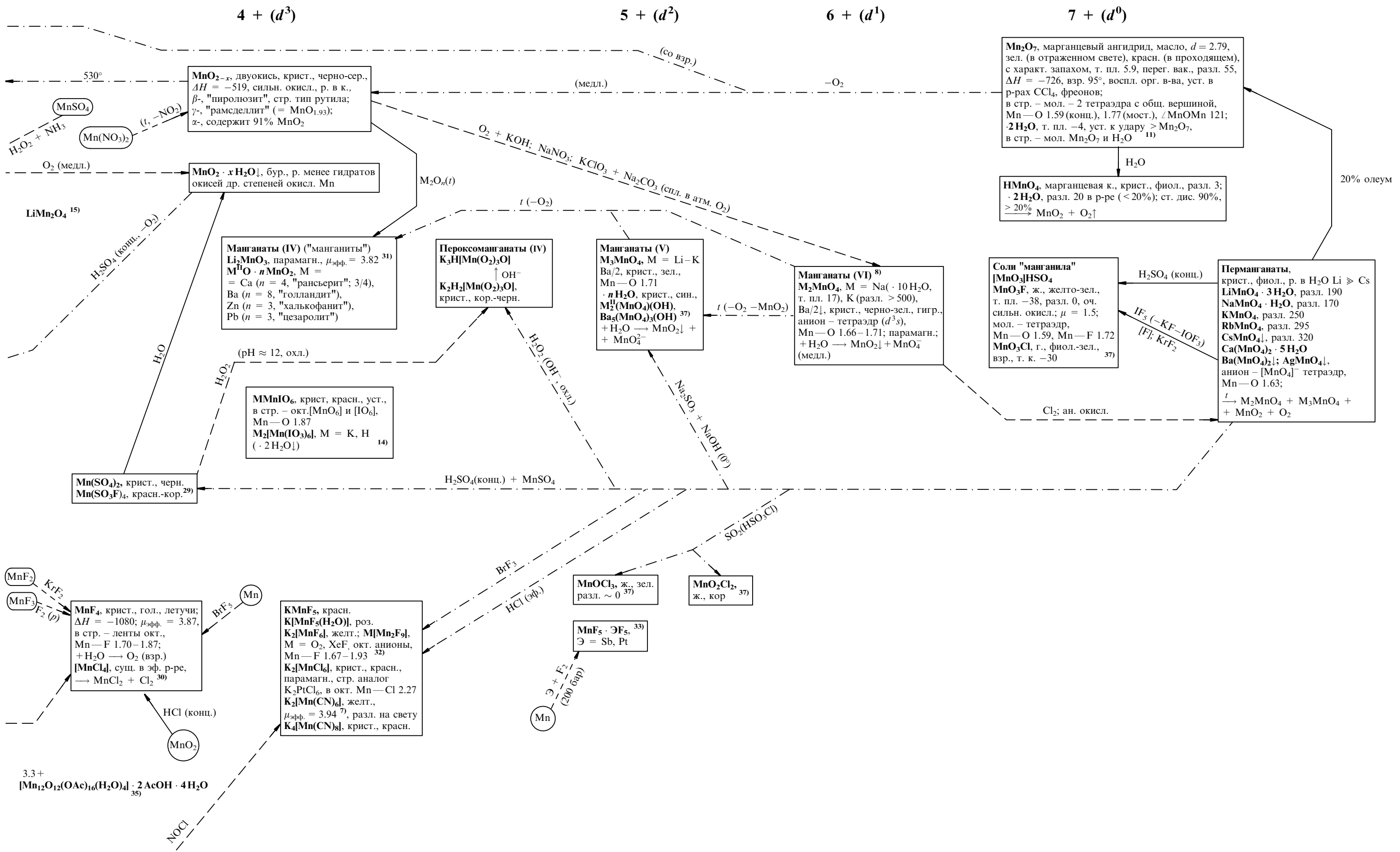


МАРГАНЕЦ

Ионы марганца в водном растворе см. с. 11

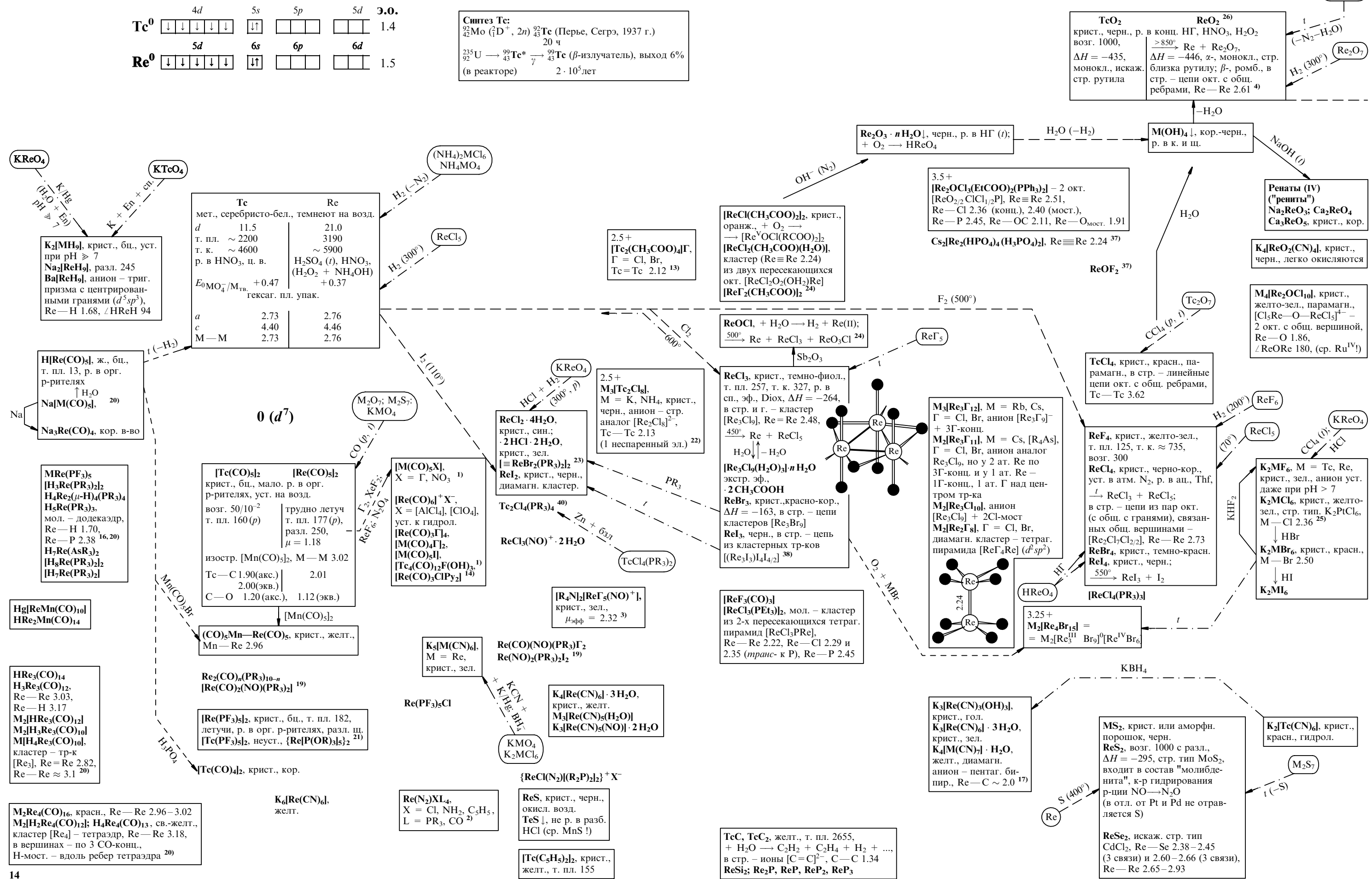


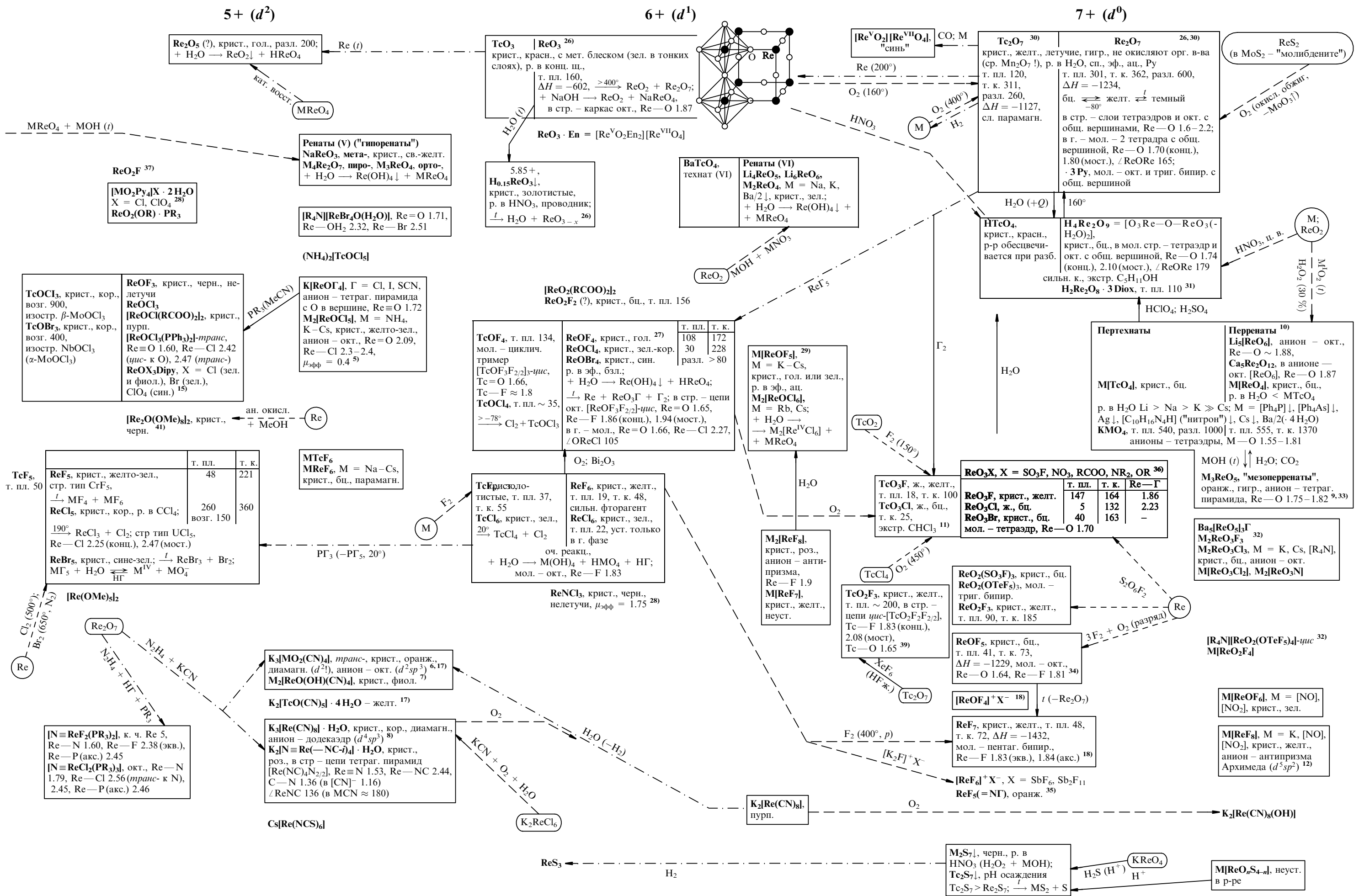
* В связи с отсутствием данных о заряде на NO-гр. здесь и в дальнейшем степень окисления центрального атома вычислена в предположении $(NO)^0$.



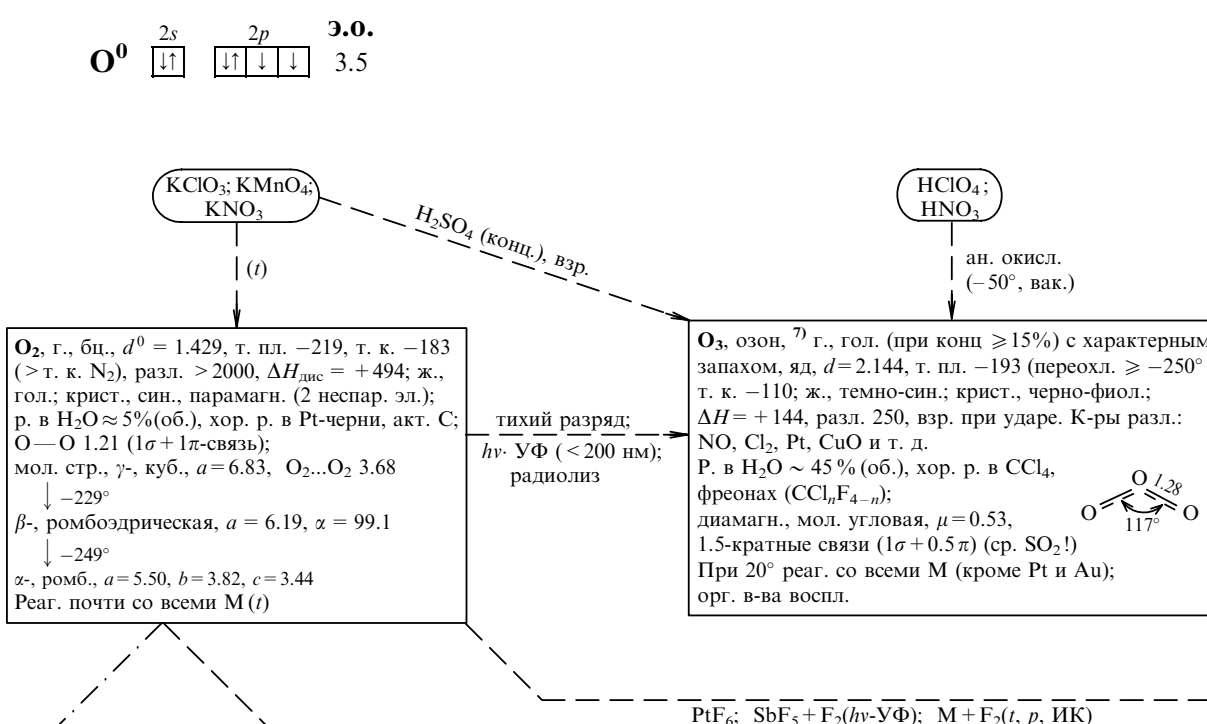
ТЕХНЕЦИЙ, РЕНИЙ

Ионы Тс и Re в водном р-ре см. с. 11





КИСЛОРОД



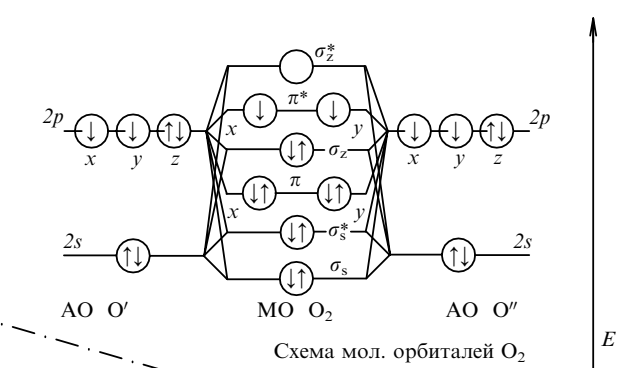
"1/2+"

"2/3+"

"1+"

"2+"

	Число валентных эл.	Число связей	$\text{O}-\text{O}$	$\nu_{\text{O}-\text{O}}, \text{cm}^{-1}$	Число неспаренных эл.
$[\text{O}_2]^{2-}$	14	$1\sigma_z$	1.50	880	0
$[\text{O}_2]^-$	13	$1\sigma_z + 0.5\pi = 1.5$	1.33	1089	1
O_2	12	$1\sigma_z + \pi = 2$	1.21	1555	2
$[\text{O}_2]^+$	11	$1\sigma_z + 1.5\pi = 2.5$	1.13	1825 – 1864	1



$[\text{O}_2]^+ \text{X}^-$, X = $[\text{BF}_4]$, $[\text{M}^{\text{IV}}\text{F}_6]$ (M = Mn, Ni), $[\text{E}^{\text{V}}\text{F}_6]$ (E = P – Bi, Nb, Ta, Au, Ru, Rh, Pt), $[\text{E}_2\text{F}_{11}]$ (E = Sb, Bi, Nb, Ta). **соли оксигенила**, крист., бц. (окрашены за счет аниона), уст. $[\text{O}_2]\text{[E}\text{F}_6]$ растет по ряду Э: P(разл -80) < As > > Sb(разл. 13) << Pt(возг. 100); $\text{H}_2\text{O} \xrightarrow[t]{\text{F}_2}$ $\text{O}_2 + \text{F}_2 + \text{ЭF}_2$; сильнейшие окисл.; + $\text{Xe}, \text{Rn} \xrightarrow[20^\circ]{\text{F}_2} [\text{XeF}_6]^+ [\text{E}\text{F}_6]^- + \text{O}_2$ (очистка атм. от Xe^*, Rn^*); $[\text{O}_2]\text{[PtF}_6]$ изостр. KPtVF_6 ; парамагн. катион (1 неспаренный эл., см. схему мол. орбиталей), $\text{O}-\text{O} 0.96 – 1.13$ ($1\sigma + 1.5\pi$ -связь), $\nu_{\text{O}-\text{O}} 1825 – 1864$ 4)

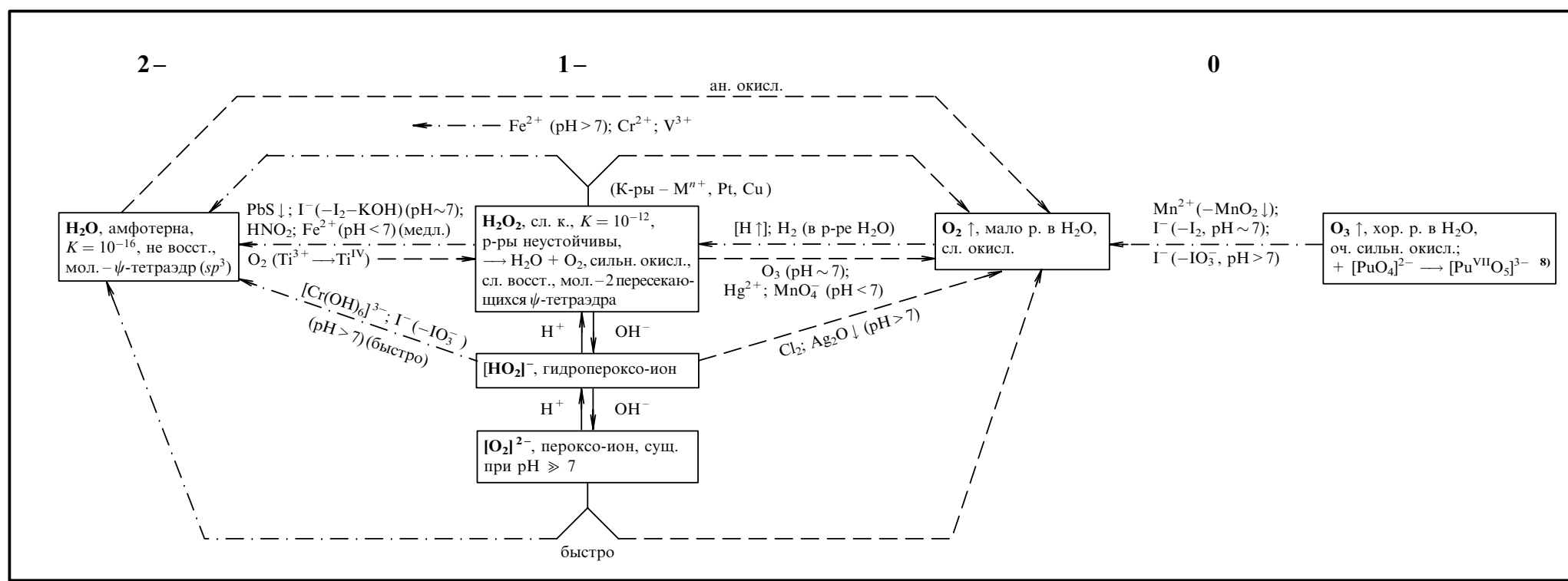
O_6F_2 (?), крист., красн., разл. -213 ($\rightarrow \text{O}_3$, взр. 14)

$\text{O}_4\text{F}_2 = \text{F}-(\text{O})_4-\text{F}$ (?), "фторид оксозона", крист., красно-кор., т. пл. -199, взр. 14)

" O_3F_2 " = $\text{O}_4\text{F}_2 + \text{O}_2\text{F}_2$ (?), "фторид озона", ж., красн., т. пл. -189, т. к. ≈ -179 (вак.), 14 разл. -160, $\Delta H = +25$, парамагн.

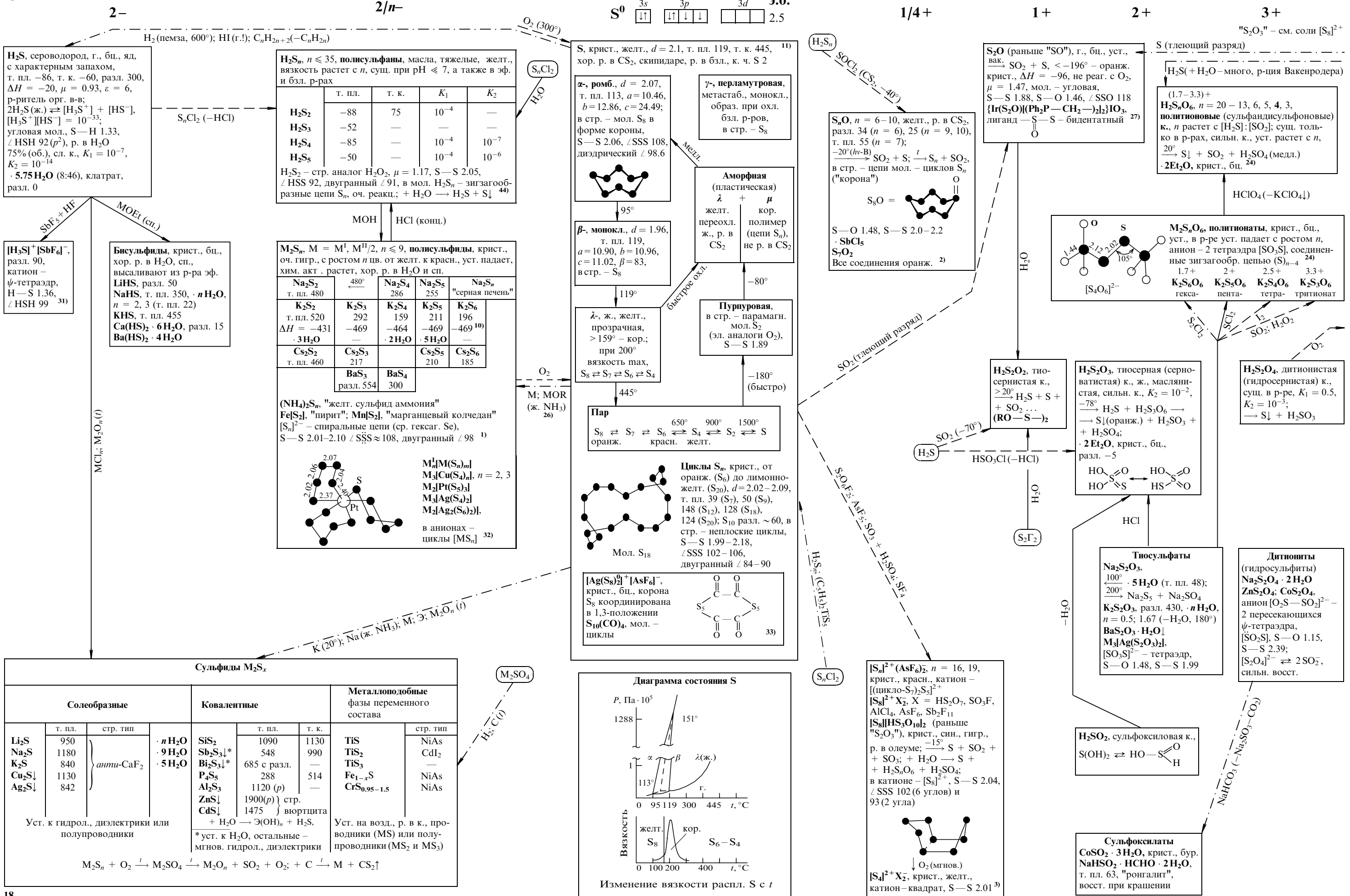
O_2F_2 , крист., оранж., т. пл. -163, т. к. -57, т. разл -100, $\Delta H = +21$, мол. – стр. аналог H_2O_2 , $\text{O}-\text{F} 1.58$, $\text{O}-\text{O} 1.22$ ($\sigma + \pi = 2$ связи), $\angle \text{FOF} 110$, двугранный $\angle 87.5$, сильнейший окисл. и фторагент 14)

OF_2 , г., бп., яд., т.пл. -224, т. к. -145, разл. 200, $\Delta H = +25$, угловая мол., F—O 1.40, $\angle \text{FOF} 103$, $\mu = 0.30$, сильнейший окисл. и фторагент, р. в $\text{H}_2\text{O} - 6.5\%$ (об.) при 0°, разл. щ.; + $\text{H}_2\text{O} \xrightarrow[t]{\text{F}_2}$ $\text{O}_3 + \text{O}_2 + \text{HF}$ (взр.); + $\text{OH}^- \rightarrow \text{H}_2\text{O} + \text{O}_2 + \text{F}^-$; + $\text{HF} \rightarrow \text{F}_2 + \text{HF} + \text{H}_2\text{O}$; + $\text{Xe} \rightarrow \text{XeF}_2 + \text{XeOF}_2$

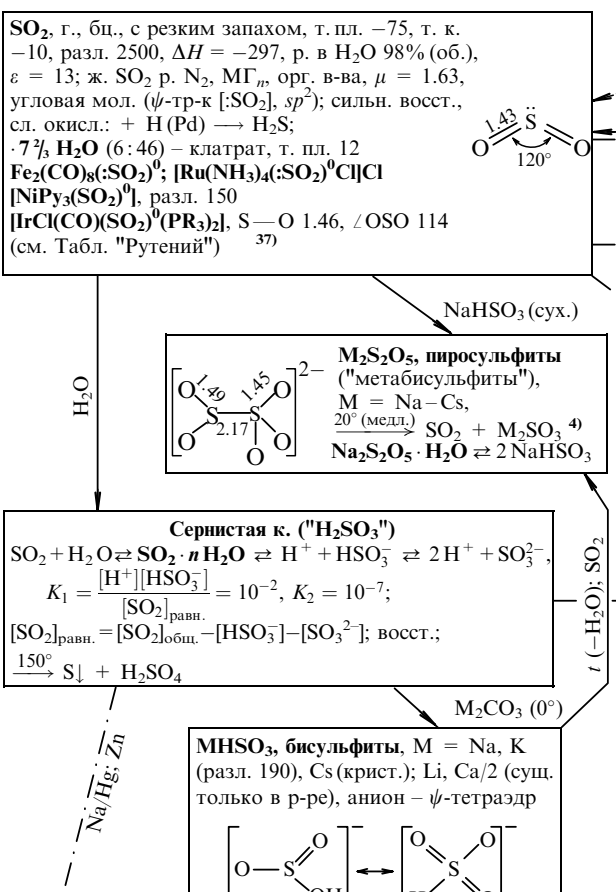


Окислы (типы структур)			
Ионные	Молекулярные	Полимерные	Металлоподобные
т. пл. Li₂O 1570	т. пл. Cl₂O₇ -90	т. к. Mn₂O₇ 5.9 разл.	т. пл. т. к. MnO_{1.0-1.13} , т. пл. 1780, полупроводник
стр. тип. CaO 2614	мол. – 2 тетраэдра с общ. вершиной	тип. виртцита Al₂O₃ , 2072 ~3500	NbO_{0.94-1.04} , с мет. блеском, проводник, искаж. тип NaCl, окт. кластер [Nb ₆], Nb – Nb 2.80
BaO 1923	мол. – тетраэдр встр. – циклы [SeO ₃] ₄ (α)	тип. корунда (α) TiO₂ 1870 ~3000	полупроводник, т. пл. 2080., искаж. стр. рутила NbO₂ , полупроводник, т. пл. 2580, 4260
+ $\text{H}_2\text{O} \rightarrow \text{M}(\text{OH})_2$	+ $\text{H}_2\text{O} \rightarrow \text{O}_2\text{O}_n \cdot x \text{H}_2\text{O}$	тип рутила.	W₁₈O₄₉ – в стр. – слои кластеров [W ₆]
He pear c H_2O			

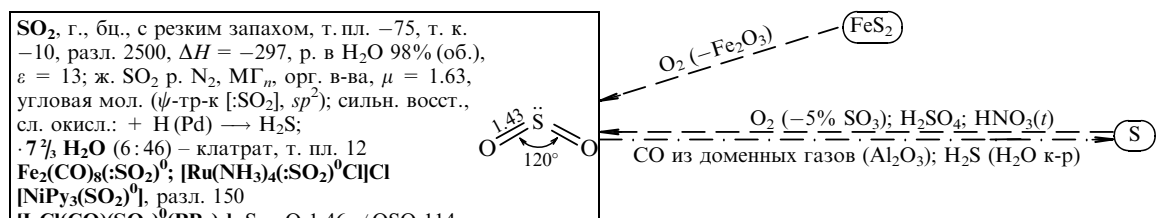
СЕРА



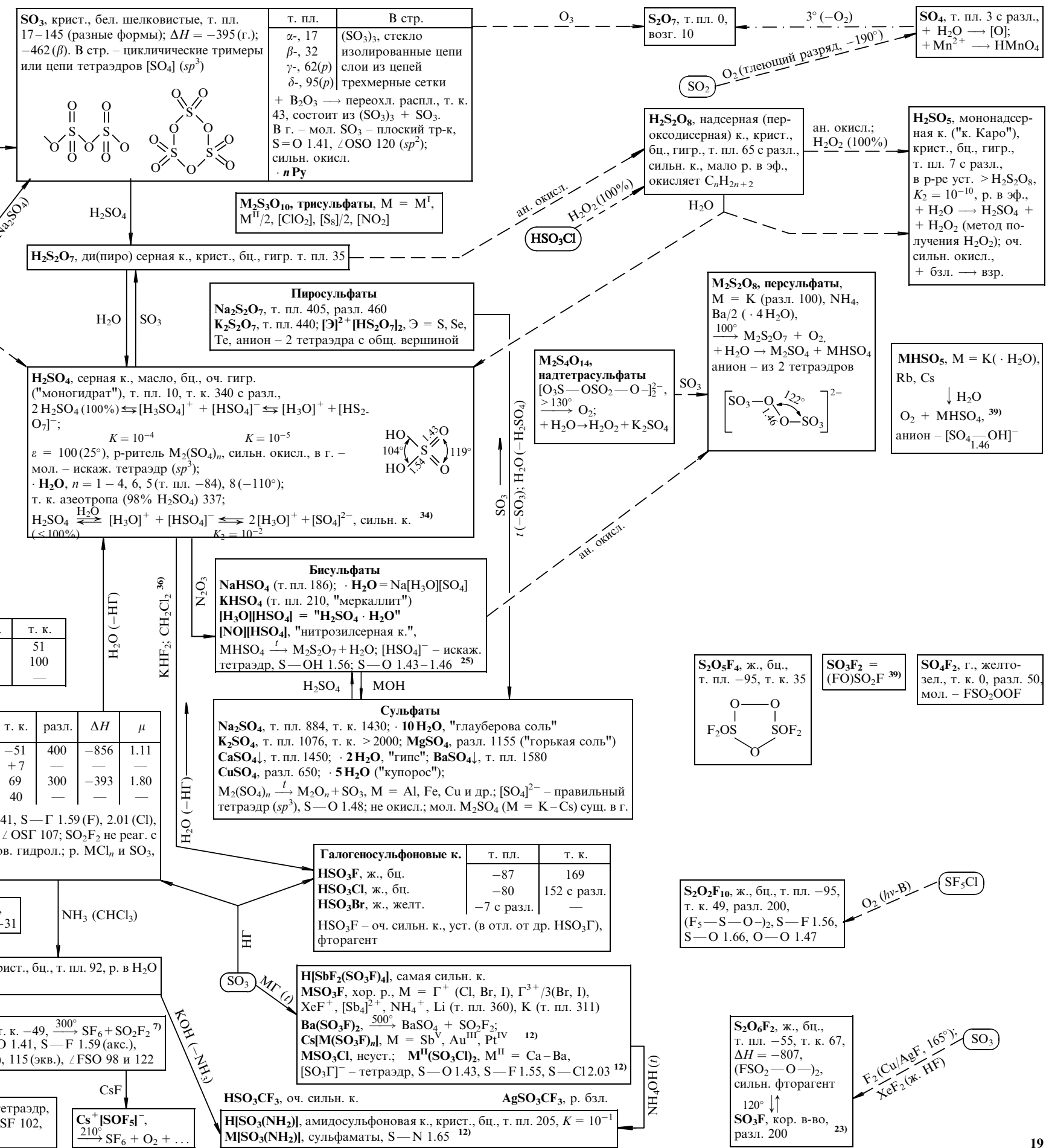
4+



5+



6+

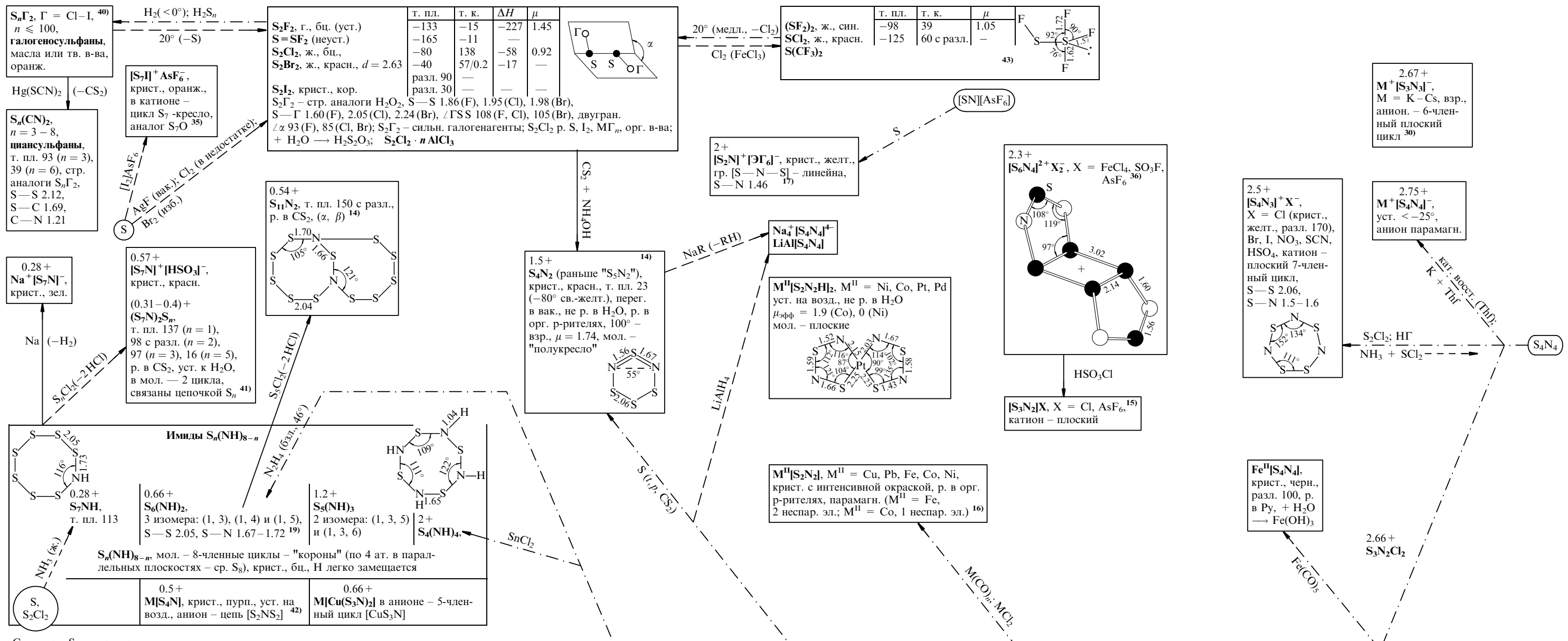


ГАЛОГЕНИДЫ, НИТРИДЫ, ГАЛОГЕНО- И ОКСОНИТРИДЫ СЕРЫ¹³⁾

1/n +

1 +

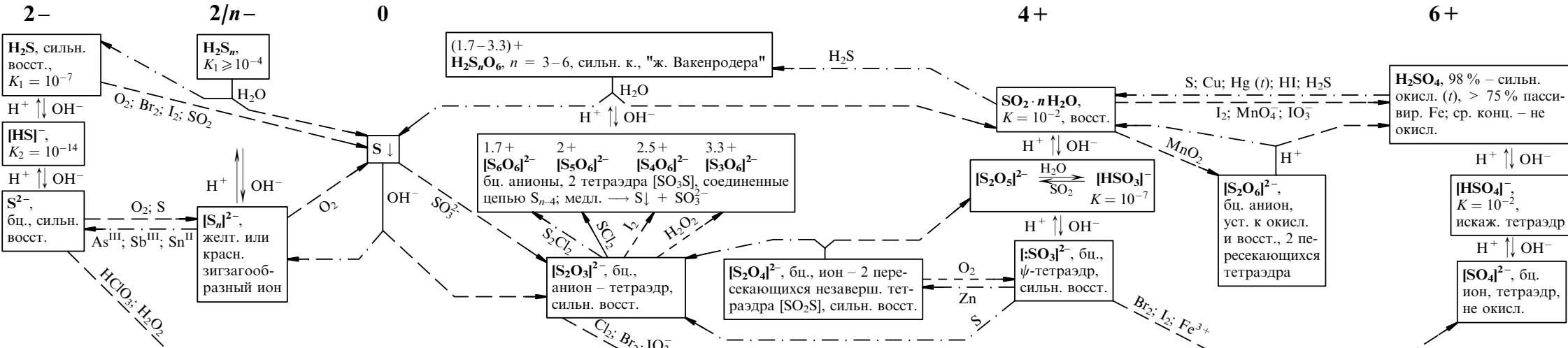
2+



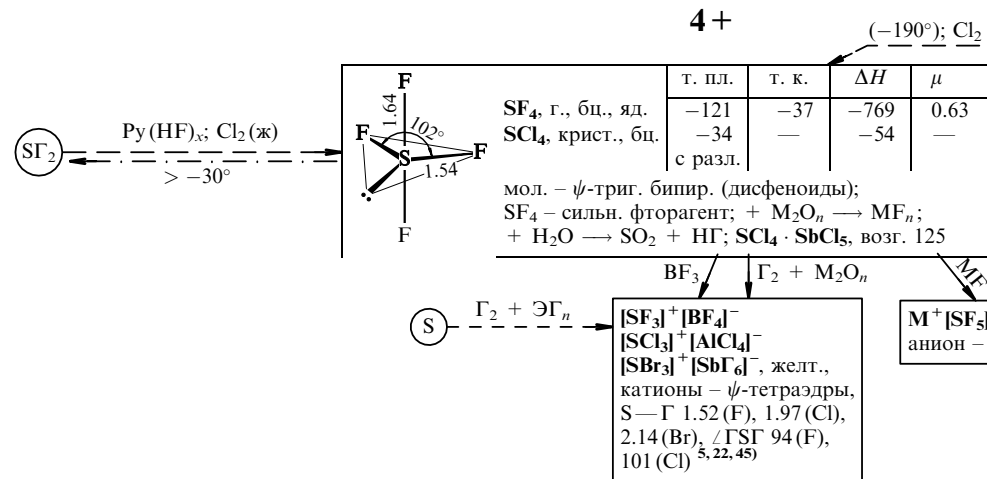
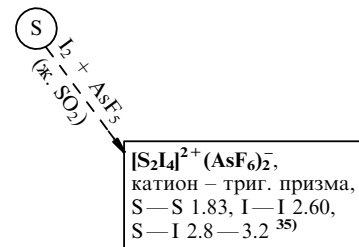
Ст. окисл. S вычислена в предположении формальных ст. окисл. N 3- и H 1+

ИОНЫ СЕРЫ В ВОДНОМ РАСТВОРЕ

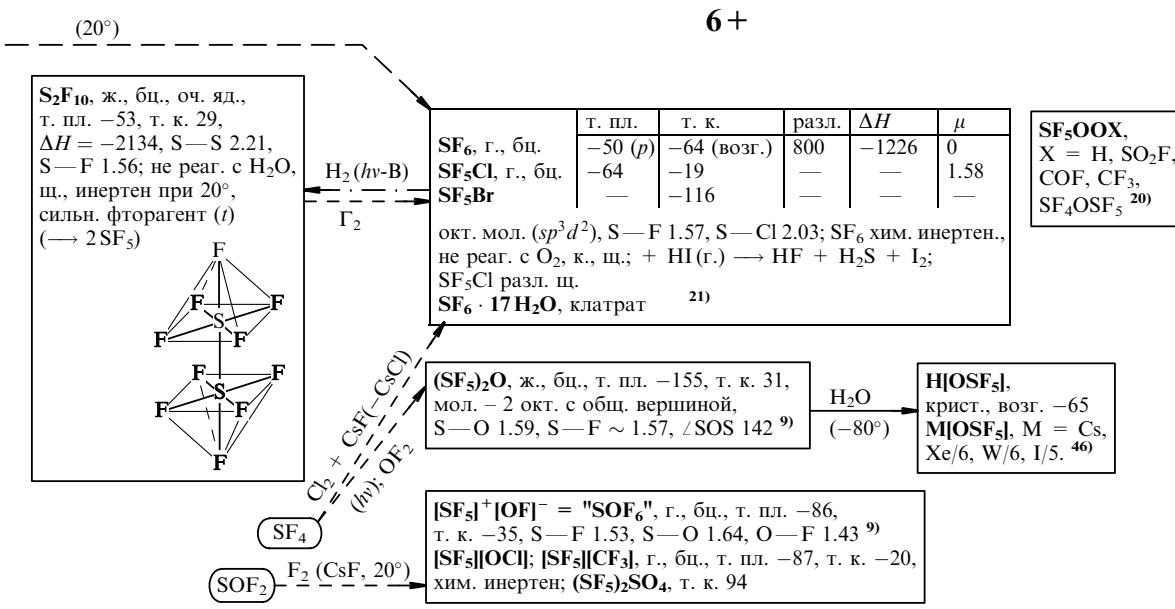
Классификация катионов по растворимости сульфидов (M_2S_n)				
M^{n+}	$\Pi P_{M_2S_n}$	p-ритель M_2S_n	Осадитель M_2S_n	
Li – Cs	—	H_2O	—	
Mg – Ba	—	H_2O ($S^{2-} \rightarrow HS^-$)	—	
Mn, Fe, Co, Ni, Zn	$10^{-16} - 10^{-26}$	1 н. HCl ($S^{2-} \rightarrow H_2S$)	$(NH_4)_2S$	
Ag, Cu, Cd, Hg, Sn ^{II} , Pb, Bi	$10^{-28} - 10^{-72}$	HNO_3 ; и. в. ($S^{2-} \rightarrow SO_4^{2-}$)	H_2S	
As, Sb, Sn ^{IV} , V ^V , Mo, W	$10^{-28} - 10^{-72}$	$(NH_4)_2S; NaOH$ $M_2S_n \downarrow + S^{2-} \rightarrow [MS_x]^{m-}$ $M_2S_n \downarrow + OH^- \rightarrow$ $\rightarrow [MS_x]^{m-} + [MO_x]^{m-}$	H_2S	



3+

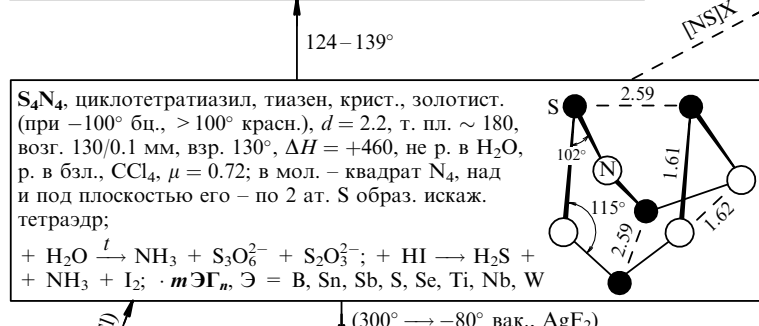


5+

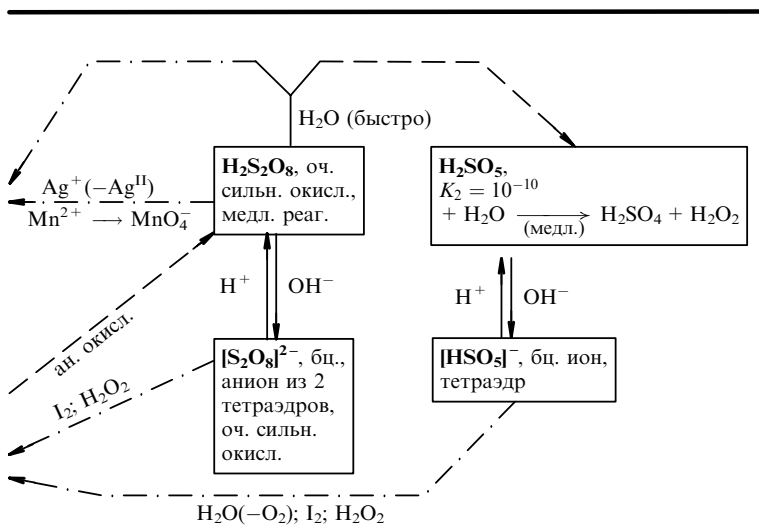
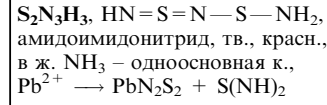
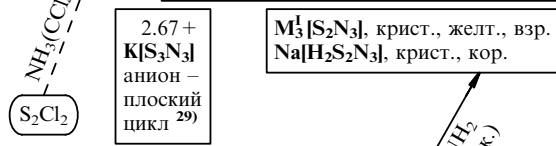
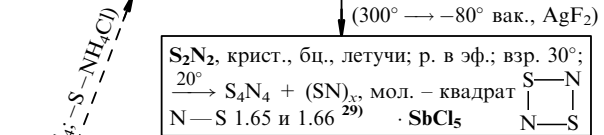


(SN)_x, политиазил, золотистые волокна (син. в тонких слоях), взр. ~ 240°, возг. вак. 135, не р. в H₂O и орг. р-рителях, медл. разл. щ., в стр. – зигзагообр. цепи, S–N 1.59 и 1.63; $\angle NSN$ 119.9, $\angle NSN$ 106.2; парамагн., проводник (делокализация π-эл. вдоль цепи)²⁸

$\cdot n\Gamma_2$ ($n = 0.04$ –0.4) – канальные соед. включ., проводники

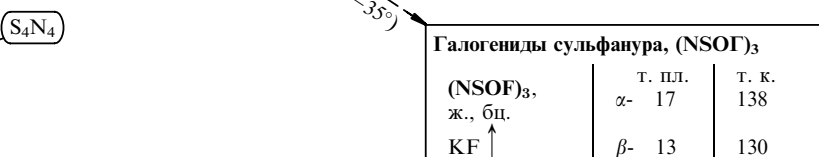
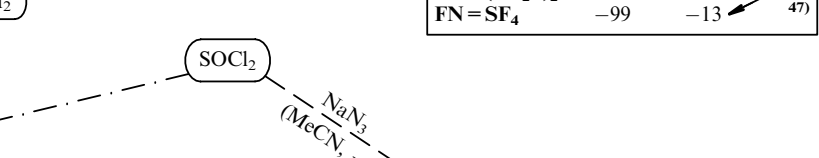
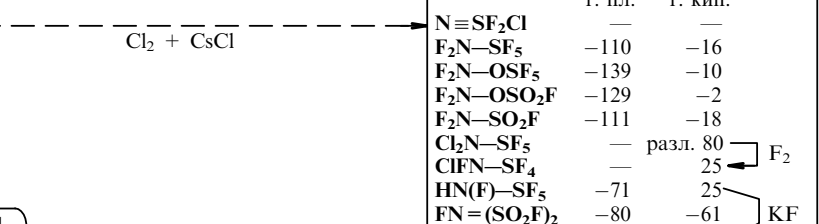
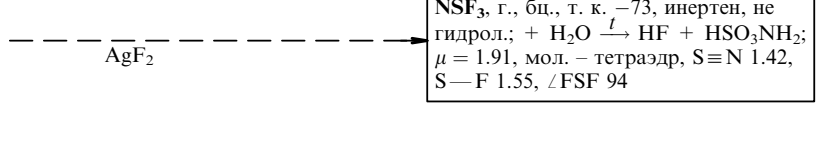
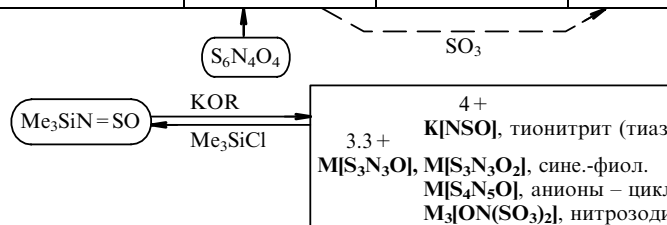
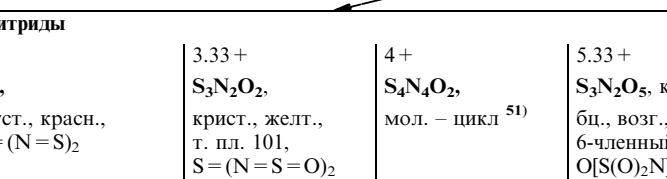
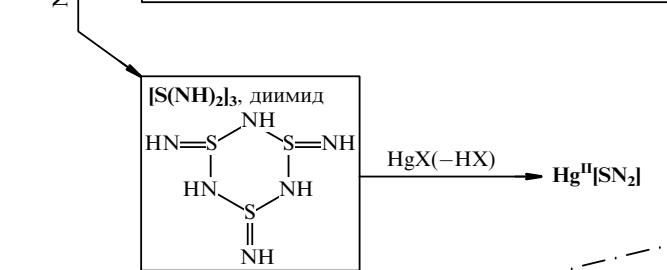
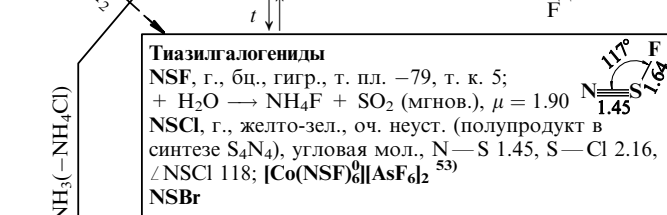
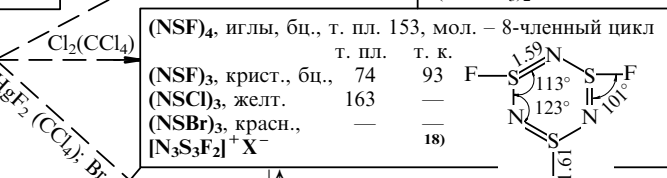


3.6+
 S_5N_6 , крист., желт., взр., возг. 45/10²₅₅
мол. – корзинка

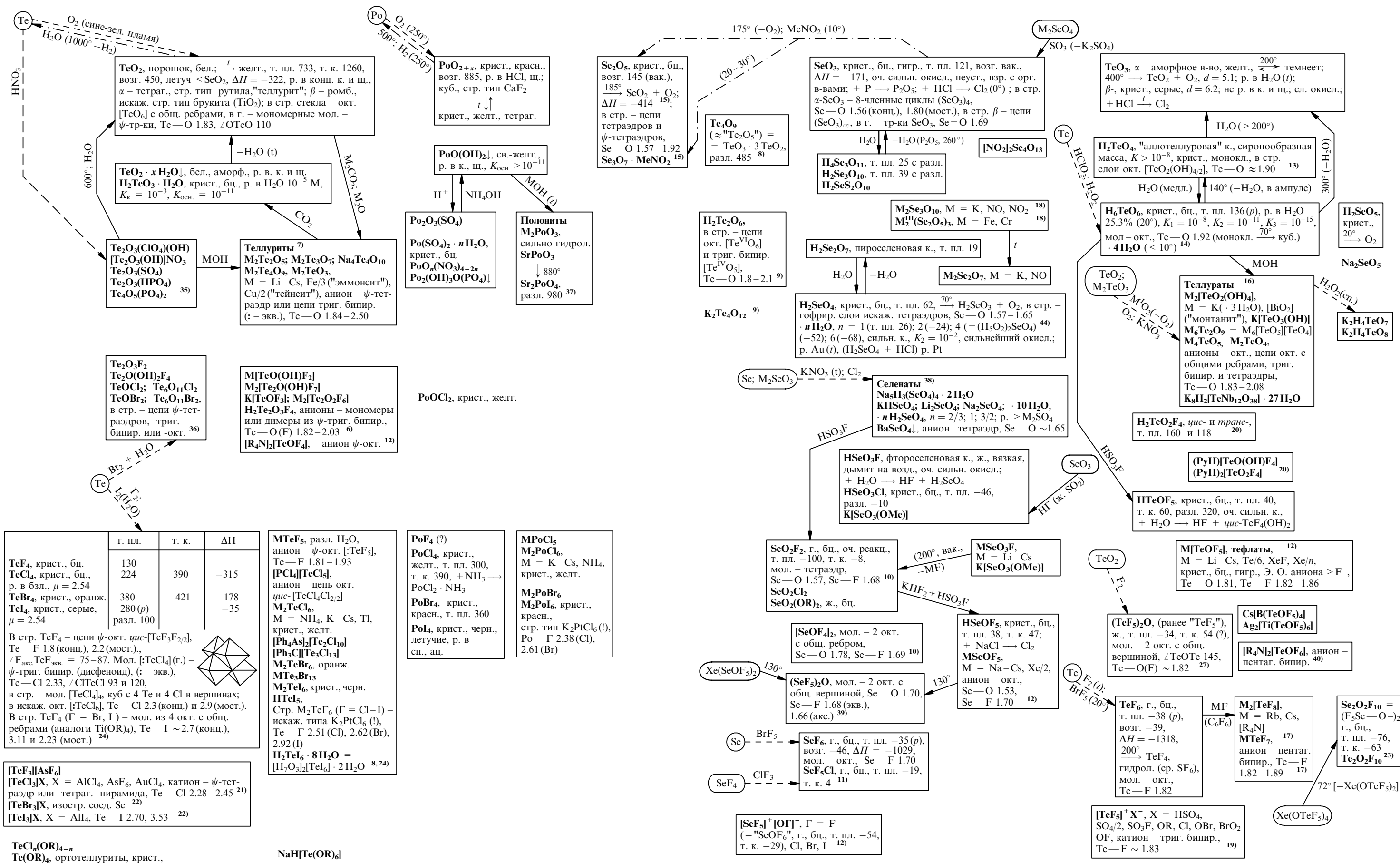


3.2+
 $[S_5N_5]^+X^-$
3.5+
 $[S_4N_4]^{2+}X_2^-$ – соли тиазила; катионы – плоские, 10- или 8-членные циклы, S–N ~ 1.5

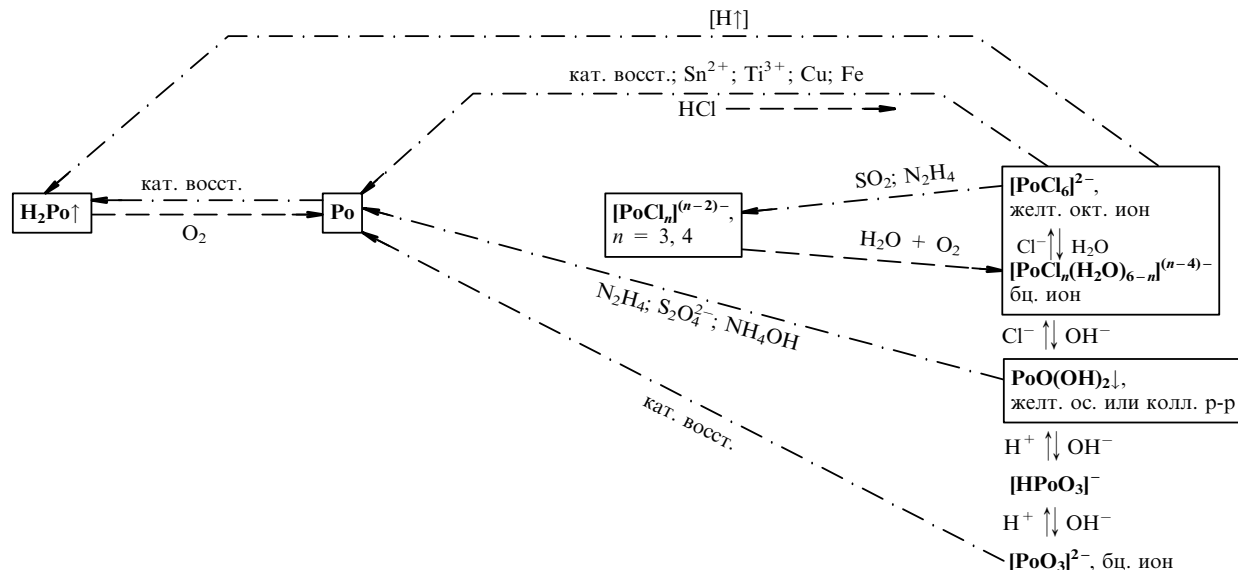
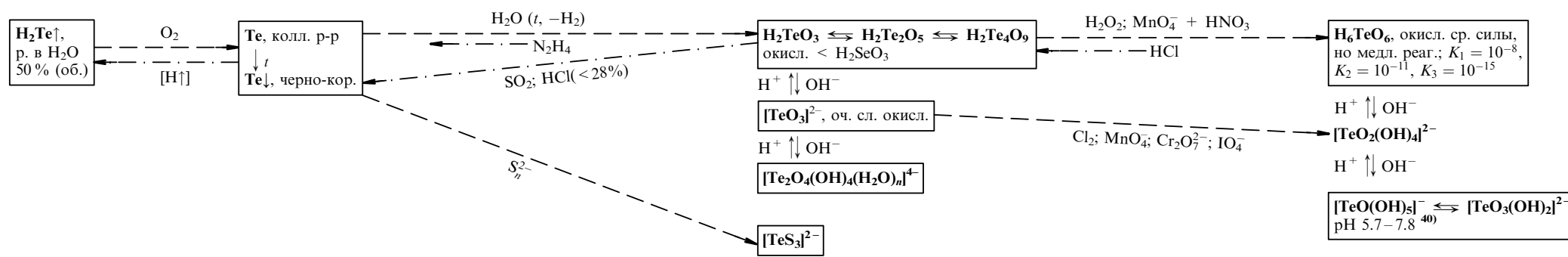
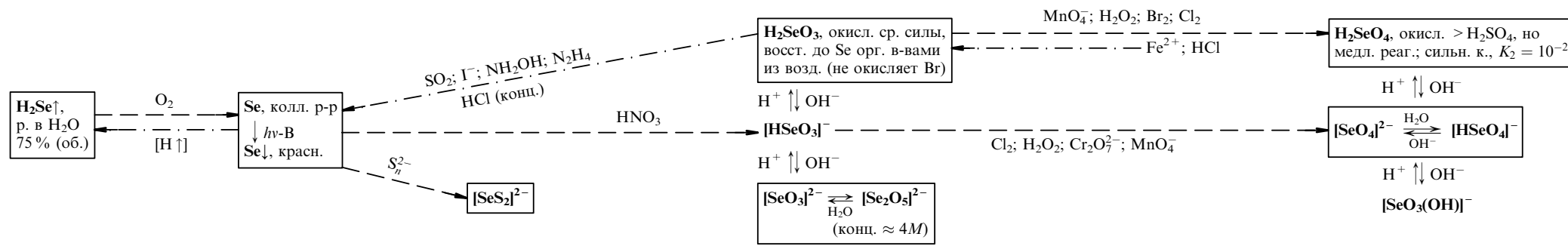
50)

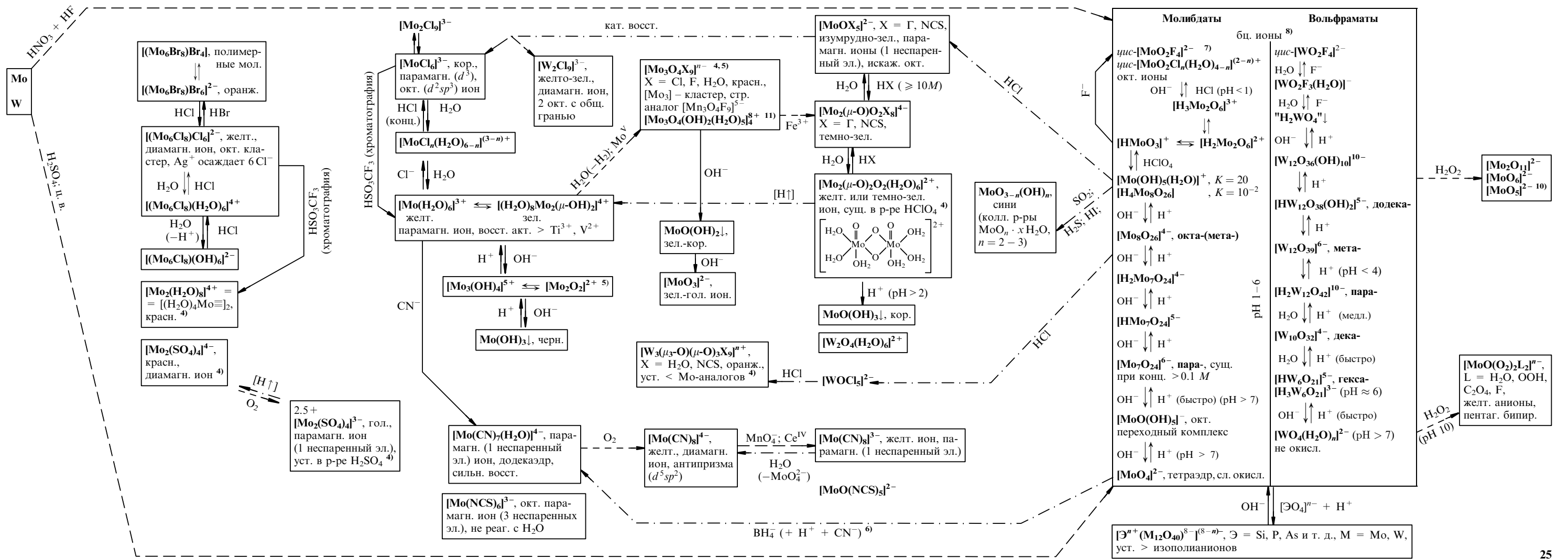
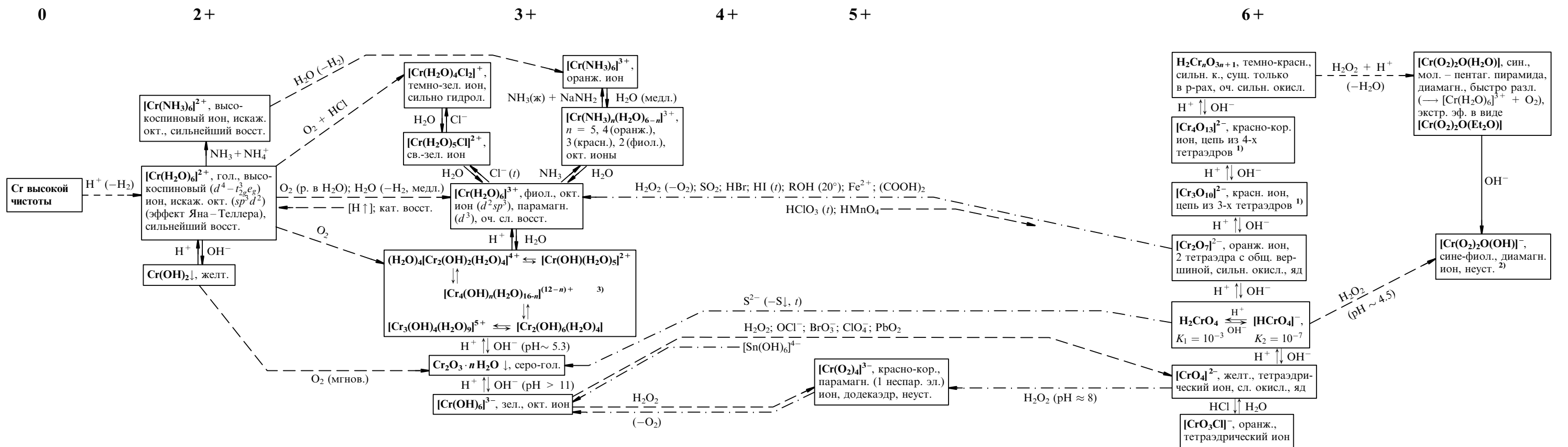


SF₅OOX,
X = H, SO₂F,
COF, CF₃,
SF₄OSF₅²⁰

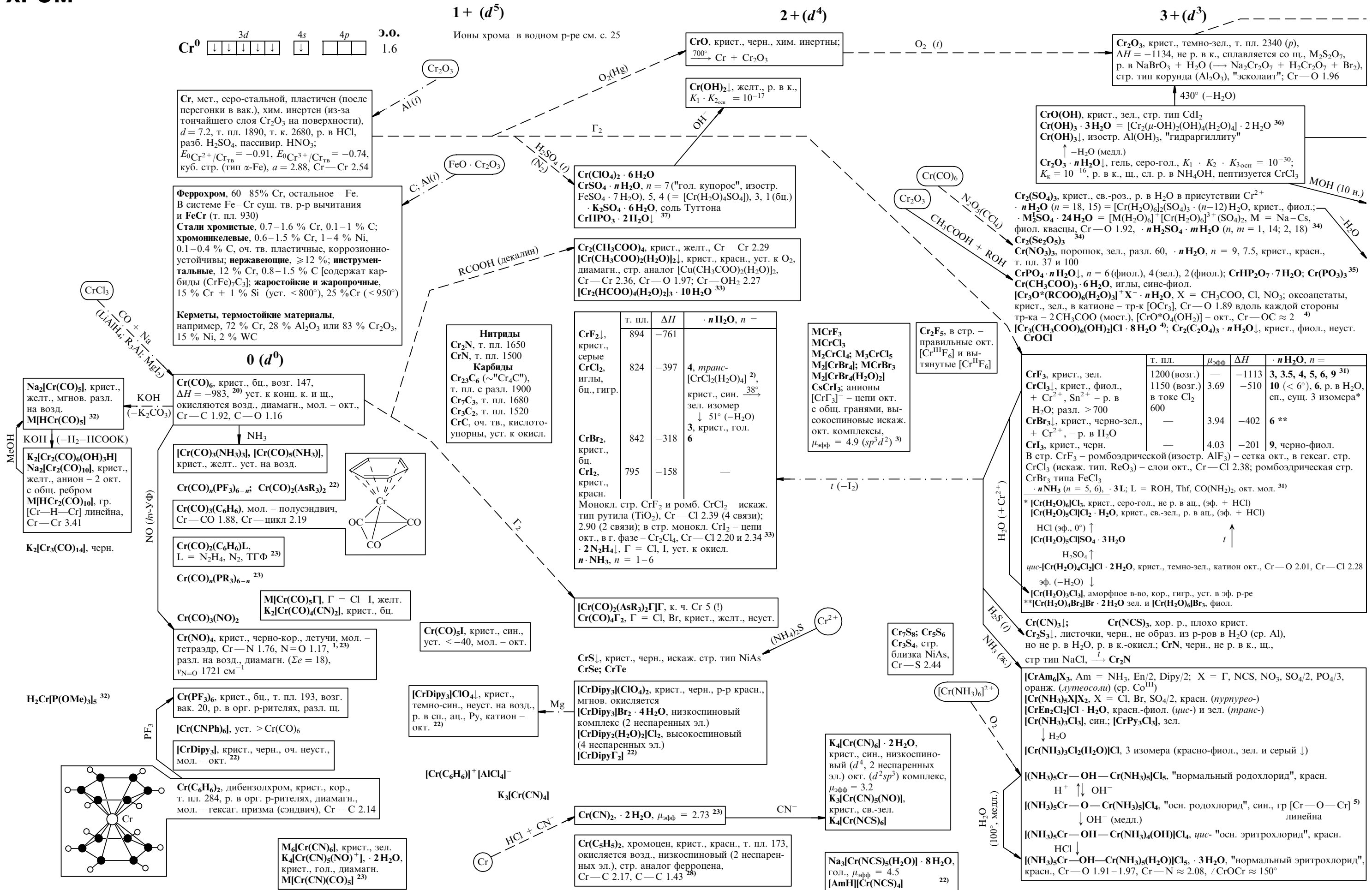


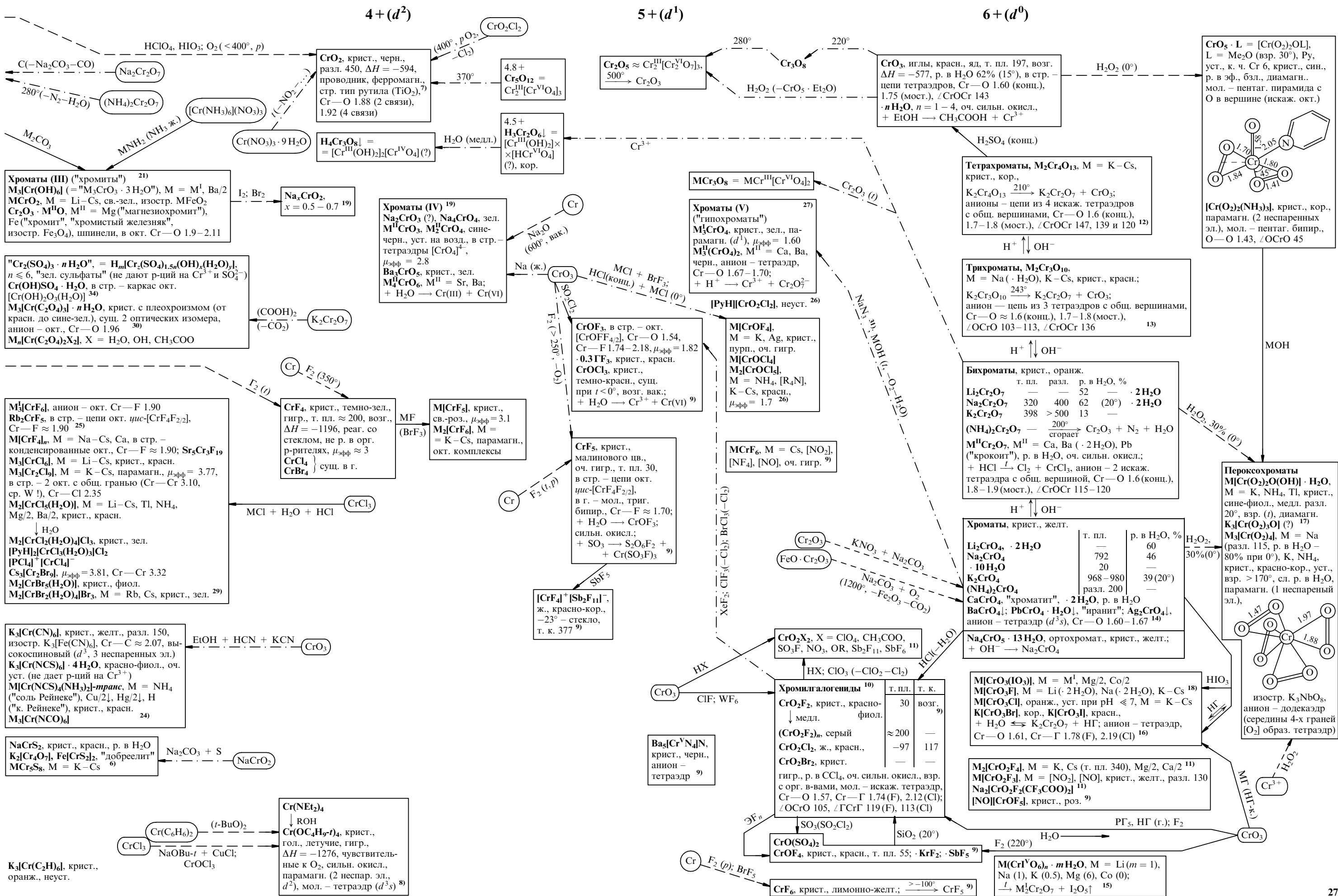
2- 0 2+ 4+ 6+





XPOM





МОЛИБДЕН, ВОЛЬФРАМ

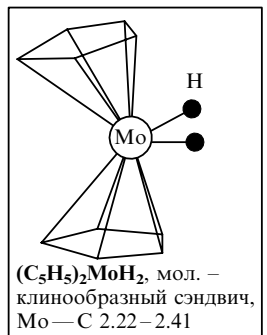
Mo⁰		W⁰	
	3.0.		1.3

Ионы Mo и W в водном р-ре см. с. 25

$\text{WH}_6 \cdot 2\text{PMe}_2\text{Et}$,
крист., бц.,
т. пл. 112 с разл.,
хор. р. в орг.
р-рителях

$[\text{R}_4\text{N}]^+ \text{HM}_2(\text{CO})_{10}$,
в анионе – линейная
гр. [M—H—M]
 $[\text{R}_4\text{N}]_2[\text{W}(\text{CO})_{10}]^{33}$

$\text{Na}_2[\text{M}_2(\text{CO})_{10}]$,
крист., желт.
 $\text{Na}_2[\text{Mo}_3(\text{CO})_{14}]$,
черн. ³³⁾



Mo	W
мет., серовато-бел.	
d 10.2	19.3
т. пл. 2620	3420
т. к. ~4630	5680
р. в конц. H_2SO_4	(HF + HNO_3)
пассивир. конц. HNO_3	оч. сл. р. в ц. в.
легко р. в распл. ($\text{KNO}_3 + \text{NaOH}$)	
$E_0 \text{M}^{3+}/\text{M}_{\text{TB}}$ –0.20	–0.15
$E_0 [\text{MO}_4]^{2-}/\text{M}_{\text{TB}}$ –1.05	–1.05
куб. (тип α -Fe)	
a 3.14	3.16
M – M 2.80	2.80

Ферромолибден	Ферровольфрам
≥ 55 % Mo,	65–80 % W,
1–2 % Si,	0.4–1 % Si,
≤ 0.1–0.2 % C,	0.2–0.7 % Mn,
0.1–0.2 % P, S,	0.3 % Cu, 0.5 % C,
остальное – Fe.	0.1 % S и P,
В системе Mo–Fe	остальное – Fe.
сущ. тв. р-р вычи- тания, Mo_6Fe_7 и Mo_2Fe_3 , (т. пл. 1540 и 1480)	В системе Fe–W сущ. тв. р-р вычи- тания, W_6Fe_7 и WFe_2 (т. пл. 1640 и 1046)

Инструментальные стали – быстрорежущие: 17.5–18.5 % W, а также Cr, V, C, Mn, Si.
"Победит", 80–87 % W, 6–15 % Co, 5–7 % C.

0 (d^0)

$\text{M}(\text{CO})_6$ крист., бц., возг. вак. 30–50,
т. к. 156 (Mo), 175 (W), разл. ≈ 120,
 $\Delta H = -979$ (Mo), 961 (W) ²²⁾, р. в орг.
р-рителях, не р. в к. и щ., мол. – окт.,
M – C 2.13 (Mo), 2.3 (W); C – O 1.15

$\text{K}[\text{M}(\text{CO})_5\Gamma]$ ⁴⁵⁾

$\text{Mo}(\text{CO})_6\text{L}_{6-n}$, L = Py, ER_3 , ECl_3
(E = P–Sb, Sn Γ_4 , MeCN, DipY/2 ¹)

$\text{M}(\text{PF}_3)_6$, крист., бц., возг. вак. 40,
т. пл. 196 (Mo), 214 (p, W), не р. в H_2O ,
разл. щ.

$\text{W}[\text{P}(\text{OMe})_3]_6$ ²)

$[\text{M}(\text{N}_2)_2(\text{PR}_3)_4]_{\text{щис}}$ ²)
 $[\text{M}(\text{N}_2)_2(\text{R}_2\text{P} – \text{CH}_2 –)_2]_2$,
щис- и транс-, крист., оранж.,
уст. на возд., мол. – окт.,
(N_2)_{акс}, N≡N 1.103;
+ EtOH + KOH → NH₃ + ...
+ i-PrOH → N₂H₄ + ...
 $\text{MH}_2\text{Cl}_2(\text{PR}_3)_4$

$\text{M}(\text{C}_6\text{H}_5)_2$, мол. – сэндвич
 $\text{Mo}(\text{C}_6\text{H}_5)(\text{PPh}_3)_2$
↓ N₂
 $[(\text{C}_6\text{H}_5)\text{Mo}(\text{PPh}_3)_2\text{N} \equiv \text{I}]_2$

$(\text{C}_6\text{H}_5)\text{Mo}(\text{CO})_3$ ⁴⁴⁾
($\text{C}_6\text{H}_5\text{Mo}(\text{C}_6\text{H}_6)$)

3.0.

1.3

1.4

2 + (d^4)

2 + (d^4)

3 + (d^3)

3 + (d^3)

4 + (d^2)

4 + (d^2)

$\text{Mo(OH)}_3 \downarrow$

чern.,

плохо р. в к.

$\text{Mo(OH)}_3 \downarrow$

чern.,

плохо р. в к.

$\text{MoO(OH)}_2 \downarrow =$
= $\text{H}_2\text{Mo}_5\text{O}_7(\text{OH})_8$,
оливково-зел.,
сл. р. в щ.
(→ $[\text{MoO}_3]^{2-}$,
зел.-гол. р-р) ²⁶⁾

NH₃; H₂

MoO_2

крист., кор., диамагн.,
возг. 1000

т. пл. ≈ 1270

т. к. ≈ 1700

Mo + MoO₃ > 1050 возг.

$\Delta H = -586$

–590

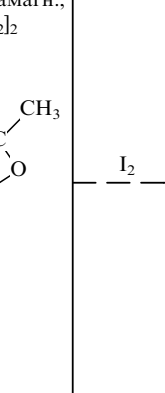
р. в к.-окисл., конц. щ.,

искаж. стр. тип рутила

$\text{K}_2\text{Mo}_2(\text{SO}_4)_4 \cdot 2\text{H}_2\text{O}$,
крист., роз.

$\text{Mo}_2(\text{SO}_3\text{F})_4$ ⁷¹⁾

$[\text{Mo}(\text{RCOO})_2]_2$, иглы, желт.,
возг. 300 (R = Me), диамагн.,
стр. аналог $[\text{Cr}(\text{RCOO})_2]_2$



$[\text{Mo}(\text{RCOO})_4]^{4-} \cdot 2.5\text{H}_2\text{O}$,
крист., гол., $\mu_{\text{эф}} = 1.69$ ³;

+ H₂O → $[\text{Mo}_2]^{4+} + \text{Mo}(\text{III})$

$2.5 +$

$[\text{Mo}_2(\text{RCOO})_4]^{4+} [\text{I}_3]^-$

$[\text{MoW}(\text{RCOO})_4]\text{I}$,
крист., кор.,
 $\mu_{\text{эф}} = 1.67$ ⁴³⁾

$\text{K}_2\text{Mo}(\text{CN})_5(\text{H}_2\text{O})$

$\text{K}_4\text{Mo}(\text{CN})_6$,
диамагн. (d²),
анион – тетраг. пирамида (d⁴s)

$\text{H}_4\text{M}(\text{CN})_8 \cdot 6\text{H}_2\text{O}$

$\text{K}_4\text{M}(\text{CN})_8 \cdot 2\text{H}_2\text{O}$, крист., желт.,
диамагн (d²), анион – додекаэрд
(d⁴sp³) в стр. и антипризма – в
р-ре, Mo – C 2.16

$\text{K}_2\text{Mo}(\text{CN})_5$, красн.

$\text{K}_4\text{Mo}(\text{CN})_7 \cdot 2\text{H}_2\text{O}$, черн.,
 $\mu_{\text{эф}} = 1.75$, анион – пентаг.

бипир., Mo – C 2.16

$\text{K}_5\text{Mo}(\text{CN})_8$

$\text{K}_3\text{M}(\text{NCS})_6 \cdot n\text{H}_2\text{O}$,

уст. к окисл., $\mu_{\text{эф}} \approx 3.8$

$\text{Mo}_{12}\text{S}_{14}$; Mo_9S_{11}

Mo_6S_8 , в стр. –

колонки из

тр-ков $[\text{Mo}_3]$

$[(\text{C}_5\text{H}_5)\text{Mo}(\text{CO})_3\text{X}]$,
X = H, Cl, R,
мол. – триг. бипир.

$\text{MoS}_2 \downarrow$, "молибденит",
графитоподобные серые

листочки, т. пл. ≈ 2100,

$\Delta H = -248$, р. в ц. в.

WS₂ "тунгstenit",
р. в (HNO₃ + HF) и

распл. щ., полупроводник, стр. типа графита

→ стр. аналог C₆₀ ⁷²⁾

В гексаг. слоистой стр. (искаж. тип. CdI₂) – триг.

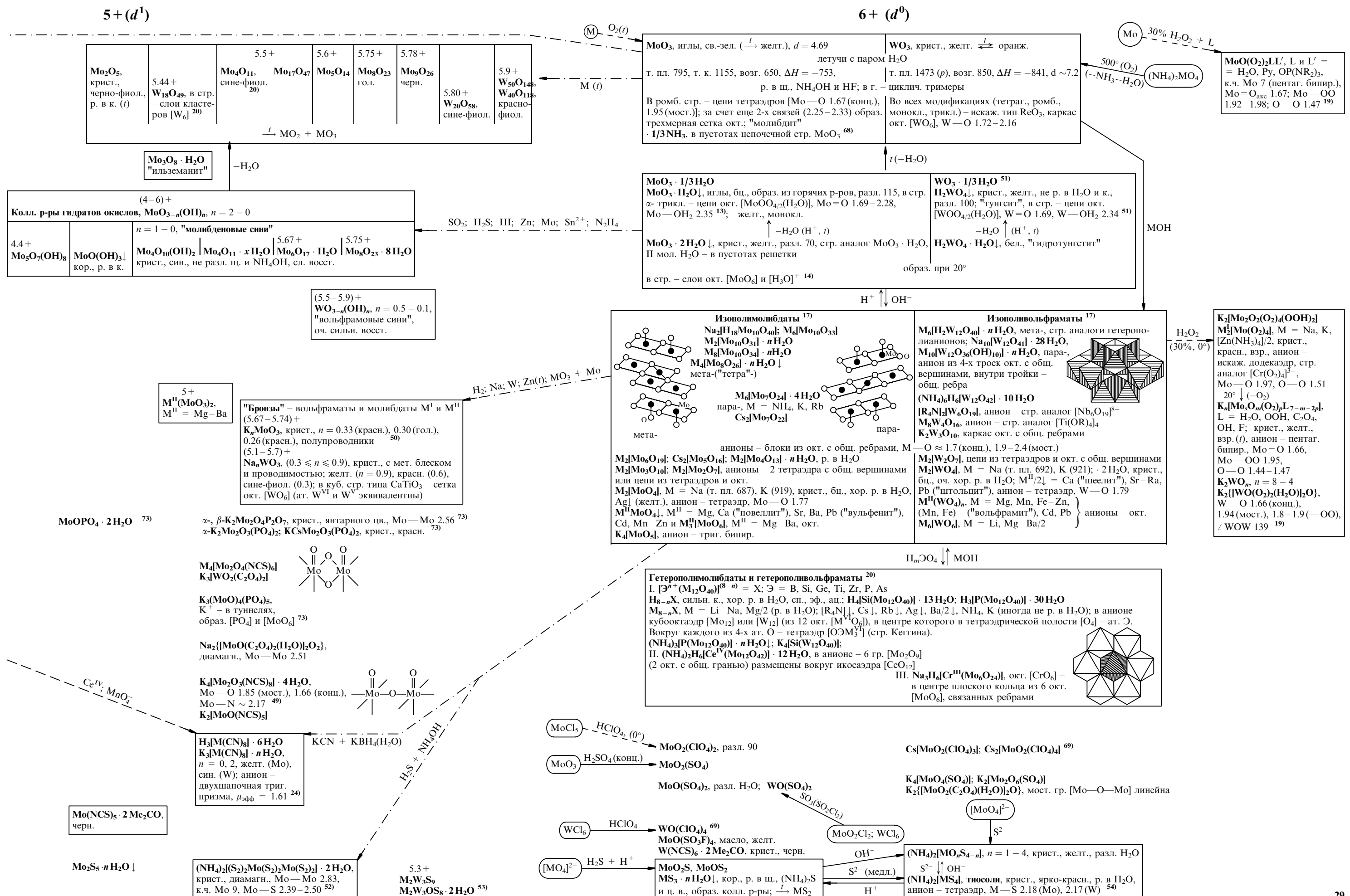
призмы $[\text{MoS}_{6/3}]$; + O₂ → MO₃

(NH₄)₂[Mo₃S(S₂)₆] · 0.5H₂O ⁴⁸⁾,

крист., красн., диамагн.

MoO_2 (200°)

MoO_2 (20

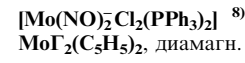
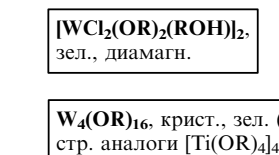
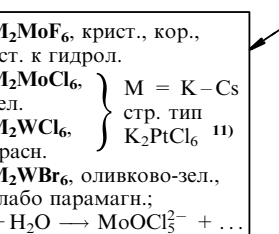
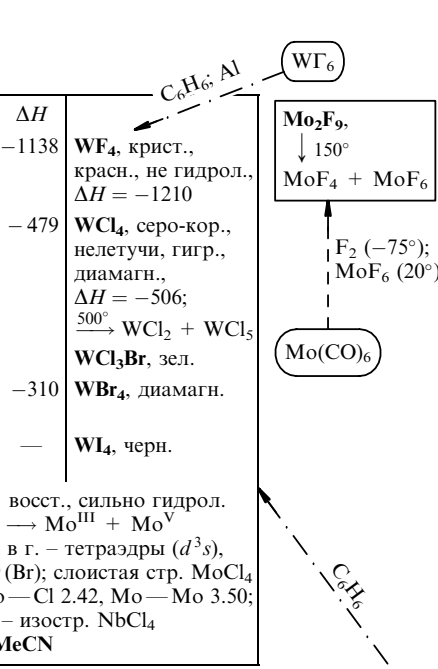
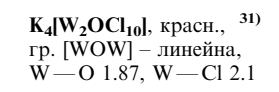
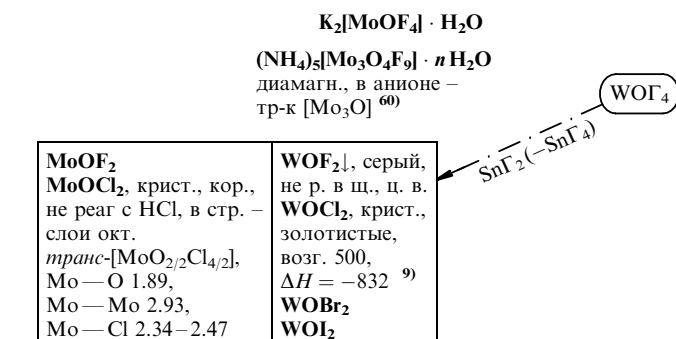
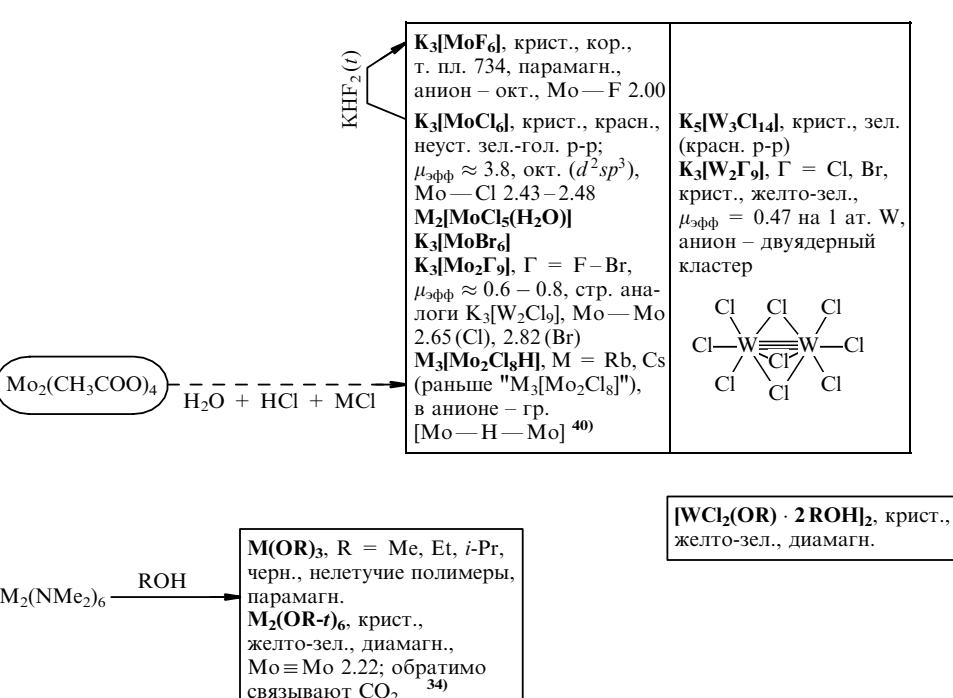
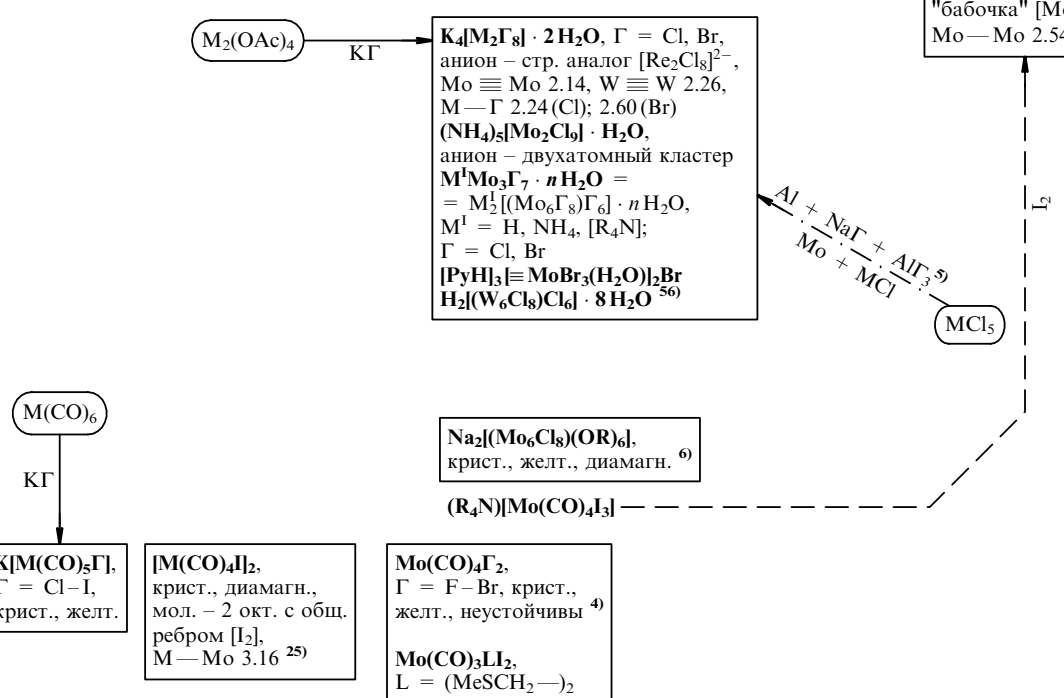
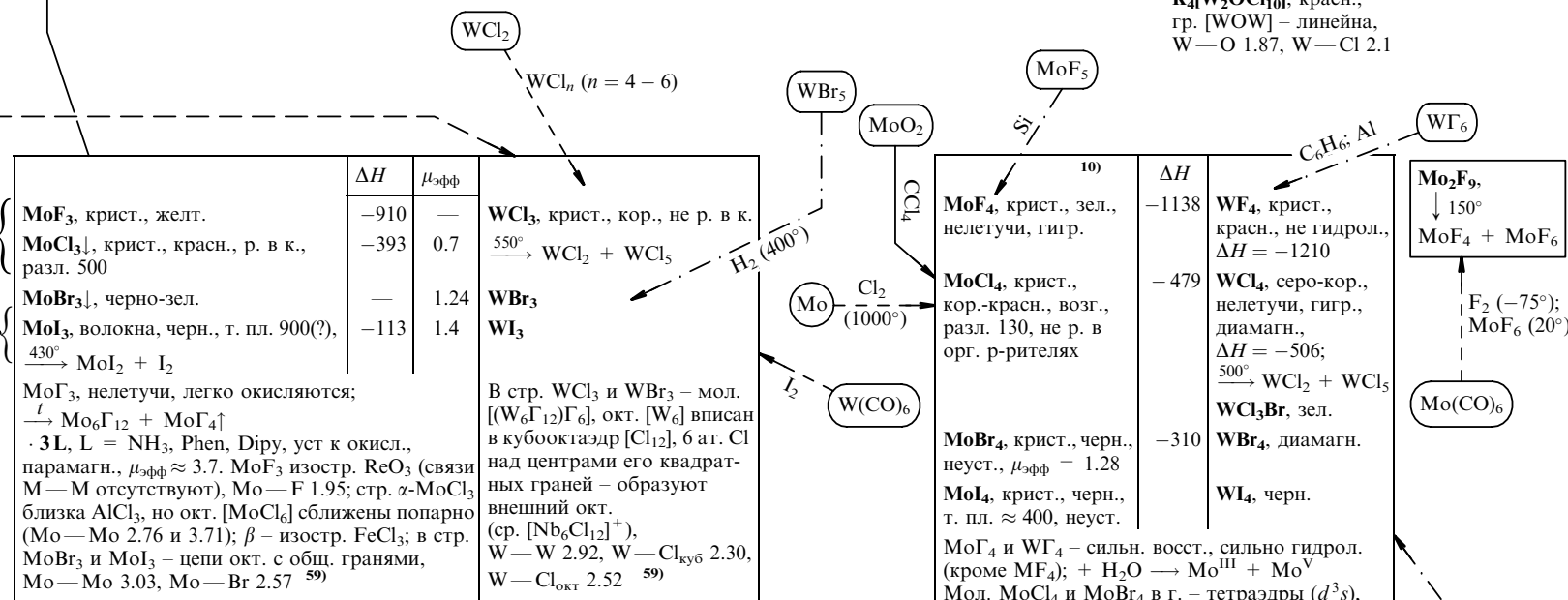
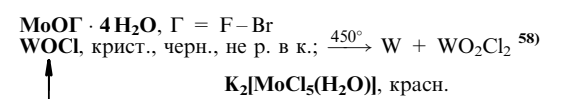
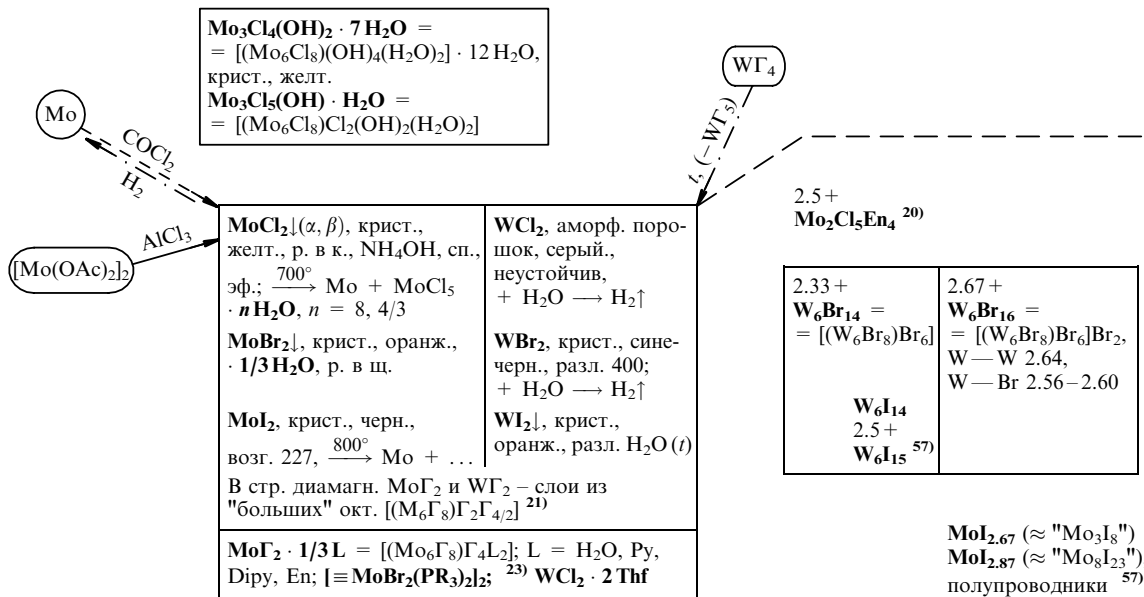
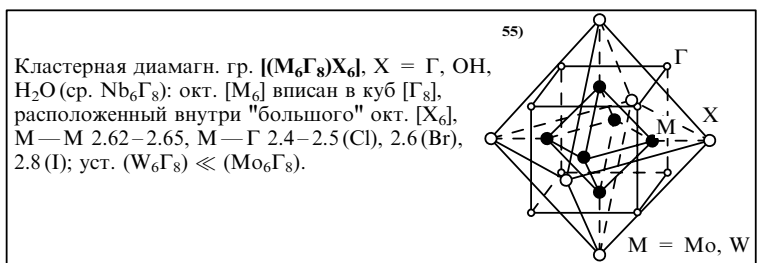


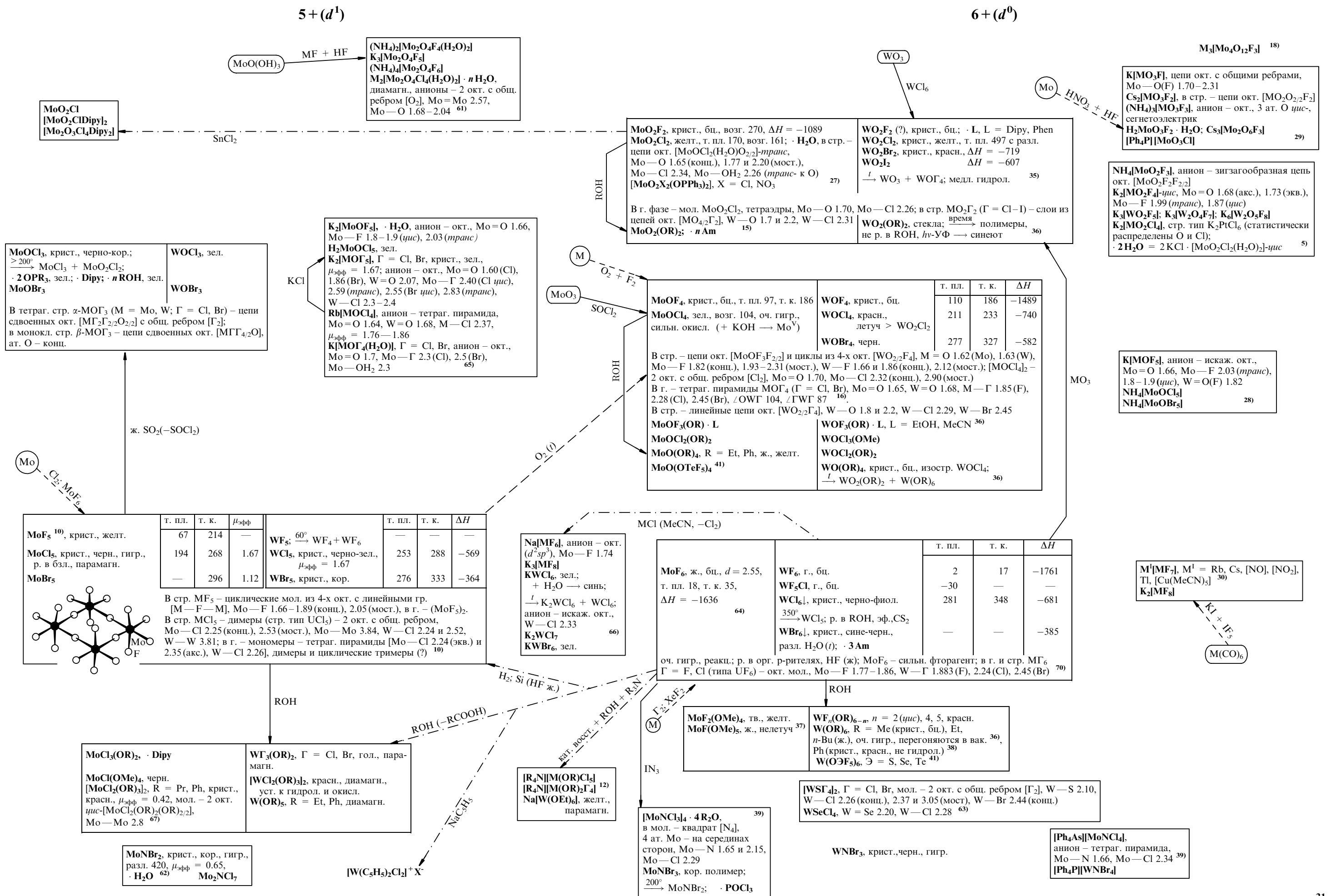
1 + (d^5)

2 + (d^4)

3 + (d^3)

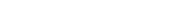
4 + (d^2)





УРАН

U⁰		3.0.
		1.2

$$3 + (f^3 \text{ или } f^2d^1)$$

$$4 + (f^2 \text{ или } f^1 d^1)$$

Радиоактивный ряд U—Ra (A = 4n + 2)

$$^{238}_{92}\text{U} \xrightarrow[\alpha]{\beta^-, \gamma} ^{234}_{90}\text{Th} \xrightarrow[\beta^-, \gamma]{} ^{234}_{91}\text{Pa} \xrightarrow[\beta^-, \gamma]{} ^{234}_{92}\text{U} \xrightarrow[\alpha]{\beta^-, \gamma} ^{230}_{90}\text{Th}$$

$4.51 \cdot 10^9$ лет	$2.48 \cdot 10^5$ лет
99,97 %	0,0056 %

Ряд Ac ($A = 4n + 3$)
 $^{235}_{92}\text{U}$ ("AcU") \xrightarrow{x} $^{231}_{90}\text{Th}$.
 7 · 10⁸ лет
 0,72 % в минералах,
 ядерное горючее.

U, мет., серебристо-бел., оч. тв., ковкий, желтеет на воздухе, затем чернеет, мелкораздробленный — пирофорен, т. пл. 1134, т. к. ~ 4200, р. в к., ($\text{MOH} + \text{H}_2\text{O}_2$), пассивир. конц. HNO_3 , $E_0 \text{U}^{3+}/\text{U}_{\text{tb}} = -1.80$, $E_0 \text{U}^{4+}/\text{U}_{\text{tb}} = -1.17$.
 α -, ромб. (искаж. гексаг. пл. упак.), $d = 19.12$, к. ч. 4 + 8
 $a = 2.85$, $b = 5.86$, $c = 4.95$
 $\downarrow 662^\circ$
 β -, тетраг., слоистая стр., $d = 18.11$, хрупок, $a = 10.59$, $c = 5.63$
 $\downarrow 772^\circ$
 γ -, куб. (тип α -Fe), стабилизируется при 20° при сплавлении с Cr или Mo, $d = 18.06$, пластичен, $a = 3.52$, U — U 3.05

желтеет		Ca	UCl ₄ ; UF ₃
желтый —			
	Ba; кат. восст.		UF ₄ ; KUF ₅

$$\begin{array}{l} \text{UOCl}, \Delta H = -834 \\ \text{UOBr} \\ \text{UOI} \\ \text{U}_2(\text{SO}_4)_3 \cdot 9\text{H}_2\text{O} \\ \text{UPO}_4, \text{ крист., кор.} \\ \text{U}(\text{HCOO})_3, \text{ крист., зел.} \end{array} \quad \left. \begin{array}{l} \mu_{\text{эффи}} = 3.4 - 3.7 \\ 22) \end{array} \right\}$$

M[U(SO₄)₂] · n H₂O
крист., кор.,
к. ч. U 9,
U—O 2.4–2.6 24

$$\text{U(OH)}_2\text{SO}_4 \xrightarrow{\text{H}_2\text{O}} \text{UO}(\text{OCOO})_2$$

Уранаты (IV)
 $M^{II}UO_3$, крист., черно-кор., M = Ca – Ba

$$\text{EtOH} + \text{H}_2\text{SO}_4(h\nu\text{-B})$$

$\text{Cs}_2[\text{U}(\text{NO}_3)_6]$
 $\text{K}_4[\text{U}(\text{C}_2\text{O}_4)_4] \cdot 4\text{H}_2\text{O}$,
 крист., темно-зел.,
 к. ч. U 10,
 $U - O$ 2.37–2.58 ²⁹⁾
 $\text{Ba}_2[\text{U}(\text{C}_2\text{O}_4)_4] \cdot 8\text{H}_2\text{O}$,
 крист., красно-фиол.

$(\text{NH}_4)\text{U}_3\text{F}_{13}$, к. ч. U 9 (трехшапочная
триг. призма), U—F 2.18–2.48

4.25 + 4.5 +
U₄F₁₇, U₂F₉,
 крист., черн.,
 $\Delta H = -7610$
 и -3910

U(Dipy)_n, n = 3, 4, темно-зел.
иглы, окисл. на возд.,
в стр. [UN₈] – искаж. куб.,
U—N 2.48 ¹⁹⁾

NaU₂Cl₆
бронзов
проводн

Na		T. пл.	T. к.	ΔH
UF ₃ , крист., фиол., стр. тип LaF ₃		1495	2300	-1444
UCl ₃ , иглы, зел. или красн., гигр.; \xrightarrow{t} UCl ₂ + UCl ₄ + UCl ₅ ; в гексаг. стр. - искаж. пл. упак. Cl, к. ч. U 9 (триг. призма с центрированными гранями)		835	1780	-891
UBr ₃ , крист., красн., стр. тип UCl ₃	730	—		-761
UI ₃ , крист., черн., стр. тип PuBr ₃ , U—I 3.16-3.24 ¹⁷⁾	680	~1750		-573
· 4 L, L = Thf, Py, мол - пентаг. бипир.	17)			

MUCl₄ · 4H₂O,
 M = K, NH₄
 к. ч. U 9 или 8,
 U—Cl 2.93,
 U—O 2.55²⁵⁾
K₂UCl₅
K₃UCl₆, фиол.
KU₂Cl₇, кор.;
 $+ H_2O \longrightarrow U^{IV}$,
 μ_{эфф} = 3,7²⁴⁾

	т. пл.	т. к.	ΔH
UF₄↓ , крист., зел., ПР = 10 ⁻²² , стр. тип ZrF ₄ , в г. U—F 2.07; · H ₂ O	1036	1450 (возг.)	{-1897 -1910
UCl₄ , крист., зел., оч. гигр., р. в орг. р-рителях, в тетраг. ионной стр. — 2 пе- ресекающихся тетраэдра [UCl ₄] ₂ , к. ч. U 4 + 4, U—Cl 2.41 (конц.), 3.09 (мост.) (в г. - 2.53)	590	792	-1023
UBr₄ , крист., кор., в стр. — цепи пентаг. бипир. [UBr ₂ Br _{6/2}], сочлененных экв. ребрами, U—Br 2.16 (акс.), 2.8—2.9 (экв.) (в г. - 2.66) 15)	519	766 с разл.	-899
UI₄ , крист., черн., цепи окт. U—I 2.92 (конц.), 3.10 (мост.) 27)	разл.	—	-527
	520		

$(\text{NH}_4)\text{U}_3\text{F}_{13}$, к. ч. U 9 (трехшапочная
 триг. призма), U — F 2.18—2.48
 KU_2F_9
 $(\text{NH}_4)_4[\text{UF}_8]$, анион — антипризма
 $\text{M}_3[\text{UF}_7]$, крист., зел., анион —
 пентаг. бипир., U — F 2.26
 $\text{M}_2[\text{UF}_6]$, крист., зел., в стр. —
 цепи искаж. додекаэдров,
 U — F 2.18—2.42 (K), триг.
 антипризма (Na)
 LiUF_5 , в стр. — слои из $[\text{UF}_{8/2}\text{F}]$,
 U — F 2.2—3.4
 $\text{Ba}_2[\text{UCl}_8]$
 $\text{M}_2[\text{UCl}_6]$, анион — окт., U — Cl 2.62
 $\text{M}_2[\text{UBr}_6]$, M = Rb, Cs, стр. тип
 K_2PtCl_6 , U — Br 2.27
 $[\text{R}_4\text{N}]_2[\text{UI}_6]$ 2)

4.25 + 4.5 +
U₄F₁₇, U₂F₉,
 крист., черн.,
 $\Delta H = -7610$
 и -3910

U(O,N,C) (раньше "UO"), оксокарбонитрид, тв. р-р, металlopодобная фаза, сущ. на поверхности U **UOS**

US₂, крист., черн., т. пл. 1850, р. в к., $\gamma \xrightarrow{425^\circ} \beta \xrightarrow{1350^\circ} \alpha$ **U₂S₃, U₃S₅**

US₃, полисульфид, крист., черн., р. в конц. HNO₃ **US₂S₃, U₃S₅**

US, крист., желт., т. пл. 2460, р. в к., $\Delta H = -377$, стр. тип NaCl

USe₂²³⁾

UN, порошок, серый, окисляется на возд., т. пл. 2850 (*p*), разл. > 1900, $\Delta H = -288$, не р. в к., стр. тип NaCl, U—N 2.45; **U₃N₄; U₂N₃, $\Delta H = -707$**

UN₂, крист., черн., стр. тип CaF₂

UP, т. пл. 2850, **U₃P₄, U₂P₃, UP₂**, черн.

UC, крист., фиол., т. пл. 2400, стр. тип NaCl, $\Delta H = -88$

U₂C₃, $\Delta H = -205$

UC₂, крист., красн., гидрол., т. пл. 2350, $\Delta H = -163$, стр. тип CaC₂, C=C 1.3

USi₂, т. пл. 1700; **U₃Si₂**, т. пл. 1665

UH_{3-x}, крист., черн., хрупкие, разл. 330, $\Delta H = -125$, проводник, воспл. на возд., разл. к.; + H₂O $\xrightarrow{350^\circ}$ UO₂ + H₂; **H₂**, куб. $d = 10.9$, в стр. — тетраэдры [UH₄] и икосаэдры [UH₁₂]

0

3 +

4 +

5 +

6 +

Redox conditions:

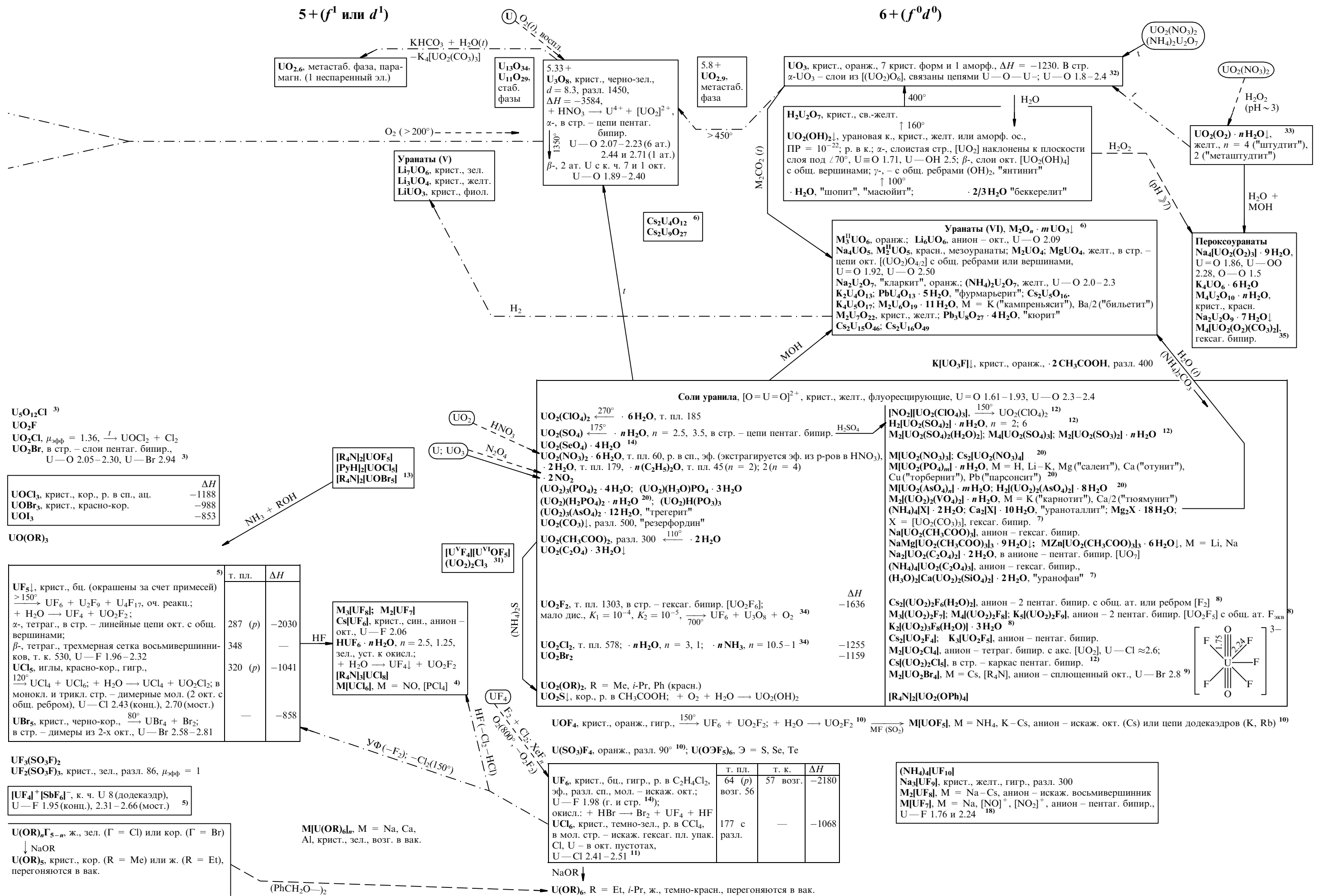
- $\text{H}_2\text{O}; \text{O}_2(\text{H}^+)$ between $[\text{U}(\text{H}_2\text{O})_8]^{3+}$ and $[\text{U}(\text{H}_2\text{O})_8]^{4+}$.
- F^- between $[\text{UO}_2]^{+}$ and $[\text{UF}_6]^-$.
- $\text{H}^+ \uparrow \text{OH}^-$ between $[\text{U}(\text{H}_2\text{O})_7(\text{OH})]^{3+}$ and $[\text{UO}_2(\text{H}_2\text{O})_6]^{2+}$.
- $\text{O}_2; \text{I}_2; \text{Fe}^{3+}$ between $[\text{U}(\text{OH})_4] \downarrow$ and $[\text{UO}_2(\text{H}_2\text{O})_6]^{2+}$.
- NH_4OH between $[\text{UO}_2(\text{H}_2\text{O})_2 \cdot \text{H}_2\text{O}] \downarrow$ and $(\text{NH}_4)_2\text{U}_2\text{O}_7 \downarrow$.

Structural representation of $[\text{UO}_2(\text{H}_2\text{O})_6]^{2+}$:

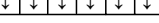
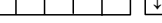
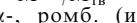
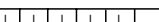
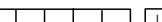
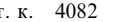
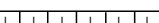
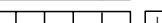
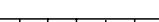
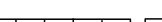
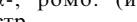
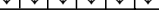
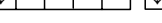
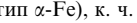
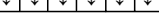
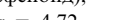
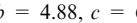
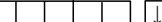
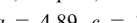
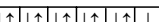
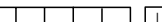
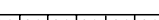
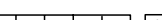
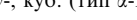
$\begin{array}{c} \text{H}_2\text{O} \\ | \\ \text{H}_2\text{O} \text{---} \text{U} \text{---} \text{O} \\ | \\ \text{H}_2\text{O} \end{array}$
 $\begin{array}{c} \text{O} \\ || \\ \text{U} \text{---} \text{O} \\ || \\ \text{O} \end{array}$
 $\begin{array}{c} \text{O} \\ || \\ \text{U} \text{---} \text{O} \\ || \\ \text{O} \end{array}$
 $\begin{array}{c} \text{O} \\ || \\ \text{U} \text{---} \text{O} \\ || \\ \text{O} \end{array}$
 $\begin{array}{c} \text{O} \\ || \\ \text{U} \text{---} \text{O} \\ || \\ \text{O} \end{array}$
 $\begin{array}{c} \text{O} \\ || \\ \text{U} \text{---} \text{O} \\ || \\ \text{O} \end{array}$
 $\begin{array}{c} \text{O} \\ || \\ \text{U} \text{---} \text{O} \\ || \\ \text{O} \end{array}$

Redox conditions (continued):

- $\text{H}^+ \uparrow \text{H}_2\text{O}$ between $[\text{UO}_2(\text{H}_2\text{O})_2]^{2+}$ and $[\text{UO}_2(\text{H}_2\text{O})_3(\text{OH})_5]^{+}$.
- NaOH between $\text{Na}_2\text{U}_4\text{O}_{13} \downarrow$ and $\text{Na}_2\text{U}_{16}\text{O}_{49} \downarrow$.
- $\text{H}_2\text{O} \uparrow \text{NaOH}$ between $(\text{NH}_4)_2\text{U}_2\text{O}_7 \downarrow$ and $\text{Na}_2\text{U}_{16}\text{O}_{49} \downarrow$.



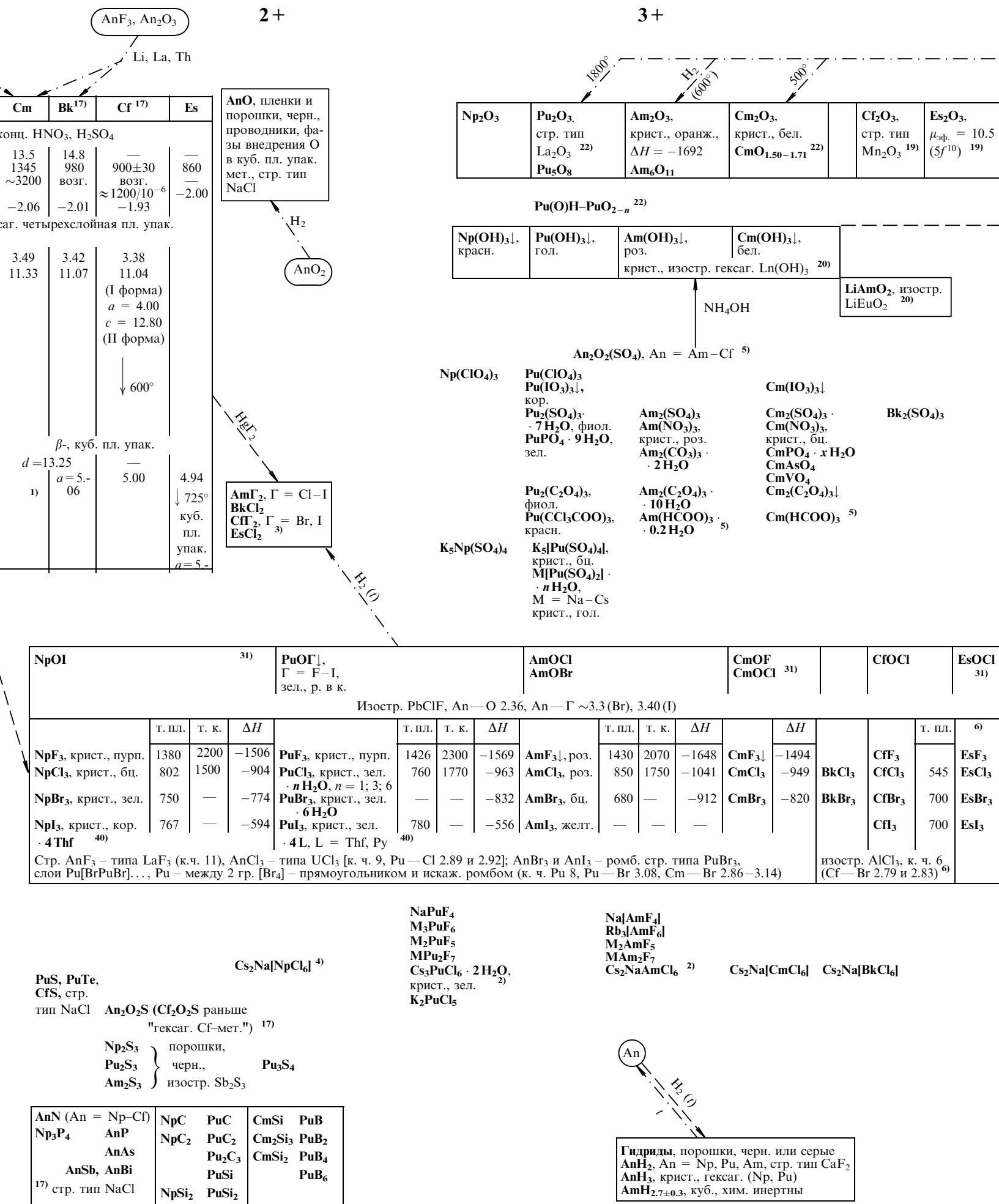
Э.О.

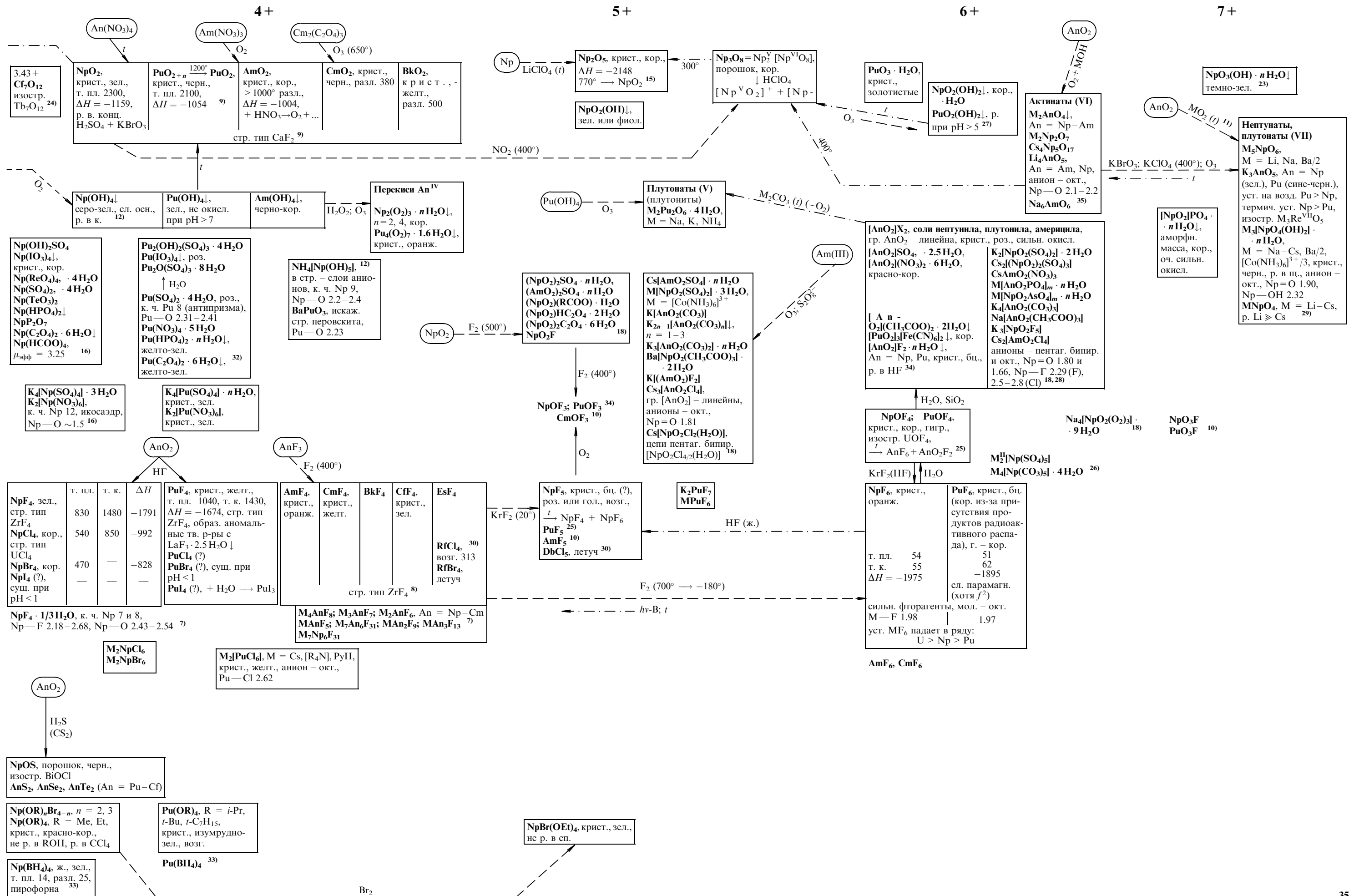
Нептуний)	93Np⁰				<i>d</i> 20.4 т. пл. 637 т. к. 4082	19.8 640 3352
Плутоний	94Pu⁰				$E_0 M^{3+} / M_{\text{TB}} = -1.79$ α -, ромб. (искаж. стр.)	-1.58
Америций	95Am⁰				α -, монокл., $a = 6.18$,	
Кюрий	96Cm⁰				типа α -Fe), к. ч. 4 (ди- спеноид), $a = 4.72$, $b = 4.88$, $c = 6.66$	$b = 4.82$, $c = 10.96$, $\beta = 101.79$ $\downarrow 122^\circ$
Берклий	97Bk⁰				β -, монокл., $d = 17.8$, $a = 9.28$, $b = 10.46$, $c = 7.86$, $\beta = 92.13$	$c = \dots$
Калифорний	98Cf⁰				$\downarrow 280^\circ$ β -, тетраг., $d = 19.4$, $a = 4.89$, $c = 3.38$	(ти- d a
Эйнштейний	99Es⁰				$\downarrow 576^\circ$ γ -, куб. (типа α -Fe) $d = 18.0$, $a = 3.43$	$\downarrow 207^\circ$ γ -, ромб., $d = 17.2$, $a = 3.16$, $b = 5.76$, $c = 10.16$, к. ч. Pu 12 $\downarrow 315^\circ$
Фермий	100Fm⁰				δ -, куб. пл. упак., $d = 15.9$, $a = 4.6$	$\downarrow 457^\circ$ δ' -, тетраг., $d = 16.0$, $a = 3.31$, $c = 4.48$
Менделевий	101Md⁰				$\downarrow 472^\circ$ ε -, куб. (типа α -Fe), $d = 16.5$, $a = \dots$	
Нобелий	102No⁰					
Лоуренсий	103Lr⁰					
Резерфордий	104Rf	Борий	107Bh			
Дубний	105Db	Хассий	108Hs			
Сиборгий	106Sg	Мейтнерий	109Mt			

*) или $5f^5 7s^2$

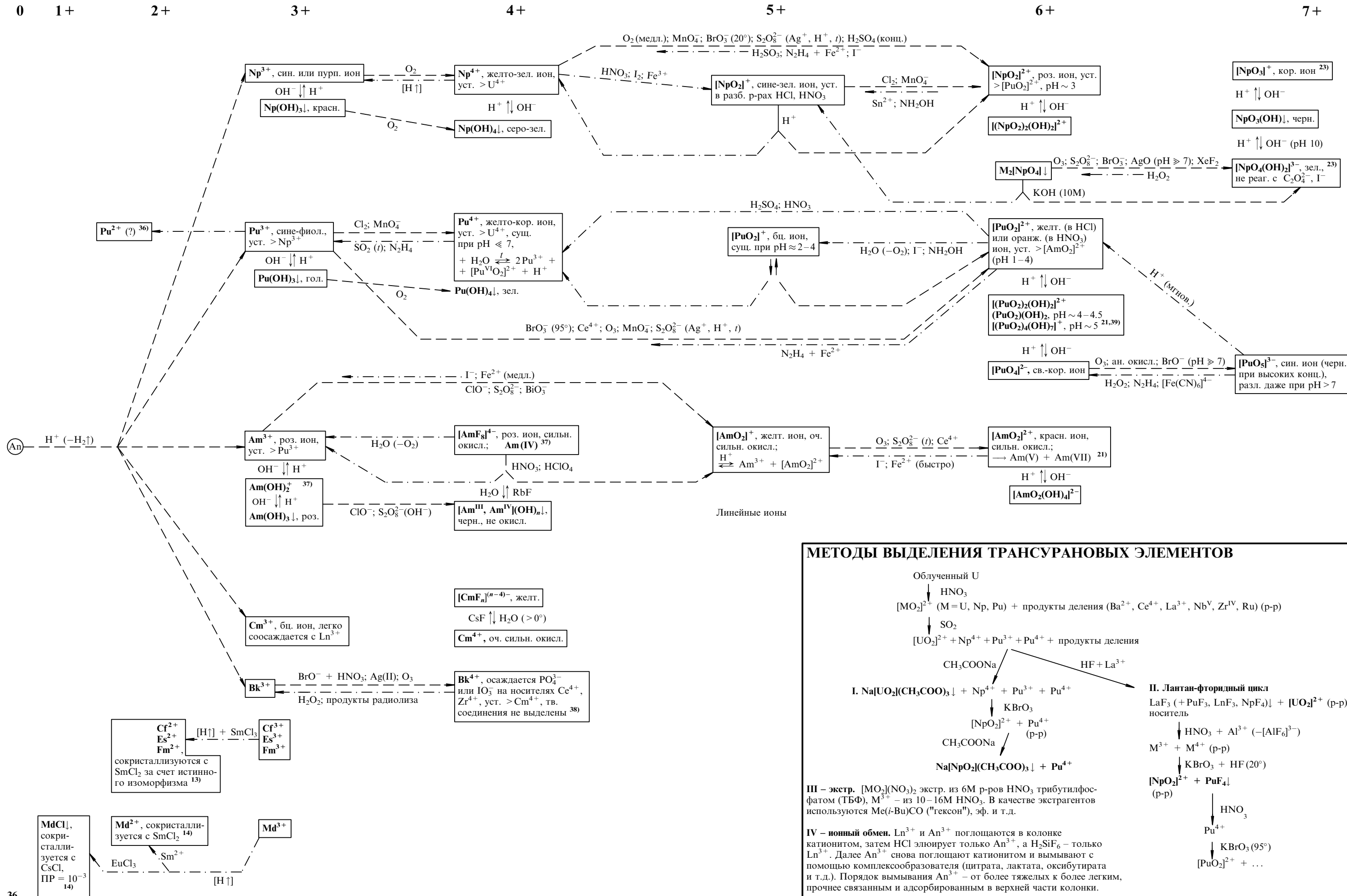
Синтез трансурановых элементов

Открытие	Получение важнейших изотопов	Наиболее долгоживущий изотоп	Открытие	Наиболее долгоживущий изотоп
$^{238}_{92}\text{U}$ (n, γ) $^{239}_{92}\text{U} \xrightarrow[\beta^-]{2.3 \text{ сут.}} ^{239}_{93}\text{Np}$ меди. (Макмиллан, Эйблсон, 1940 г.)	В ат. реакторе $^{238}_{92}\text{U}$ ($n, 2n$) $^{237}_{92}\text{U} \xrightarrow{\beta^-} ^{237}_{93}\text{Np}$ ($A = 4n + 1$) родоначальный ряд Np; в рудах – $2 \cdot 10^{-10}\%$ (ат.) от U	$^{237}_{93}\text{Np}$ $2.14 \cdot 10^6$ лет	$^{252}_{98}\text{Cf}$ ($^{19}_5\text{B}, 5n$) $^{257}_{103}\text{Lr}$ $^{8\text{ с}}$ (Гиорко, 1961 г.)	$^{269}_{95}\text{Lr}$ 3 мин.
$^{238}_{92}\text{U}$ ($\frac{1}{2}d, 2n$) $^{238}_{93}\text{Np} \xrightarrow[\beta^-]{86.4 \text{ лет}} ^{238}_{94}\text{Pu}$ (Сиборг, 1941 г.)	$^{239}_{93}\text{Np} \xrightarrow{\beta^-} ^{239}_{94}\text{Pu}$ ($A = 4n + 3$) 2.35 сут. 24390 лет $10^{-9}\%$ (ат.) от U; ядерное горючее (расщепляется под действием n)	$^{244}_{94}\text{Pu}$ $7.6 \cdot 10^7$ лет	$^{243}_{95}\text{Am}$ ($^{18}_8\text{O}, 5n$) $^{256}_{103}\text{Lr}$ $^{35 \text{ с}}$ (Флёроп, 1965 г.)	
$^{241}_{94}\text{Pu} \xrightarrow{\beta^-} ^{241}_{95}\text{Am}$ 13 лет 436 лет (Сиборг, Гиорко, 1944 г.)	$^{242}_{94}\text{Pu}$ (n, β) $^{243}_{95}\text{Am}$	$^{243}_{95}\text{Am}$ 7370 лет	$^{242}_{94}\text{Pu}$ ($^{22}_{10}\text{Ne}, 4n$) $^{260}_{104}\text{Rf}$ $^{0.3 \text{ с}}$ (Флёроп, 1964 г.)	$^{261}_{95}\text{Rf}$ 70 с
$^{239}_{94}\text{Pu}$ (α, n) $^{242}_{96}\text{Cm}$ (Сиборг, 163 сут. Джеймс, Гиорко, 1944 г.)	$^{239}_{94}\text{Pu}$ (n, γ) $^{240}_{94}\text{Pu}$ (n, γ) $^{241}_{94}\text{Pu} \dots ^{243}_{94}\text{Pu} \xrightarrow{\beta^-} \dots$ $\longrightarrow ^{243}_{95}\text{Am}$ (n, γ) $^{244}_{95}\text{Am} \xrightarrow{\beta^-} ^{244}_{96}\text{Cm}$ 19 лет	$^{247}_{96}\text{Cm}$ $1.64 \cdot 10^7$ лет	$^{249}_{97}\text{Bk}$ ($^{15}_7\text{N}, 3n$) $^{261}_{104}\text{Rf}$ $^{70 \text{ с}}$ (Гиорко, 1969 г.)	
$^{241}_{95}\text{Am}$ ($\alpha, 2n$) $^{243}_{97}\text{Bk}$ (Томпсон, 4.5 час.сон, Гиорко, Сиборг, 1949 г.)	$^{244}_{96}\text{Cm}$ (α, p) $^{247}_{97}\text{Bk}$ – на ускорителе	$^{247}_{97}\text{Bk}$ 1380 лет	$^{243}_{95}\text{Am}$ ($^{22}_{10}\text{Ne}, 4n$) $^{261}_{105}\text{Db}$ (Друин, Флёроп, 1971 г.)	$^{261}_{95}\text{Db}$ 34 с
$^{242}_{96}\text{Cm}$ (α, n) $^{245}_{98}\text{Cf}$ (Томпсон, 44 мин., Гиорко, Сиборг, 1950 г.)	$^{244}_{96}\text{Cm}$ (n, γ) $\dots ^{249}_{96}\text{Cm} \xrightarrow{\beta^-} ^{249}_{97}\text{Bk}$ (n, γ) $\longrightarrow ^{250}_{97}\text{Bk} \xrightarrow{\beta^-} ^{250}_{98}\text{Cf}$ (n, γ) $\dots ^{254}_{98}\text{Cf}$ 60 сут.	$^{251}_{98}\text{Cf}$ 890 лет	$^{249}_{98}\text{Cf}$ ($^{15}_7\text{N}, 4n$) $^{260}_{105}\text{Db}$ $^{9 \text{ с}}$ (Гиорко, 1970 г.)	
$^{238}_{92}\text{U} (\leq 15n, 6\beta) \xrightarrow{\beta^-} ^{253}_{98}\text{Cf} \xrightarrow{\beta^-} ^{253}_{99}\text{Es}$ 20.03 сут. (при ат. взрыве, 1952 г.)	$^{252}_{98}\text{Cf}$ (n, γ) $^{253}_{98}\text{Cf} \xrightarrow{\beta^-} ^{253}_{99}\text{Es}$ (n, γ) $^{254}_{99}\text{Es}$ 20 сут.	$^{252}_{99}\text{Es}$ 472 сут.	$^{208}_{82}\text{Pb}$ ($^{54}_{24}\text{Cr}, 2n$) $^{260}_{106}\text{Sg}$ (Флёроп, 1974 г.)	
При ат. взрыве вместе с $^{253}_{99}\text{Es} - ^{255}_{100}\text{Fm}$ (Гиорко, 1952 г.) 22 час.	$^{238}_{92}\text{U}$ ($^{16}_8\text{O}, 4n$) $^{250}_{100}\text{Fm}$ 30 мин.	$^{257}_{100}\text{Fm}$ 100.5 сут.	$^{209}_{83}\text{Bi}$ ($^{54}_{24}\text{Cr}, n$) $^{262}_{107}\text{Bh}$ (Мюнценберг, 1981 г.)	
$^{253}_{99}\text{Es}$ (α, n) $^{101}_{101}\text{Md}$ 77 мин. (Гиорко, Сиборг, 1955 г.)		$^{258}_{101}\text{Md}$ 56 сут.	$^{208}_{82}\text{Pb}$ ($^{58}_{26}\text{Fe}, n$) $^{265}_{108}\text{Hs} \xrightarrow[1.8 \cdot 10^{-3} \text{ с}]{\alpha}$ (Мюнценберг, Оганесян, 1984 г.)	
$^{241}_{94}\text{Pu}$ ($^{16}_8\text{O}, 4n$) $^{253}_{102}\text{No}$ $^{95 \text{ с}}$ (Флёроп, 1958 г.)	$^{241}_{94}\text{Pu}$ ($^{18}_8\text{O}, 4n$) $^{255}_{102}\text{No}$ 3 мин.	$^{259}_{102}\text{No}$ 58 мин.	$^{209}_{83}\text{Bi}$ ($^{58}_{26}\text{Fe}, n$) $^{266}_{109}\text{Mt} \xrightarrow[5 \cdot 10^{-3} \text{ с}]{\alpha}$ (Мюнценберг, 1982 г.)	





ИОНЫ ТРАНСУРАНОВЫХ ЭЛЕМЕНТОВ (An) В ВОДНОМ РАСТВОРЕ



3-

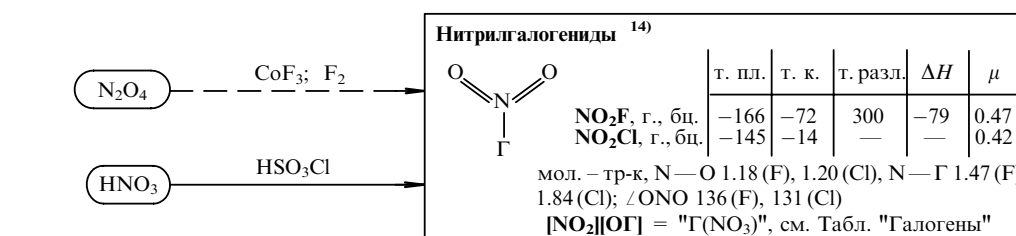
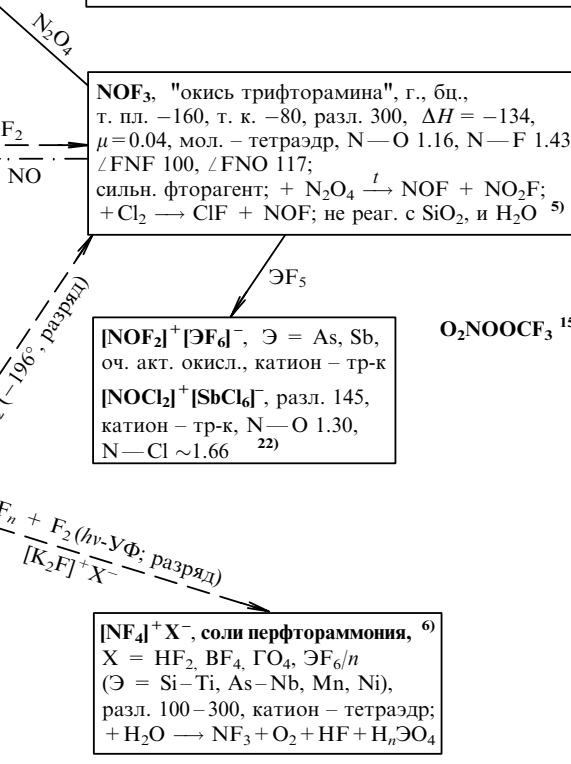
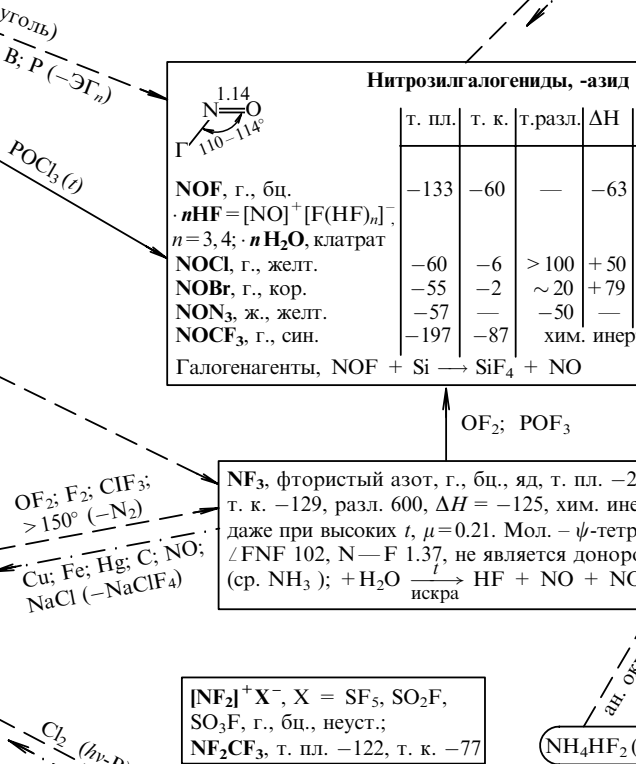
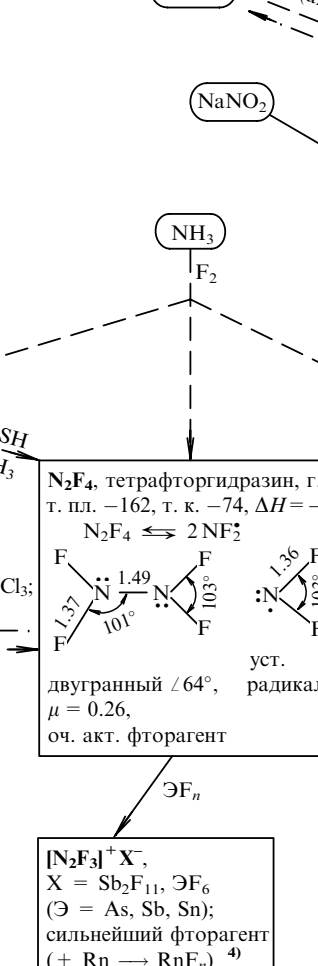
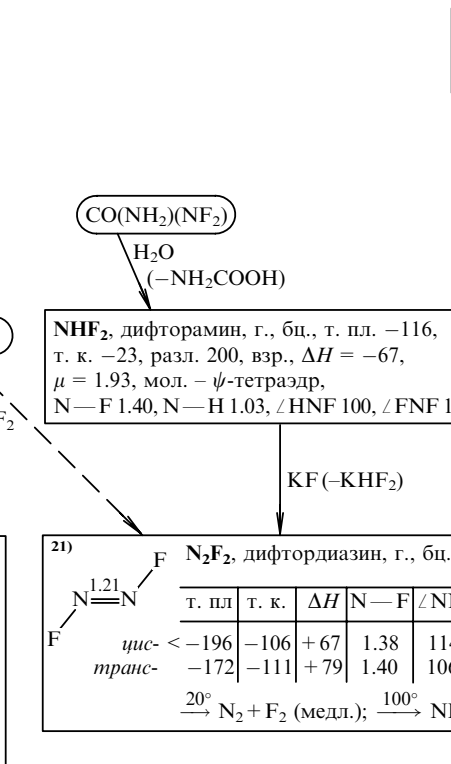
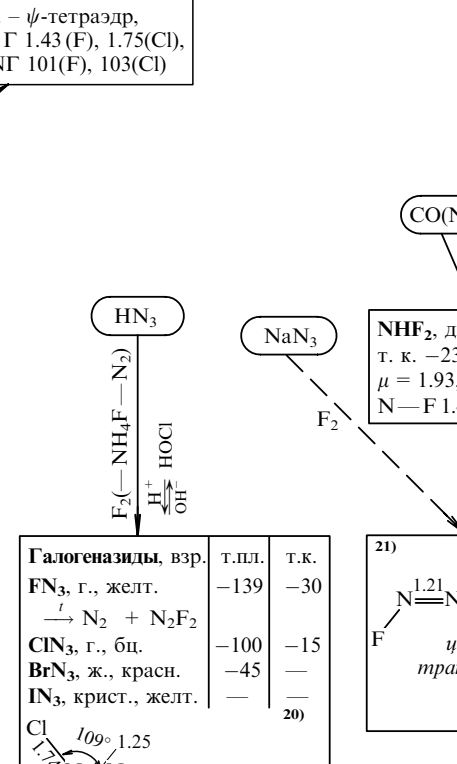
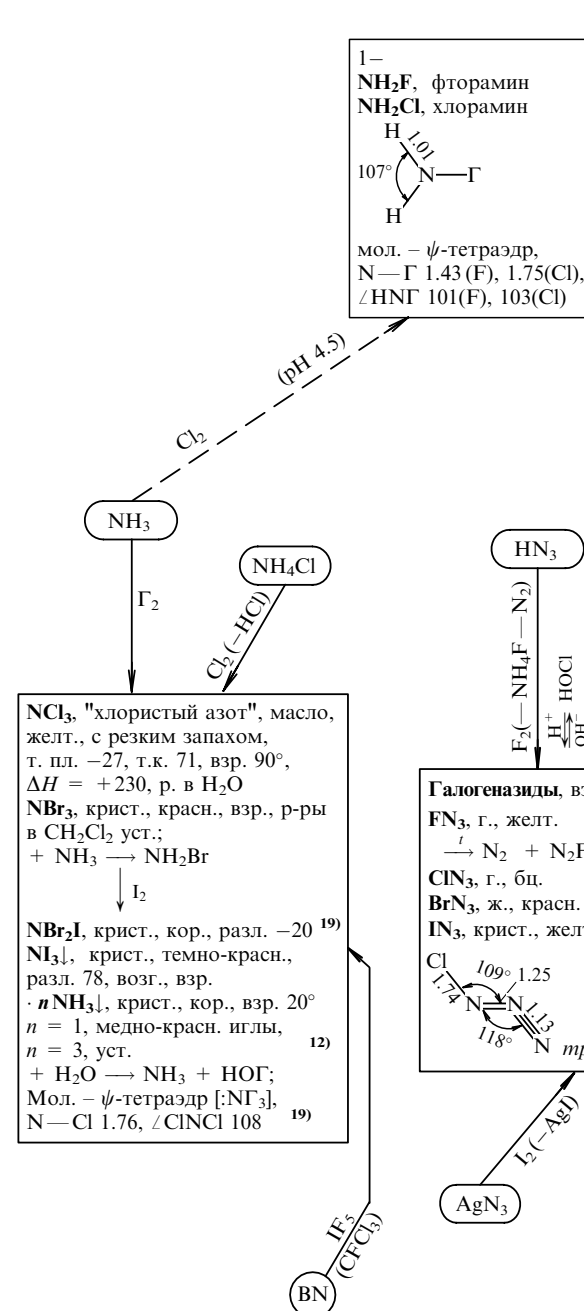
1/3 -

1 +

2 +

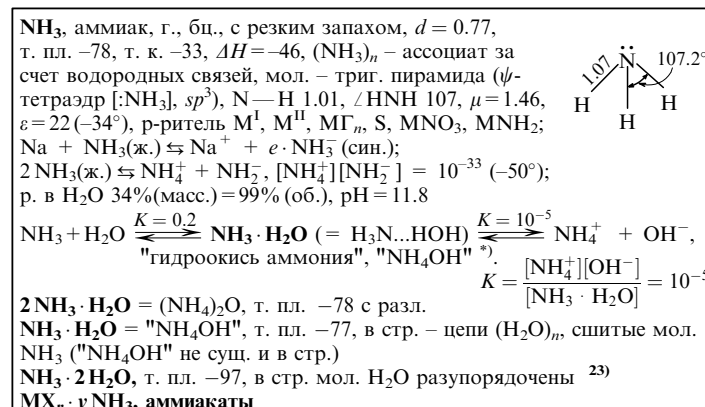
3+

5+



АЗОТ

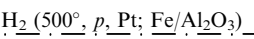
3-



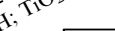
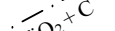
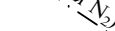
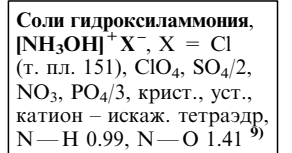
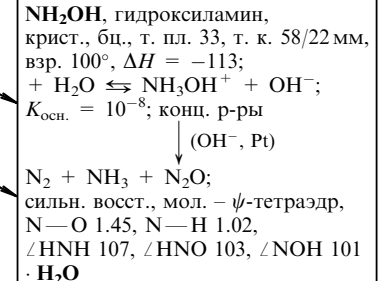
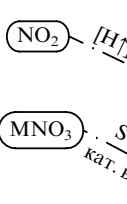
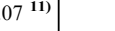
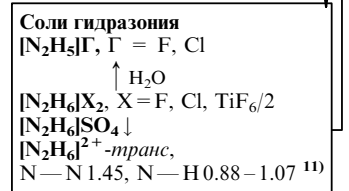
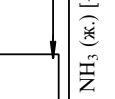
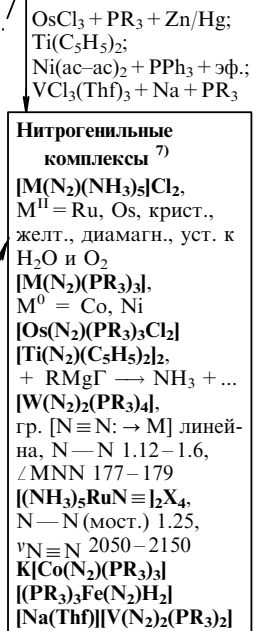
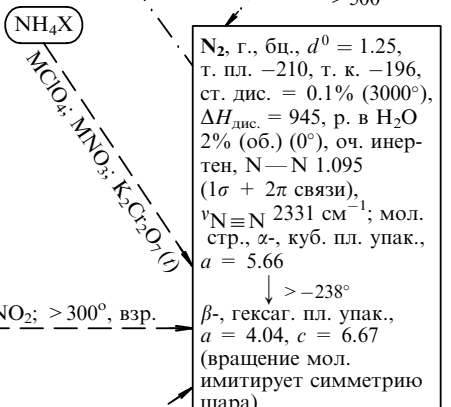
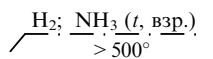
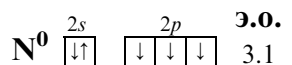
2-

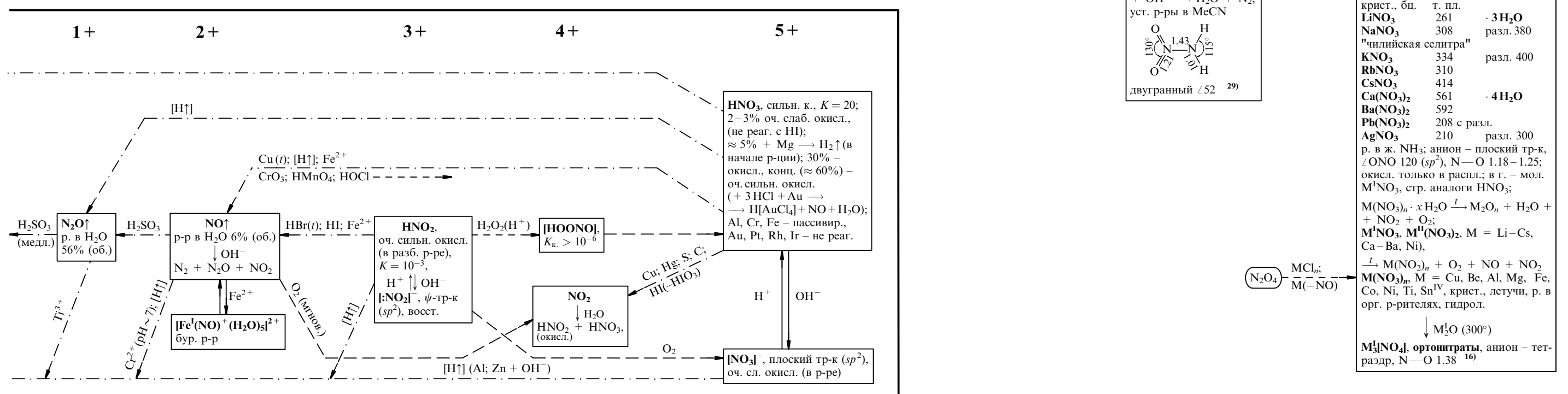
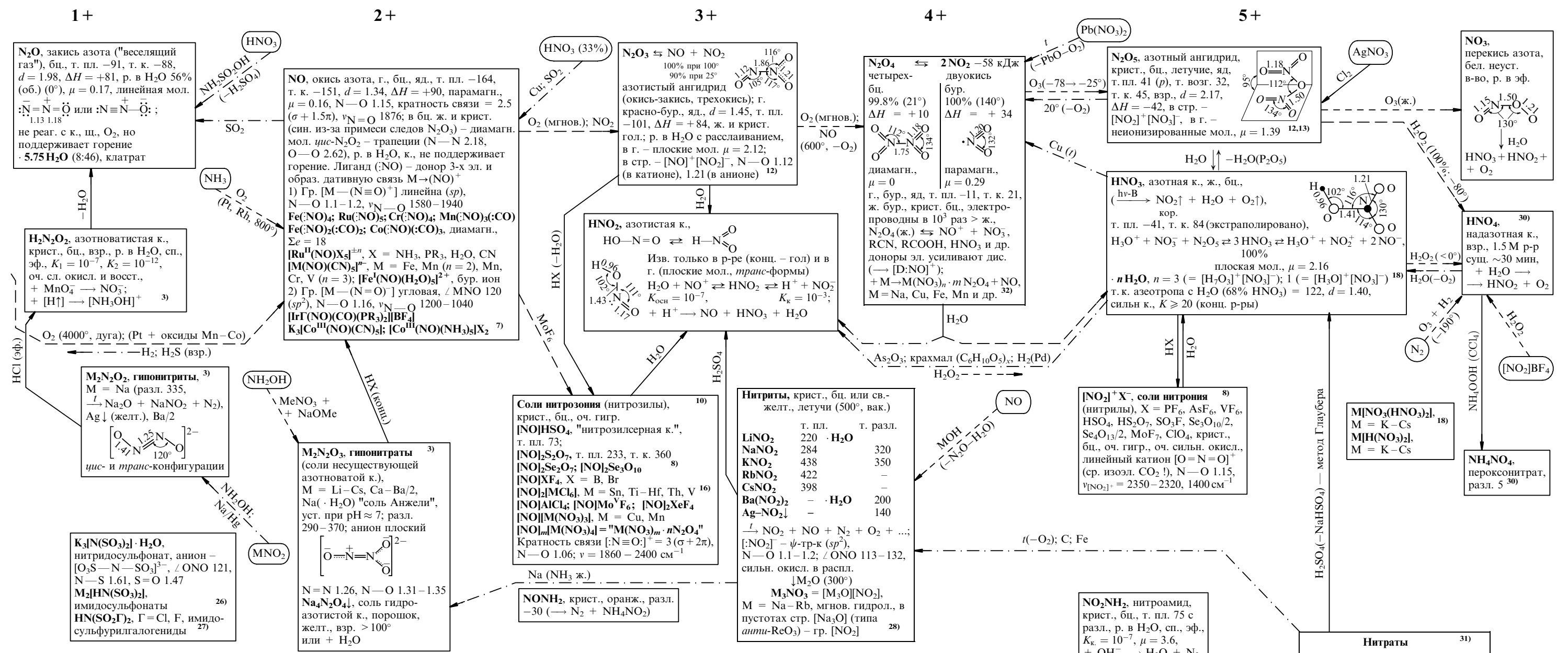


1-



1/3-





ФОСФОР

3 - *

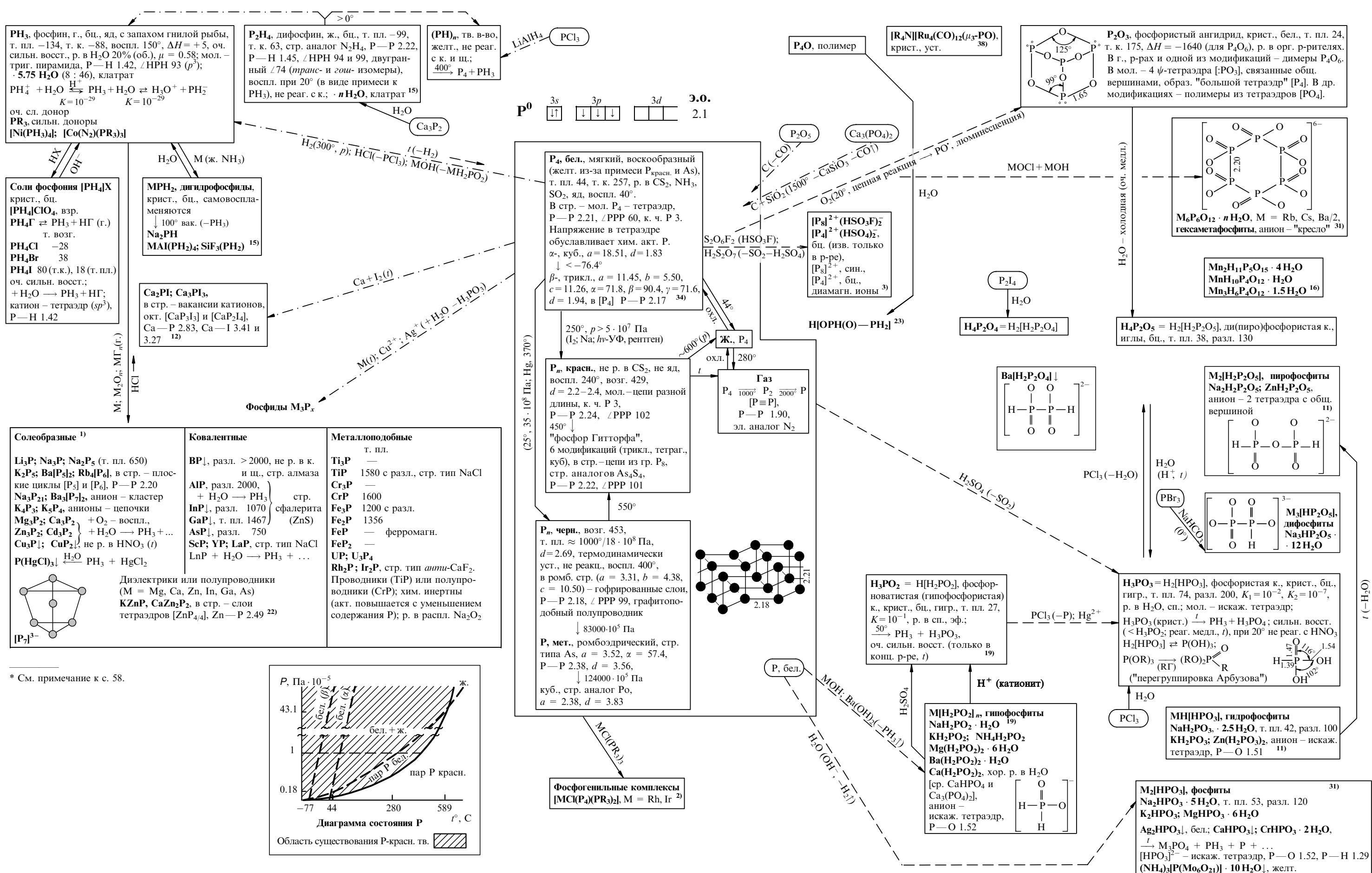
2-

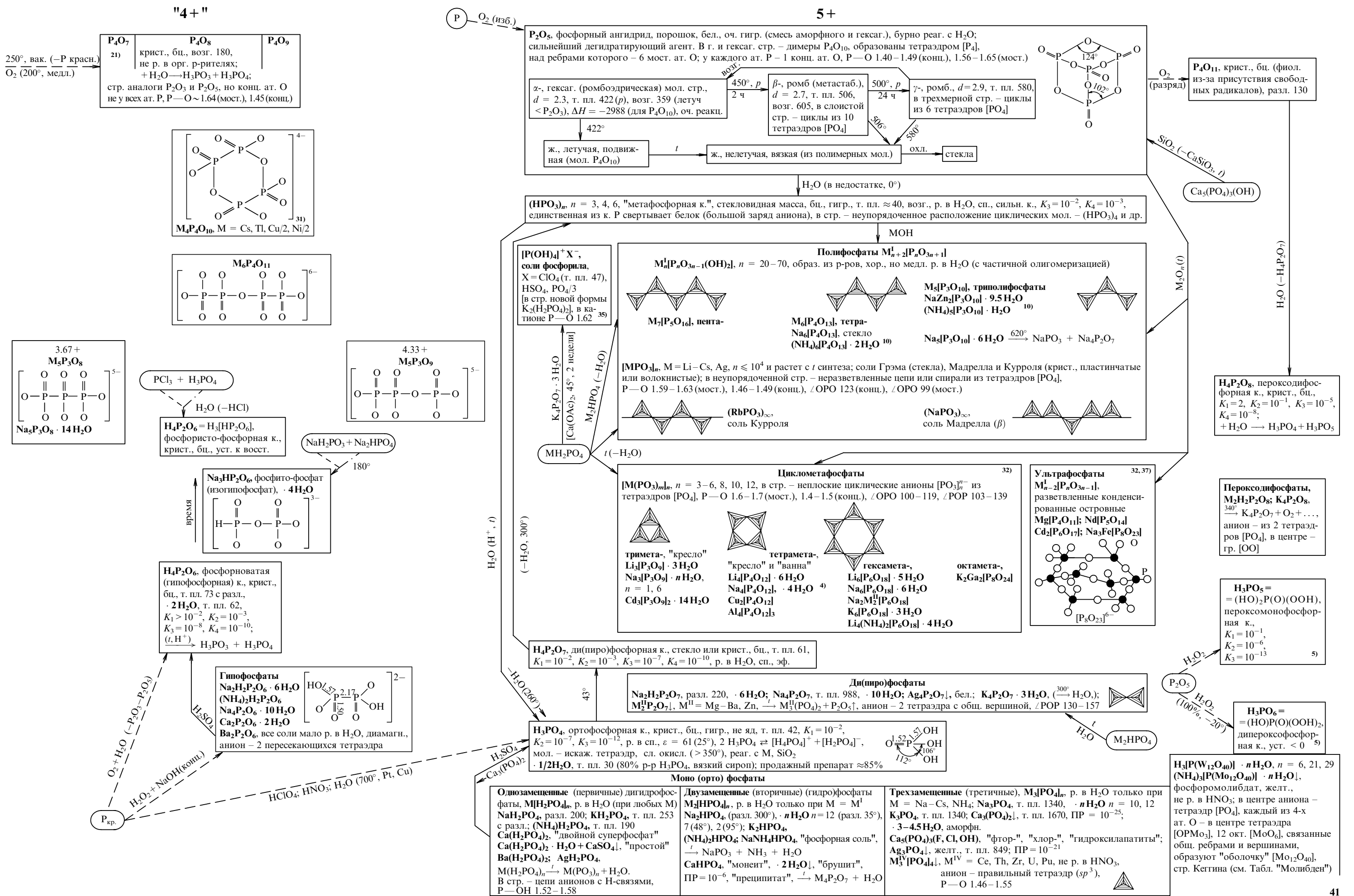
1 -

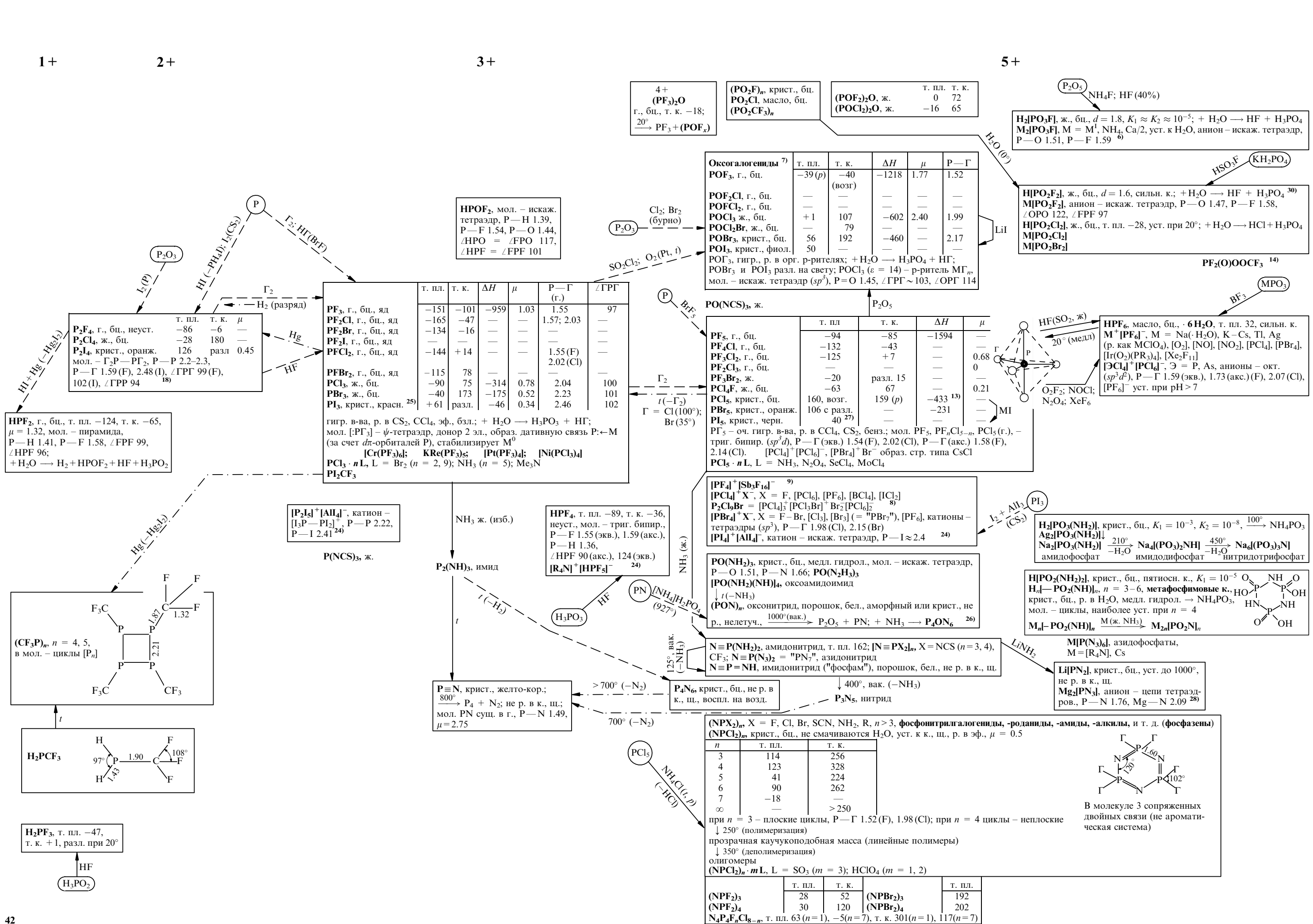
1+

2 +

3+







СЕРНИСТЫЕ ПРОИЗВОДНЫЕ ФОСФОРА 29)

Полисульфиды
(PS)_n; (P₂S₁₁)_n; (P₂S₁₄)_n,
желт. в-ва, не р. в H₂O и
орг. р-нителях, р. в щ.,
разл. 200

Сульфиды 17)							
крист., желт., летучие, р. в CS ₂ , бзл., нафталине (распл.), воспл. на возд. (t), гигр. (кроме P ₄ S ₃)							
P ₄ S ₂	P ₄ S ₃	P ₄ S ₄ (PS) _n	P ₄ S ₅	P ₄ S _n	P ₄ S ₇	P ₄ S ₉	P ₄ S ₁₀
т. пл. 46	174	—	162	n = 5.5–6.7 с разл.	308	250	(2 формы) 288
т. к. —	408 наиболее уст.	—	—	232 с разл.	523	—	514

В мол. всех P₄S_n – тетраэдр [P₄], P – P 2.2, S (мост.) – на ребрах тетраэдра,
при n > 6 S – конц., P – S 2.1 (мост.), 1.9 (конц.); P₄S₆ и P₄S₁₀ – стр. аналоги
P₄O₆ и P₄O₁₀

P₄Se₃, крист., оранж. т. пл. 247 33)

Тиогалогениды 20)			
	т. пл.	т. к.	μ
5+ PSF ₃ , г., бз., воспл.	-149	-52	0.63
PSCl ₃ , ж.	-36	125	1.41
PSBr ₃ , крист.	37	206	—
PSFCIBr	—	98	—
PSI ₃ , крист.	47	—	—

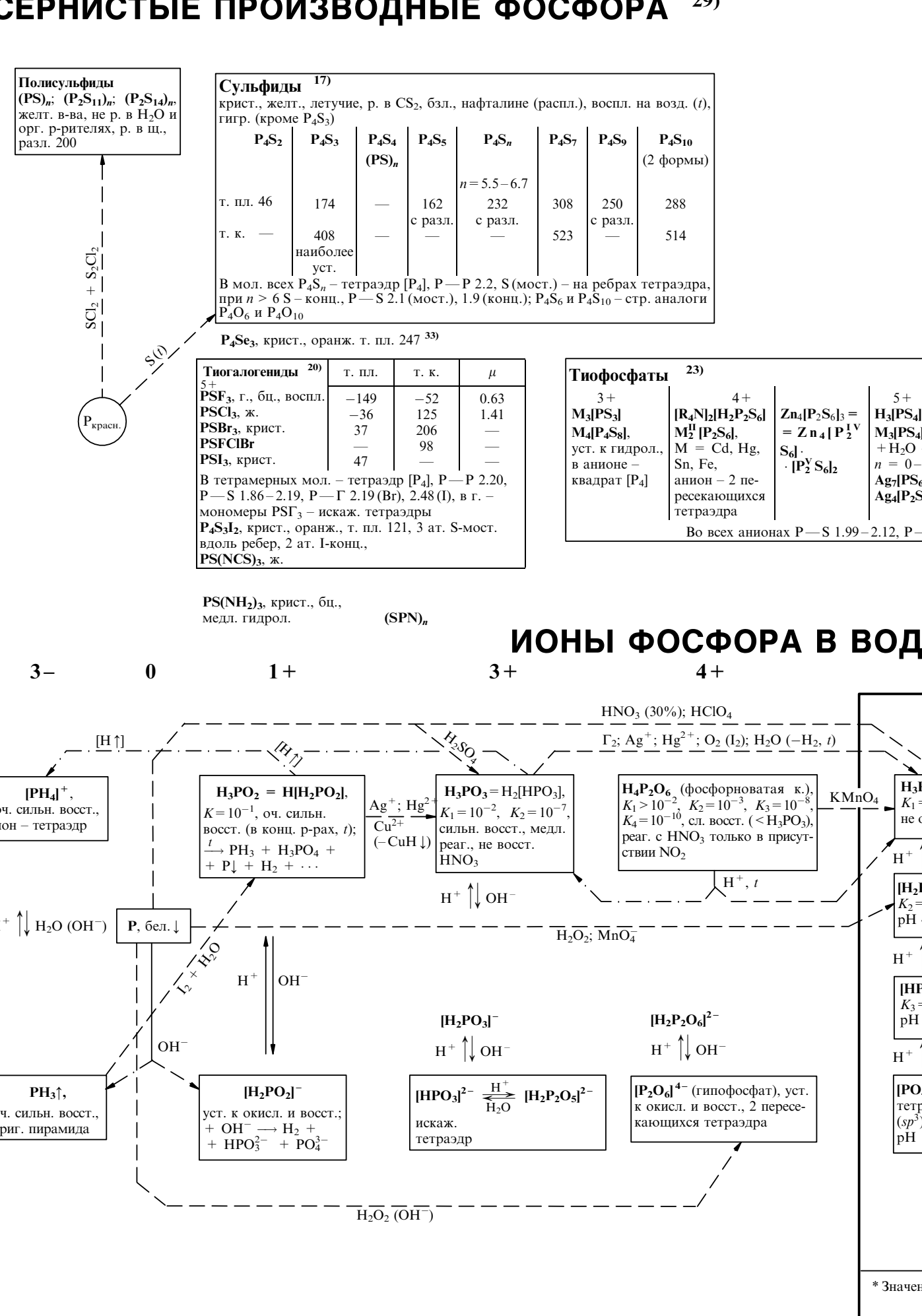
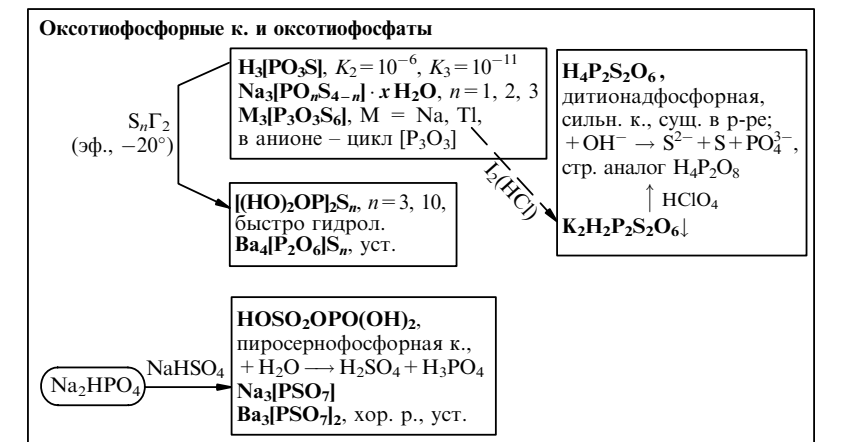
В тетрамерных мол. – тетраэдр [P₄], P – P 2.20,
P – S 1.86–2.19, P – Г 2.19 (Br), 2.48 (I), в г. –
мономеры PSF₃ – искаж. тетраэдры
P₄S₁₂, крист., оранж., т. пл. 121, 3 ат. S-мост.
вдоль ребер, 2 ат. I-конц.,
PS(NCS)₃, ж.

PS(NH₂)₃, крист., бз.,
медл. гидрол.

(SPN)_n

Тиофосфаты 23)			
3+	M ₃ [PS ₃] M ₄ [P ₄ S ₈], уст. к гидрол., в анионе – квадрат [P ₄]	4+ [R ₄ N] ₂ [H ₂ P ₂ S ₆] M ₂ ^H [P ₂ S ₆], M = Cd, Hg, Sn, Fe, анион – 2 пе- ресекающихся тетраэдра	Zn ₄ [P ₂ S ₆] ₃ = = Z _n ₄ [P ₂ ^I V S ₆] ₂
			5+ H ₃ [PS ₄] M ₃ [PS ₄], + H ₂ O → H ₂ S + M ₃ [PS _n O _{4-n}], n = 0–3, анион – тетраэдр
			Ag ₂ [PS ₆] Ag ₄ [P ₂ S ₇], анион изостр. [P ₂ O ₇] ⁴⁻
			Bo всех анионах P – S 1.99–2.12, P – P 2.28

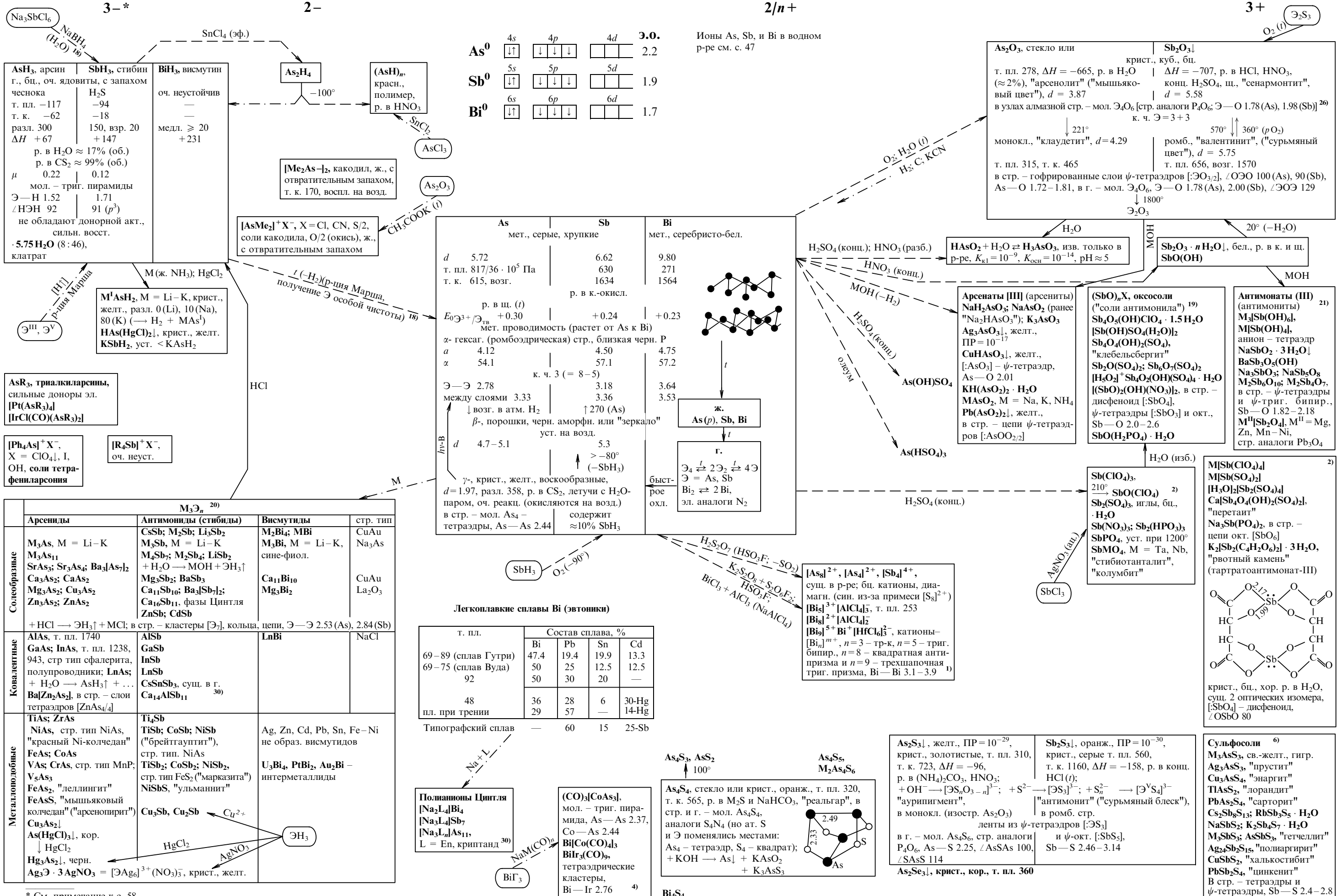
Оксосульфиды
3.5+ 4+ 5+
P₄O₄S₃; P₄O₇S³⁶; P₄O₄S₆
P₄O₆S₄,
т. пл. 102, т. к. 295
P₄O₇S₃



* Значения pH приводятся для 1%-ных р-ров

ФОСФАТЫ

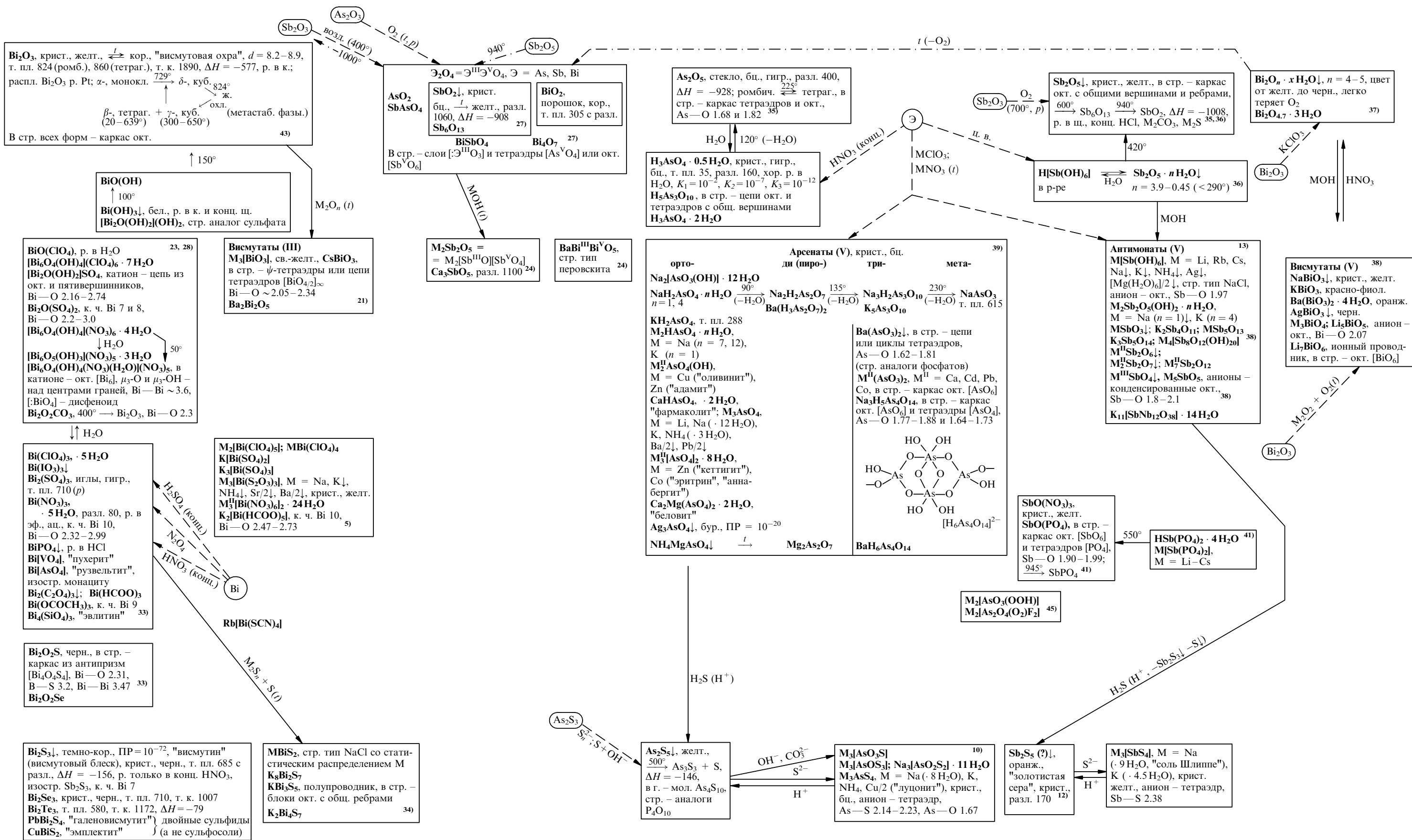
МЫШЬЯК, СУРЬМА, ВИСМУТ



44

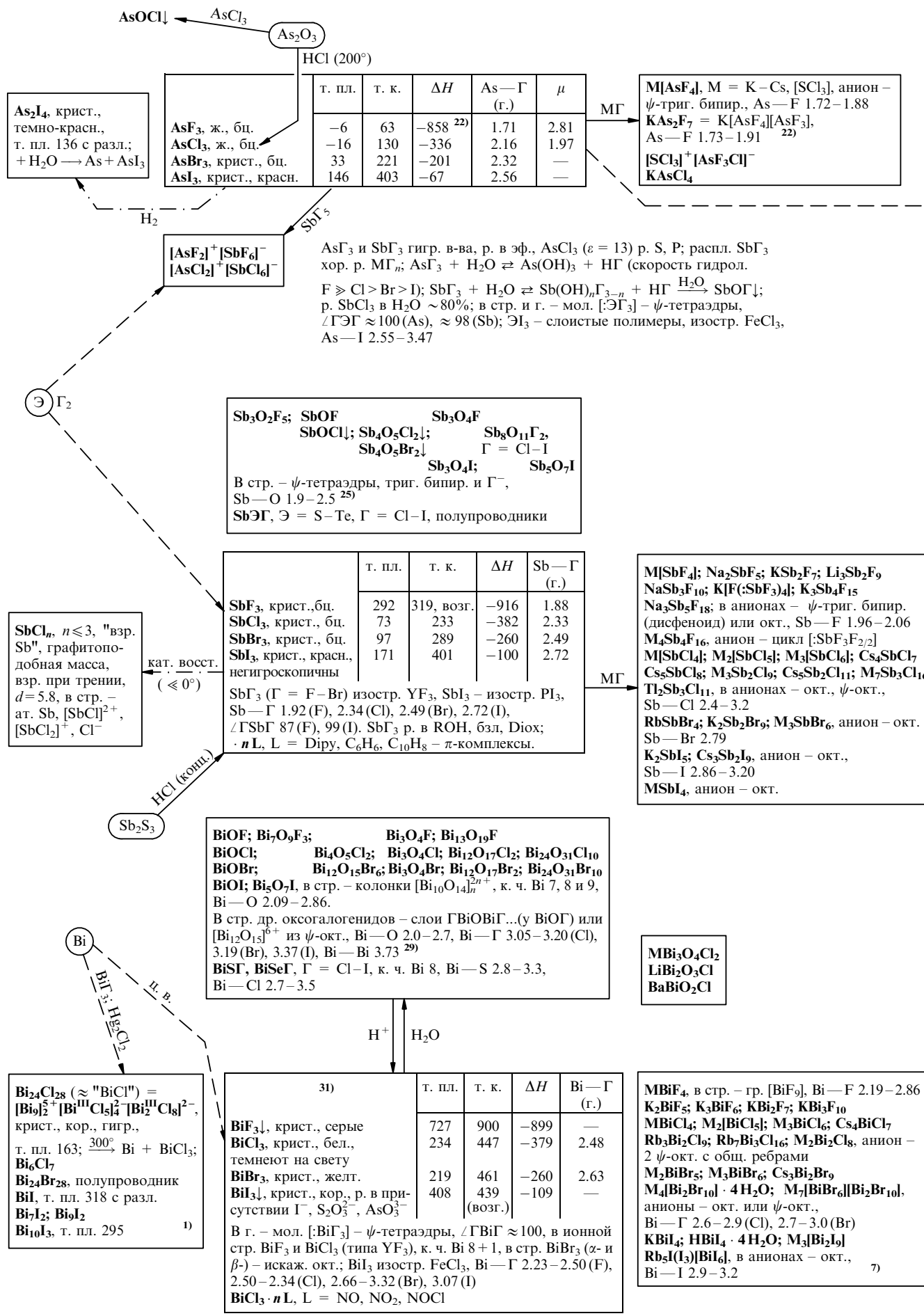
* См. примечание к с. 58

"4+"

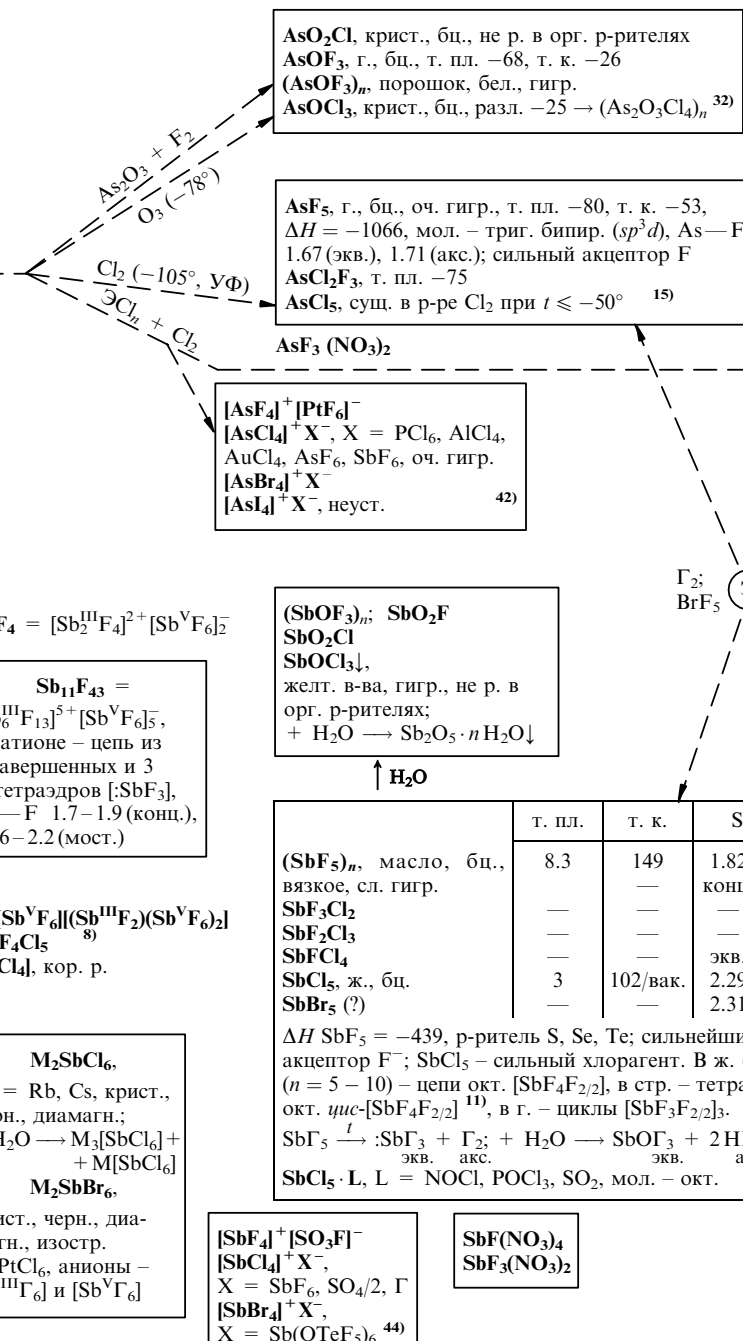


ГАЛОГЕНИДЫ И ОКСОГАЛОГЕНИДЫ МЫШЬЯКА, СУРЬМЫ И ВИСМУТА

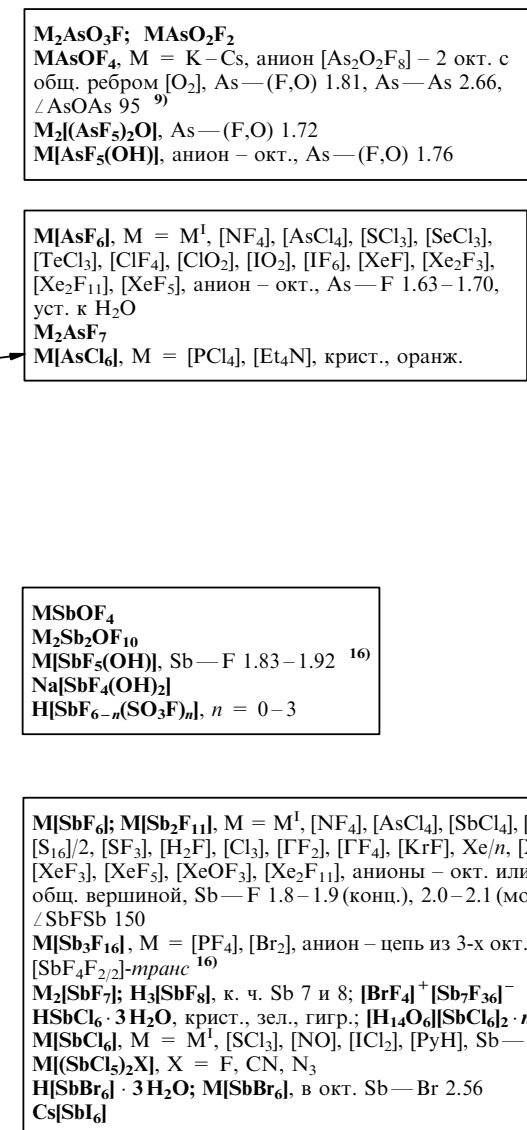
3+



"4+"



5+



$\text{BiF}_5 + \text{F}_2(p); [\text{NH}_4]\text{BF}_4 \rightarrow \text{K}[\text{BiOF}_4] + \text{BrF}_3 + \text{O}_2$

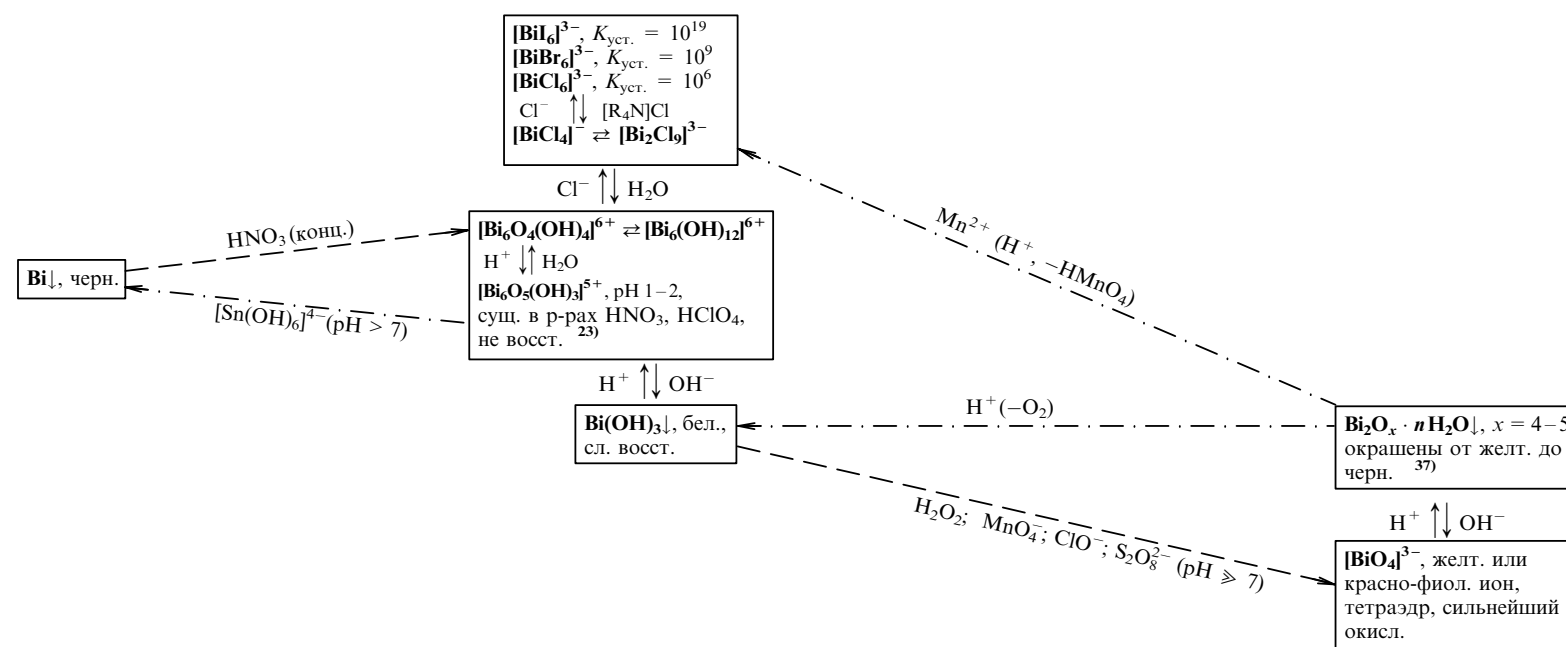
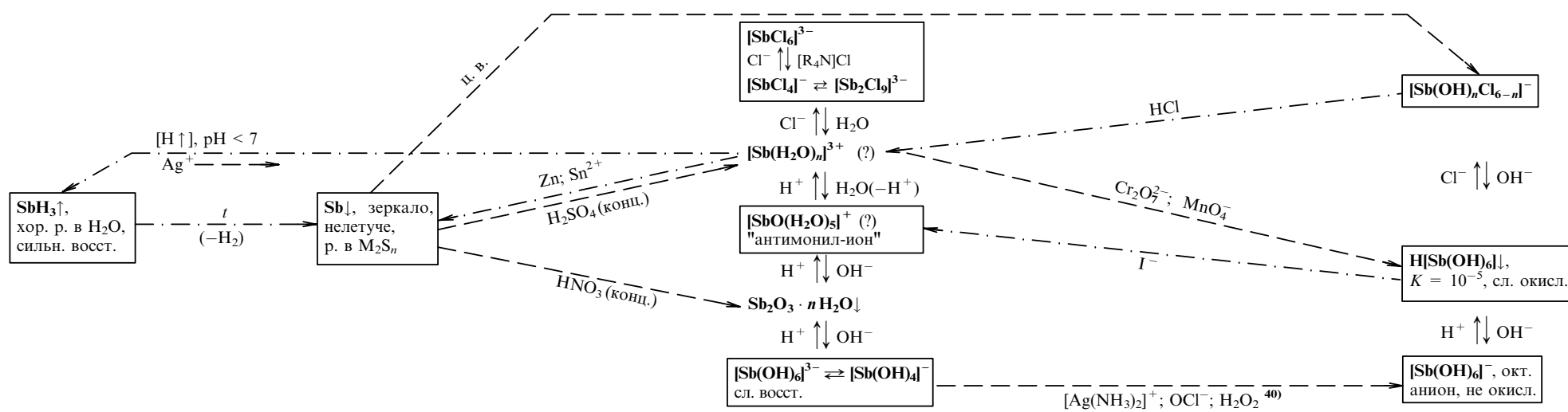
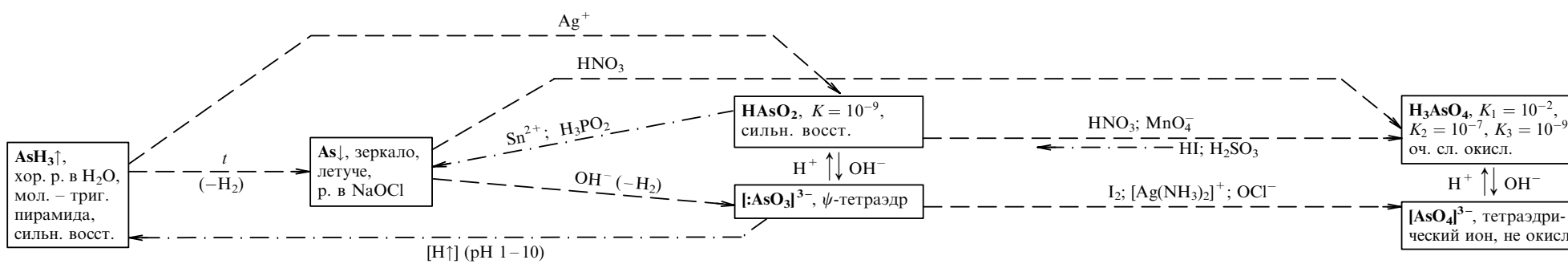
$\text{BiF}_5 \xrightarrow{\text{F}_2(500^\circ\text{C})}$
 $\text{BiF}_5 \xrightarrow{\text{ClF}_3(550^\circ\text{C})}$

3-

0

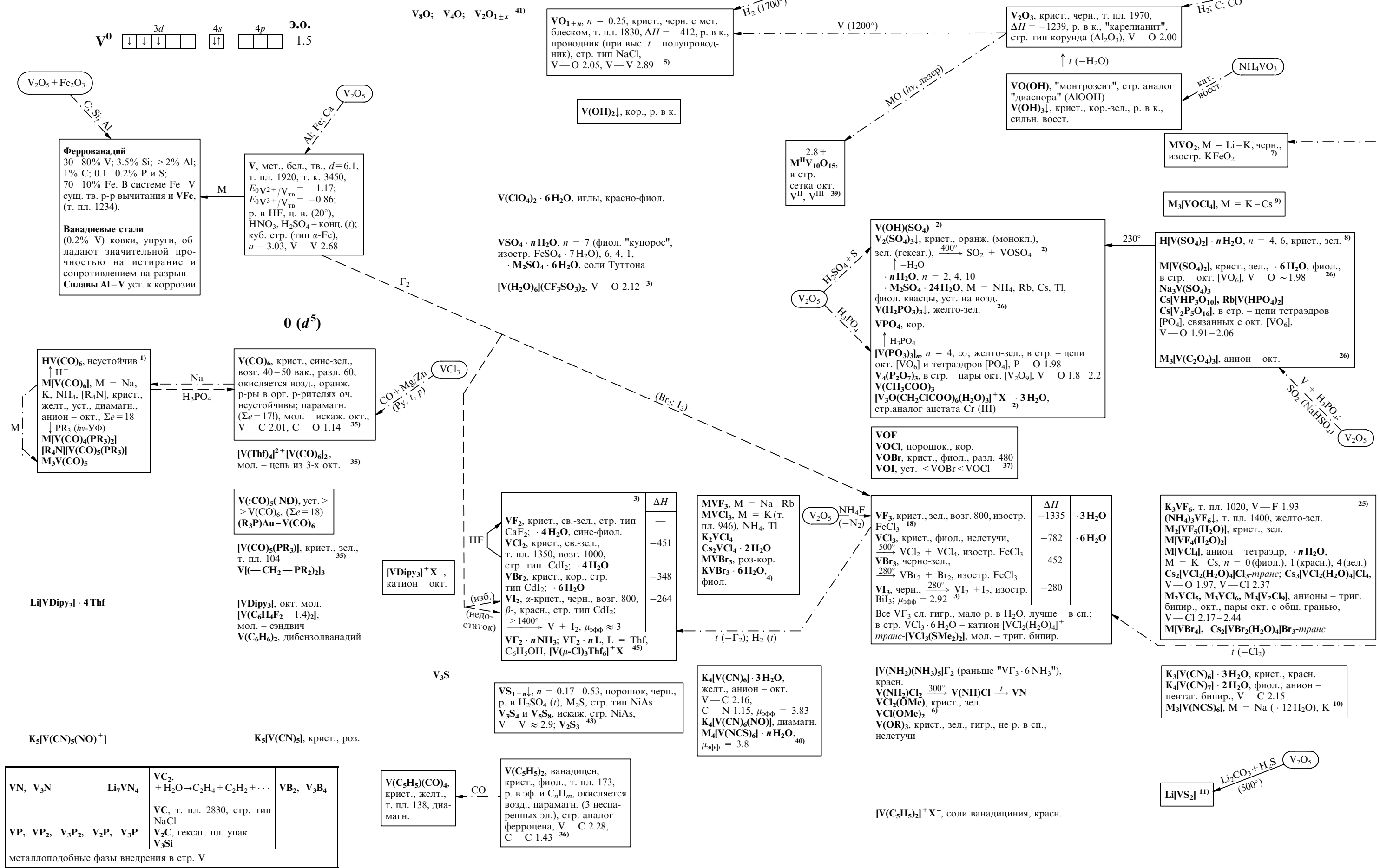
3+

5+



ВАНАДИЙ

Ионы V в водном растворе см. с. 52

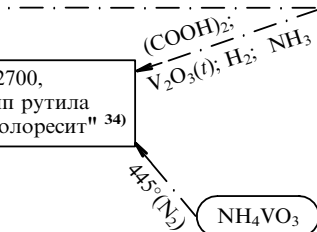


4 + (d¹)

(3.5–3.75) +
V_nO_{2n-1}
V₃O₅, стр.
аналог Ti₃O₅⁴²

VO₂, крист., гигр., т. пл. 1545, т. к. ~ 2700,
 $\Delta H = -720$, р. в к. и щ., искаж. стр. тип рутила
(TiO₂), "парамонтрозит"; $\cdot 2/3\text{H}_2\text{O}$, "долоресит"³⁴

VO(OH)₂, желт., р. в к. и щ.,
"дуттонит"¹²



4.66 + 4.8 +
V₃O₇ · H₂O; V₂O_{4.8} · n H₂O,
n = 0.5, 3.5, черн., "корвусит"³⁰

3.5 +
V₂O₂(OH)₃,
"хеггит"

Соли ванадила (IV), O=VX₂³¹
VO(ClO₄)₂ · 5H₂O
VOSO₄↓, крист., зел., $\cdot n\text{H}_2\text{O}$, n = 1–3,
5 (= [VO(H₂O)₅]SO₄(H₂O)), 6 син.,
хор., р. в H₂O, сп.; **0.5H₂SO₄**;
 $\cdot n\text{M}_2\text{SO}_4$, n = 1, 2, крист., син.
VOSeO₃, св. зел.
(VO)₃(PO₄)₂ · 9H₂O
VO(HPO₄) · n H₂O
VO(H₂PO₄)₂, син.
(VO)₂P₂O₇
VO(C₂O₄)₂ · n H₂O, n = 2, 4
VO(RCOO)₂³⁹
В стр. солей – окт. ион [VOX₅]
V=O 1.58–1.67, V—O 2.0–2.2

VOF₂, крист., желт.
VOCl₂ крист., зел., возг., разл. 300; **· 2.5H₂O**
VOBr₂, крист., желт., разл. 180
VOI₂ · 2.5H₂O, крист., кор.
VOΓ₂, гигр., хор. р. в H₂O, сп.
VO(NH₂)₂, черн., \xrightarrow{t} VO(NH) \xrightarrow{t} (VO)₃N₂ \longrightarrow VON
VO(OR)₂, кор. порошки¹³

VF₄, крист., гигр., желто-кор.,
 $\xrightarrow{300^\circ}$ VF₃ + VF₅↑, в стр. – слои окт.
VCl₄, ж., красн., оч. гигр., т. пл.
 $\leqslant -20$, т. к. 154, медл. разл. 20
(\longrightarrow VCl₃ + Cl₂↑)
VBr₄, крист., красн. (образ. при
охл. г. (550° \longrightarrow –78°), разл. –23
(\longrightarrow VBr₃ + Br₂) мол. – тетраэдр⁴⁶)

VCl(NH₂)₃, кор.-зел.
VCl₄(NO)
V₂Cl₇(NO), V₂Cl₈(NO)₅, крист., возг.
 \downarrow ROH
VCl₂(OR)₂ · ROH
V(OR)₄, крист. или ж., кор., р. в эф.,
бзл., мол. – тетраэдр¹³
 \uparrow ROH

V(NR₂)₄
V(S₂)₂, "патронит"
(C₅H₅)₂VCl₂

Ванадаты (IV) ("ванадиты"),
крист., желт. или кор.
Na[VO₂(OH)₅]; K₂V₃O₇ · 2.66H₂O
M₄V₄O₉ (ортро-)
M₃^{II}V₃O₉; M₂^{II}V₂O₈; M₁^{II}V₂O₇ (мета-)
M₂V₂O₅, (пиро-), из распл.
M₂V₄O₉ · 7H₂O (тетра-, "гипована-
даты"), крист., образ. из р-ров
CaV₄O₉ · 5H₂O, "симплотит"
H₈[Mo₃V₃O₁₉]; M₃[Mo₂V₄O₁₉H₇], син.

Ba[VO(PO₄)₂] · 4H₂O⁴⁸
K₂[VO(P₂O₇)₂], анион – тетраг. пирамида
Sr[VO(AsO₄)₂], в стр. – цепи окт.,
V=O 1.63, V—O ~ 2.0;
Na₁₄[V₁₈O₄₂(CO₃)₃] · 28H₂O⁴⁸
(NH₄)₂[VO(C₂O₄)₂] · 2H₂O, крист., гол.

M₃[VOF₃]; Cs₃[V₂O₂F₇]; Cs[VOF₃] · 1/2H₂O
M₂[VOF₄]; K₂[VOF₄(H₂O)], син.
M₂[VOCl₄]; Cs₃[VOCl₅].
в анионах – цепи окт., V—O 1.9–2.3,
V=O 1.58–1.68, V—F 1.88–2.19
K₃[VO(CN)₆]₂, анион – окт., V=O 1.64,
V—C 2.31 (акс.), 2.14 (экв.)
M₂[VO(NCS)₄]¹⁵

M₂VF₆, анион – окт., V—F 1.61–2.29¹⁶
M₂VCl₆, M = K (кор.), Rb (роз.), Cs (фиол.)
M[VCl₅], M = [PCl₄]₂ (раньше "VCl₅", крист.,
кор., т. пл. 260¹⁷), [SCl₃] (крист., черн., т. пл. 32)

* уст., р. в H₂O ≈ 1% (фиол. р-р)

Б стр. VOF₃ – сетка окт. [VOFF_{4/2}]₂, V=O 1.57,
V—F 1.70 (конц.), 1.8–2.3 (мост.); VO₃ (Г = Cl–Br)
в стр. и т. – тетраэдрические мол., V=O 1.56,
V—Cl 2.12, / CIVCl 111

V₂O(SO₄)₄, желт., неуст.

VF₅, крист., бц., оч. гигр., т. пл. 19, т. к. 48,
 $\Delta H = 1473$, ж. $\xrightleftharpoons{}$ VF₄⁺ + VF₆⁻; стр. аналог CrF₅;
в г. – мол., триг. бипир., V—F 1.71 (экв.), 1.73 (акс.);
+ H₂O \longrightarrow V₂O₅↓ + HF (бурно); [VF₄]⁺[Sbf₆]⁻³⁸

Cl₃V = NCl, т. пл. 132, возг., в г. – мономеры¹⁴
(V=N 1.65, N—Cl 1.60, V—Cl 2.14, / CIVCl 113,
/ VNCl 170), в стр. – димеры с 2 Cl (мост.)
Cl₃V = NG, Г = Br, I, мол. – триг. пирамида (NG – акс.)

V₂S₃↓, порошок, кор., р. в щ., M₂S,
разл. HNO₃, легко окисляется возд.,
 \xrightarrow{t} V(S₂)₂ + V₂S₃ + ...

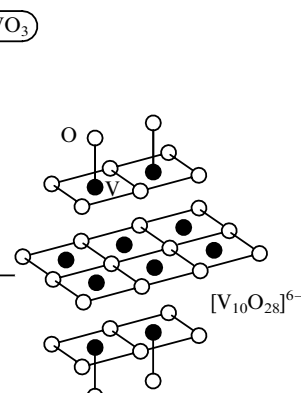
5 + (d⁰)

4.33 +
V₆O₁₃, крист., сине-черн., разл. 650,
в стр. окт., V—O 1.6–2.3³⁴
V₄O₉; V₃O₇ = V^{IV}[V₂O₇]

4.66 + 4.8 +
V₃O₇ · H₂O; V₂O_{4.8} · n H₂O,
n = 0.5, 3.5, черн., "корвусит"³⁰

V₂O₅, крист., оранж., т. пл. 680, разл. 700, $\Delta H = -1573$, р. в H₂O ≈ 0.04%,
р. в к. и щ., летучи с паром H₂O ($\xrightleftharpoons{}$ H₄V₂O₇ г.), V₂O₅(ж.) $\xrightleftharpoons{}$ VO₂⁺ + VO₃⁻
(проводник), в стр. – двойные цепи тетраг. пирамид [VO₅], V=O 1.58,
V—O 1.78–2.0 (4 связи); **n H₂O**, n = 1 ("HVO₃", "навахоит"), 2 ("H₄V₂O₇"),
3 ("H₃VO₄") – волокнистые крист.²⁸

Моногидраты
M₆V₁₀O₂₈ · n H₂O, M = Na (n = 18), Ca/2 (17, "паскоит"), Ba/2 (19)
крист., оранж. анион из 10 искаж. окт. [VO₆] с общ. ребрами,
V—O 1.68, 1.80, 1.90, V—V 3.04–3.32
K₃V₅O₁₄; [R₄N]₃HV₄O₁₂; K₅V₃O₁₀; MV₃O₈
M₄V₂O₇, M = Na (· H₂O), K (· 2H₂O), Ag₁
MVO₃, M = Na, K (т. пл. 520), Cs, NH₄ (разл. 30), Ag₁, Ba/2 (· H₂O), в стр. – конден-
сированные тетраэдры триг. бипир., тетраг. пирамиды или окт., V—O 1.62–1.97
M₃[VO₄]_n, M = Na (т. пл. 866), K (· 2H₂O), Ag₁, Sr, Ba, Al (· 3H₂O, "штейгерит"),
Sc, Ln, Bi, Fe(III) ("ферванит"), Cu(II) (· 3H₂O, "фольборит");
в стр. – изолированные тетраэдры, V—O 1.75 [изостр. M₃(PO₄)_n]
Pb₅[VO₄]₃Cl, "ванадинит", желто-красн., изостр. апатитам
K(UO₂)[VO₄] · 1.5H₂O, "карнотит"
M_n[W₁₂O₄₀]; K₄[V₂W₈O₃₁]; Mn[PV_xW_{12-x}O₄₀]; M₇[PV₁₂O₃₆]; M₆[H₃PV₁₄O₄₂],
(NH₄)₅H₃Mn₃V₁₂O₄₀ · 15H₂O²⁹



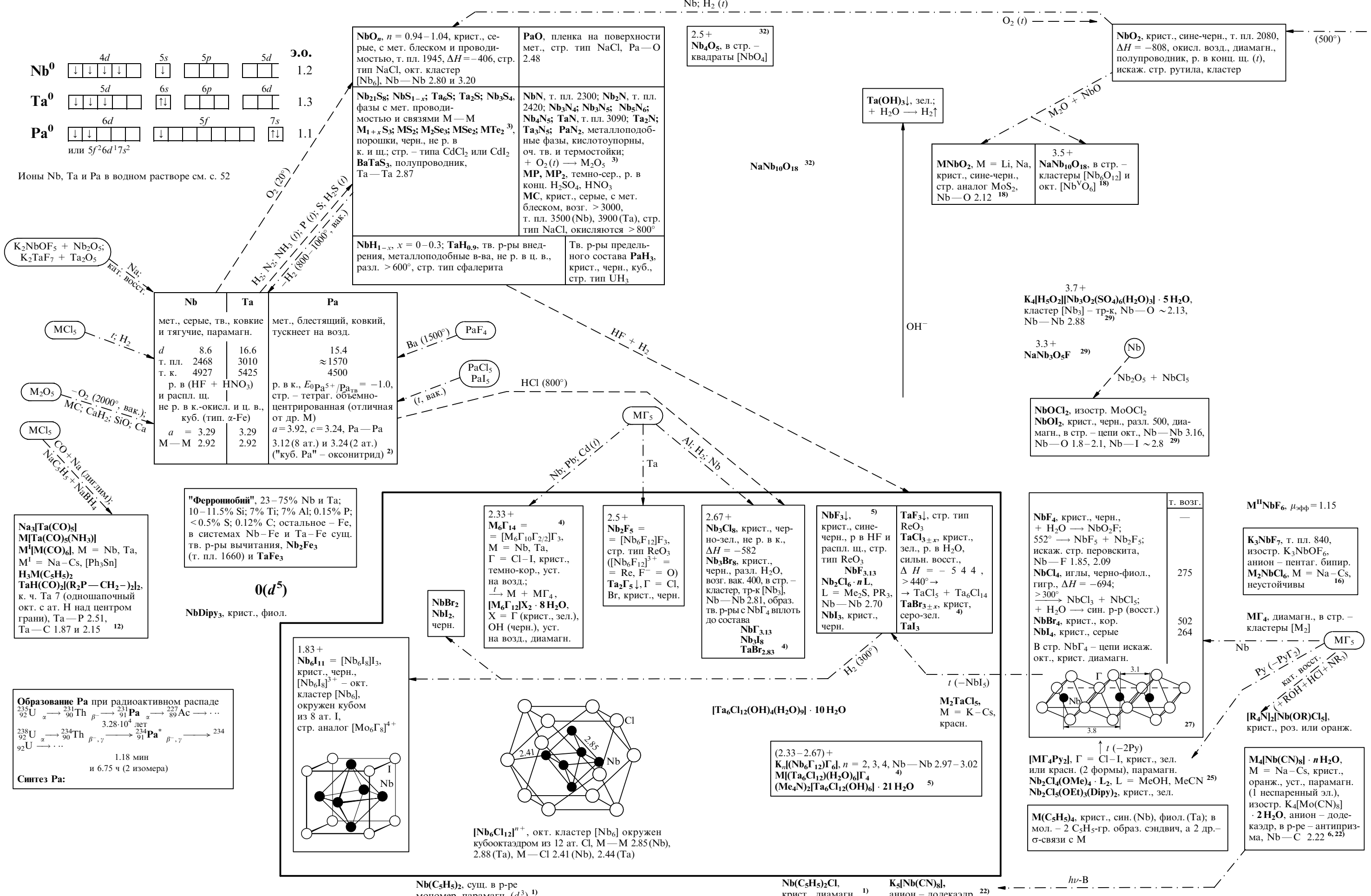
Ванадаты (V)²⁴
M₆V₁₀O₂₈ · n H₂O, M = Na (n = 18), Ca/2 (17, "паскоит"), Ba/2 (19)
крист., оранж. анион из 10 искаж. окт. [VO₆] с общ. ребрами,
V—O 1.68, 1.80, 1.90, V—V 3.04–3.32
K₃V₅O₁₄; [R₄N]₃HV₄O₁₂; K₅V₃O₁₀; MV₃O₈
M₄V₂O₇, M = Na (· H₂O), K (· 2H₂O), Ag₁
MVO₃, M = Na, K (т. пл. 520), Cs, NH₄ (разл. 30), Ag₁, Ba/2 (· H₂O), в стр. – конден-
сированные тетраэдры триг. бипир., тетраг. пирамиды или окт., V—O 1.62–1.97
M₃[VO₄]_n, M = Na (т. пл. 866), K (· 2H₂O), Ag₁, Sr, Ba, Al (· 3H₂O, "штейгерит"),
Sc, Ln, Bi, Fe(III) ("ферванит"), Cu(II) (· 3H₂O, "фольборит");
в стр. – изолированные тетраэдры, V—O 1.75 [изостр. M₃(PO₄)_n]
Pb₅[VO₄]₃Cl, "ванадинит", желто-красн., изостр. апатитам
K(UO₂)[VO₄] · 1.5H₂O, "карнотит"
M_n[W₁₂O₄₀]; K₄[V₂W₈O₃₁]; Mn[PV_xW_{12-x}O₄₀]; M₇[PV₁₂O₃₆]; M₆[H₃PV₁₄O₄₂],
(NH₄)₅H₃Mn₃V₁₂O₄₀ · 15H₂O²⁹

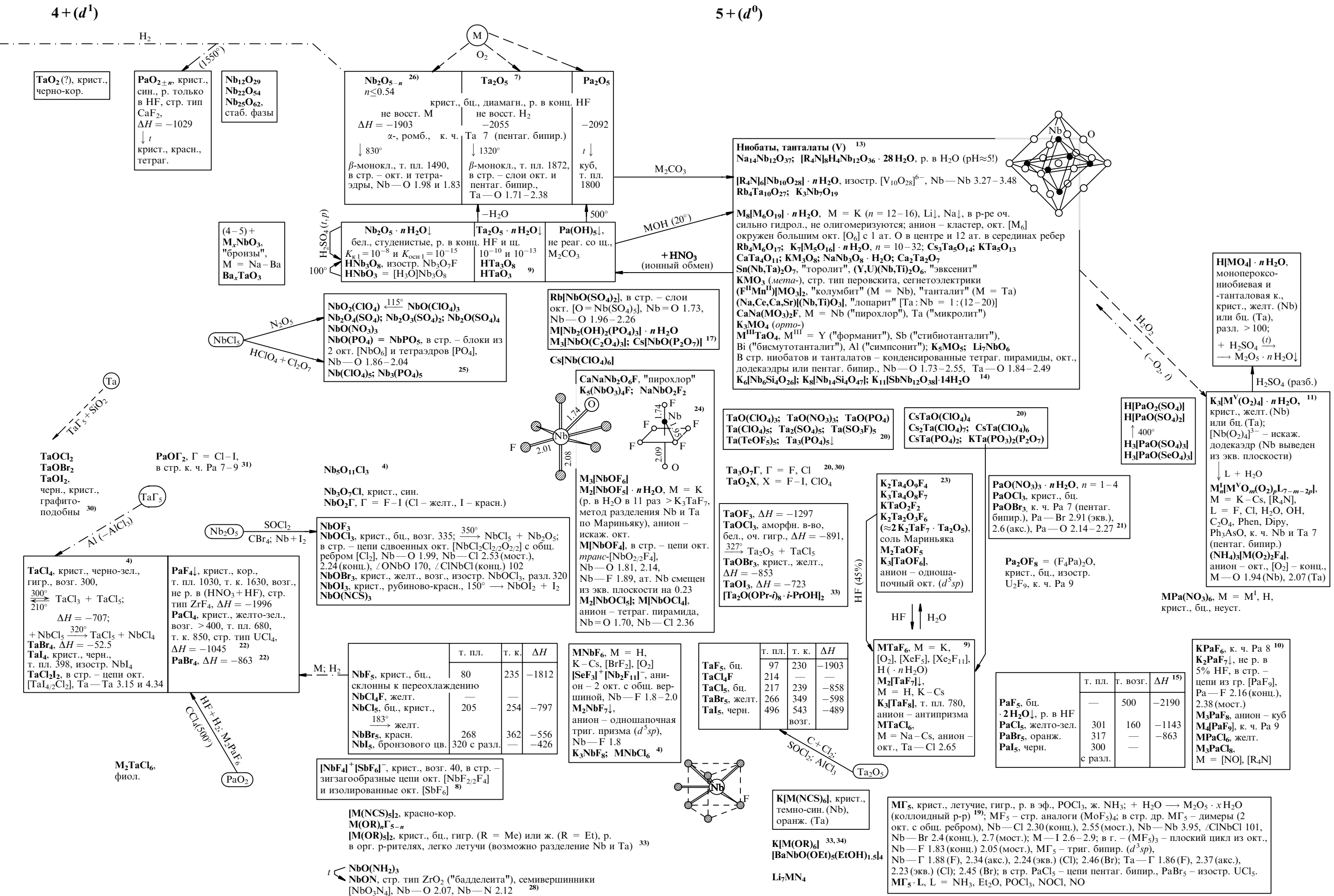
M[VO₂(SO₄)₂]
M₃[VO₂(C₂O₄)₂]₂-*цис*, окт., V=O 1.63 и 1.64,
V—O 2.00 (перп. к О) и 2.23 (транс-)
M₃[VO₂F₄]₂, в стр. – линейные гр. [O=V=O]
M₂[VO₂F₃]₂, Cs₃[VO₂F₅]₂
M[VO₂Cl₂]₂, M = K–Cs, V=O 1.56 и 1.60, V—Cl 2.23²²

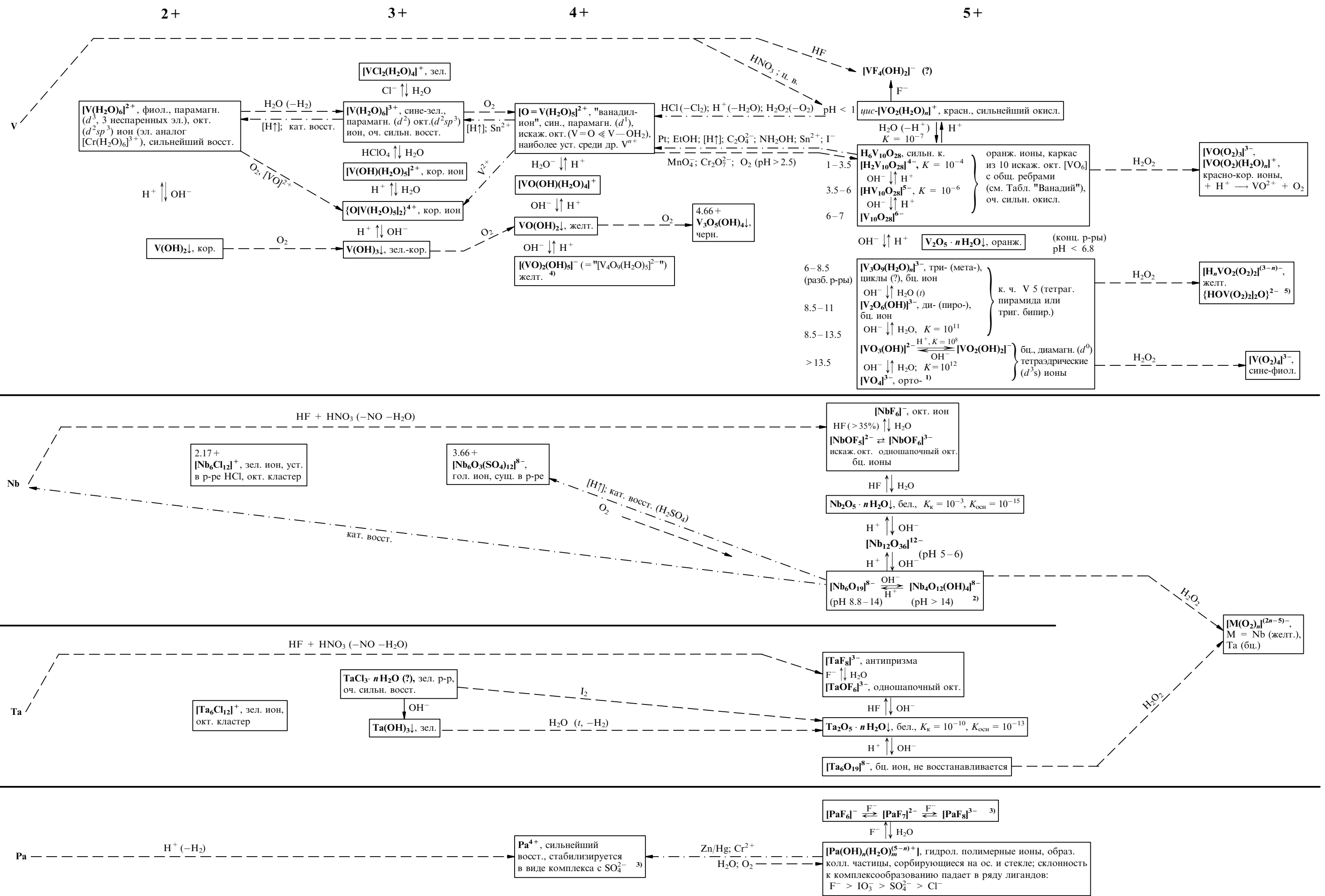
(NH₄)₄[V₂O₃(SO₄)₄]²²
K[VO(SO₄)₂]₂, в окт. [VO₆] V=O 1.52 (конц.), 1.82 (мост.)⁴⁷

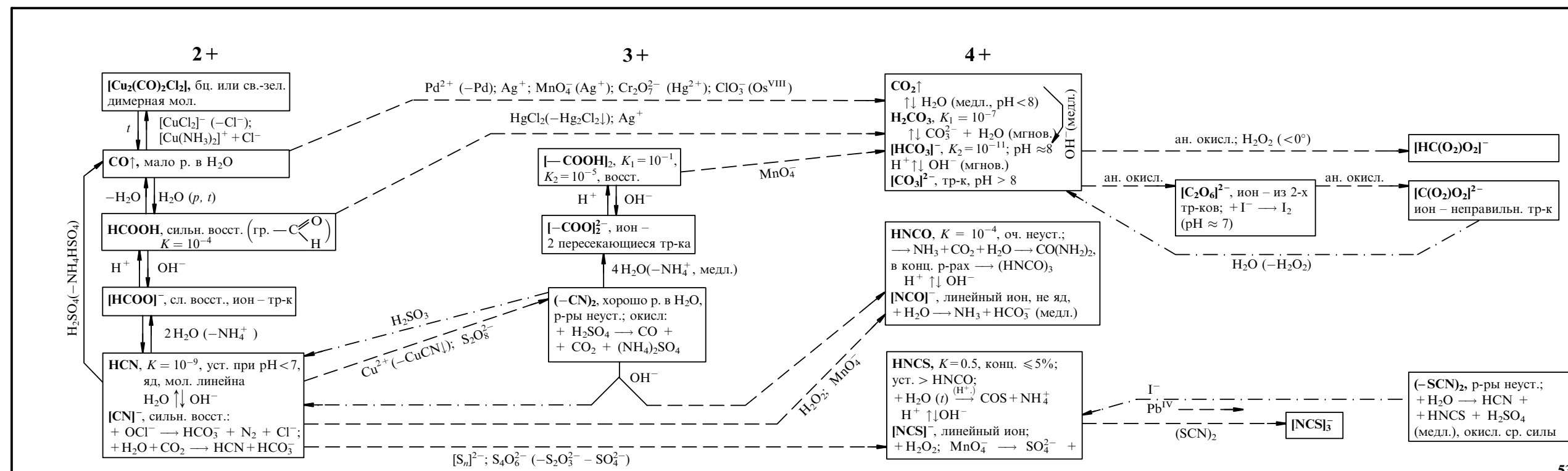
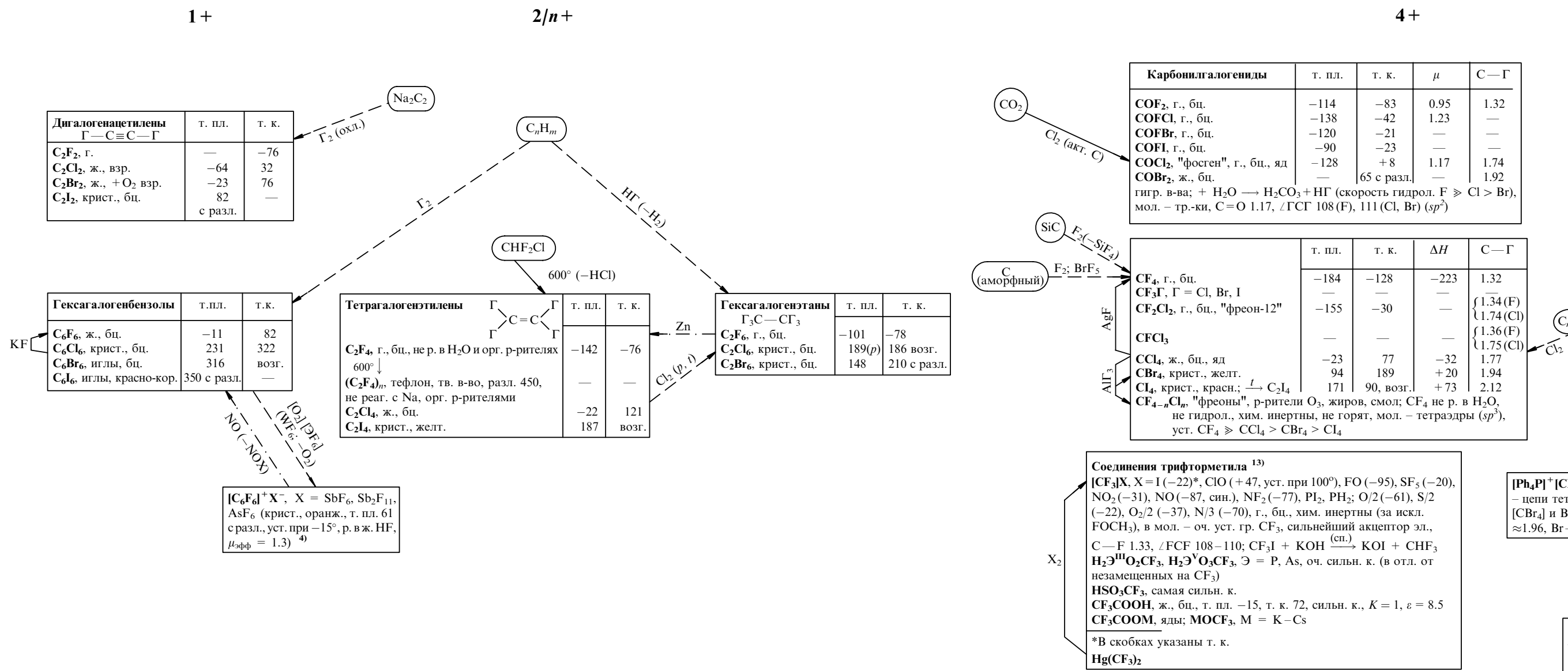
M[VOF₄]₂, крист., желто-зел., в стр. – цепь окт.
[VF₅O₄]₂, V сдвинут к О на 0.31 от экв. плоскости,
V=O 1.57, V—F 1.79 (экв.), 2.33 (акс.)²³
M₂[VOF₅]₂; Cs₃[VO₂F

НИОБИЙ, ТАНТАЛ, ПРОТАКТИНИЙ







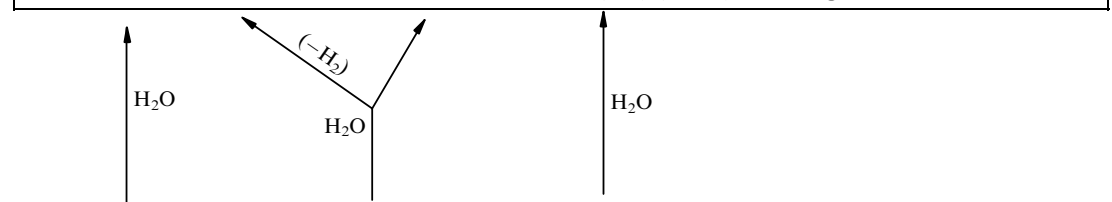
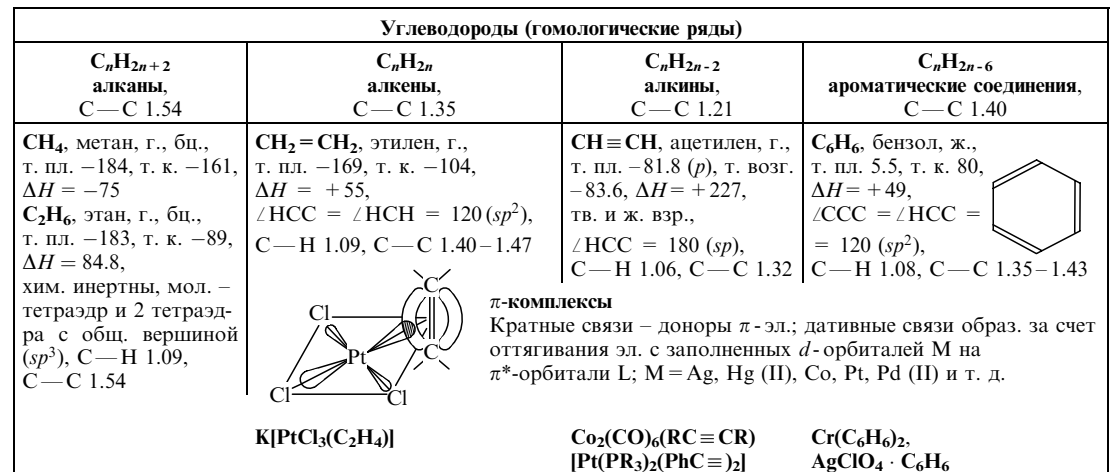


УГЛЕРОД

$$(2+2/n)-$$

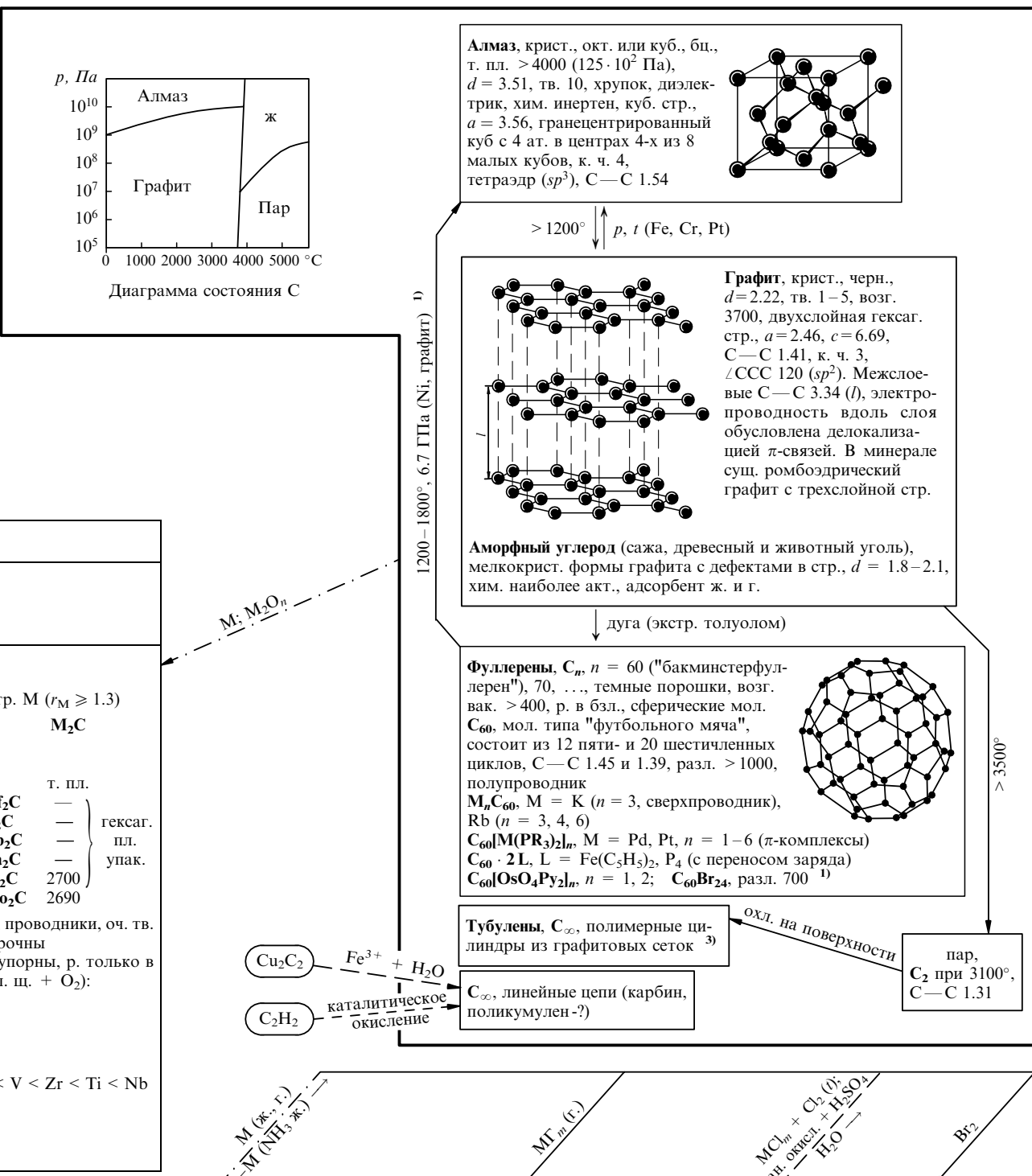
2-

1 -



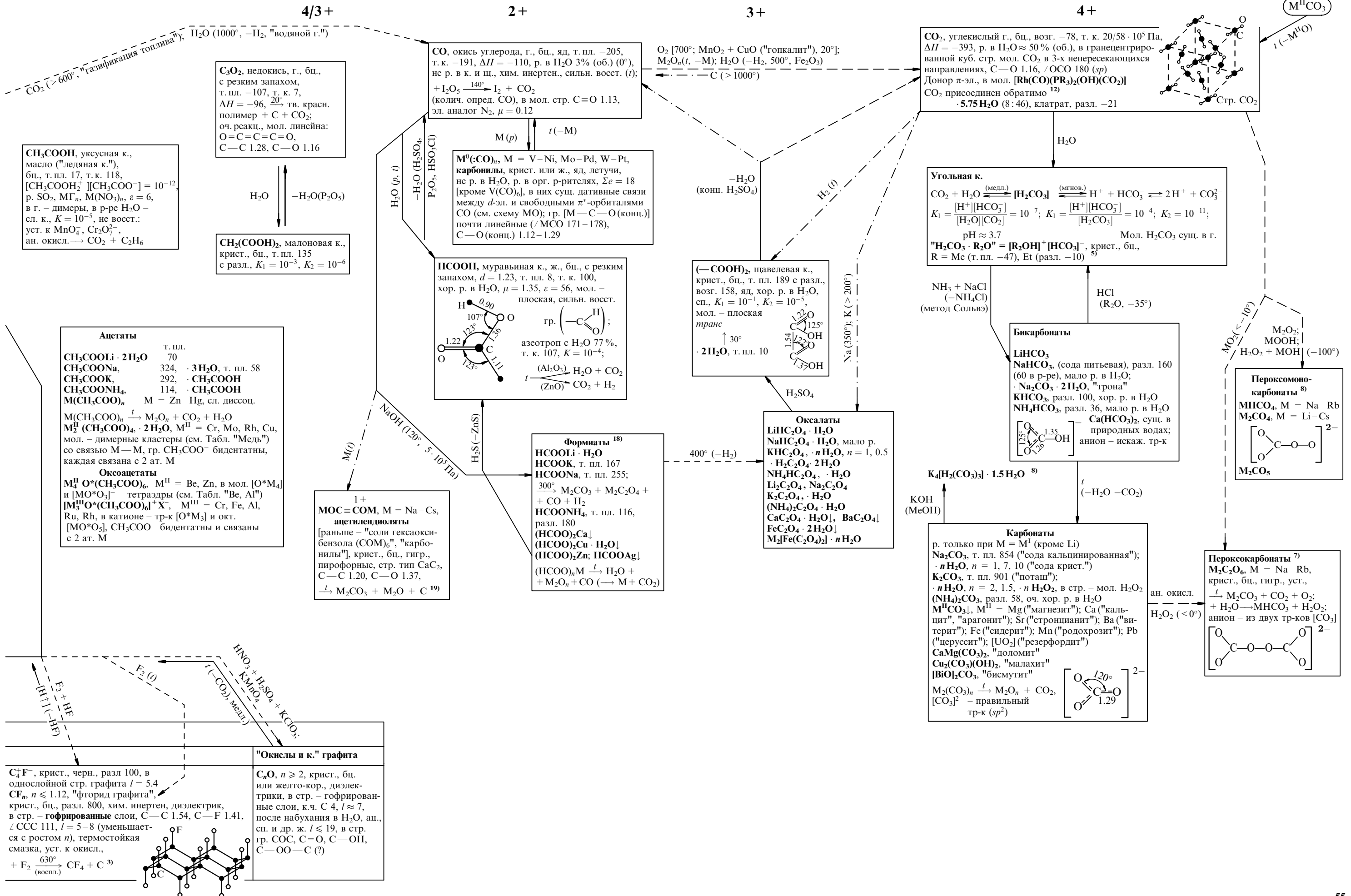
Карбиды

Солеобразные (стехиометрического состава)			Ковалентные	Металлоподобные (нестехиометрического состава)			
Метаниды и производные этана	Производные этилена и аллена	Ацетилиды					
T. пл.	T. пл.	T. пл.		T. пл.	T. пл.		
Be_2C 2150	ThC_2 2655, желт.	NaHC_2 —	SiC , "карборунд", крист., бц. (темн. из-за примесей), разл.	Cr_3C_2 1900	Fe_3C , "цементит" 1650	фазы внедрения ат. С в стр. М ($r_M \geq 1.3$)	
Al_4C_3 > 2800	VC_2 —	Na_2C_2 — стр. NaCl	Cr_7C_3 1680	Mn_3C 1520	MC_{1-x}	M_2C	
крист., бел., в стр. — изолированные анионы $[\text{C}]^{4-}$ (Be_2C — стр. тип анти- CaF_2);	UC_2 2350	BeC_2 — } стр.	Mn_{23}C_3 —	Co_3C } метастаб. —	t. пл.		
+ $\text{H}_2\text{O} \rightarrow \text{C}_2\text{H}_4 + \text{H}_2 + \text{CH}_4 + \text{C}_n\text{H}_m$,	+ $\text{H}_2\text{O} \rightarrow \text{C}_2\text{H}_4 + \text{H}_2 + \text{CH}_4 + \text{C}_n\text{H}_m$,	MgC_2 — } стр.	Cr_{23}C_6 ($\approx \text{Cr}_4\text{C}$) 1520	Ni_3C } фазы —	TiC 3250		
в искаж. стр. CaC_2 -ионы $[\text{C}=\text{C}]^{4-}$, С—С 1.34 (ср. $\text{C}_2\text{H}_4!$)		CaC_2 2300 } тип	BaC_2 > 1780 } CaC_2	$\text{B}_4\text{C} = \text{B}_{12}[\text{C}_3]$, крист., черн., т. пл. 2450, т. к. > 3500, в стр. типа NaCl — икосаэдры $[\text{B}_{12}]$ и линейные гр. $[\text{C}_3]$, оч. тв., хим. инергты, жаростойк. Тв. сплавов в системе В—С—S > тв. SiC и B_4C	Mn_{23}C_6 —	ZrC 3735	
Mn_{23}C_6 —	Mn_{23}C_6 —	CrC —	CrC —	$\text{Fe}(\text{Cr})_3\text{C}, (\text{Fe}, \text{Mo})_3\text{C}$, оч. тв., придают тв. сплавам; $+\text{H}^+ \rightarrow \text{H}_2 + \text{CH}_4 + \text{C}_n\text{H}_m$	HfC 3890	Hf_2C	т. пл.
Al ,					VC 2830	V_2C —	т. пл.
Ce , крист., бц.,					NbC 3500	Nb_2C —	пл.
$+\text{H}_2\text{O} \rightarrow \text{C}_2\text{H}_2 + \dots$					TaC 3900	Ta_2C —	упак.
$\text{M}_2\text{C}_2 \downarrow, M = \text{Cu} - \text{Au}$,					WC 2660	W_2C 2700	
стр. тип NaCl					MoC —	Mo_2C 2690	
$\text{HgC}_2 \downarrow$, образ. из р-па в H_2O ; взр. в сухом состоянии. В стр. ацетилидов (тип CsCl) — ионы $[\text{C} \equiv \text{C}]^{2-}$, С—С 1.19–1.24 (ср. $\text{C}_2\text{H}_2!$)							
LnC_2 , желт., т. пл. ≈ 2300 ; $+\text{H}_2\text{O} \rightarrow \text{C}_2\text{H}_2 + \text{H}_2 + \dots$; стр. тип CaC_2 , С—С 1.28, проводники							
$\text{M}_2\text{C}_3 = \text{M}_4[\text{C}_2]_3$, $M = \text{Ln}, \text{U}$; $+\text{H}_2\text{O} \rightarrow \text{C}_2\text{H}_2 (50-70\%) + \text{C}_2\text{H}_4 + \text{CH}_4 + \text{H}_2$; С—С 1.24–1.32							

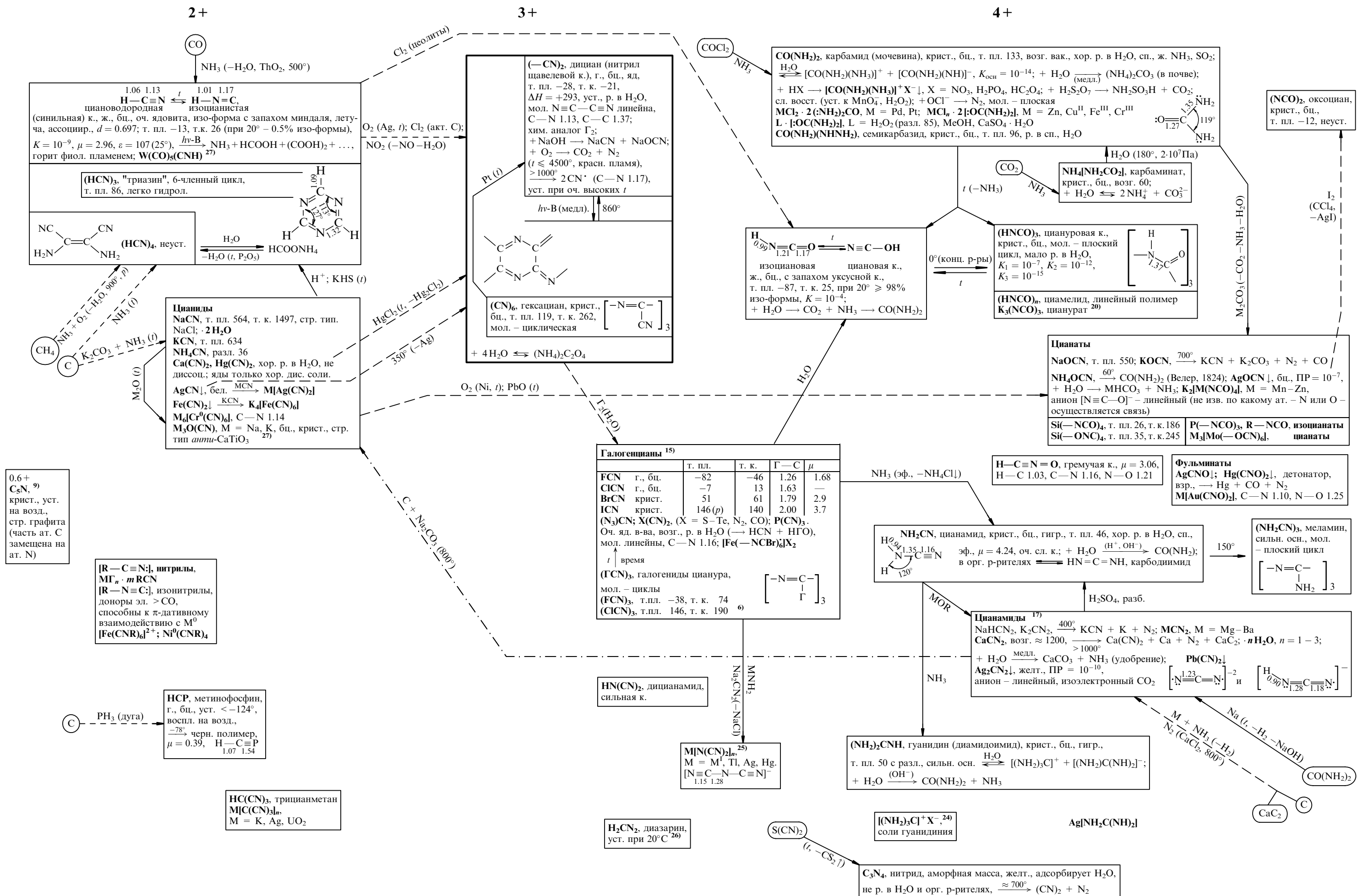


Соединения графита (l – расстояние между слоями)

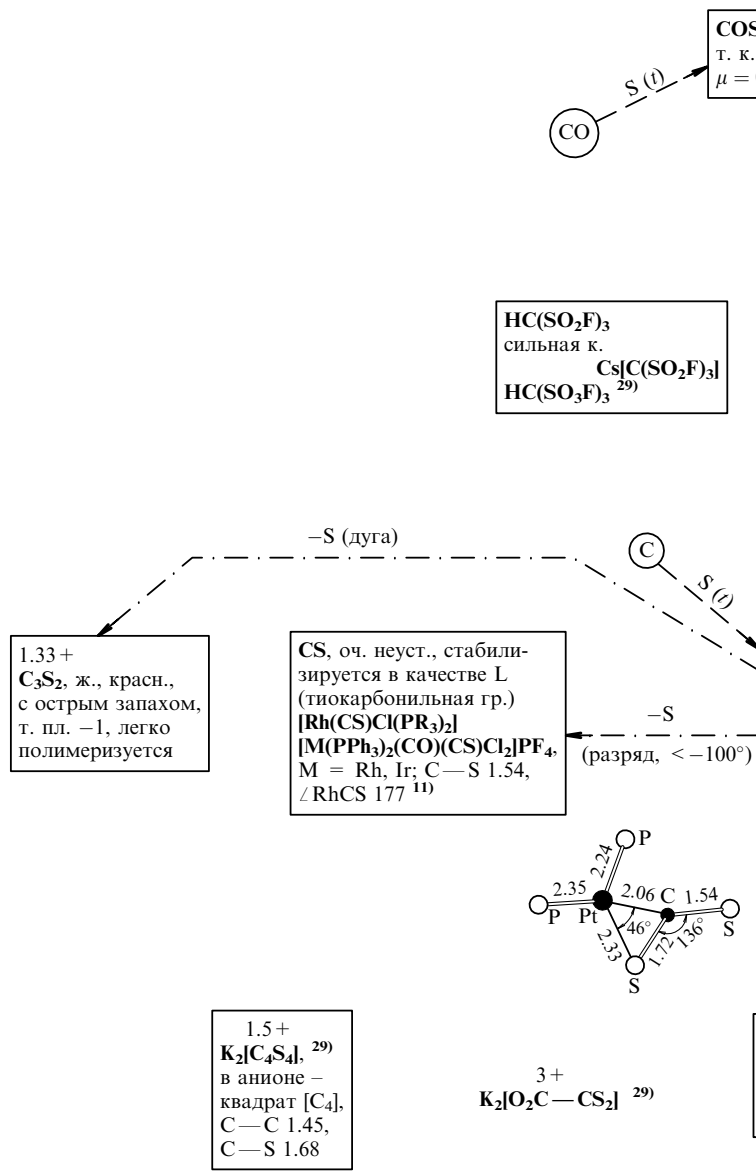
"Графитиды" металлов, MC_n , $n \leq 60$ ¹⁴⁾	Соединения включения ²⁾	Графитовые соли ²⁾
<p>LiC₆, BaC₆¹⁴⁾ M_{1-x}C₈, M = K – Cs, крист., медно-красн., воспл. на возд., проводимость > графита; + H₂O → H₂ + MOH + + графит. В однослоиной стр. графита $l = 3.7$ (Li), 5.4 (K), 5.6 (Rb), 5.9 (Cs), ат. M не на середине l; к. ч. M 12 (гексаг. призма) MC₁₆, M = K – Cs; K₆C₆₀, диэлектрики¹⁾ M⁰C_n, M = Mo, W, Mn – Ni, $l = 5.6$ – 5.9</p>	<p>C_n · L, L = AlF₃, SbF₅, AsF₅, GaBr₃, FeCl₃, LnCl₃, CrCl₃, FeS₂, MoO₃, XeF₆, XeF₄, KrF₂ C₂₁CrCl₃, $l = 12.80$ C₂₂–₂₉CrCl₃, $l = 16.57$ C_{6,3}(Au₂Cl₆), $l = 6.80$ C₃₃AlBr₃, $l = 20.10$ C_{8,5}IF₅; C₃₈UBr₅; C₁₃UF₆ проводимость > графита</p>	<p>C_n⁺Γ⁻ · MC_m, Γ = Cl, Br, M = Be, Al, Ga, Fe, Hg, Pt, Au, W, U; $l = 9$ – 13²⁾ C_n⁺X⁻, X = NO₃, ClO₄, HF₂, SO₃F₂, AsF₆, крист., син., $l \approx 8$ \uparrow HX C₂₄⁺[HSO₄] · 2H₂SO₄, крист., гол., $l \approx 8$</p>
		<p>C₈⁺Br⁻, в стр. графита ($l = 7.05$) – анионы [Br₂]⁻, Br – Br 2.1 – 2.2, проводимость > графита</p>



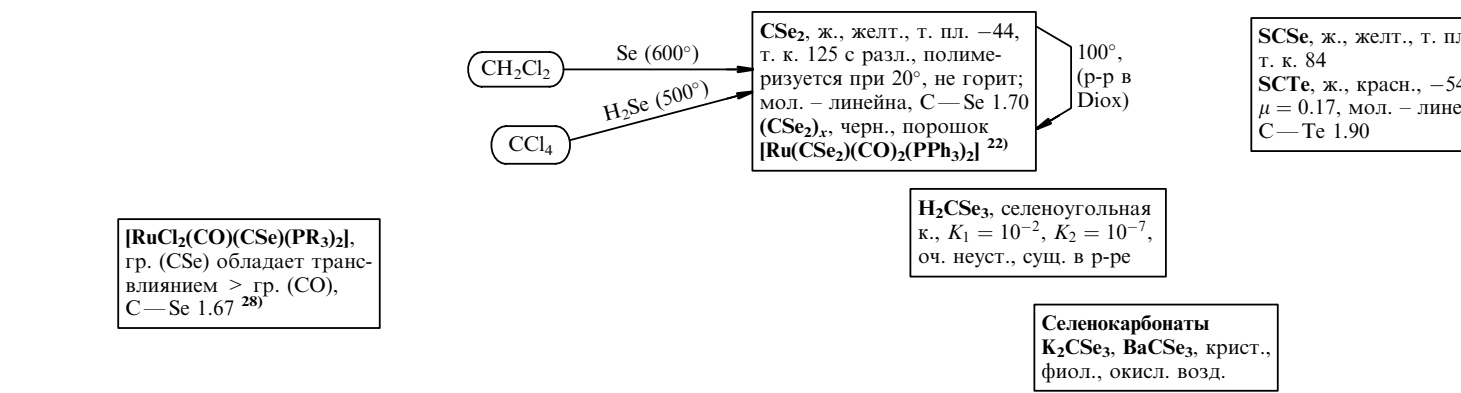
АЗОТНЫЕ И ФОСФОРНЫЕ ПРОИЗВОДНЫЕ УГЛЕРОДА



2+

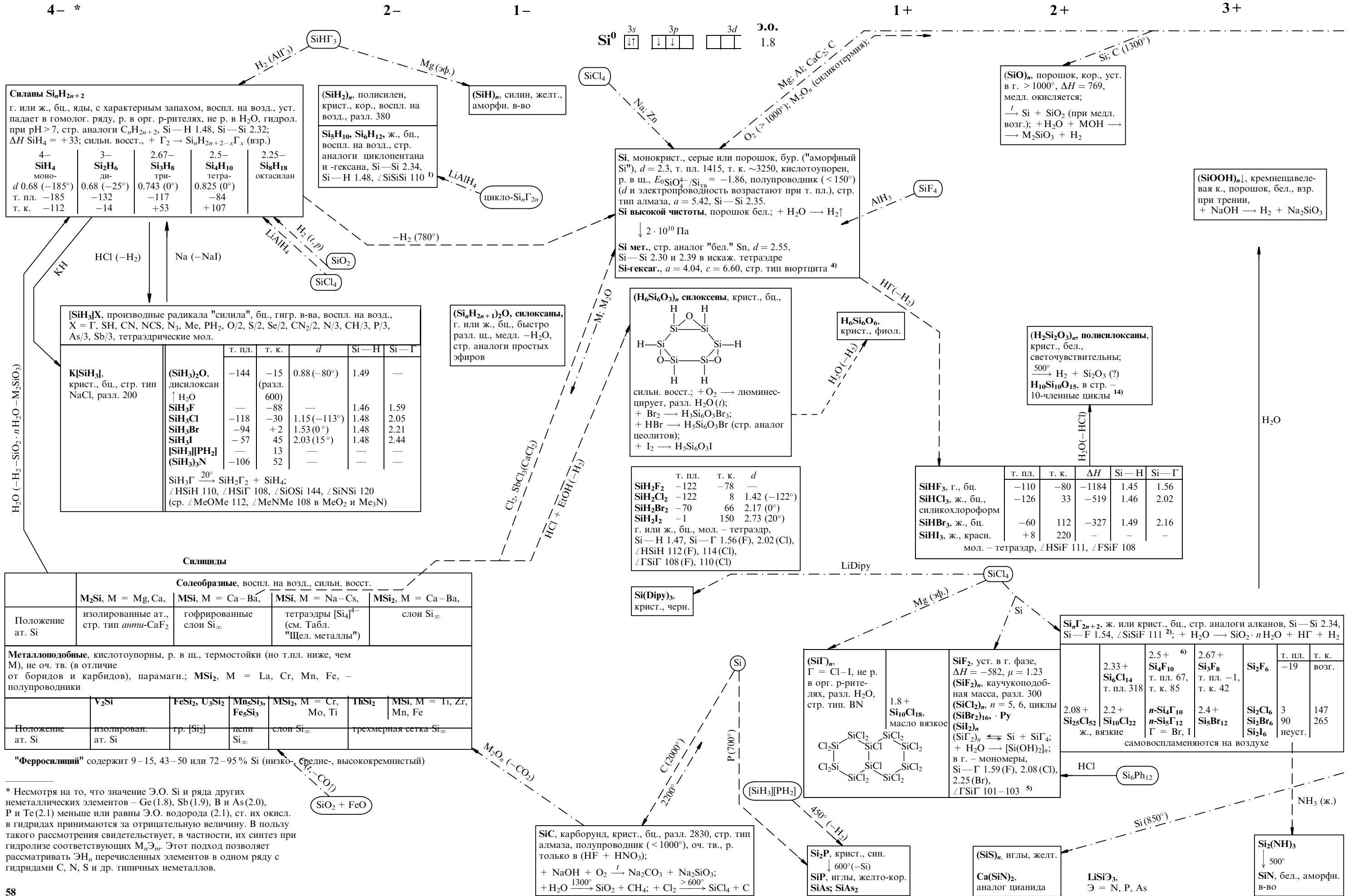


4+



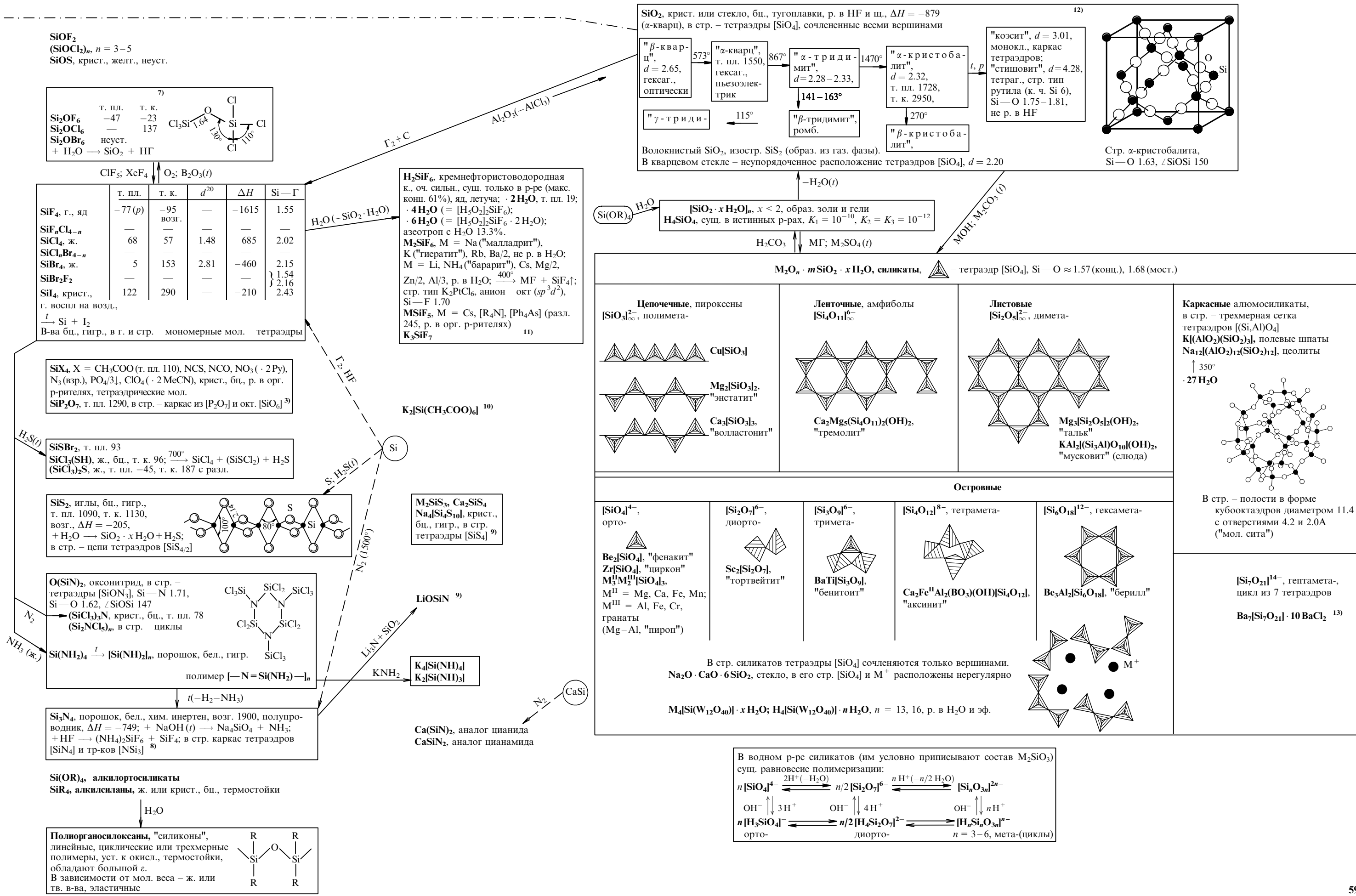
КРЕМНИЙ

4 - *



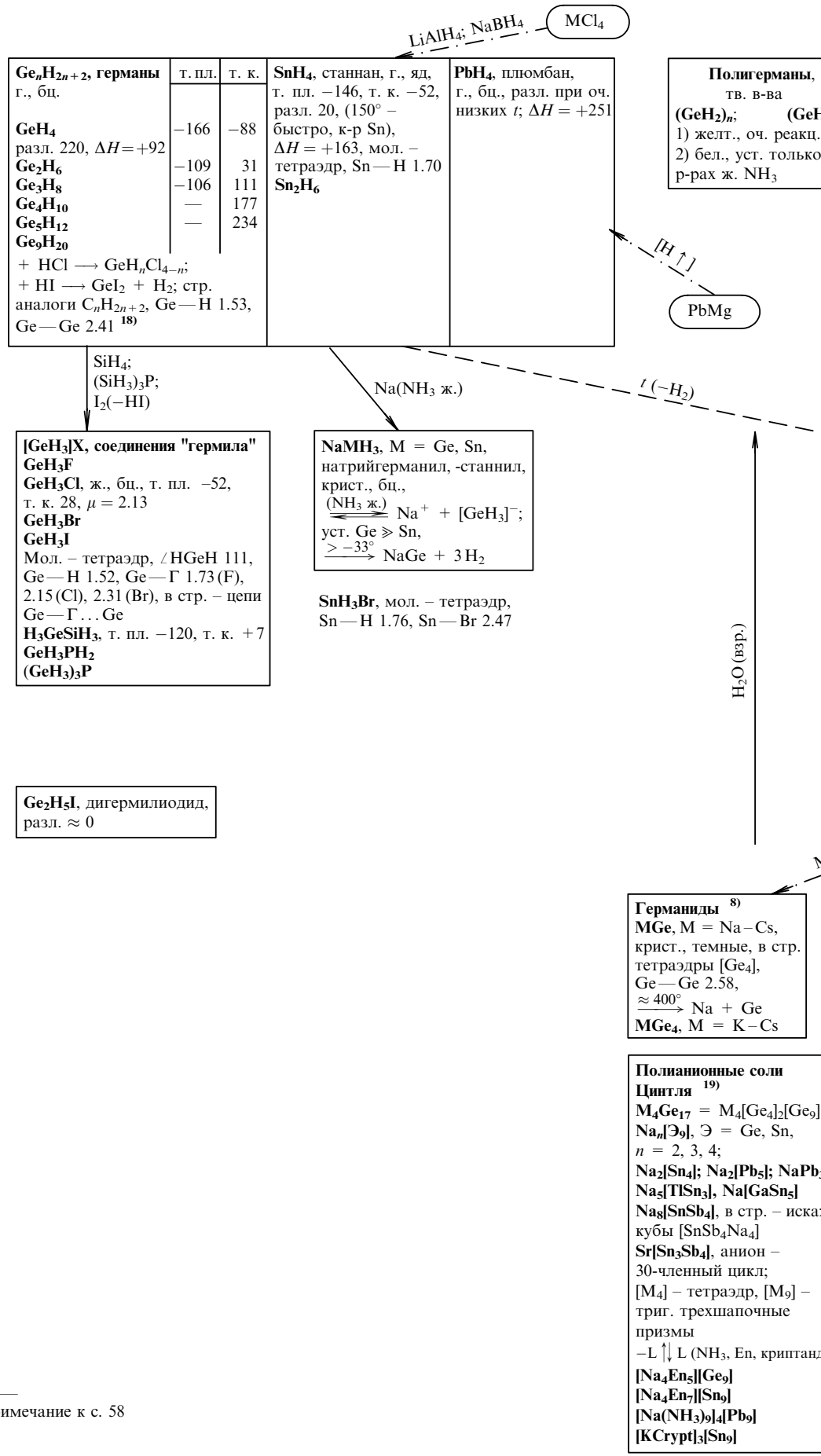
* Несмотря на то, что значение Э.О. Si и ряда других неметаллических элементов – Ge(1.8), Sb(1.9), В и As(2.0), Р и Te(2.1) меньше или равны Э.О. водорода (2.1), ст. их окисл. в гидридах принимаются за отрицательную величину. В пользу такого рассмотрения свидетельствует, в частности, их синтез при гидролизе соответствующих $M_n\mathcal{E}_m$. Этот подход позволяет рассматривать ЭН_{*n*} перечисленных элементов в одном ряду с гидридами С, N, S и др. типичных неметаллов.

4+

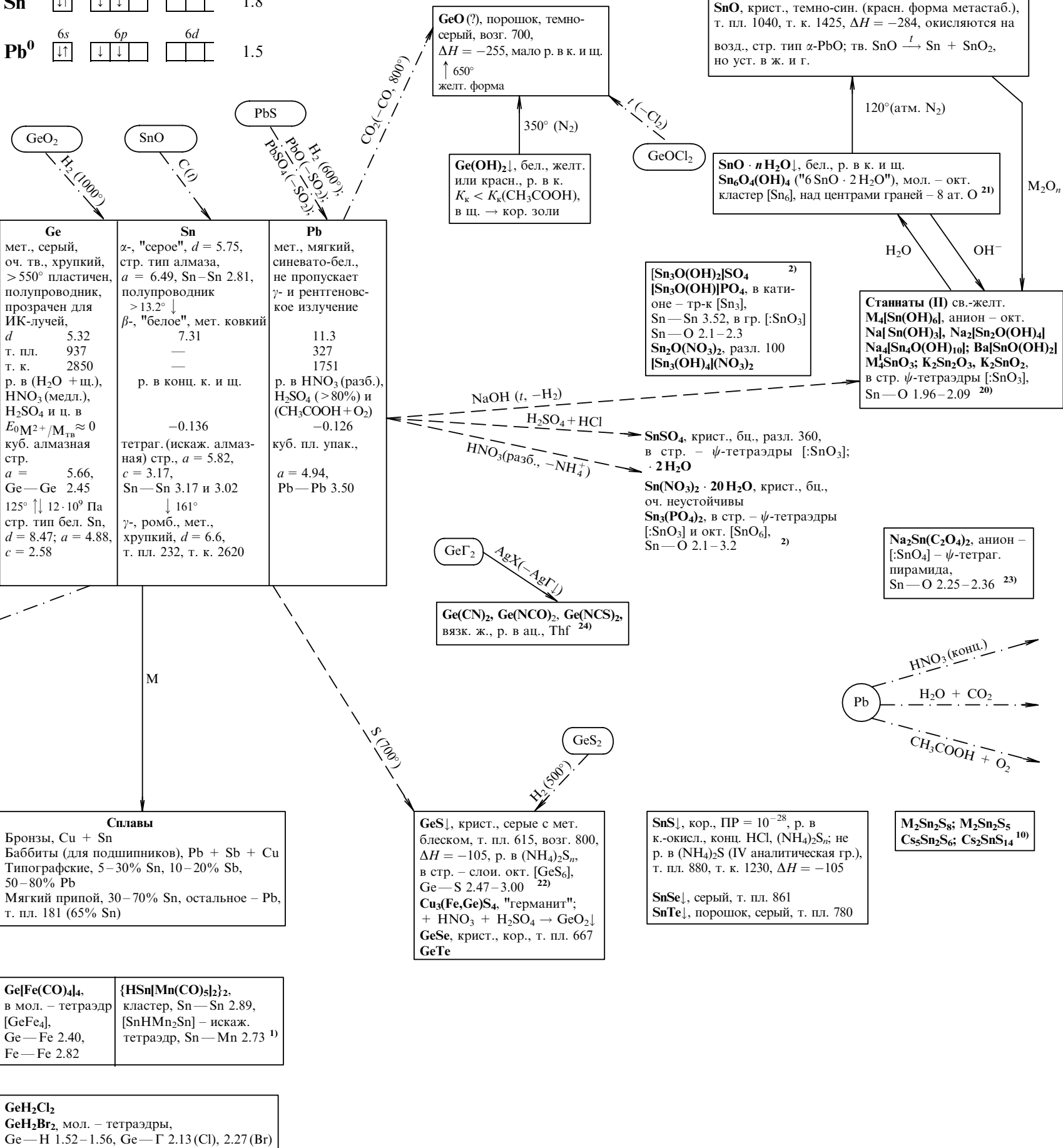


ГЕРМАНИЙ, ОЛОВО, СВИНЕЦ

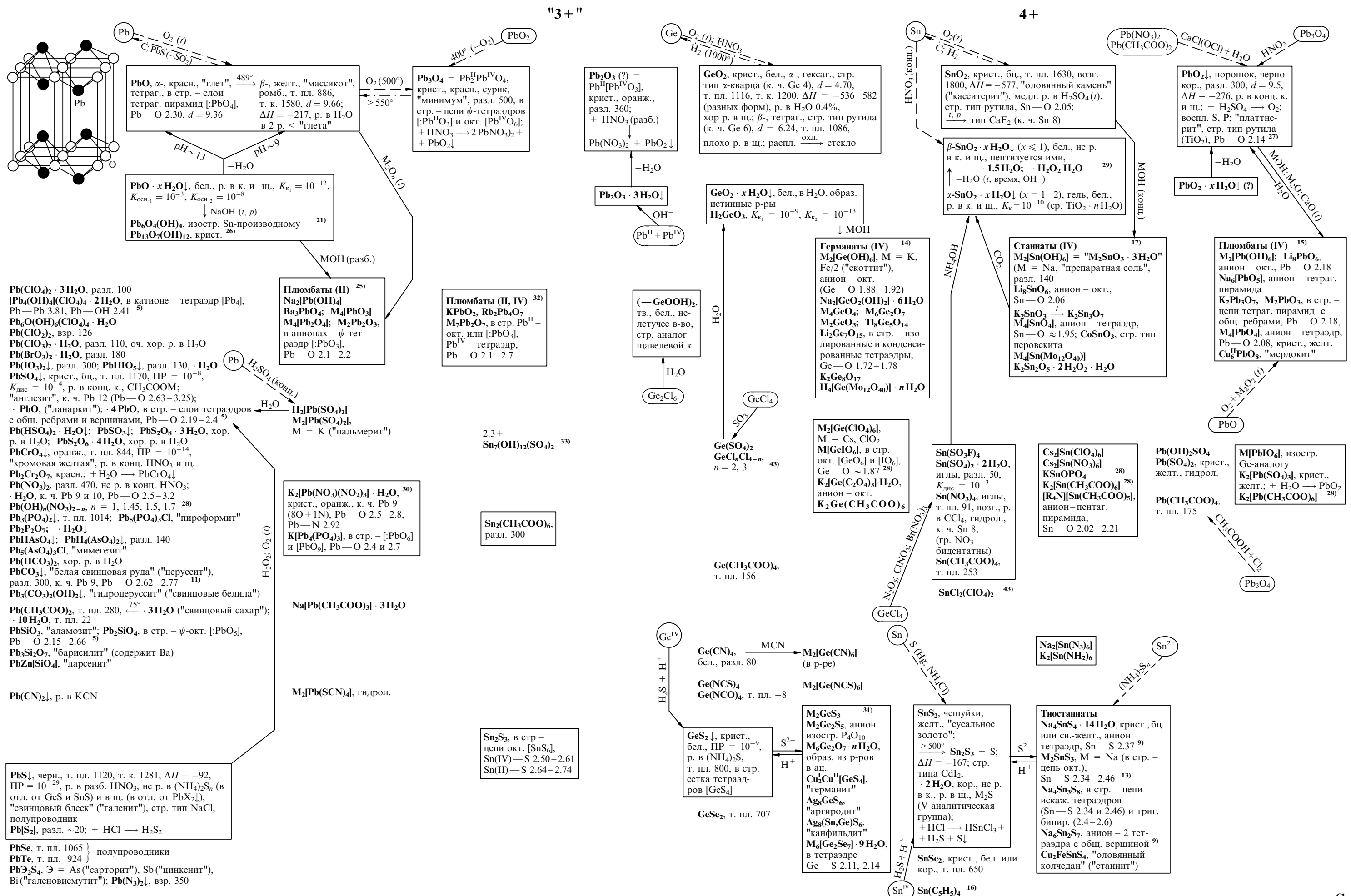
4 - *

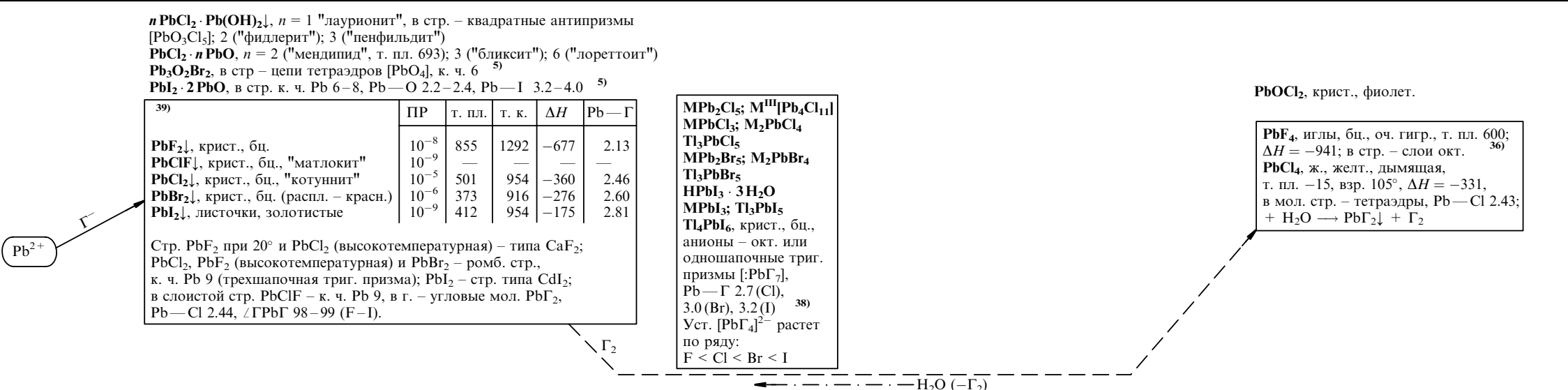
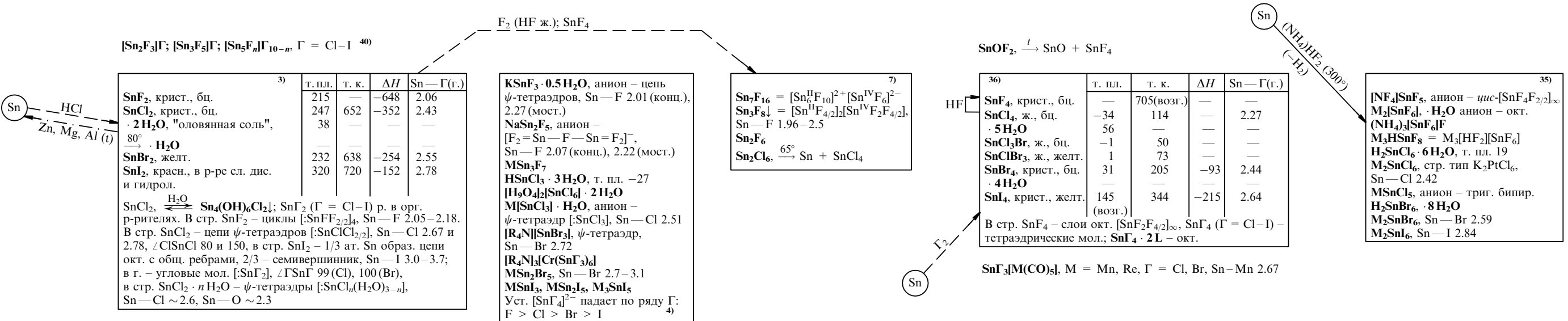
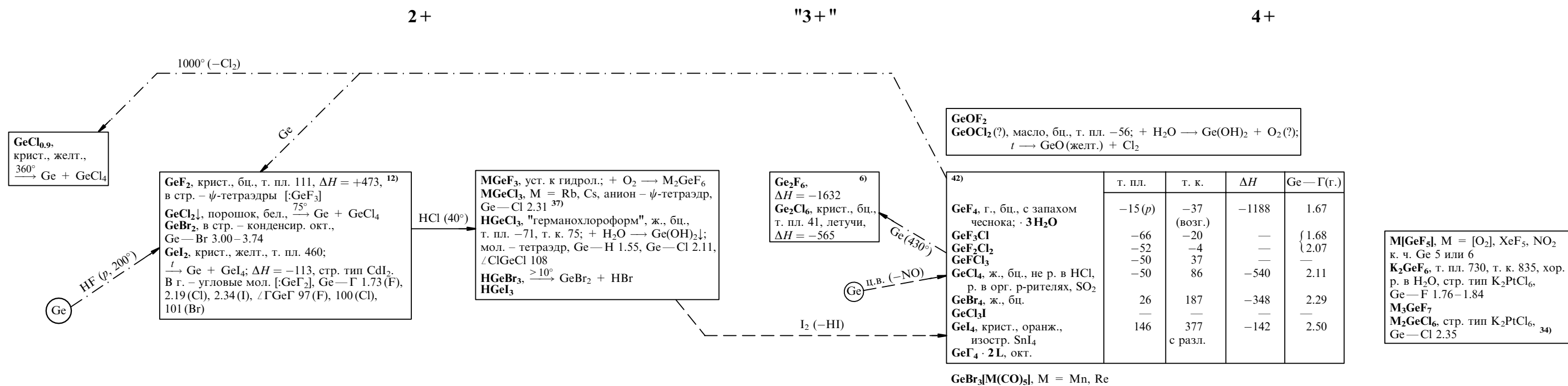


	$4s$	$4p$	$4d$	$\Theta.O.$
Ge⁰				2.0
Sn⁰				1.8
Pb⁰				1.5



* См. примечание к с. 58



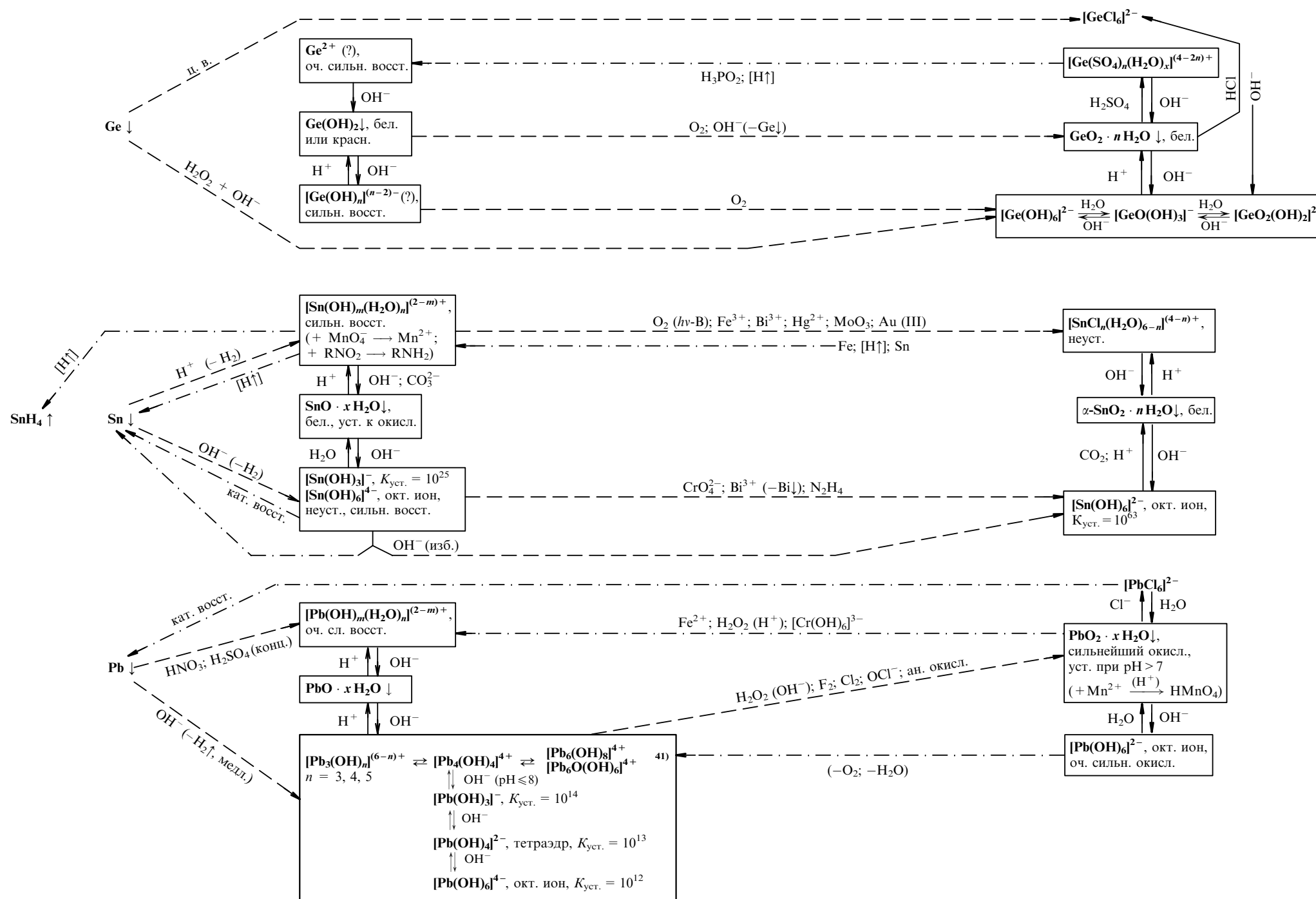


4-

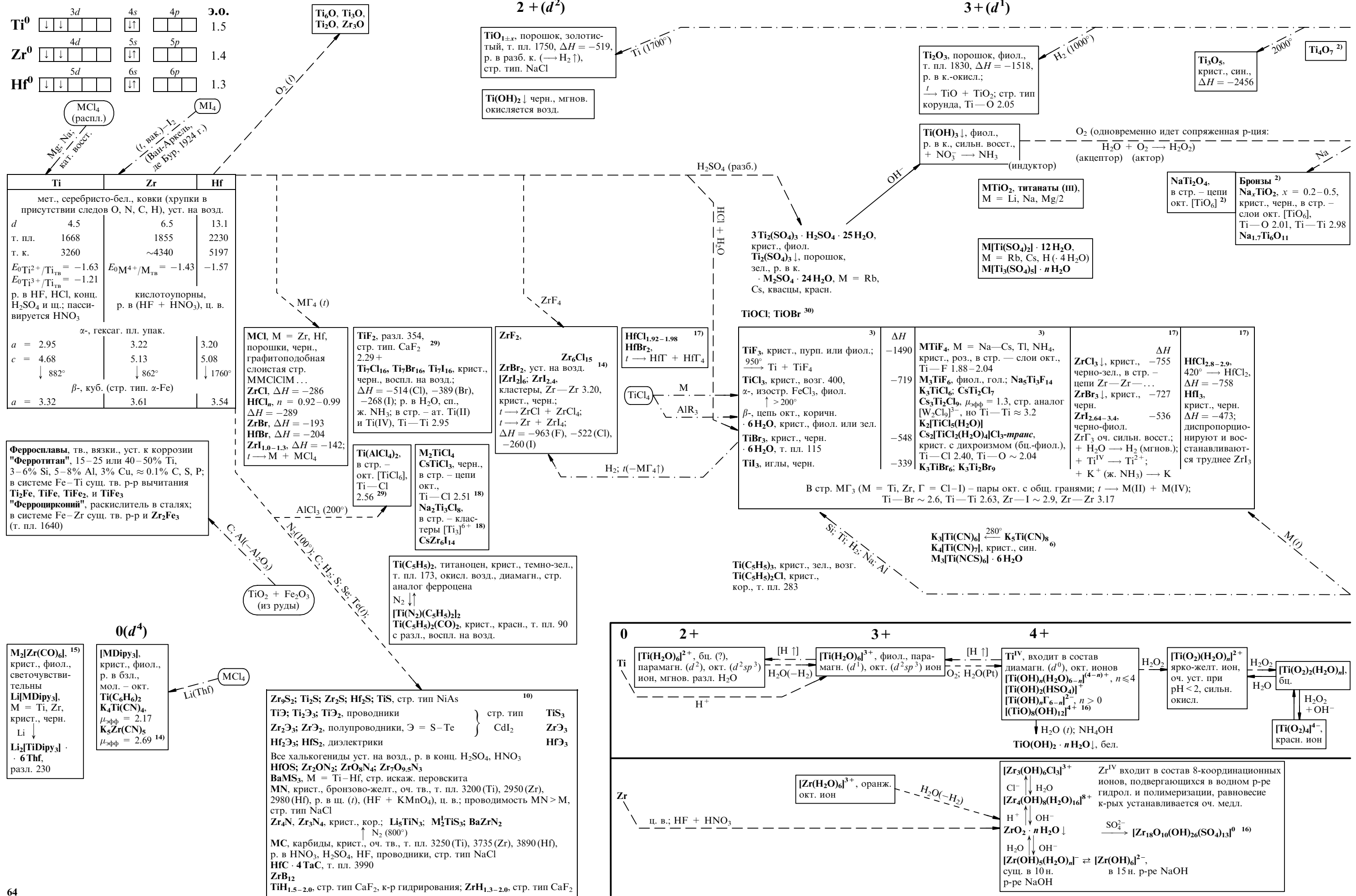
0

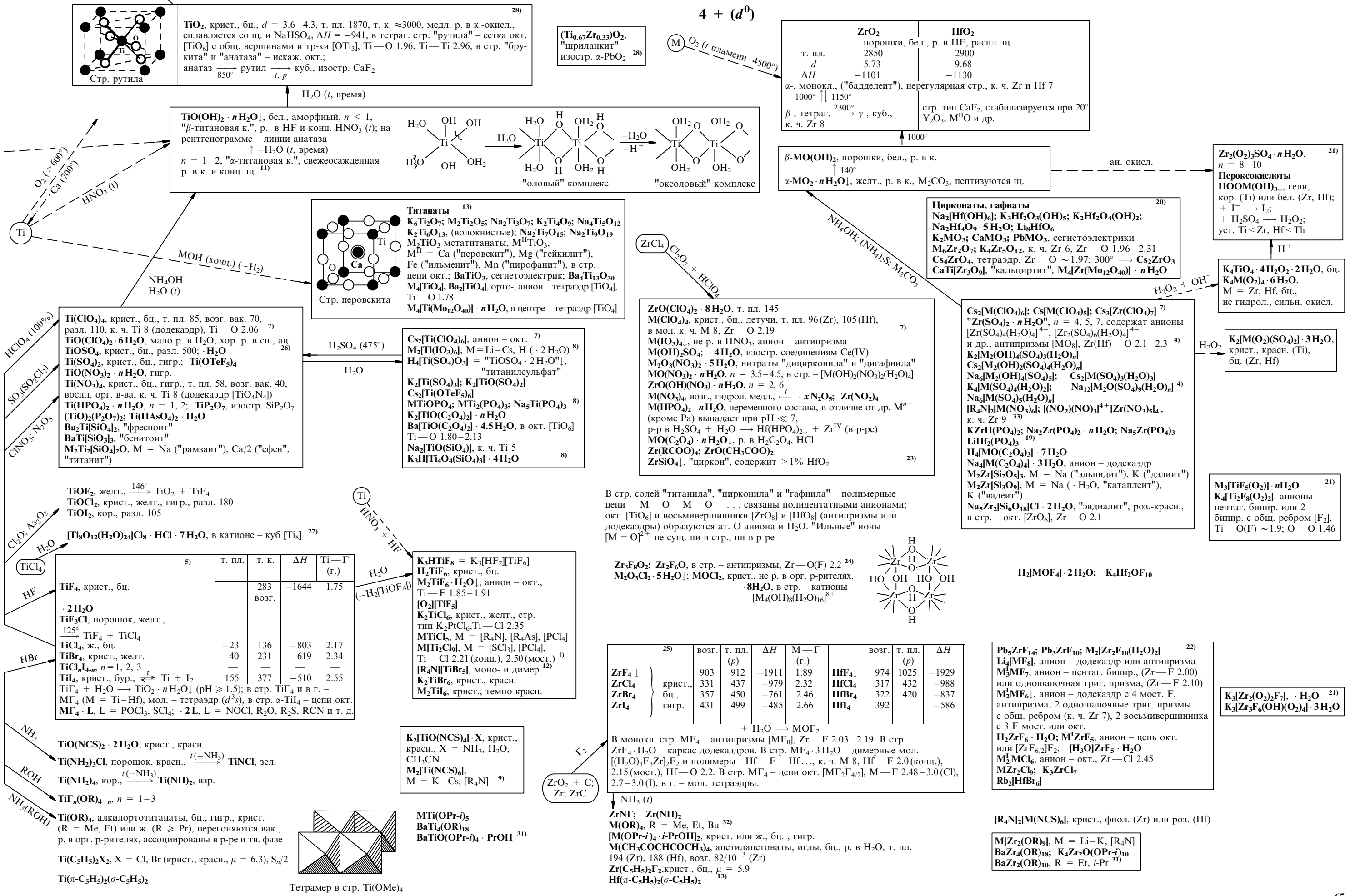
2+

4+

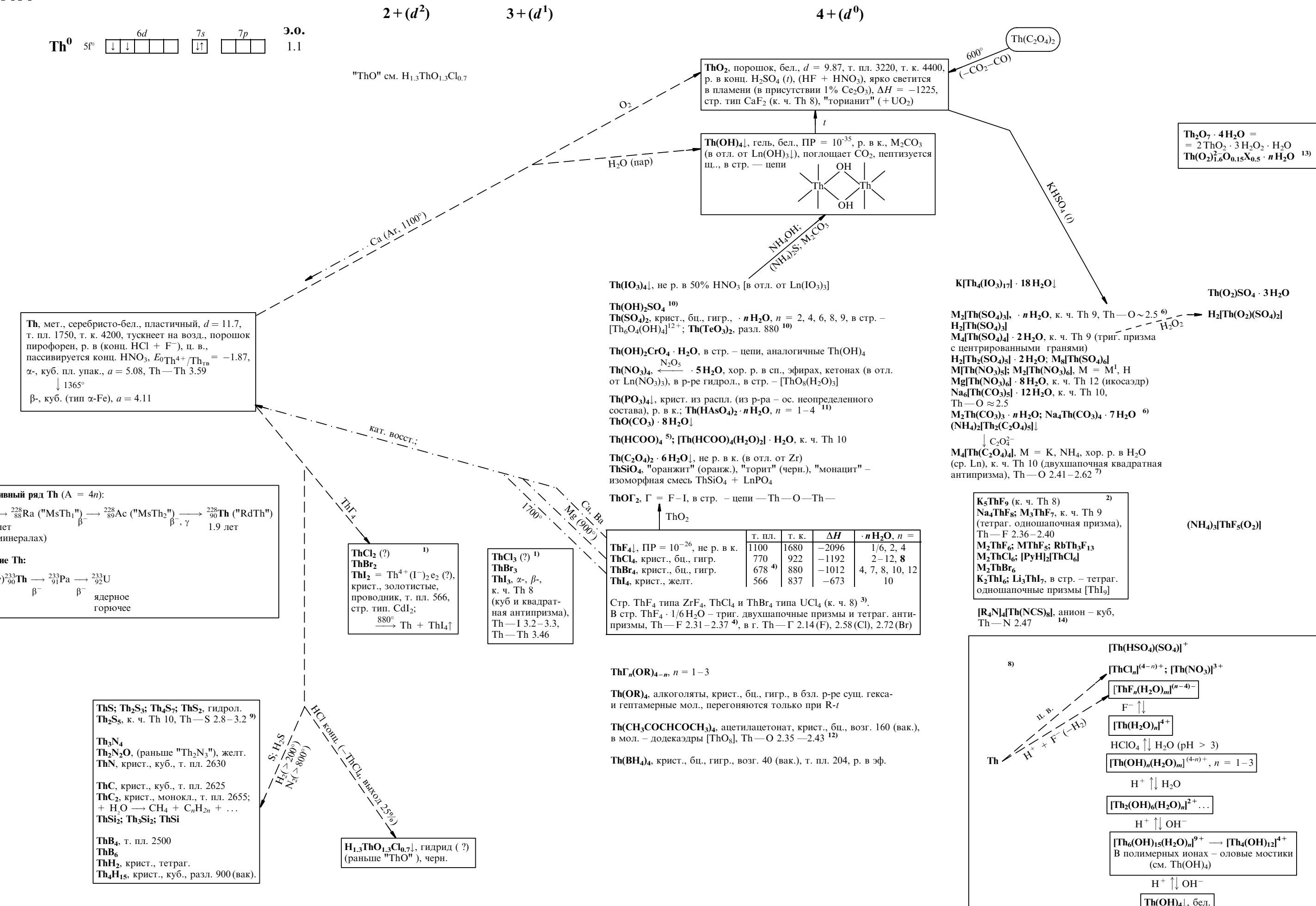


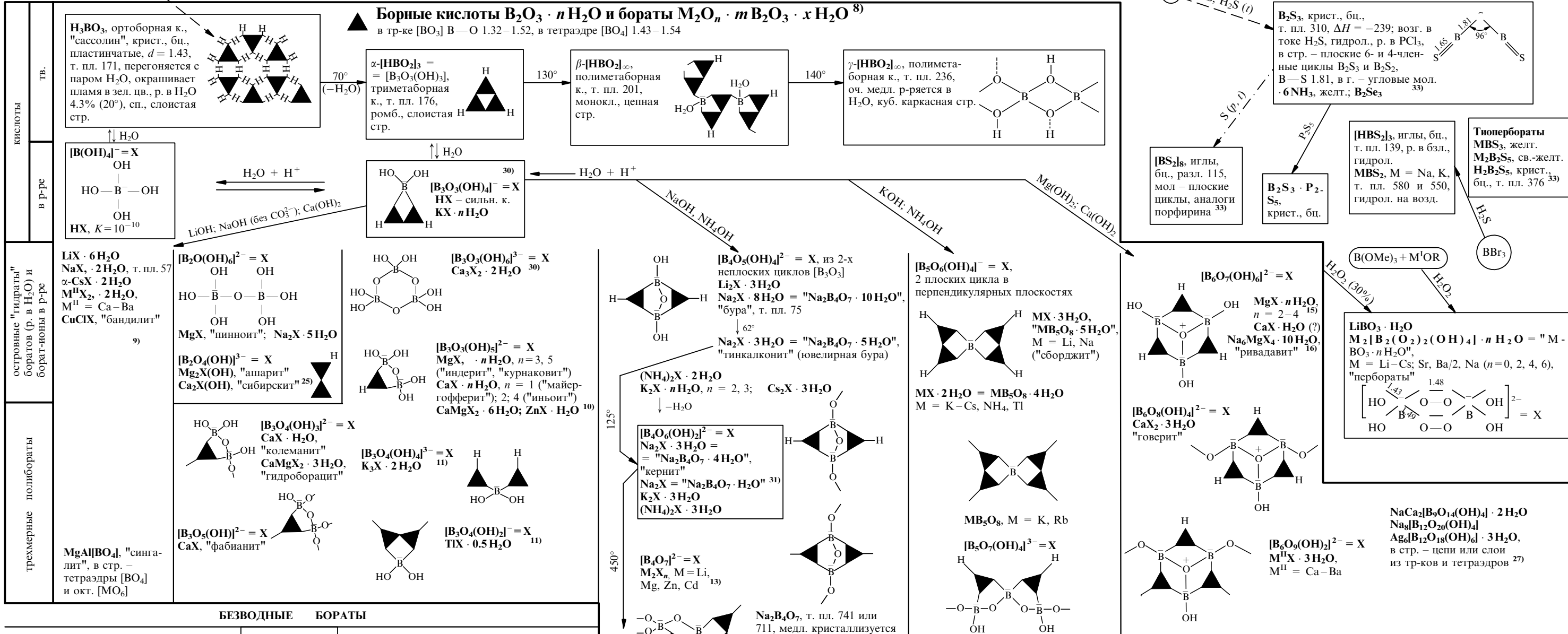
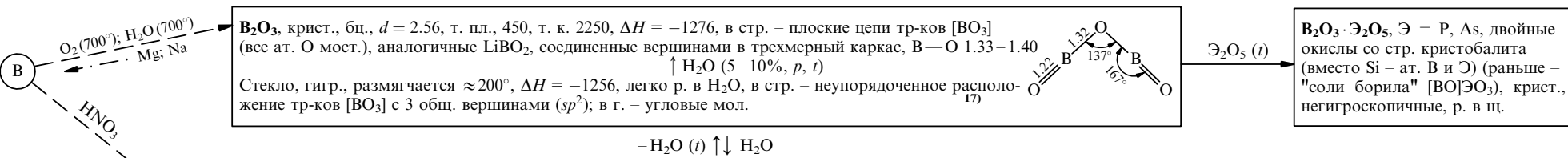
ТИТАН, ЦИРКОНИЙ, ГАФНИЙ





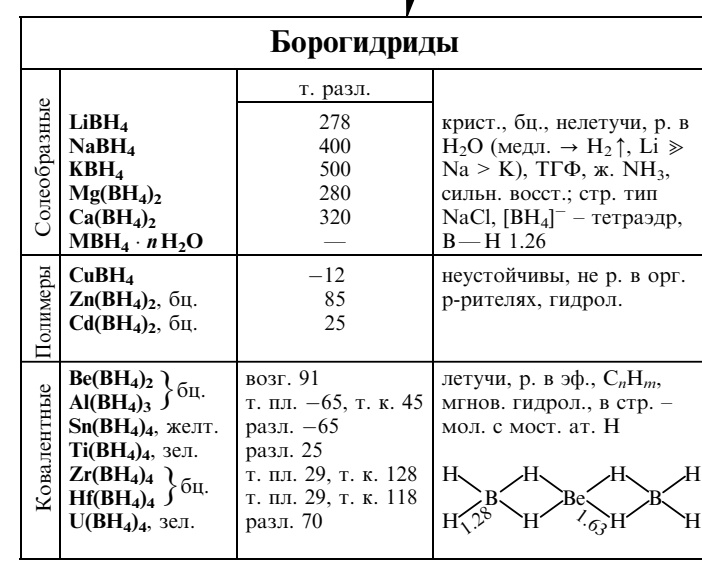
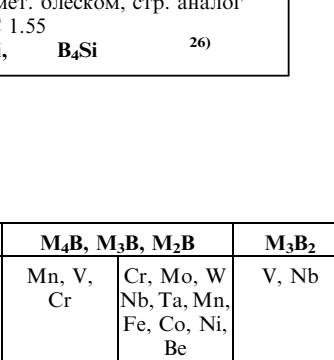
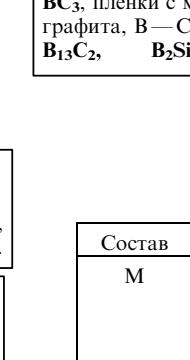
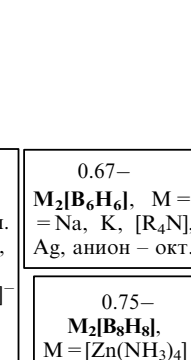
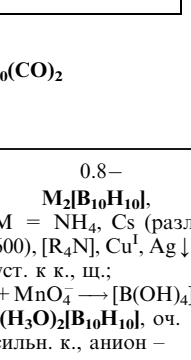
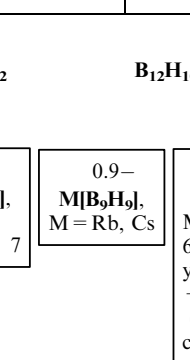
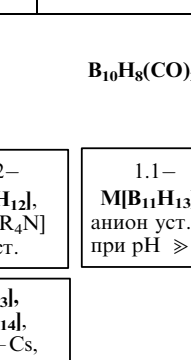
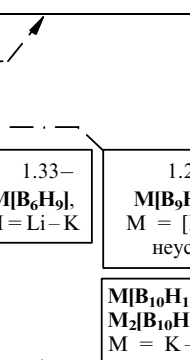
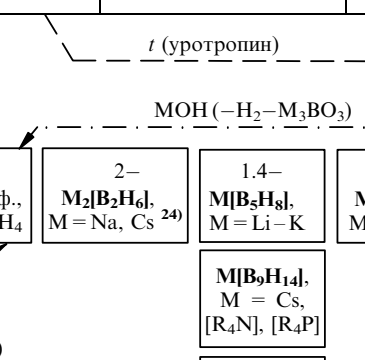
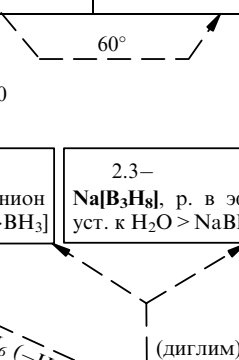
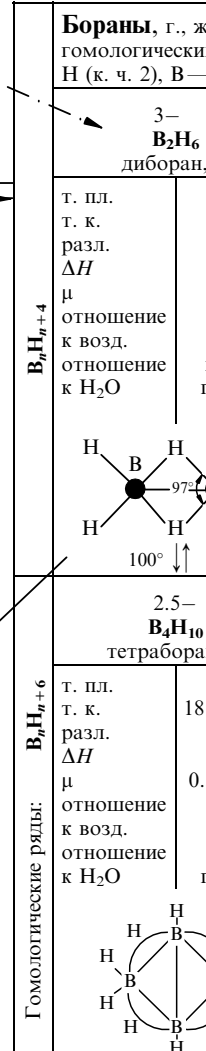
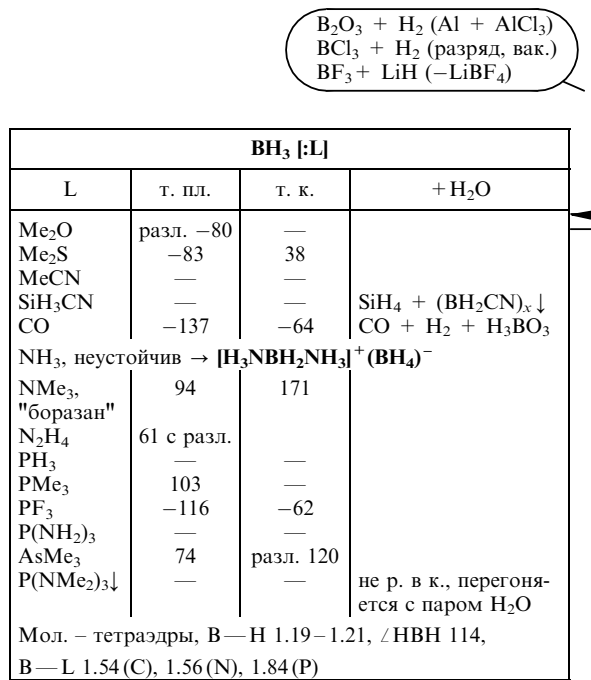
ТОРИЙ



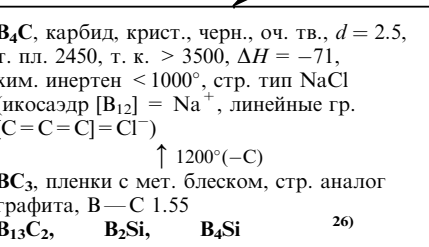
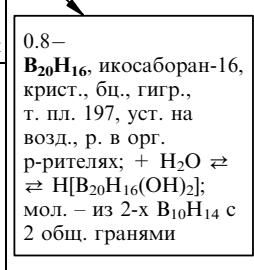
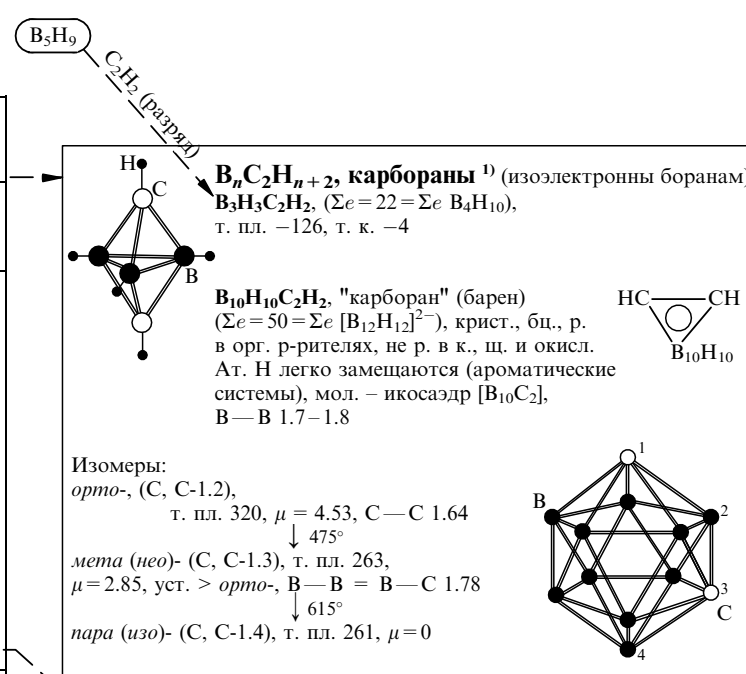
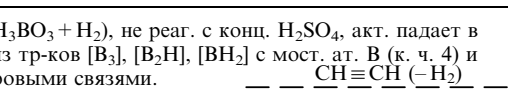
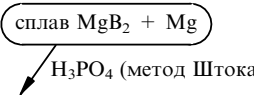


Растворимость щелочных боратов при 25° (в пересчете на % B_2O_3)			
	Моно-	Тетра-	Пентаборат
Li	6.9	15.0	15.0
Na	10.60	2.02	11.60
K	18.80	7.86	2.63
NH_4	–	≈ 7	≈ 7
Cs	7.3	≈ 13	1.31

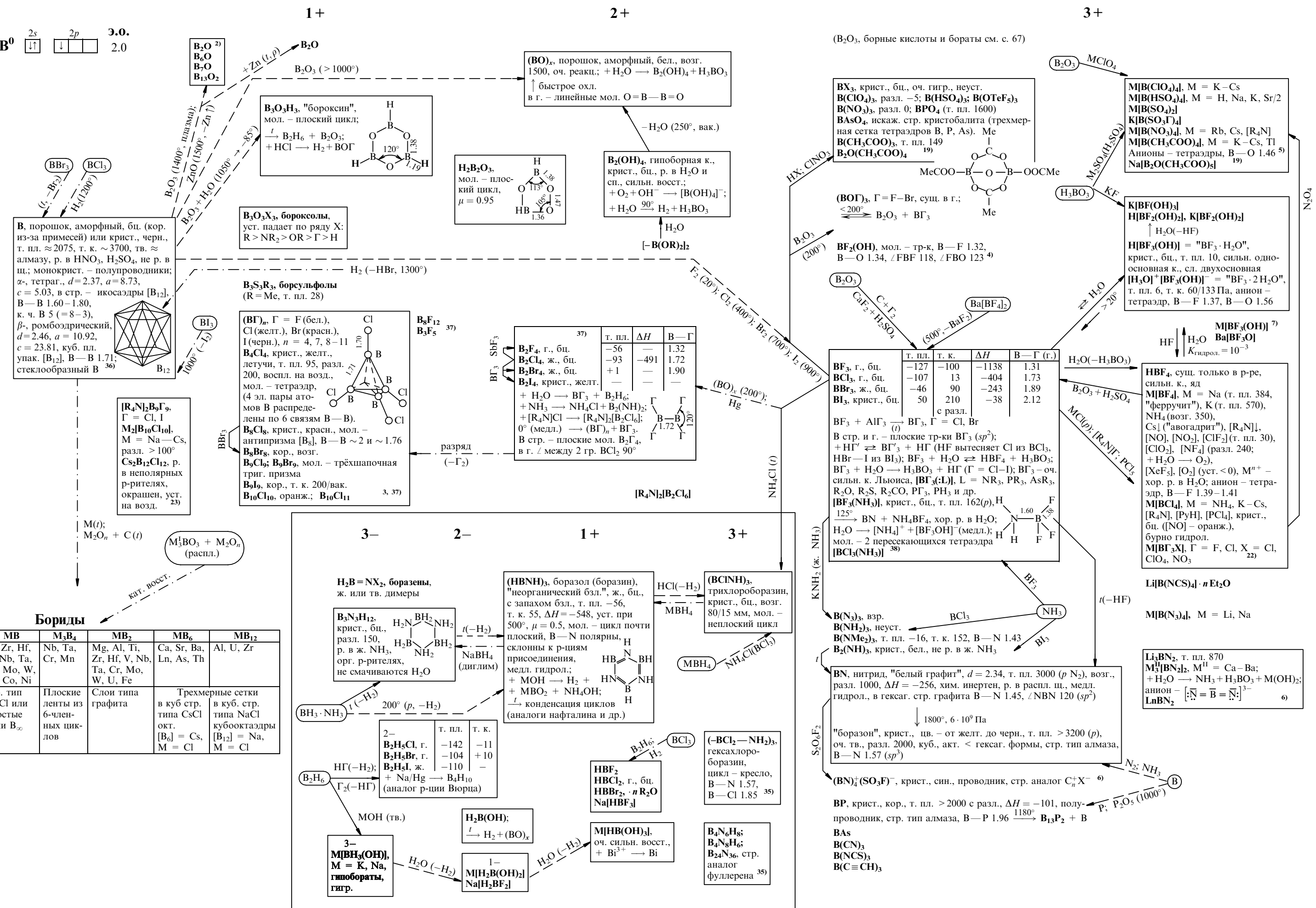
3 - *



Ст. окисления ат. В. в анионных комплексах боранов вычислена в предположении образования их по реакции $nM^{+}H^{-} + B_x^{y/x}H_y^{+}$

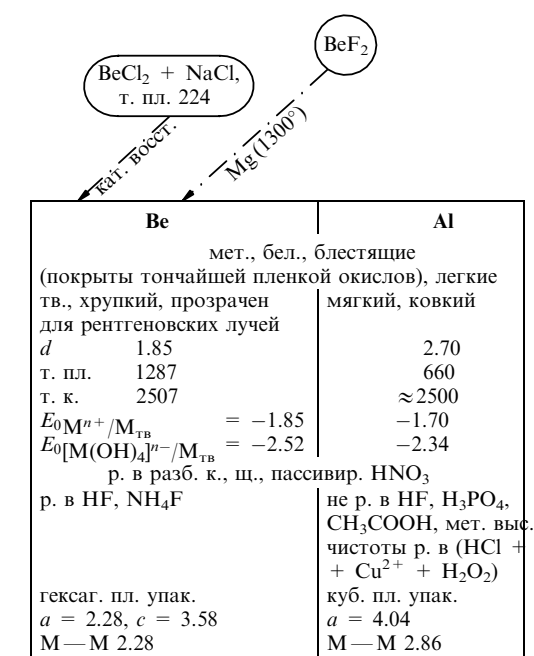
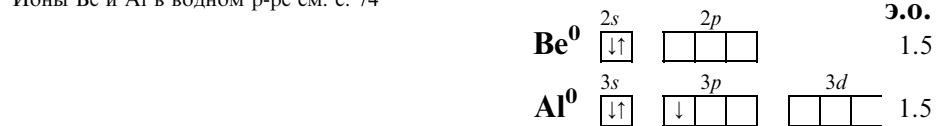


БОР



БЕРИЛЛИЙ, АЛЮМИНИЙ

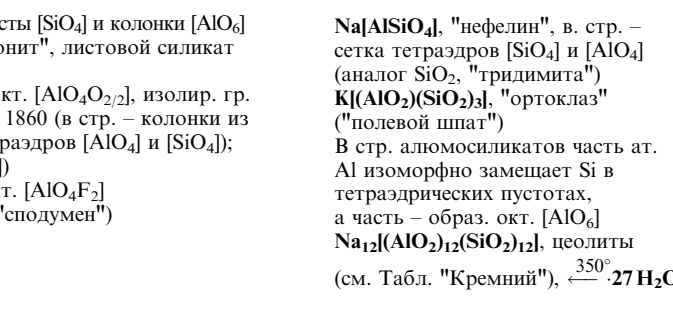
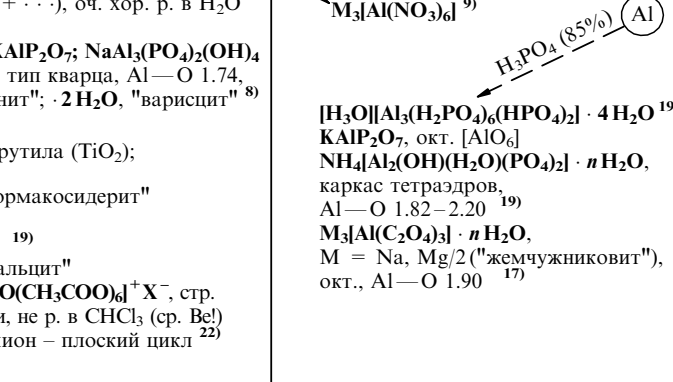
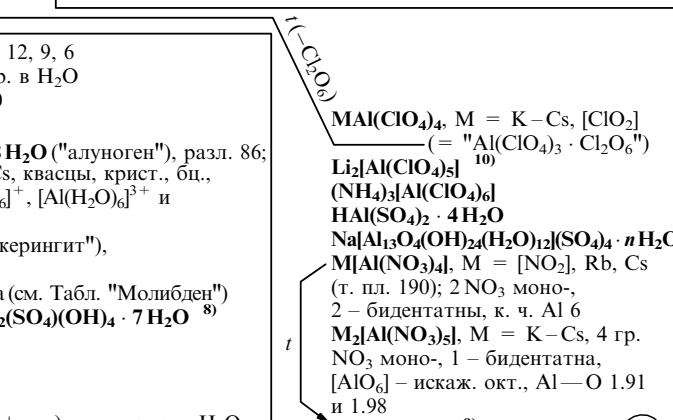
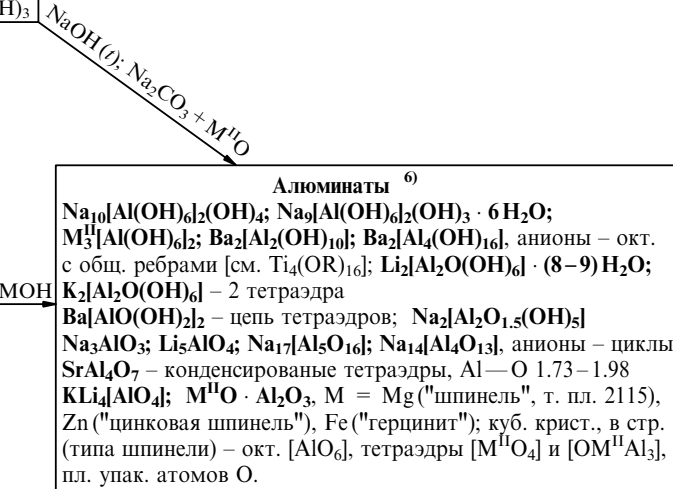
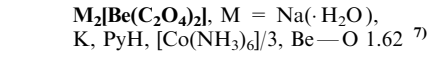
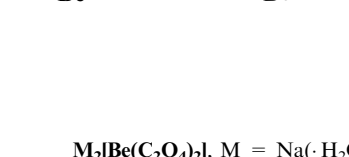
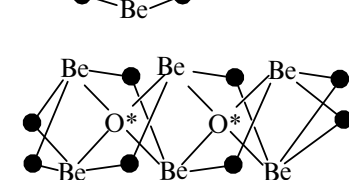
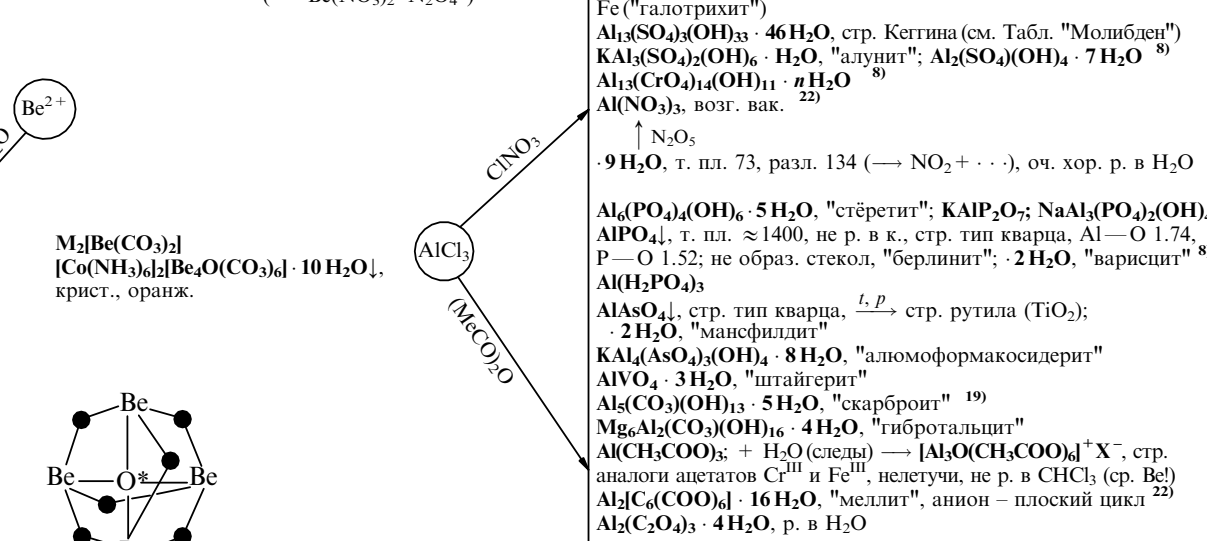
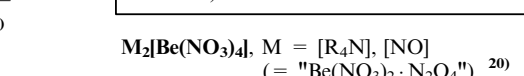
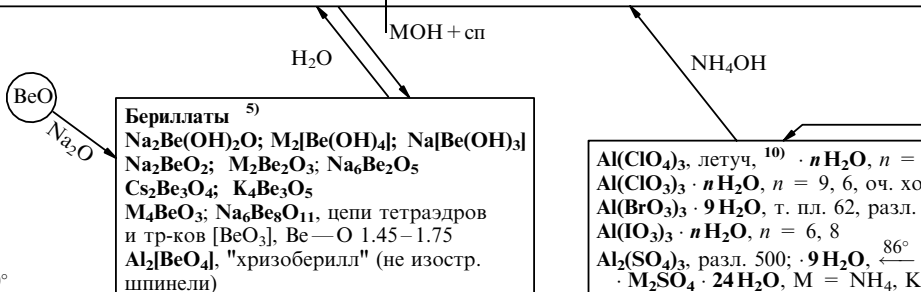
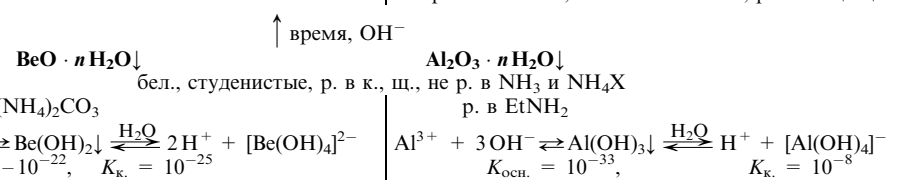
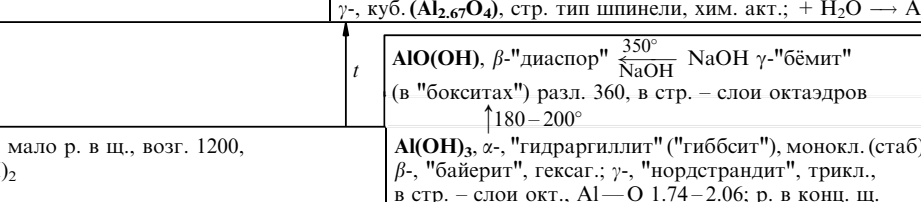
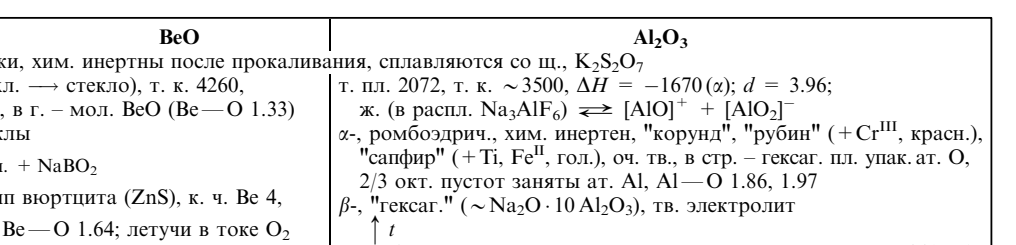
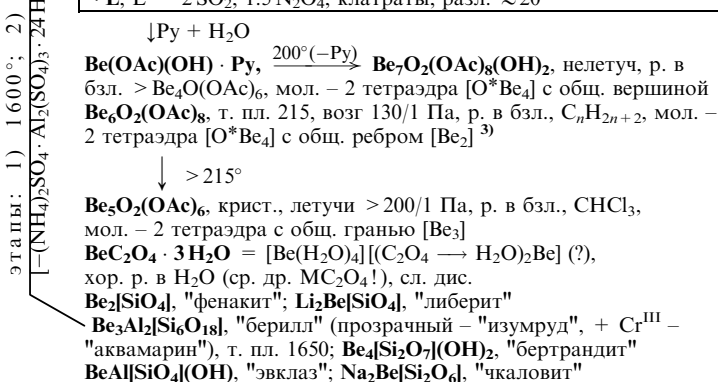
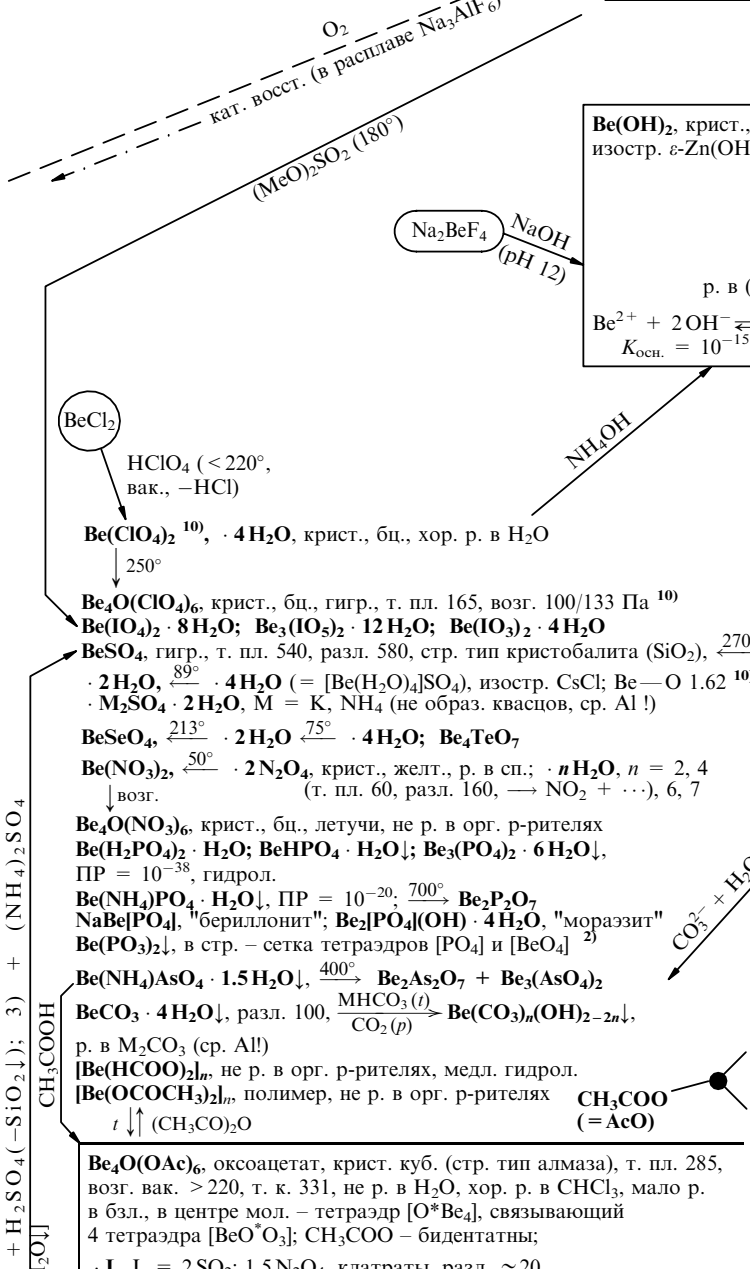
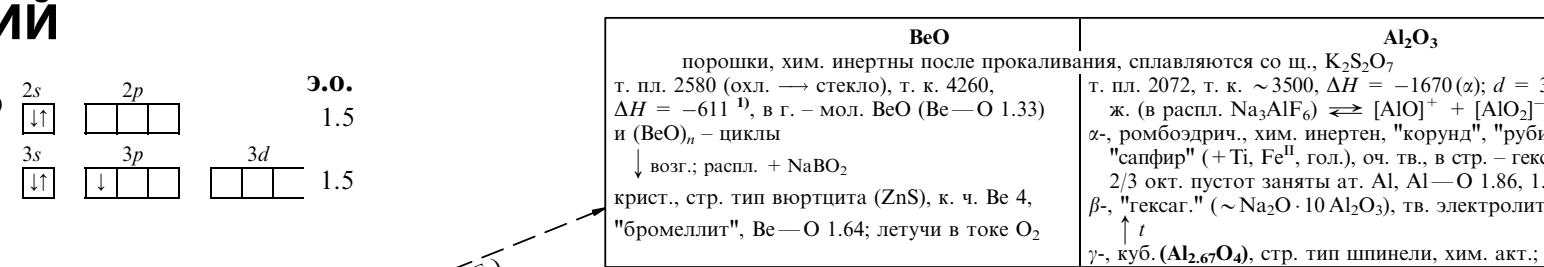
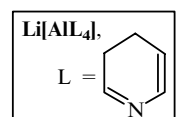
Ионы Be и Al в водном р-ре см. с. 74

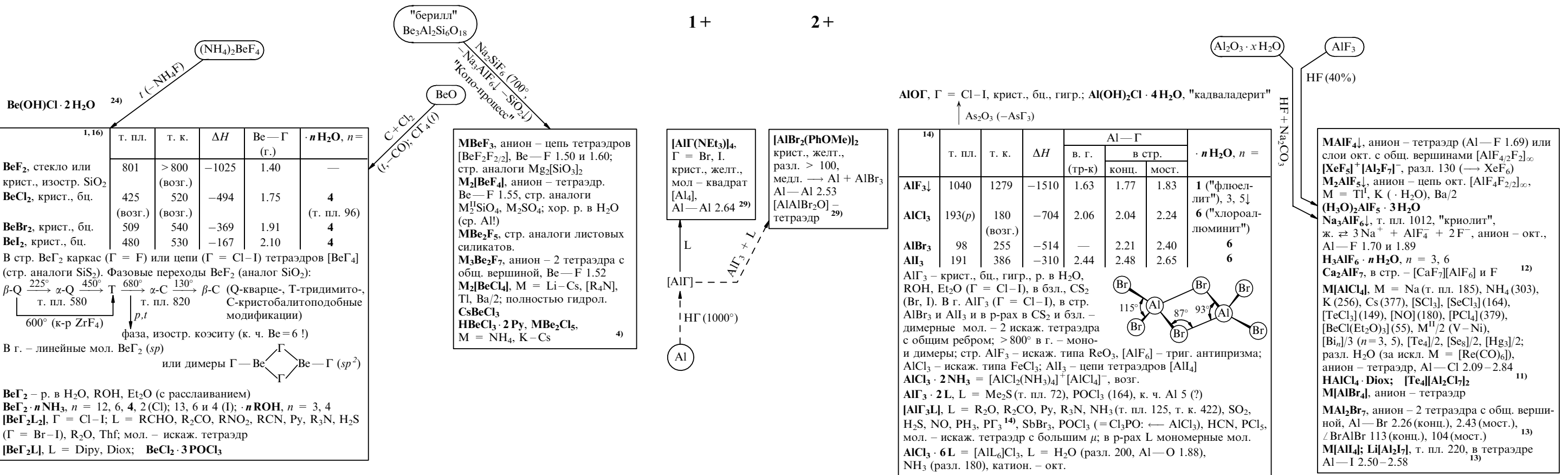


$\text{Cu} + \leq 6\% \text{ Be} =$ "бериллиевые бронзы", сплавы с высокой тв., механической прочностью и коррозионной уст.

Стали хромо-мolibдено-алюминиевые, Al повышает уст. к г. коррозии, стойкость к износу и истиранию.
Сплавы для магнитов, 12–15% Al
Дюраалюминий, тв. сплав, 93–95% Al, 2.5–5.5% Cu, 0.5–2.0% Mg, 0.5–1.2% Mn, 0.2–1.0% Si
Силумин, 10–14% Si, 0.1% Na, остальное – Al

$[\text{Be}(\text{Dipy})_2]$, парамагн., $\mu_{\text{эф}} = 2.1$ (2 неспар. эл., $sp^3 - ?)$ ¹⁸⁾	$[\text{Al}(\text{Dipy})_3]$, $\mu_{\text{эф}} = 2.32$
--	--





BeS, порошок, серый, уст. к H₂O, $\Delta H = -235$, стр. тип сфалерита

Be(NMe₂)₂, мол. – тример, стр. аналог Be(OR)₂

Be(NH₂)₂

Be[N(SiMe₃)₂]₂, гр. [NBeN] линейна (*sp*), Be — N 1.57

Be(N₃)₂, крист., бел., не р. в эф., р. в Thf, не взр., гидрол.

Be₃P₂, BeP₂, крист., красн., полупроводники ²³

BeAs₂

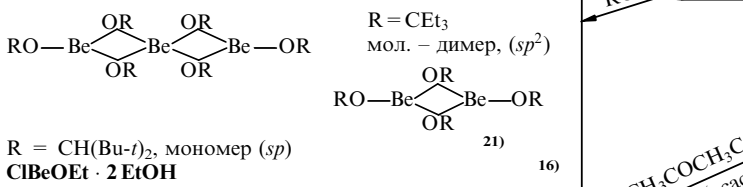
Be(NCS)₂, стекло; · 2 Et₂O, т. пл. 38

Be(NC)₂, линейные мол., · 0.5 Et₂O, не р. в эф., бзл. ¹¹

(BeH₂)_n, тв. бел. полимер, не р. в эф., не летуч, на возд. мгнов. гидрол.; разл. 100 (получ. методом 1), 240 (получ. методом 3) $\Delta H = +125$; + H₂(*p*) → крист., гексаг., в стр. – каркас тетраэдров, Be — H 1.38–1.44

Be(BH₄)₂, возг. 91, разл. 123, в полимерной стр. – гр. [BeH₆], Be — H 1.53–1.61 ¹¹

Be(OR)₂, крист., бц., гигр., R = Me, Et (не пл., не р. в орг. р-рителях), в полимерной стр. – тетраэдры [Be(OR)₄](*sp*³); R = *t*-Bu, т. пл. 112, возг. 100 (вак.), хор. р. в орг. р-рителях, мол. – тример:



Be(CH₃COCHCOCH₃)₂, крист., бц., т. пл. 108, т. к. 270, р. в бзл., CS₂, разл. к. и щ.

Be(C₅H₅)₂, крист., бц., возг. вак. 25–45, $\mu = 2.46$, стр. аналог ферроценена, но Be не в центре оси V порядка, Be – цикл 1.48 и 1.98

M[Be(NH₂)₃]
M[Be(NH)(NH₂)]

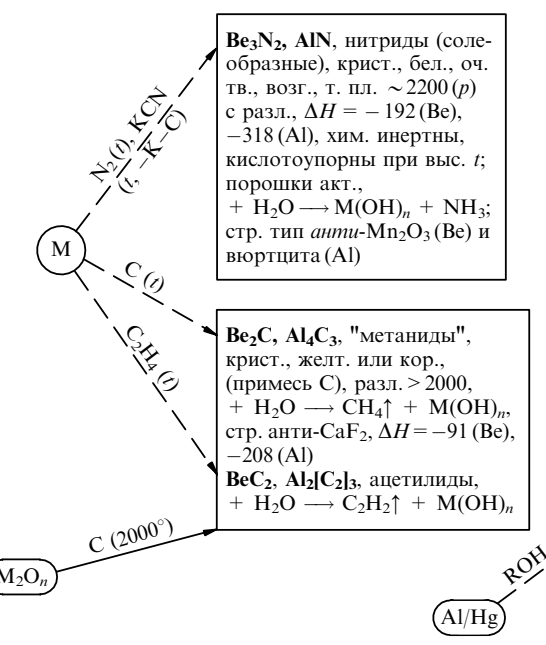
M₂[Be(NCS)₄] · 2 L
M[Be(NCS)₃] · n L, M = K–Cs, NH₄, L = H₂O, MeCN

LiBeH₃
Li₂BeH₄ ¹¹

ROH (Be/Hg; BeR₂)

21)

16)



AlSCl

Al₂S₃, иглы, бц., т. пл. 1120, $\Delta H = -651$; + H₂O → Al(OH)₃↓ + H₂S, ²⁶ неупорядоченная стр. типа сфалерита (α -, β -) или корунда (γ)

Al₂Se₃, желт.; Al₂Te₃, кор. ($\Delta H = -567$ и -326)

Al[N(SiMe₃)₂]₃, крист., бц., возг., р. в орг. р-рителях, [AlN₃] – тр-к, Al — N 1.78

AlO(NH₂)
Al(N₃)₃

AlP, AlAs, оранж., стр. тип сфалерита

Al(NCS)₃ · 2 Et₂O ²⁵

Al(CN)₃ · Et₂O

HX (эф.)

(AlH₃)_n · x Et₂O, полимер, бел., гигр., не р. в эф.

AlH₃, мономер, разл. 105, в стр. – каркас окт., Al — H 1.72

· NH₃ $\xrightarrow{-30^\circ}$ H₂N — AlH₂ $\xrightarrow{-H_2}$ HN = AlH $\xrightarrow{-H_2}$ AlN

· NMe₃, т. пл. 76; · 2 NMe₃, т. пл. 95, возг. 40 (вак.), мол. – триг. бипир., Al — H 1.7 (экв.)

AlH₃Г_{3-n}, оч. тв., летучи, р. в эф.; AlHI₂, т. пл. 80

AlH₂I, т. пл. 35

Al[BH₄]₃, крист., бц., возг. > 0, воспл. на возд.; · Me₃N

Al(OR)₃, крист. или ж., бц., гигр., оч. реакц., R = Me, Et (полимеры, не р. в орг. р-рителях); R > Et (низкопл., летучи, в п-ре сущ. равновесие ассоциации – до тетрамера); R = *t*-Bu (димер); Al₁₀O₄(OEt)₂₂ ¹⁵

Al(CH₃COCHCOCH₃)₃↓, крист., бц., т. пл. 192, т. к. 315, возг. 140/10 мм, р. в орг. р-рителях

ZnAl₂S₄, стр. тип шпинели

MAIS₂, желт.; MAITe₂, красн.

M[Al(NH₂)₄], M = Li–Cs, крист., бел., 50° → NH₃ ²⁷

анион – тетраэдр., Al — N 1.80–1.89

Li[Al(ЭH₂)₄], Э = P, As

Li₃AlN₂

Li₃AlP₂; Li₃AlAs₂, стр. тип CaF₂

Li[Al(NCS)₄]

Li[Al(CN)₄]

LiAlH₄, крист., бц., разл. 125, р. в эф., · n Et₂O, n = 1, 2, 2.5, 3,

· n Thf, n = 1, 2, 3, 5,

+ H₂O → H₂, мягкий восст.; + R₂C=O → R₂CHOH; + ЭH_n → МН

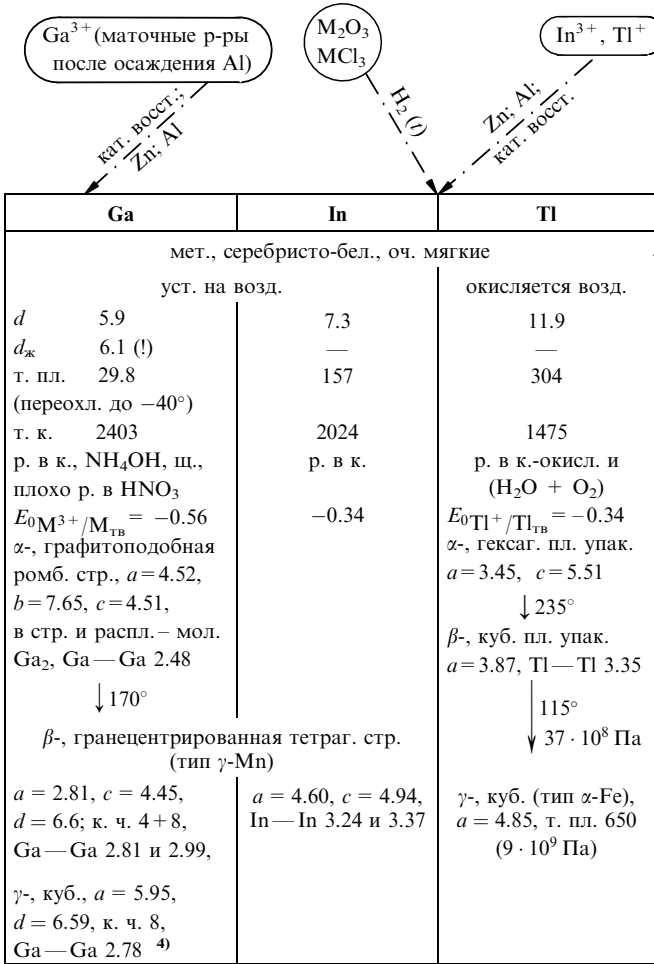
M[AlH₄]_n, M = Na (т. пл. 178), K (не р. в эф., р. в Thf, уст. > LiAlH₄), Mn^{II}, Sn^{II}, Sn^{IV}, Ti, Nb, уст. < 0°, анион – тетраэдр, Al — H 1.55

M₃AlH₆, M = Li (разл. 210), Na (т. пл. 260, не р. в Thf, стр. аналог Na₃AlF₆); K ²⁸

M[Al(OR)₄], M = Li–K, Mg–Ba/2, Co–Cu/2, U/4; Mg₃Al(OEt)₆₂ ¹⁵

ГАЛЛИЙ, ИНДИЙ, ТАЛЛИЙ

	$4s$	$4p$	$4d$	$\Theta \cdot 0.$
Ga⁰	$\boxed{\downarrow\uparrow}$	$\boxed{\downarrow}\boxed{}\boxed{}$	$\boxed{}\boxed{}\boxed{}$	1.6
In⁰	$\boxed{\downarrow\uparrow}$	$\boxed{\downarrow}\boxed{}\boxed{}$	$\boxed{}\boxed{}\boxed{}$	1.7
Tl⁰	$\boxed{\downarrow\uparrow}$	$\boxed{\downarrow}\boxed{}\boxed{}$	$\boxed{}\boxed{}\boxed{}$	1.8

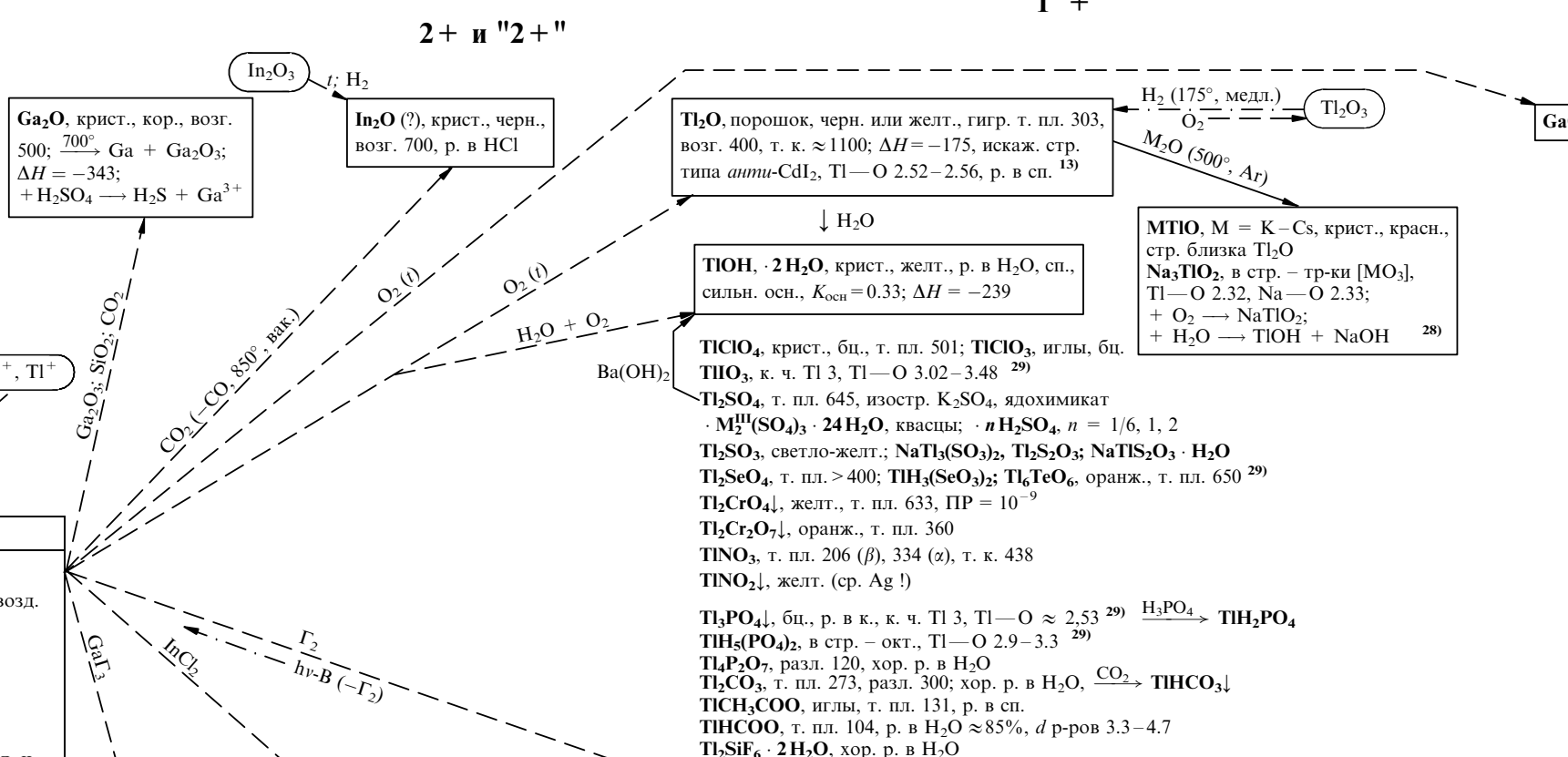


Низкоплавкие сплавы:
 82% Ga + 12% Sn +
 + 6% Zn, т. пл. 17;
 24% In + 76% Ga,
 т. пл. 16

Кислотоупорные сплавы:
70% Pb + 20% Sn + 10% Ti
не р. в H_2SO_4 , HCl, HNO_3

M[Co(CO)₄]₃. M = In, Tl,
в мол. – тр-к [MCo₃],
M—Co 2.59 (In),

Mg₂₃[Tl₅]₂⁷⁻[Tl₉]₉⁻, крист.,
диамагн., анионы –
клスター – триг. бипир.
и трехшапочная призма,
Tl – Tl 3.13 – 3.44
Na₂₃K₉Tl_{15.3}, содержит
анионы [Tl₅]₂⁷⁻, [Tl₄]₈⁻,
[Tl₃]₇⁻, [Tl]₅⁵⁻, 33)



	1)	т. пл.	т. к.	ΔH	In—I (г.)
α -, крист., желт., куб.		225	653	-186	2.40
	↓ 135°				
β -, красн., ромб.					
крист., оранж., ромб.		285	662	-175	2.54
крист., красно-кор.		360	743	-117	2.86
о. InCl — куб. типа NaCl — тетраэдры [In ₄], In 3.61, ромб. InCl, InBr и InI изостр. желт. In—I 2.87—3.91(Cl), 3.01—3.85(Br)					

$$\text{InAlCl}_4 \text{, т. пл. 268; } + \text{Et}_2\text{O} \longrightarrow \\ \longrightarrow \text{InCl} \downarrow + \text{AlCl}_3 \cdot \text{Et}_2\text{O}$$

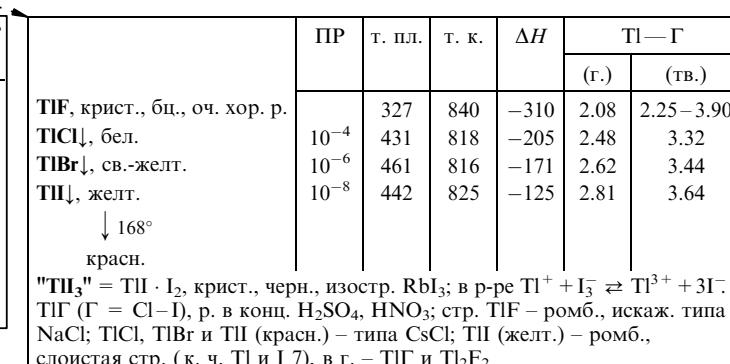
Ga[AlCl₄], т. пл. 175°
HGaCl₂, крист., бц.,
 т. пл. 29°, р. в бзл.,
 эф., димер;
 $\xrightarrow{150^\circ}$ H₂ + Ga₂Cl₄

$$\text{Ga}_2\text{S, крист., черн.,}\\ \text{разл. H}_2\text{O; } \\ \xrightarrow{1000^\circ} \text{Ga} + \text{Ga}_2\text{S}_2$$

Ga₄S₅, разл. 1200
Ga₂S₂, крист., желт.,
 т. пл. 970, в стр. – гр.
 $[Ga - Ga]^{4+}$, Ga – Ga 2.
Ga₂Se₂, кор., т. пл. 960
Ga₂Te₂, черн., т. пл. 824

$$(\text{InH})_n \text{ разл. 340, не р. в} \\ \text{орг. р-рителях;} \\ + \text{ H}_2\text{O} \longrightarrow \text{In} + \text{In(OH)}_3 + \text{H}_2\uparrow$$

InC₅H₅, в стр. – цепи "сэндвичей", к. ч. In 10, In – цикл 3.19, в г. – мономер – "полусэндвич", In – цикл 2.41



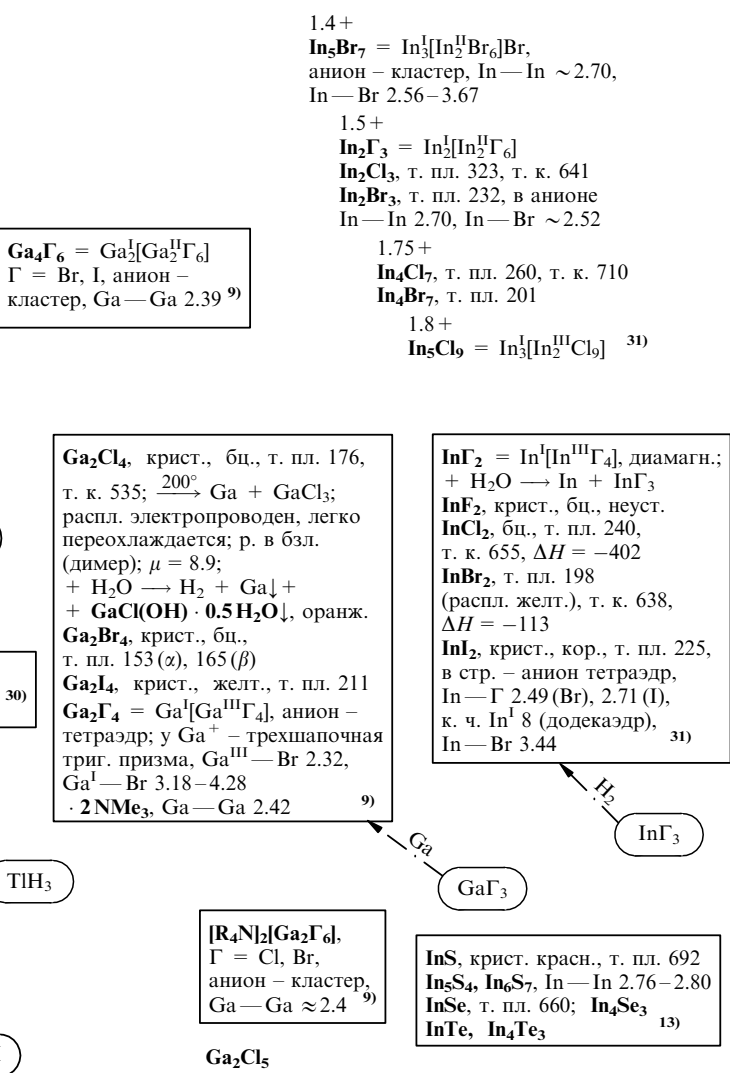
[Tl₆I₆] · M⁺ [I₄]²⁻, M = Ag, Au, Tl, Pb/2, в каналах каркаса [Tl₆I₆] – гантели [M₂]²⁺ 30) CsTlBr₂; Cs₂TlBr₃; TlAlCl₄, т. пл. 308
TICN; TiSCN, т. пл. 234

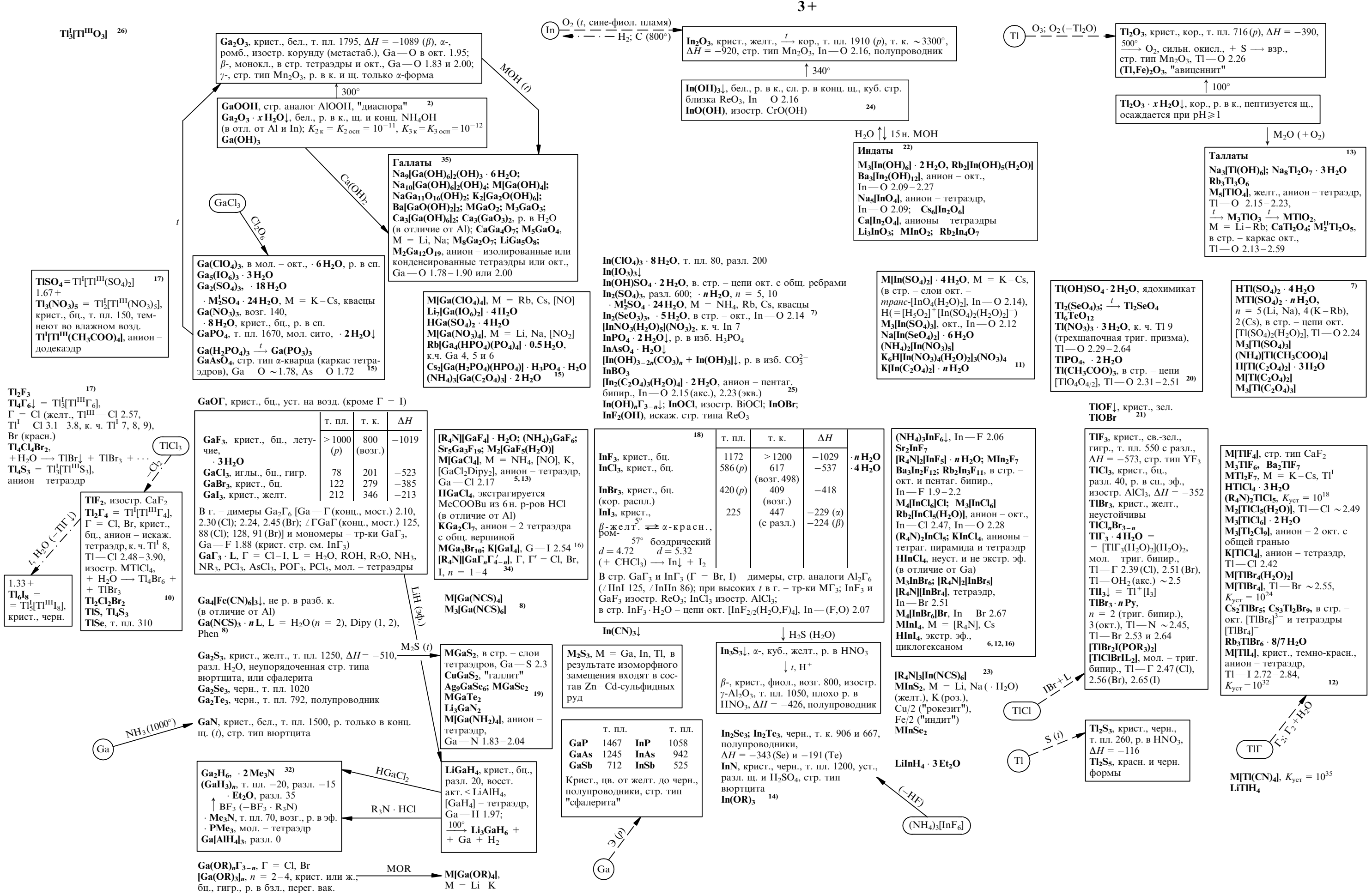
$\text{Ti}_2\text{S}\downarrow$, сине-черн., т. пл. 448, возг. > 360, т. к. 1367,
 $\Delta H = -42$; + $\text{O}_2 \rightarrow \text{Ti}_2\text{O} + \text{Ti}_2\text{S}_2\text{O}_3$, р. в к., стр. *анти*-CdI₂
 Ti_2Se , крист., серые, т. пл. 398, $\Delta H = -58$
 TiCu_2S_2 , "халькоталлит"; TiFeS_2 , "фагинит"
 Ti_2Te , TiAsS_2 , "лорандит"

→ Ti_3N , крист., черн.; + $\text{H}_2\text{O} \longrightarrow$ взр.
 → TiN_3 , крист., желт., т. пл. 334, взр. > 400 ; $\Delta H = -234$
 $(\text{TiH})_n$, порошок, кор., разл. 270, не р. в орг. р-рителях, гидрол. медл.
 $\text{Ti}[\text{ЭH}]_4$, Э = В, Al

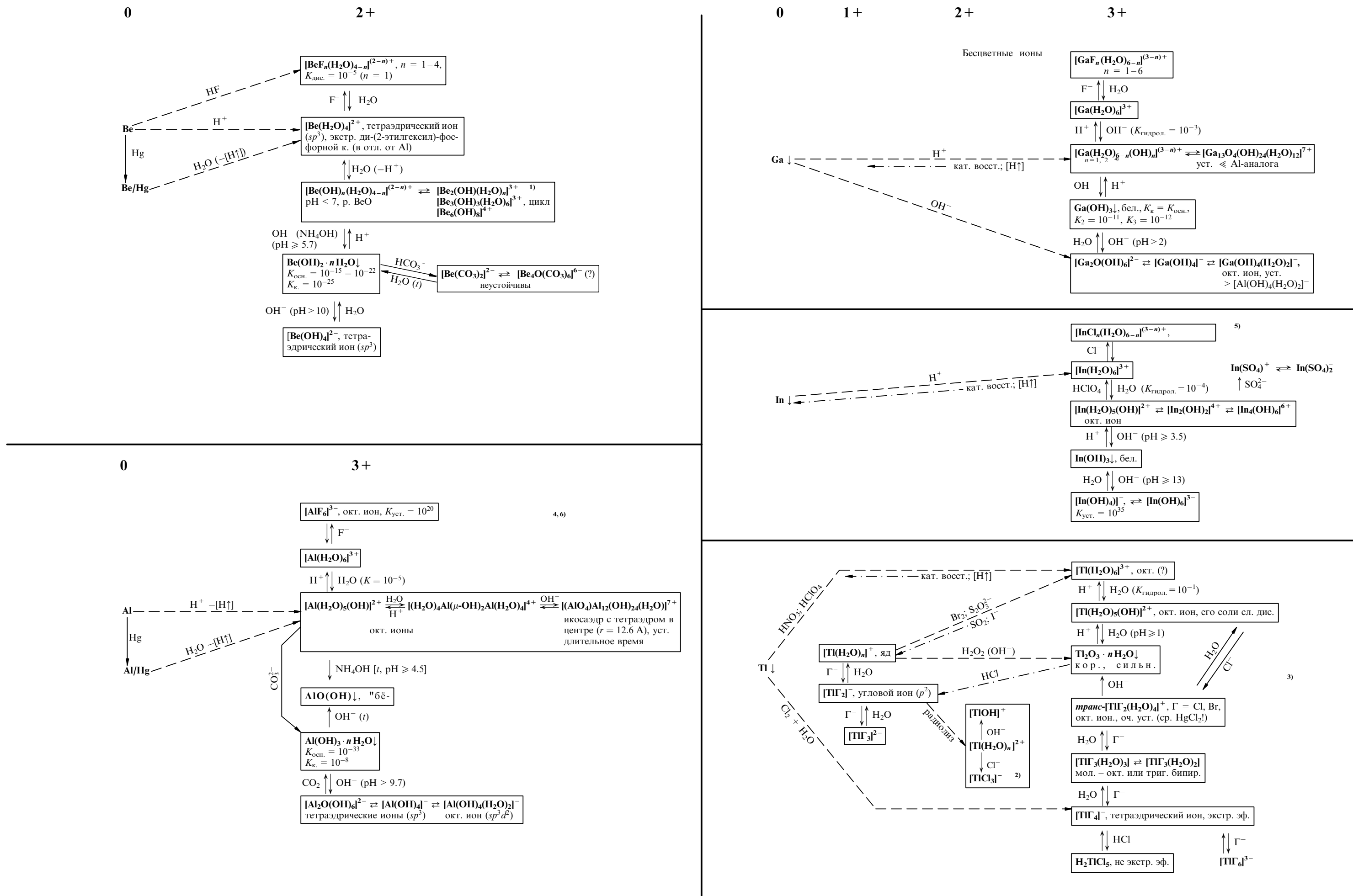
2 **TIO_R**, крист. ($R = Me, Pr\dots$) или масло ($R = Et$), бц., в стр. и р-ре – тетрамеры, $[Tl_4O_4]$ – куб., к. ч. Tl 3 (пирамида), к. ч. O 4 (тетраэдр) ¹⁴⁾

$$\text{TiC}_5\text{H}_5 \text{, крист., бщ., изостр. InC}_5\text{H}_5 \leftarrow \text{C}_5\text{H}_6(\text{H}_2\text{O}) \rightarrow \text{Ti}$$





ИОНЫ БЕРИЛЛИЯ, АЛЮМИНИЯ, ГАЛЛИЯ, ИНДИЯ И ТАЛЛИЯ В ВОДНОМ РАСТВОРЕ



СКАНДИЙ, АКТИНИЙ

Sc⁰	$3d$	$4s$	$4p$	3.0.
Ac⁰	$6d$	$7s$	$7p$	1.0

Радиоактивный ряд Ac ($A = 4n + 3$):
 $^{235}_{92}\text{U}(\text{n}, \alpha) \rightarrow ^{231}_{90}\text{Th} \rightarrow ^{234}_{91}\text{Pa} \rightarrow ^{227}_{98.8\%} \text{Ac} \rightarrow ^{223}_{87}\text{Fr}$ (10⁻⁹% в U-рудах)

Ряд Th ($A = 4n$):
 $^{232}_{90}\text{Th} \xrightarrow{\alpha} ^{228}_{88}\text{Ra} \xrightarrow{\beta} ^{228}_{89}\text{Ac} \xrightarrow{\beta, \gamma} ^{228}_{90}\text{Th}$ (6.134 ч)

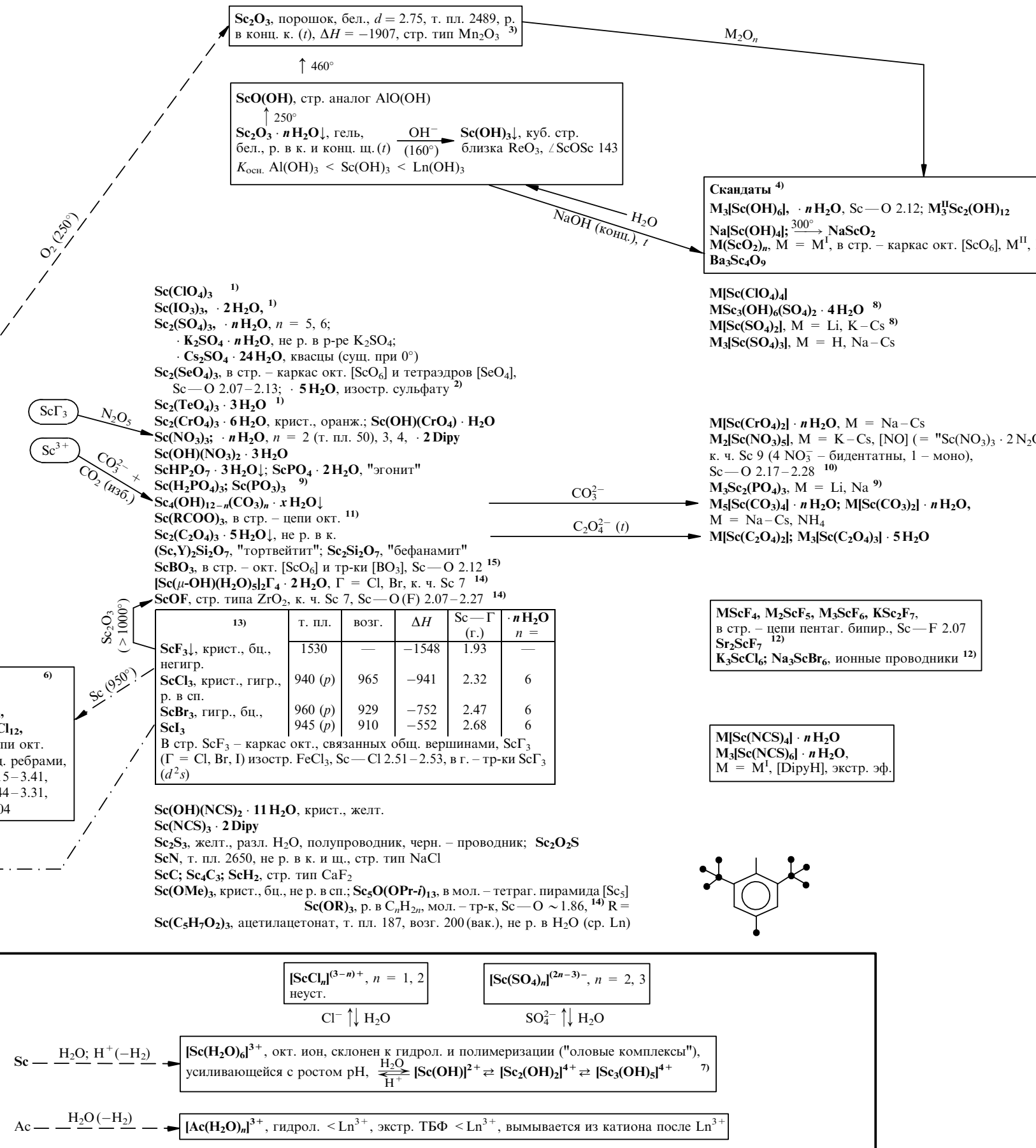
Синтез:
 $^{226}_{88}\text{Ra}(n, \gamma) \xrightarrow{41 \text{ мин}} ^{227}_{88}\text{Ra} \xrightarrow{\beta} ^{227}_{89}\text{Ac}$, отделяется от др. продуктов распада экстракцией бзл. в виде теноилтрифторатацетата (рН 5.5–6.0) или хроматографически

Sc	Ac
мет., серебристо-бел., мягкие с желт. отливом	светится в темноте
d 3.02	10.1
т. пл. 1541	1050
т. к. ~2850	3390
медл. реаг. с H_2O , пассивируется ($\text{HF} + \text{HNO}_3$)	р. в H_2O , оч. реакц. (вследствие радиоактивности)
$E_0 \text{M}^{3+}/\text{M}_{\text{tb}} = -2.08$	-2.6
α -гексаг. пл. упак., $a = 3.31$, $c = 5.27$	—
$\downarrow 1335^\circ$	β -, куб. пл. упак.
a 4.53	5.31
$M - M$ 3.26	3.76
(сущ. при 20°)	

0(d^3)

$\text{Sc}(\text{Dipy})_3 \xrightarrow{\text{Li}(\text{THF})}$

3 + (d^0)



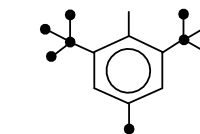
Ac_2O_3 , порошок, бел., $\Delta H = -2047$, стр. тип La_2O_3

$\text{Ac(OH)}_3 \downarrow$, бел., р. в к., $K_{\text{очн}} > \text{Ln}(\text{OH})_3$

$\text{Ac}(\text{NO}_3)_3$
 $\text{AcPO}_4 \cdot 0.5\text{H}_2\text{O} \downarrow$

Ac_2S_3 , черн., разл. H_2O , изостр. Ln_2S_3

AcH , стр. тип NaCl
 AcH_3 , изостр. LnH_3



ИТТРИЙ, ЛАНТАН И ЛАНТАНИДЫ (Ln)

Цериевая группа

Лантан	La^0		1.08
Церий *	Ce^0		1.08
Празеодим	Pr^0		1.07
Неодим	Nd^0		1.07
Прометий	Pm^0		1.07
Самарий	Sm^0		1.07
Европий	Eu^0		1.01

* или $4f^1 5d^1 6s^2$

**) или $4f^8 5d^1 6s^2$

Иттриевая группа

Гадолиний	Gd^0		1.11
Тербий **	Tb^0		1.10
Диспрозий	Dy^0		1.10
Гольмий	Ho^0		1.10
Эрбий	Er^0		1.11
Тулий	Tm^0		1.11
Иттербий	Yb^0		1.06
Лютесций	Lu^0		1.14
Иттрий	Y^0		1.11

Синтез Рм:
 $^{144}_{60}\text{Nd}(^2\text{D}, n)^{145}_{61}\text{Pm}$
 18 лет
 (Пул, Квилл, 1938)
 $^{235}_{92}\text{U}(n)^{147}_{61}\text{Pm} + \text{Pu} + \dots$
 2.62 года
 (Маринский, Глендендин, 1947 г.) осколковый элемент в реакторах (0.7 г на 1 кг Pu)

2+

Nd^{2+} (f^4), Sm^{2+} (f^6), Eu^{2+} (f^7), Ho^{2+} (f^{11}), Tm^{2+} (f^{13}), Yb^{2+} (f^{14})

$\text{Eu}_3\text{O}_4 =$
 $\text{Eu}^{\text{II}}\text{Eu}^{\text{III}}_2\text{O}_4$

EuO , крист., красн., т. пл. 1700, перег. вак.;
 $+ \text{H}_2\text{O} \rightarrow \text{H}_2\uparrow$ (медл.), стр. тип NaCl .
 [" SmO^+ " = Sm_2ON ; " YbO^+ " = Yb_2OC ; " LnO^+ ",
 Ln = La–Sm, Yb, крист., золотистые, с мет. блеском, неуст. на возд., проводники, содержат Ln^{3+}]⁸⁾

$\text{Eu}(\text{OH})_2 \cdot \text{H}_2\text{O}$, р. в H_2O (ср. Sr–Ba!), используется при разделении Ln: изостр. $\text{Sr}(\text{OH})_2 \cdot \text{H}_2\text{O}$ и $\text{Ba}(\text{OH})_2 \cdot \text{H}_2\text{O}$

$\text{Eu}(\text{ClO}_4)_2$
 $\text{LnSO}_4 \downarrow$, Ln = Sm(оранж.), Eu(бц., ПР = 10^{-10} , изостр. BaSO_4),
 Yb(желто-зел.); $+ \text{H}^+ \rightarrow \text{H}_2 + \dots$
 SmCO_3
 $\text{KEu}(\text{CH}_3\text{COO})_3$, в стр. – ат. Eu с к. ч. 8 и 9
 $\text{Eu}_3(\text{BO}_3)_2$; EuB_2O_4 ; EuB_2O_5 ; EuB_4O_7 ,
 стр. – аналоги боратов Sr
 Ln_4OCl_6 , Ln = Sm, Yb, ат. О в центре тетраэдра $[\text{Ln}_4]$, к. ч. $\text{Ln} = 9 + 1$, $\text{Ln} - \text{Ln} \sim 3.8$,
 $\text{Ln} - \text{O} 2.26$, $\text{Ln} - \text{Cl} 2.8 - 3.5$ ²²⁾
 Er_3OBr_4

"Мишметалл" (в основном Ce, La)														
La	Ce	Pr	Nd	Pm	Sm	Eu	Gd	Tb	Dy	Ho	Tm	Yb	Lu	Y
Мет., серебристо-бел., пластичные, тускнеют во влажном возд., разл. H_2O (т); р. в к. (за исключением HF и H_3PO_4), парамагн.														
$E_0\text{M}^{3+}/M_{\text{tb}}$ –2.38	–2.34	–2.35	–2.32	–2.29	–2.30	–1.99	–2.28	–2.31	–2.29	–2.32	–2.32	–2.22	–2.30	–2.37
$E_0\text{M}^{2+}/M_{\text{tb}}$ –	—	—	—	—	—	—2.67	—2.80	—2.64	—2.20	—	—2.3	—2.8	—	—
p. в H_2O (20°)	пирофо-					р. в ж.	ферро-					р. в ж.	горит	$> 1000^\circ$
d	6.17	7.3	6.8	7.0	7.26	7.5	5.3	7.9	8.3	8.5	8.8	9.0	9.3	7.0
t. пл.	920	804	935	1024	1180	1072	826	1312	1356	1407	1522	1545	821	9.8
t. к.	3450	3450	3510	3080	~3000	1800	1440	3272	3073	2587	2707	2857	1211	4.58
α , гексаг. пл. упак.														
a	3.77	3.68	3.67	3.66	3.65	$\alpha = 9.00$	3.63	3.60	3.59	3.57	3.56	3.54	5.48	3.51
c	12.16	11.92	11.83	11.80	11.65	$\alpha = 23^\circ 13'$	5.78	5.69	5.65	5.62	5.59	5.56	5.55	3.65
	$\downarrow 310^\circ$	$\downarrow 168^\circ$			1)									5.73
γ , куб. пл. упак.														
a	5.03	5.16	7.98	862°		917°	1264°	1317°	1400°	1367°	798°	798°	1480°	
	$\downarrow 868^\circ$	$\downarrow 725^\circ$												
β , куб. (тип α -Fe)														
a	4.26	4.12	4.13	4.13		4.07	4.58	4.06	4.02		3.96	3.94	4.44	3.90
														4.11

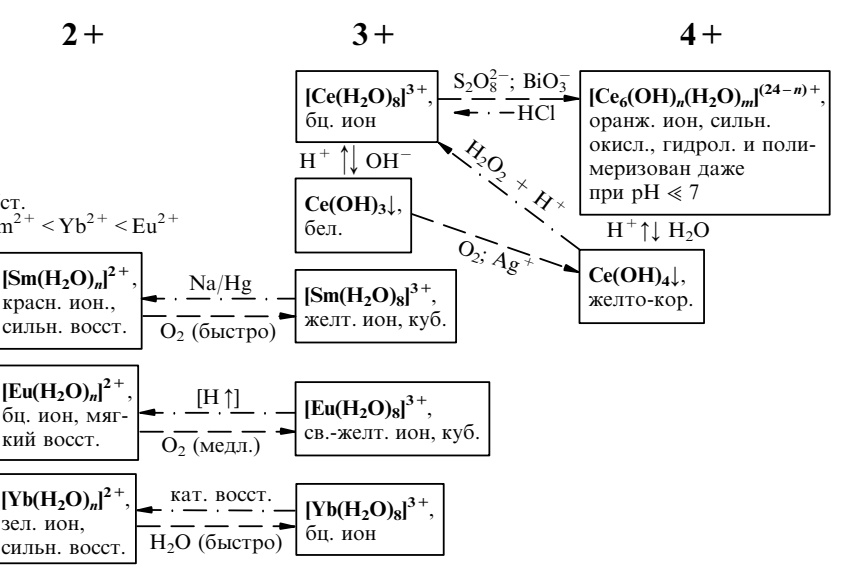
$[\text{Ln}(\text{H}_2\text{O})_8]^{3+} + \text{H}_2\text{O} \rightleftharpoons [\text{Ln}(\text{H}_2\text{O})_7(\text{OH})]^{2+} + \text{H}^+$, куб. ионы, Ln – OH_2 2.48 (La), 2.41 (Tb), 2.40 (Dy), 2.37 (Er), 2.36 (Tm), 2.34 (Lu)¹⁴⁾

Ст. гидрол. растет от La к Lu по мере упрочнения связи Ln – OH₂

в том же направлении изменяются радиусы $[\text{Ln}(\text{H}_2\text{O})_8]^{3+}$

(в противоположность свободным Ln^{3+})

Окраска $[\text{Ln}(\text{H}_2\text{O})_8]^{3+}$		
$\Sigma f_e = 7 - n$	n	$\Sigma f_e = 7 + n$
La, бц.	(f^0)	7 (f^{14})
Ce, бц.	(f^1)	6 (f^{13})
Pr, желто-зел.	(f^2)	5 (f^{12})
Nd, роз. (тв. – фиол.)	(f^3)	4 (f^{11})
Pm, роз.	(f^4)	3 (f^{10})
Sm, желт.	(f^5)	2 (f^9)
Eu, св.-желт.	(f^6)	1 (f^8)
Gd, бц.	(f^7)	0



2+

3+

4+

5+

6+

7+

8+

9+

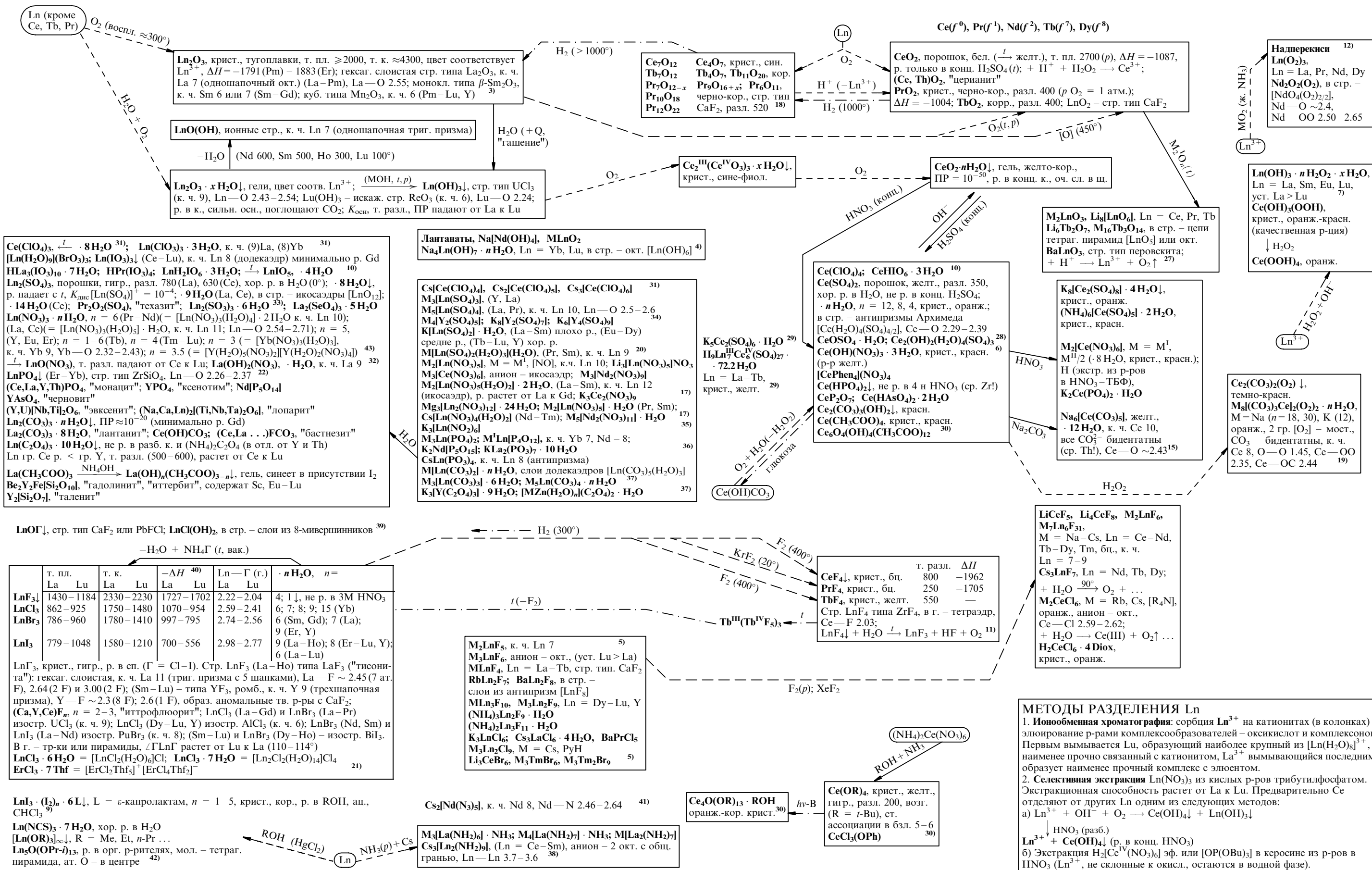
10+

11+

12+

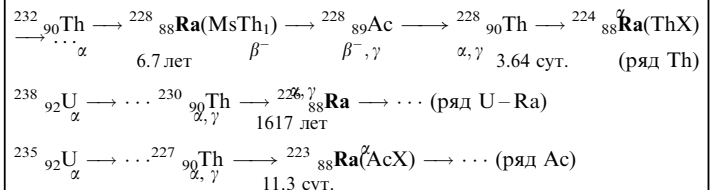
13+

14+



Магний	Mg⁰		3.0.
Кальций	Ca⁰		1.0
Стронций	Sr⁰		1.0
Барий	Ba⁰		0.9
Радий	Ra⁰		0.9

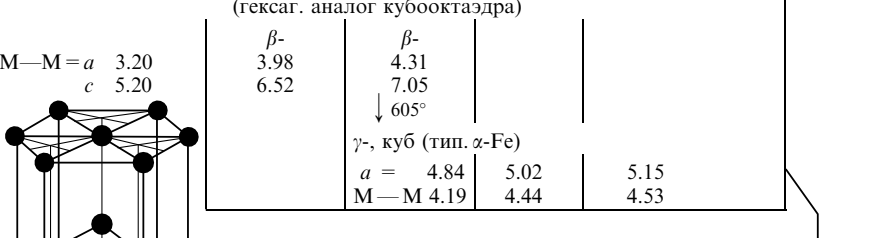
Образование Ra при радиоактивном распаде:



Выделение 226Ra из U-руд ($\approx 10^{-5}\%$): 1) соосаждение с $\text{BaSO}_4 \downarrow$; 2) р. в комплексонах; 3) дробная кристаллизация или хроматография

Mg	Щелочноземельные металлы			Ra	
	Ca	Sr	Ba		
бел. на поверхности тончайшая пленка MgO	бел., блестящие окисляются возд., хим. акт. $\text{Ra} \gg \text{Mg}$	бел. диамагн.	бел.	мягкие светится в темноте парамагн.	бел.
d т. пл. т. к. $E_0 \text{M}^{2+}/\text{M}_{\text{TB}}$	1.74 1.54 851 1482 -2.84	2.69 1000 ¹⁰⁾ 1390 -2.89	3.6 727 1860 -2.90	≈ 6 969 1536 -2.92	≈ 6 1536 -2.92
р. в разб. к. (кроме HF), $\text{NH}_4\text{X} \rightarrow \text{H}_2 + \text{NH}_3$, $\text{R}\Gamma \rightarrow \text{RMg}\Gamma$	pear. с H_2O , сп., р. в ж. $\text{NH}_3 (< \text{M}^1)$ α -, куб. пл. упак.	a M—M 3.94 464°↓	5.56 6.05 4.30 250°	$\text{Na}_2[\text{Mg}(\text{OH})_4]; \text{Ba}_2[\text{Mg}(\text{OH})_6];$ $\text{MgO} \cdot 3\text{K}_2\text{O} = \text{K}_2\text{MgO}_4$, двойной окисел, в стр. – тетраэдры $[\text{MgO}_4]^{4-}$	$\text{NaOH} (65\%) (100^\circ)$

Гексаг. пл. упак. (стр. тип Mg), ат. – в узлах
гексаг. ячейки и в центрах 3-х из 6-ти триг. призм, к. ч. 12
(гексаг. аналог кубооктаэдра)



Легкие сплавы Mg:
[Mg + Al ($\leq 10\%$) + Zn ($\leq 4\%$) + Mn ($\leq 1.7\%$)] – "электрон"; [5–30% Mg + Al] – "магналий", тв. $> \text{Al}$

[M(NH₃)₆]_n, крист., золотистые, с мет. блеском, проводники, воспл. на возд., разл. 12(Ca), 4(Sr), -3(Ba), уст. $> [\text{M}^1(\text{NH}_3)_6]$
[BaDipy₄]_n, разл. на возд.

MgO	CaO	SrO	BaO	RaO
"периклаз" т. пл. 2850 т. к. 3600 ΔH -598	"извест." 2614 2850 -636	крист., бц., гигр. 2430 — -590	1923 ≈ 2000 -556	— — -544
BaO – $\text{O} < 600^\circ, \text{H}_2\text{O};$ (Sr, $125 \cdot 10^8 \text{ Pa}$)				
RaO				

В стр. типа NaCl, M – O 2.11(Mg), 2.40(Ca), 2.57(Sr), 2.77(Ba); в г. – мол. MO, M – O 1.75(Mg), 1.94(Ba), $\mu = 8.0$ (Ba), 8.9(Sr). MgO – хим. инертна после прокаливания; Ba_{1+x}O , крист., красн.

$t \downarrow \text{H}_2\text{O}$ (кроме MgO)

$\text{Mg(OH)}_2 \downarrow$ "брусит"	$\text{Ca(OH)}_2 \downarrow$ "портландит"	$\text{Sr(OH)}_2 \downarrow$	Ba(OH)_2	Ra(OH)_2
т. пл. — разл. 350 ПР 10^{-11}	— 580 10^{-5}	450 10^{-4} $n \text{H}_2\text{O}$ $n = 8, 1$	408 с разл. р. в H_2O $n \text{H}_2\text{O}$, $n = 8$ (т. пл. 95, разл. 125), 3, 2(220), 1(375)	— р. $> \text{Ba(OH)}_2$
$K_{\text{осн.2}}$ 10^{-3}	10^{-2}	10^{-1}	В стр. Sr(OH)_2 к. ч. Sr 7 (трив. односторонняя призма)	В стр. $\text{M(OH)}_2 \cdot n \text{H}_2\text{O}$ к. ч. M 8 (антипризма), M – O

$\text{Mg(ClO}_4)_2$, "ангидрон", т. пл. 246, разл. 382, хор р. в сп., эф., $\cdot \text{H}_2\text{O}$, т. пл. 147; $\text{M}^1[\text{Mg}(\text{ClO}_4)_3]^{15}$	$\text{M}(\text{ClO}_4)_2$, M = Ca, Sr ($\cdot \text{H}_2\text{O}$), Ba (разл. 505), $\cdot n \text{H}_2\text{O}$, $n = 3$, крист., бц., оч. гигр. (сильн. осушители), хор. р. в H_2O , в стр. – икосаэдры $[\text{BaO}_4]$, Ba – O 2.92 и 3.03; $n = 1^{15}$
$\text{M}(\text{ClO}_4)_2$, разл. 120(Sr), т. пл. 414(Ba); $\cdot n \text{H}_2\text{O}$, $n = 6$ (Mg), 2(Ca), 8(Sr), 1(Ba), оч. хор. р. в H_2O	$\text{Ca}(\text{ClO}_4)_2$; $\cdot 3\text{H}_2\text{O}$; $\cdot 1/3\text{Ca}(\text{OH})_2 \cdot x \text{H}_2\text{O}$, "белильная известь"
$\text{Ba}(\text{ClO}_4)_2$, разл. 235	$\text{Ba}(\text{ClO}_4)_2$, разл. 235
$\text{M}(\text{BrO}_3)_2 \cdot n \text{H}_2\text{O}$, $n = 6$ (Mg), 1(Ca, Sr – хор р.; Ba↓), разл. > 200	$\text{M}(\text{BrO}_3)_2 \cdot n \text{H}_2\text{O}$, $n = 6$ (Mg), 1(Ca, Sr – хор р.; Ba↓), разл. > 200
$\text{M}(\text{IO}_3)_2 \cdot n \text{H}_2\text{O}$, $n = 4, 1$, разл. 210, хор. р. в H_2O	$\text{M}(\text{IO}_3)_2 \downarrow$, крист., бц., ПР $= 10^{-6}$ (Ca, "лаутарит"), 10^{-13} (Sr), 10^{-9} (Ba, $\cdot n \text{H}_2\text{O}$, $n = 1, 2$), 10^{-14} (Ra)
$\text{M}(\text{IO}_6)_2; \text{M}_2\text{I}_2\text{O}_9 \cdot n \text{H}_2\text{O}$, M = Ca ($n = 8$); Ba ($n = 3$) ¹⁴	$\text{Ba}(\text{IO}_6)_2; \text{M}_2\text{I}_2\text{O}_9 \cdot n \text{H}_2\text{O}$, M = Ca ($n = 8$); Ba ($n = 3$) ¹⁴

MgSO_4 , т. пл. 1185 с разл. ("арканит"), $\cdot n \text{H}_2\text{O}$, $n = 1$ ("кизерит"), 2 ("сандерит"), 4, 5, 6 ("тетра-", "пента-", "гексагидрит"), 7, "горькая соль" ("эпсомит"); $\cdot \text{K}_2\text{SO}_4 \cdot n \text{H}_2\text{O}$, $n = 6$ ("шенит"); 4 ("леонит") $\cdot (\text{NH}_4)_2\text{SO}_4 \cdot 6 \text{H}_2\text{O} = (\text{NH}_4)_2[\text{Mg}(\text{H}_2\text{O})_6](\text{SO}_4)_2^{24}$	$\text{CaSO}_4 \downarrow$, т. пл. 1450, "ангидрит", $\longrightarrow \cdot 0.5 \text{H}_2\text{O} \xrightarrow{\text{H}_2\text{O}} \cdot 2 \text{H}_2\text{O} \downarrow$, "гипс", ПР = 10^{-5} , K = 10^{-3} $\cdot \text{M}_2\text{SO}_4$, M = H, K ($\cdot \text{H}_2\text{O}$, "сингенит"), NH ₄ , Na ("глауберит"), р. в H_2O
MSO_4 , M = Sr [т. пл. 1500 (6 · 10^6 Па)], разл. 1580, ПР = 10^{-7} , "целестин"; Ba [т. пл. 1580 с разл., ПР = 10^{-10} , "барит" ("тяжелый шпат")]; Ra [ПР = 10^{-12}]; р. в ЭДТА (см. табл. ионов) ¹⁶	MSO_4 , M = Sr [т. пл. 1500 (6 · 10^6 Па)], разл. 1580, ПР = 10^{-7} , "целестин"; Ba [т. пл. 1580 с разл., ПР = 10^{-10} , "барит" ("тяжелый шпат")]; Ra [ПР = 10^{-12}]; р. в ЭДТА (см. табл. ионов) ¹⁶
$\text{MSO}_4 \cdot n \text{H}_2\text{O}$, $n = 6$ (Mg), 2, 4(Ca), 0(Sr, Ba)	$\text{MSO}_4 \cdot n \text{H}_2\text{O}$, $n = 6$ и 3(Mg, Ca, хор. р. в H_2O); 5 и 1(Sr, мало р.), 1 и 2(Ba)
$\text{MSO}_4 \cdot n \text{H}_2\text{O}$, $n = 4$ (Ca, Sr), 2(Ba), хор. р. в H_2O	$\text{MSO}_4 \cdot n \text{H}_2\text{O}$, $n = 4$ (Ca, Sr), 2(Ba), хор. р. в H_2O
$\text{MSO}_4 \cdot n \text{H}_2\text{O}$, $n = 6$ (Mg, хор. р.), 2(Ca, р.), 0(Sr↓, Ba↓, Ra↓, РР = 10^{-5}); Ba↓, Ra↓, РР = 10^{-10})	$\text{MSO}_4 \cdot n \text{H}_2\text{O}$, $n = 6$ (Mg, х

Галогениды, крист., бц., гигр.

$Mg\Gamma_2 \cdot n Mg(OH)_2 \cdot 8H_2O$, $n = 3, 5$; $\Gamma = Cl, Br$
$Mg(OH)\Gamma$, $\Gamma = Cl-I$, стр. тип CdI_2
т. пл. т. к. ΔH $Mg-\Gamma$ (г.)
$MgF_2 \downarrow$ 1396 2260 -1121 1.77 ПР = 10^{-9} , "салпант", стр. тип рутата
$MgCl_2$ 714 1418 -644 2.18 · 6H ₂ O ("бишофит")
$MgBr_2$, тип CdI_2 710 1430 -519 2.34 · 6H ₂ O
MgI_2 , тип CdI_2 633 1014 -360 2.52 · 8H ₂ O с разл.
$MgI_8^{2-} \cdot 6H_2O$

$CaCl_2 \cdot 3Ca(OH)_2 \cdot 12H_2O$
$Ca(OH)Cl \cdot 0.5H_2O$
т. пл. т. к. ΔH $Ca-\Gamma$ (г.)
$CaF_2 \downarrow$ 1419 2500 -1222 2.10 ПР = 10^{-11} "флюорит"
$CaCl_2$ 782 2000 -799 2.51 · nH ₂ O искаж. стр. рутата
$CaBr_2$ 760 810 -685 2.67 · nH ₂ O искаж. стр. рутата
CaI_2 , стр. 784 718 -536 2.88 · 6H ₂ O тип CdI_2
$CaFG$, $\Gamma = Cl-I$, изостр. $PbClF$ $CaI_6^{2-} \cdot 7H_2O$

$Sr(OH)Cl \cdot 4H_2O$
т. пл. т. к. ΔH $Sr-\Gamma$ (г.)
$SrF_2 \downarrow$, стр. тип CaF_2 1473 2460 -1222 2.20 ПР = 10^{-9}
$SrCl_2$, стр. тип CaF_2 873 2030 -799 2.67 · nH ₂ O н = 1, 2, 6 ("фынххри- ниит")
$SrBr_2$, искаж. стр. 643 — -685 2.82 · nH ₂ O н = 1, 2, 6
$PbCl_2$, к. ч. Sr 7 ¹²⁾ 515 разл. -536 3.03 · nH ₂ O н = 2, 6
SrI_2 , стр. тип $PbCl_2$ 740 — -607 3.20 · nH ₂ O тип $PbCl_2$
$SrFG$, $\Gamma = Cl-I$ $SrI_6^{2-} \cdot 7H_2O$

$Ba(OH)Cl \cdot 2H_2O$
т. пл. т. к. ΔH $Ba-\Gamma$ (г.)
$BaF_2 \downarrow$, стр. тип CaF_2 1353 2260 -1196 2.32 ПР = 10^{-6}
$BaFG$, $\Gamma = Cl-I$, изостр. $PbClF$ — — — — —
$BaCl_2$, стр. тип $PbCl_2$ 962 1830 -858 2.82 · nH ₂ O н = 1, 2
$BaBr_2$, стр. тип $PbCl_2$ 853 — -757 2.99 · nH ₂ O н = 1, 2
BaI_2 , стр. тип $PbCl_2$ 740 — -607 3.20 · nH ₂ O н = 2, 6

т. пл. $Ra-\Gamma$ (г.)
$RaF_2 \downarrow$ — 2.76 · 2H ₂ O
$RaCl_2$ ≈ 900 — · nH ₂ O, $n = 2, 6$
$RaBr_2^*$ 728 возг. 900 —
RaI_2 — —

* быстро желтеет

[M(NH₃)₆]X₂, X = I, ClO₄; + H₂O → NH₃
[M(NH₃)₆]I₂, разл. 96(Ca), 62(Sr), 20(Ba)
[BaDipy₄]I₂

KMgF₃ (т. пл. 1070); K₂MgF₄ (разл. 846); NaMgF₃ ("нейборит")
M₄Mg₈F₁₀, M = Cs, Ba/2, в стр. – слои из гр. [Mg₃F₈F_{4/2}] (3 окт. с общ. гранями) связаны вершинами, Mg – F 1.89–2.10⁸⁾
MMgCl₃, · 6H₂O, M = K, NH₄ ("карналлит"); → KCl↓ + MgCl₂ · 6H₂O(ж.)
M₂[MgCl₄]₂, M = Na, [R₄N], анион – тетраэдр, M = Li, стр. тип обратной шпинели
Na₆MgCl₈; Na₂Mg₃Cl₈⁹⁾

M(CN)₂, M = Mg, Ca (+ H₂O → разл.); Ba (хор. р. в H₂O); Sr (· 4H₂O)
в стр. – цепи со связями M – C и M – N²²⁾
CaCN₂, цианамид, возг. 1200°; + H₂O → NH₃↑
M(NCS)₂, · nH₂O, крист., гигр., хор. р. в H₂O, сп., ац., M = Mg, в стр. – окт. [MgN₂(H₂O)₄], Mg – N 2.10, Mg – O 2.09²²⁾

M(OR)₂, M = Mg – Ba, крист., бц., изостр. Mg(OH)₂ и Ca(OH)₂, (стр. тип CdI₂)
M(OMe)₂ · nMeOH, $n = 3.5$ и 1(Mg, Ba), 0(Ca↓, Sr↓)
M(OEt)₂ · nEtOH, $n = 4$ и 2(Ca – Ba), 0(Mg↓)⁶⁾
M(CO)₂ = M²⁺[O – C ≡ C – O]²⁻(?), бел. порошки, нелетучи, медл. гидр.; → MCO₃ + MO + C [ср. M₂(CO)₂]

M(HS)₂ · nH₂O, $n = 6$ (Ca, разл. 15), 0(Sr), 4(Ba, разл. 50), бц., хор. р. в H₂O
MS↓, крист., бел., т. пл. ≈ 2000° с разл.; + H₂O ⇌ M(HS)₂ + M(OH)₂; стр. тип NaCl; μ -BaS (г.) = 10.9

	ΔH	M – S
	тв.	г.
MgS	-352	—
CaS	-460	2.84 2.27
SrS	-452	3.00 2.42
BaS	-443	3.18 2.51 · 6H ₂ O
RaS	—	3.29 —

MgS₄; MgS₅
SrS₄ · nH₂O, $n = 6, 4$; SrS₅, желт.
BaS₂, т. пл. 925
BaS₃, зел., т. пл. 554; BaS₄, красн., разл. 300, хор. р., · 2H₂O

[Mg(H₂O)₆]₂CaCl₆, "тахигидрат"²³⁾

Стр. CaF₂, Ca – в узлах гранецентрированного куба, F – в центрах 8 малых кубов, к. ч. Ca 8 (куб), F 4 (тетраэдр)

В расплаве ст. дис. MCl₂ = 43(Ca), 60(Sr), 80%(Ba); в г. – линейные мол. Mg₂, Ca₂ ($\Gamma = Cl-I$), Sr₂ (Br, I) и угловые CaF₂, SrF₂, (F, Cl) и BaF₂

Mg₂ · nL, L = NR₃, R₂O, R₂C = O; $n = 2, 6$
В стр. Sr₂ · 6H₂O – [Sr(H₂O)₆]; · H₂O, Sr – O 2.6, Sr – Γ 2.99(Cl), 3.15(Br); BaCl₂ · 2H₂O – одношапочная тетраг. антипризма [BaCl₅(H₂O)₄], Ba – O 2.86, Ba – Cl 3.22²¹⁾

M(NH₂)₂, амиды, M = Mg (самовоспл.), Ba (т. пл. 290), крист., бел., не р. в ж. NH₃; в стр. – тетраэдры [MgN_{4/2}], Mg – N 2.08 ↓ 400°(-NH₃)¹²⁾
MNH₂, имиды, крист., желт.; MNK · 2NH₃, разл. H₂O ↓ H₂-(MH₂)
M₃N₂, нитриды, M = Mg (разл. 1500, $\Delta H = -477$), Ca (т. пл. 1195, $\Delta H = -439$), Sr (> 1000, -389), Ba (1000, -364), крист., бц., + H₂O → M(OH)_n + NH₃↑; + CO → MO + N₂ + C (M = Ca, Sr), и → BaO + Ba(CN)₂; в стр. – тетраэдры [MgN₄], Mg – N 2.14 N₂ ↑ t ↓ 500°(вак., -N₂)
BaN₂, пернитрид M₃N₄, черно-кор., черн., + H₂O → H₂ + NH₃ + M(OH)₂ + H⁺ ⇌ N₂ + NH₃ + M(OH)₂
M(N₃)₂, азиды, M = Mg, Ca, Ba (разл. 219, · 6H₂O), Ra, р. в H₂O и сп., взр. < Pb(N₃)₂, в стр. – антипризмы (к. ч. Ca, Sr 8); M = Ca (· 2H₂O), к. ч. Ca 8, Ca – N 2.53, Ca – O 2.54
M = N – M – Γ , M = Sr, Ba, $\Gamma = Cl-I$, порошки, серые или красные (Ca); т. пл. 965(Ba)

[MgN₄]₈, M = Sr, Ba, субнитриды, M₃N₄, черн., + H₂O → H₂ + NH₃ + M(OH)₂

K₂[Ca(N₃)₄(H₂O)]₄, Ca – N 2.65, Ca – O 2.45¹⁹⁾

CaH₂ | -188 | 1.90 | крист., бц., d > d_{мет.}, разл. ≈ 600 (уст.)

SrH₂ | -176 | 3.27 | Ca > Sr > Ba, не р. в ж. NH₃,

BaH₂ | -170 | 4.21 | стр. тип PbCl₂ (к. ч. 9),

Ca – H 2.32 (7 связей), 2.85 (2 связи);

+ H₂O → H₂ (бурная реакция);

+ \varnothing_2O_n → \varnothing + MO + H₂ (\varnothing = Al, Ti, Nb, W);

+ BC₃ → B₂H₆ + MCl₂; MH₂ + H₂ ⇌ MH_n, $n \leq 4$, M = Sr, Ba

MH₂ | -170 | 4.21 | стр. тип PbCl₂ (к. ч. 9),

2O → H₂ (бурная реакция);3 → B₂H₆ + MCl₂; MH₂ + H₂ ⇌ MH_n, $n \leq 4$, M = Sr, Ba

\varnothing_2O_n → \varnothing + MO + H_{2</}

ЦИНК, КАДМИЙ

Zn⁰ 3d [↑↓↑↓|↑↓|↑↓] 4s [↓↑] 4p [] 4d [] 1.6

Cd⁰ 4d [↑↓↑↓|↑↓|↑↓] 5s [↓↑] 5p [] 5d [] 1.5

ZnO, крист., бел. (500° желт.), т. пл. 1969 (р), возг. 1725 с разл., ΔH = -348, "цинкит", стр. тип "виртцита", каркас тетраэдров [ZnO₄], Zn—O 1.95

Zn(OH)₂↓, бел., р. в к., щ., NH₄X, K_{осн2} = 10⁻⁵, K_{к1} = 10⁻¹², K_{к2} = 10⁻¹³, старение осадка: α-, стр. тип Mg(OH)₂ (окт. ZnO₆) → β- → γ- → ... ε- (тетраэдры [ZnO₄]), Zn—O 1.96

250° (- H₂O)

[Zn(NH₃)₄(H₂O)₂](-)

M₂O_n(t)

ZnS

O₂ (гол. пламя)

C, CO, H₂

Zn	Cd
мет., бел., мягкие, блестящие	
d	8.65
хрупкий	
> 150° – тягучий	
> 200° – хрупкий	
т. пл.	321
т. к.	766
электропроводность	
в 16	в 13 раз > Hg
р. в разб. к., щ.,	р. в разб. к.
NH ₄ OH	
E ₀ M ²⁺ /M _{TB}	-0.40
искаж. гексаг. пл. упак.	
a	2.97
c	5.61
M—M	2.97

Сплавы
Zn + Cu – латуни;
Zn + Fe – в антикоррозионных покрытиях;
Zn + 4% Al + 3% C + + 0.1% Mg – обладают высокой механической прочностью (типографские сплавы).
Легкоплавкие сплавы на основе Cd

1+
[Zn₂]²⁺[ZnCl₄]²⁻
(сущ. в расплаве
Zn + ZnCl₂)²⁰⁾

ZnΓ₂ · n Zn(OH)₂ · m H₂O↓, Γ = Cl—I, n = 1, 4, в стр. – слои тетраэдров [Γ_{2/2}Zn(OH)₂]₂ и окт., Zn—O 2.02 и 2.16, Zn—Cl 2.37
Zn(OH)Cl; Zn₅(OH)₈Cl₂ · H₂O²⁵⁾

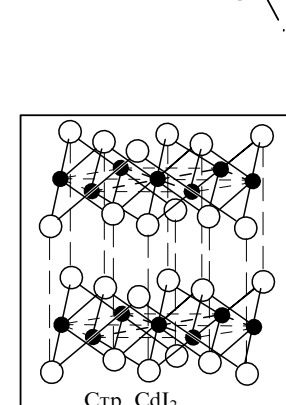
	H ₂ O; OH ⁻					
	т. пл.	т. к.	ΔH	стр. тип	Zn—Г (г.)	· n H ₂ O, n =
ZnF ₂ ↓	875	1502	-765	рутilla	1.81	4
ZnCl ₂	326 (β)	733	-414	—	2.07	4, 3, 2.5,
	315 (α)					1.5 (т. пл. 25), 1
ZnBr ₂	394	670	-327	CdCl ₂	2.20	3, 2
ZnI ₂	446	624	-209	CdI ₂ и CdCl ₂	2.40	2
	с разл.					

крyst., бц., оч. гигр.
В г. – линейные мол. ZnΓ₂; в стр. ZnCl₂ (α- и β-) – сетка искаж. тетраэдров, γ-ZnCl₂ изостр. HgI₂; в стр. ZnBr₂, ZnI₂ – каркас тетраэдров, Zn—Г 2.41 (Br), 2.63 (I); ZnBr₂ · 2 H₂O = [Zn(H₂O)₆][Zn₂Br₆] – окт. и 2 тетраэдра с общ. ребром. ZnΓ₂ (Г = Cl—I) оч. хор. р. в H₂O, сп. эф.

[ZnΓ₂L₂], L = NH₃ (т. пл. 211), Py (в стр. – тетраэдрические мол., Zn—Cl 2.2–2.35), N₂H₄ (в стр. – цепь окт. [ZnN_{4/2}Cl₂], Zn—Cl 2.58), RCN (Zn—Cl 2.17, Zn—N 2.15), R₂O, ROH и т. д.

Ионы Zn и Cd в водном растворе см. с. 83

MZnF₃; M₂ZnF₄; K₃Zn₂F₇, анион – цепь окт., Zn—F 2.03
Sr₄Zn₃F₁₄
M₂[ZnCl₄]₂ · n H₂O, анион – тетраэдр, Zn—Cl 2.25
KZnCl₃ · 2 H₂O, оч. неустойчив
MZn₂Cl₅, анион – 2 тетраэдра с общ. гранью
[H₃O]₂Zn₂Cl₅ · H₂O
M₃ZnCl₅ = M₂[ZnCl₄]Cl
Rb₂ZnBr₄, в тетраэдре
Zn—Br 2.38
KZnBr₃ · 2 H₂O
KZnI₃ · 2 H₂O, т. пл. 84
Li₂[ZnI₄], Zn—I 2.56–2.66
В стр. KZnΓ₃ · 2 H₂O (Г = Cl—I) – тетраэдрические анионы [ZnΓ₃(H₂O)]²⁾



Cd^ICl · n CdCl₂, красно-черн. плав
↓ AlCl₃
Cd^I[AlCl₄]₂, крист., желт., р. в бзл.; + H₂O → Cd + Cd²⁺, катион [Cd₂]²⁺ диамагн., уст. ≪ [Hg₂]²⁺ 3)

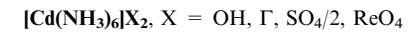
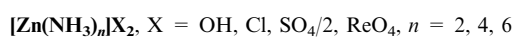
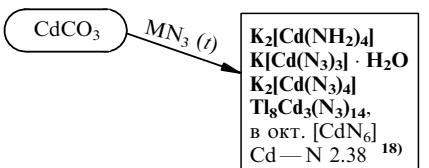
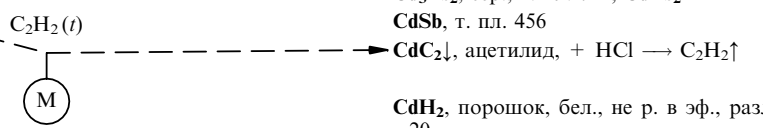
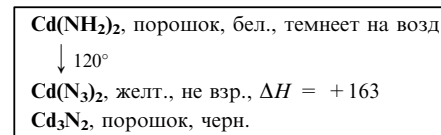
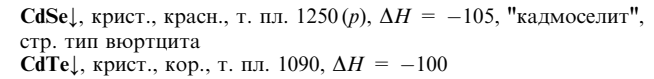
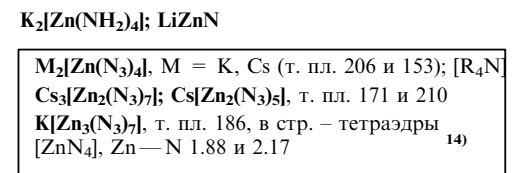
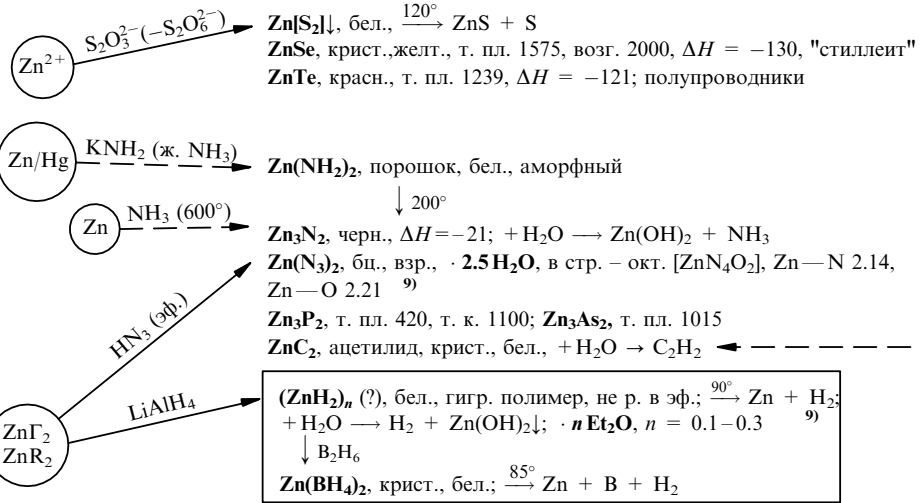
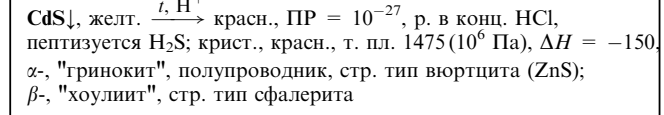
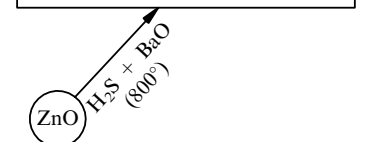
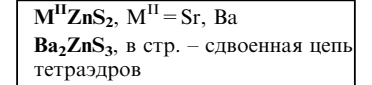
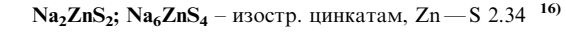
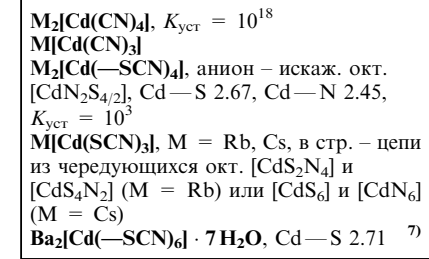
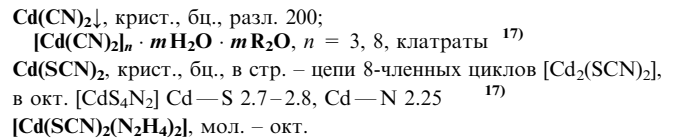
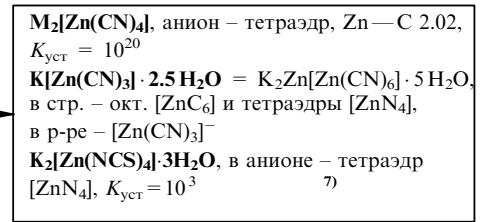
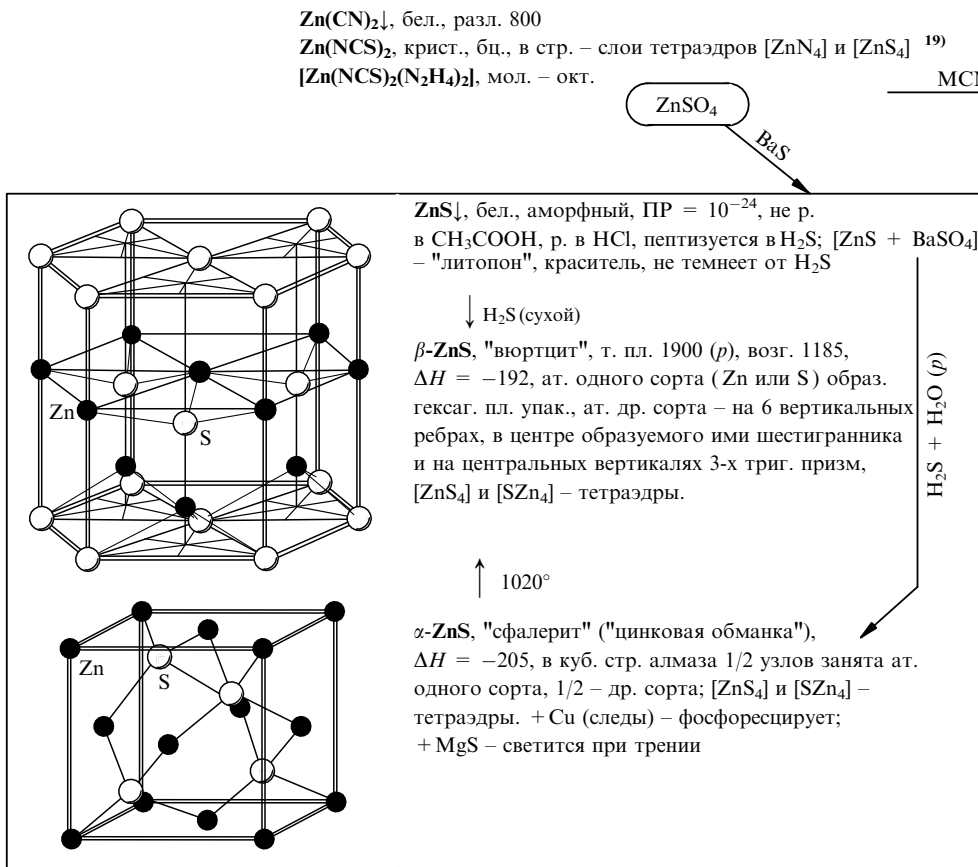
Cd(OH)Γ↓, Г = F—I; Cd₂ · 3 Cd(OH)₂↓, в гексаг. стр. – слои окт. [Cd(OH)_nΓ_{6-n}]³⁰⁾

	т. пл	т. к.	ΔH	стр. тип	Cd—Г (г.)	· n H ₂ O, n =
CdF ₂ ↓	1072	1753	-698	CaF ₂	1.97	2
CdCl ₂	568	964	-389	CdCl ₂	2.21	1–4
CdBr ₂	567	863	-314	CdCl ₂	2.37	2, 4
CdI ₂	388	754	-201	CdI ₂	2.55	—

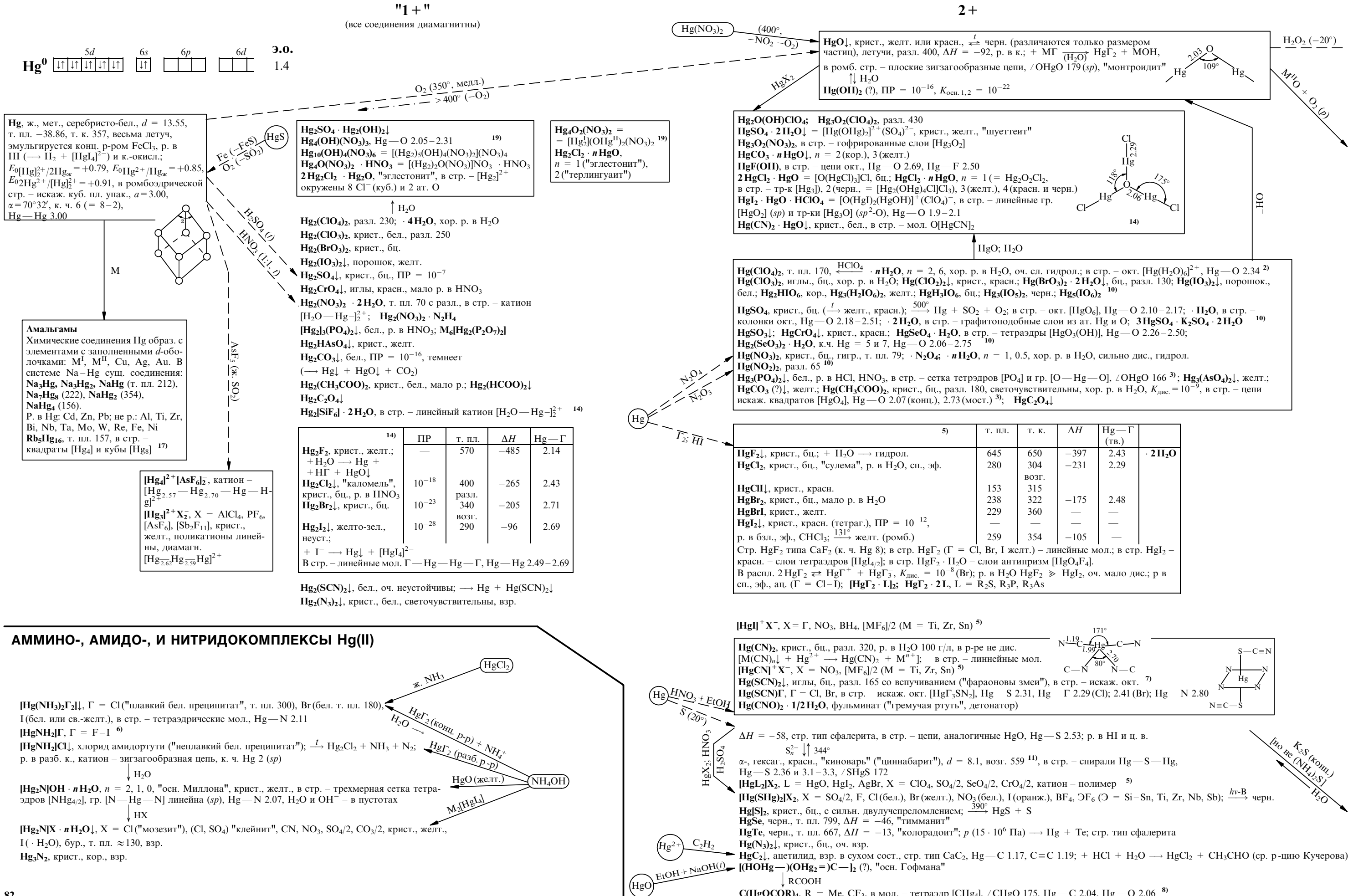
кист., бц., Cd₂ р. в H₂O < ZnΓ₂, сл. электролиты, способные к автокомплексообразованию в р-ре: Cd²⁺ + 2[CdI]²⁻ ⇌ 3Cd₂ ⇌ 3[CdΓ]⁺ + 3Γ⁻, 2Cd₂ ⇌ Cd²⁺ + [CdΓ]²⁻, р. в сп., ац. В г. – линейные мол. CdΓ₂; в гексаг. слоистой стр. CdI₂ — [CdI]₂ — CdI₂ — III слой I⁻ повторяет I⁻ (гексаг. пл. упак. I⁻, Cd²⁺ – в 1/2 окт. пустот); в ромбоэдрической стр. CdCl₂ – др. взаимная ориентация тройных слоев [ClCdClIClCd] — IV слой Cl⁻ повторяет I⁻ (куб. пл. упак. Cl⁻, Cd²⁺ – в 1/2 окт. пустот). В стр. CdΓ₂ · 4 H₂O –

[CdΓ₂L₂], L = NH₃⁵⁾, Py, в стр. – цепи окт. [CdΓ_{4/2}N₂]-транс, Cd—Г 2.35 и 3.04 (Cl), 2.76 (Br), Cd—N 2.46 (Cl) и 2.12 (Br)
CdI₂ · 10 NH₃; [CdCl₂(N₂H₄)₂], мол. – окт.

	т. пл	т. к.	ΔH	стр. тип	Cd—Г (г.)	· n H ₂ O, n =
RbCdF ₃						13)
MCdCl ₃ , M = Na–Cs, в стр. – колонки окт. с общ. гранями						
KCdCl ₃ · H ₂ O						
M ₂ CdCl ₄ , в стр. – слои окт. с общ. вершинами, уст. ≫ [ZnCl ₄] ²⁻ , Cd—Cl 2.51–2.71						
M ₄ [CdCl ₆], M = NH ₄ , K–Cs, анион – окт., Cd—Cl 2.53–2.65						
Na ₆ CdCl ₈ ; Na ₂ Cd ₃ Cl ₈						
CsCd ₃ Cl ₈ ; Rb ₃ Cd ₂ Cl ₇						
RbCdBr ₃ , изостр. MCdCl ₃ , Cd—Br 2.63–2.87						
Rb ₄ CdBr ₆ , анион – окт., Cd—Br 2.80						
RbCdI ₃ · H ₂ O, анион – цепи тетраэдров, Cd—I 2.73–2.82						
M ₂ CdΓ ₄ ; M ₄ CdΓ ₆ , Г = Br, I						



РТУТЬ



ИОНЫ ЦИНКА, КАДМИЯ И РТУТИ В ВОДНОМ РАСТВОРЕ

0

(все ионы бп.)

2+

Перекись
 HgO_2 , крист., оранж., взр. при
ударе
 α - в стр. цепи $[-\text{HgO}-\text{O}-]_\infty$
 β - δ с линейными гр. $[\text{OHgO}]$,
 $\text{Hg}-\text{O}$ 2.10, 2.77–2.92,
 $\text{O}-\text{O}$ 1.47
(15%)
 (O_2)

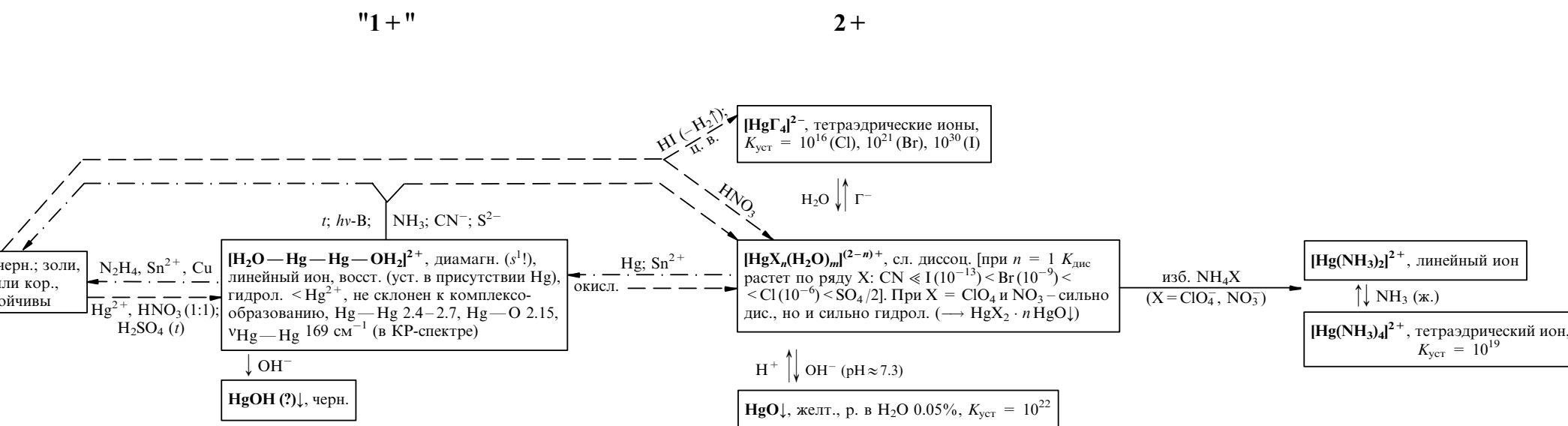
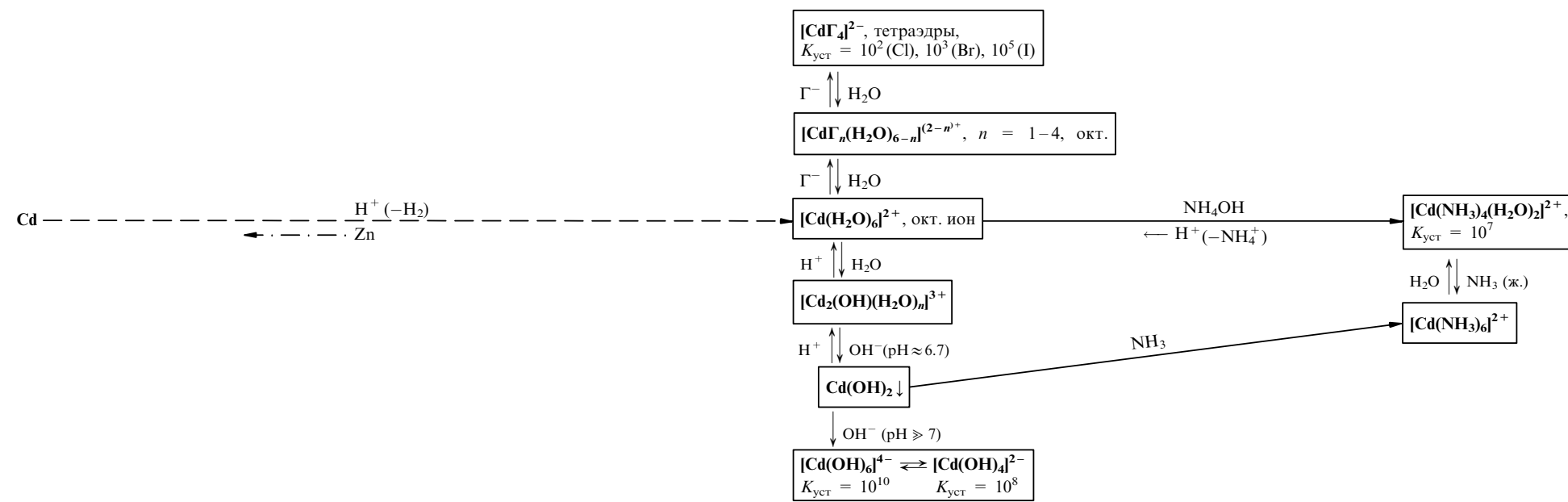
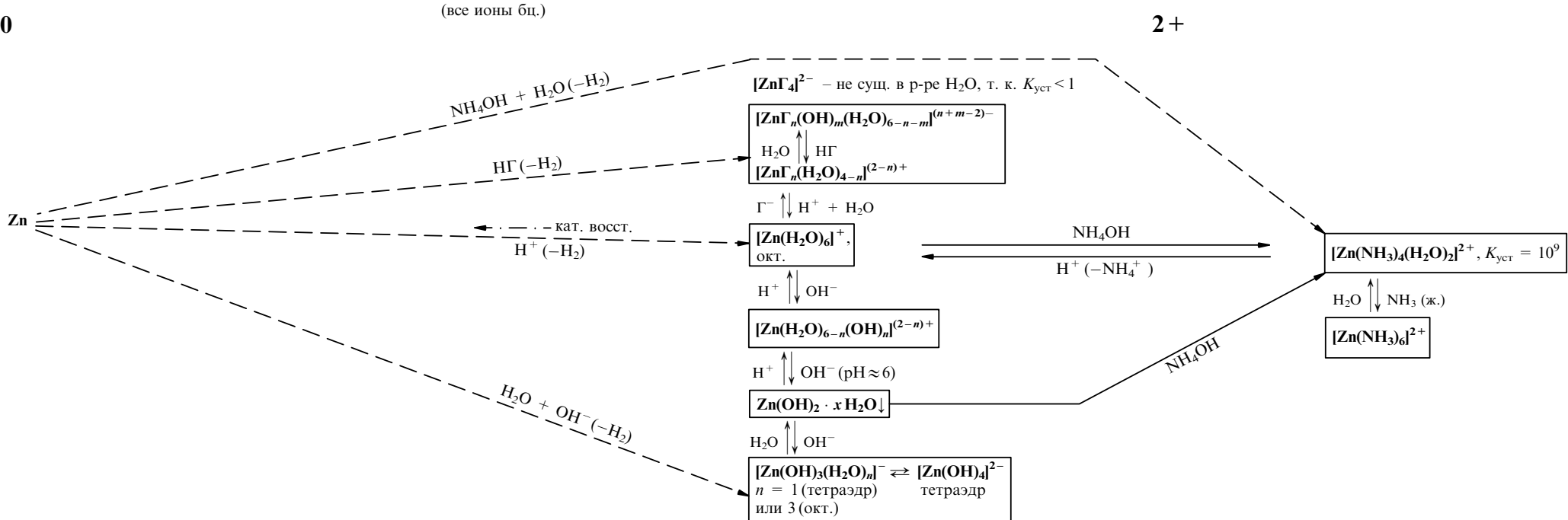
Меркураты²⁰⁾
 $\text{M}_2[\text{HgO}_2]$, крист., бц., гигр.
 $\text{M}^{\text{II}}[\text{HgO}_2]$, M^{II} = Sr, Ba,
анион – гантель,
 $\text{Hg}-\text{O}$ 1.95–2.00

$\text{K}_2[\text{Hg}(\text{SO}_3)_2] \cdot n\text{H}_2\text{O}$, уст. при $\text{pH} > 7$, $K_{\text{уст}} = 10^{24}$
 $\text{K}_6[\text{Hg}(\text{S}_2\text{O}_3)_4]$, $K_{\text{уст}} = 10^{34}$
 $\text{M}_2[\text{Hg}(\text{NO}_3)_4]$
 $\text{M}_2[\text{Hg}(\text{NO}_2)_4]$, $K_{\text{уст}} = 10^{13}$
 $\text{K}_3[\text{Hg}(\text{NO}_2)_4](\text{NO}_3)$, крист., желт.,
 NO_2^- бидентатны, к. ч. Hg 8, $\text{Hg}-\text{O} \approx 2.4$
 $\text{M}_2[\text{Hg}(\text{C}_2\text{O}_4)_2]$
 $\text{M}_2[\text{Hg}(\text{CH}_3\text{COO})_4]$ ¹⁵⁾

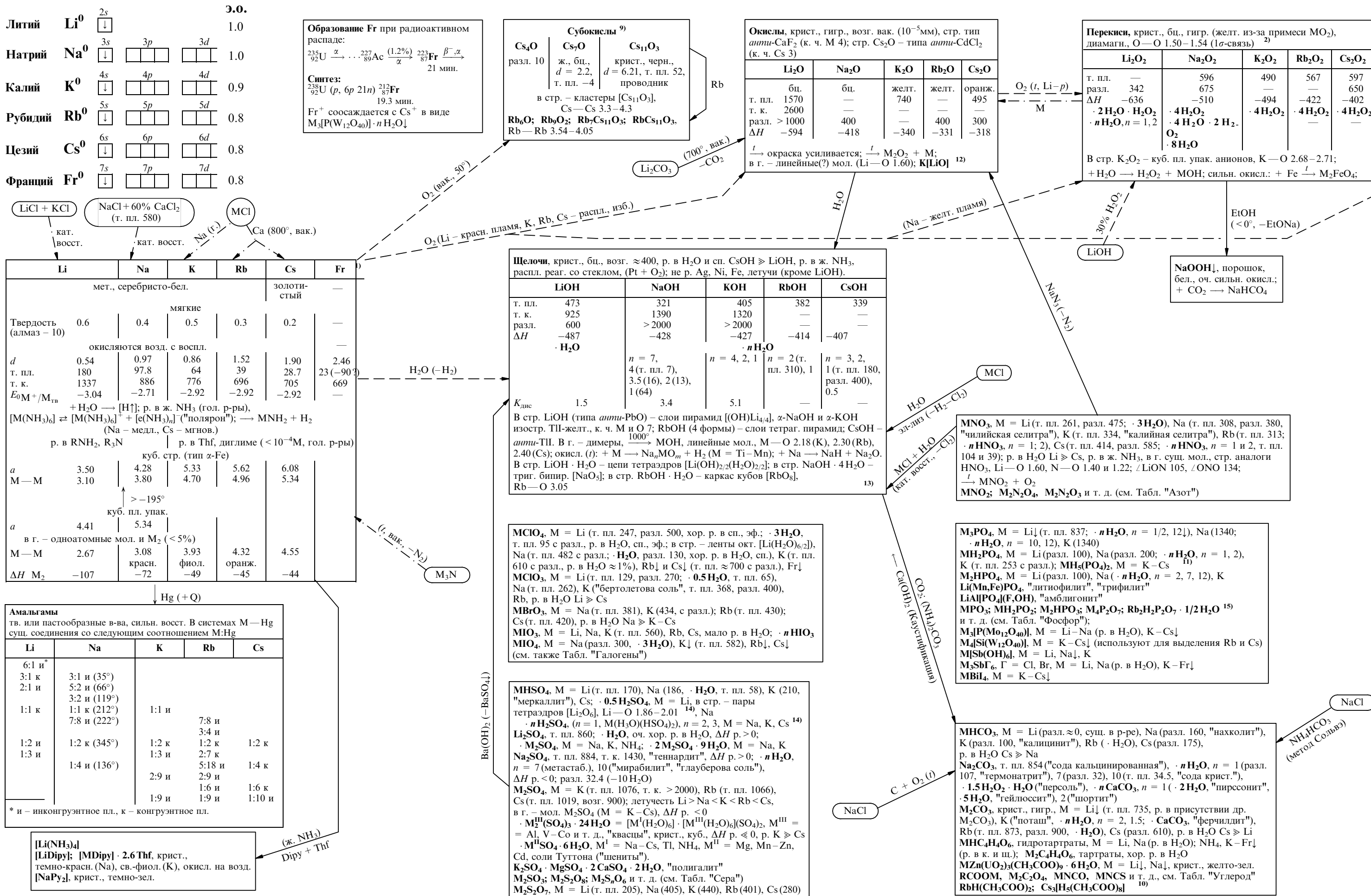
MHgF_3 , $\text{M} = \text{K} - \text{Cs}$, гидрол.
 MHgCl_3 , в стр. – цепи искаж. тетраэдров
 $[\text{HgCl}_3\text{Cl}_{2/2}]$, $\text{Hg}-\text{Cl}$ 2.3 (конц.), 2.75 и
3.22 (мост.)⁴⁾
 $\text{H}_2[\text{HgCl}_4] \cdot 3\text{H}_2\text{O}$; M_2HgCl_4 , в стр. – колонки
искаж. окт. $[\text{HgCl}_2\text{Cl}_{4/2}]$ с общ. ребрами,
 $\text{Hg}-\text{Cl}$ 2.29 и 2.9–3.1, $K_{\text{уст}} = 10^{15}$
 $\text{Cs}_3[\text{HgCl}_4]\text{Cl}$ ⁴⁾
 $[\text{R}_4\text{N}][\text{HgBr}_3]$, анион – тр-к, $\text{Hg}-\text{Br}$ 2.52
 $\text{Cs}_3[\text{HgBr}_4]\text{Br}$, анион – тетраэдр
 $\text{M}_2[\text{HgBr}_4]$, $K_{\text{уст}} = 10^{22}$; $\text{M}_4[\text{HgBr}_6]$
 $\text{M}[\text{Hg}_3\Gamma_{11}]$, $\Gamma = \text{Cl}, \text{Br}$, в стр. – каркас
сплющеных окт., $\text{Hg}-\text{Cl} \sim 2.29$ и ~ 3.2 ⁴⁾
 $\text{CsHg}_2\text{Br}_5 = \text{Cs}[\text{HgBr}_3] \cdot \text{HgBr}_2$, $\text{Hg}-\text{Br}$ 2.46–3.23
 $\text{Cs}_2[\text{HgBr}_4]$, анион – искаж. тетраэдр,
 $\text{Hg}-\text{Br}$ 2.55–2.60
 $\text{M}[\text{HgI}_3]$, $\text{M} = \text{K}, [\text{R}_4\text{N}], [\text{R}_3\text{S}]$, крист., желт.,
анион – тр-к или цепь тетраэдров, $\text{Hg}-\text{I}$ 2.6–2.9⁴⁾
 $\text{H}[\text{HgI}_3] \cdot 4\text{H}_2\text{O}$
 $\text{M}_2[\text{HgI}_4]$, $\text{M} = \text{K} (\cdot 2\text{H}_2\text{O}$, "реактив Несслера"),
 $\text{Ba}/2 (\cdot 5\text{H}_2\text{O})$, $\text{Cu}^{\text{I}}, \text{Ag}$, крист., желт., анион –
тетраэдр, $\text{Hg}-\text{I}$ 2.78, $K_{\text{уст}} = 10^{30}$
 $\text{Cs}_2\text{Hg}_3\text{I}_8$, в стр. – каркас искаж. тетраэдров
 $[\text{HgI}_4]$, $\text{Hg}-\text{I}$ 2.65–2.95
 $(\text{NH}_4)_4[\text{HgI}_6]$; Cs_3HgI_5 ¹³⁾

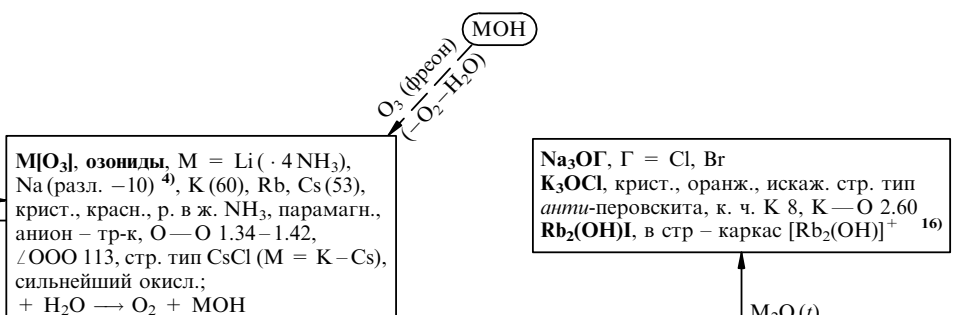
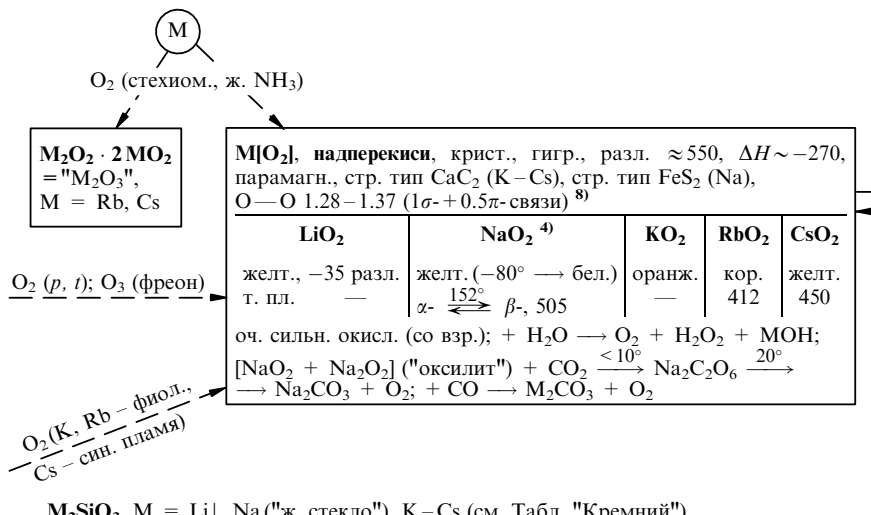
$\text{M}[\text{Hg}(\text{CN})_2\text{X}]$
 $\text{Cs}[\text{Hg}(\text{CN})_3]$, анион – цепи тр-ков $[\text{HgC}_3]$ ⁹⁾
 $\text{M}_2[\text{Hg}(\text{CN})_4]$, бц., анион – тетраэдр,
 $K_{\text{уст}} = 10^{41}$
 $\text{M}_3[\text{Hg}(\text{CN})_5]; \text{M}_4[\text{Hg}(\text{CN})_6]$
 $\text{M}_2[\text{Hg}(\text{SCN})_4]$, $\text{M} = \text{H}, \text{K}, \text{M}^{\text{II}}/2$ ($\text{Co}, \text{Mg}, \text{Ni}$,
 $\text{Cu}, \text{Zn}, \text{Ca}$), крист., желт., анион – тетраэдр,
 $\text{Hg}-\text{S}$ 2.56, $K_{\text{уст}} = 10^{22}$ ¹²⁾
 $\text{M}[\text{Hg}(\text{SCN})_3]$, $\text{M} = \text{K} - \text{Cs}$, анион –
2 тетраэдра $[\text{HgS}_4]$ с общ. ребром⁹⁾

$\text{K}[\text{Hg}(-\text{NCO})_3]$, анион – 2 квадрата с общ.
стороной, $\text{Hg}-\text{N}$ 2.07, 2.47
 $\text{M}_2[\text{Hg}_3(\text{NCO})_8]$, $\text{M} = \text{K} - \text{Cs}$, в стр. –
сплющенный окт., $\text{Hg}-\text{N}$ 2.03 и ~ 3.0 ¹⁶⁾
 $\text{K}[\text{HgS}_2] \cdot 5\text{H}_2\text{O}$, неустойчив
 $\text{Ba}[\text{Hg}(\text{C}\equiv\text{CH})_4] \cdot 2\text{NH}_3$, бц., взр.

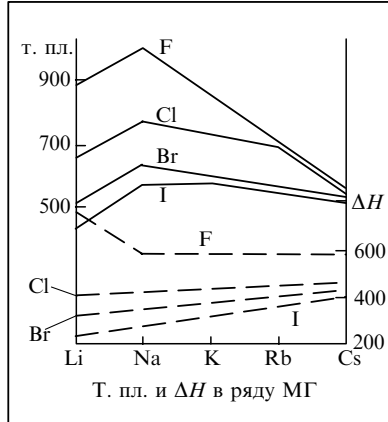


ЩЕЛОЧНЫЕ МЕТАЛЛЫ, ФРАНЦИЙ

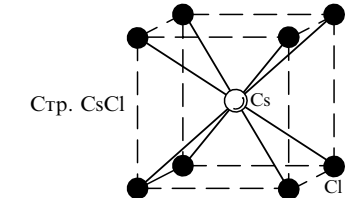
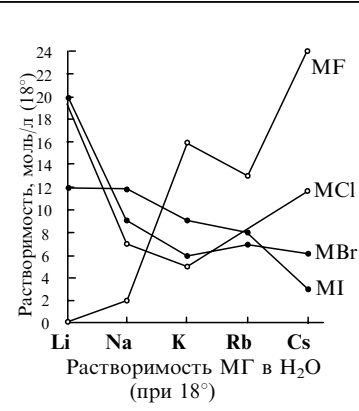




M_2SiO_3 , M = Li↓, Na ("ж. стекло"), K–Cs (см. Табл. "Кремний")
 $LiAl[SiO_3]_2$, "сподумен" ("пироксен")
 $KLi_2Al[Si_2O_5](F, OH)_2$, "лепидолит" (слюда, содержит Rb и Cs)
(Cs, Na)Al[SiO₃]₂ · n H_2O , "поллукцит" (единственный минерал Cs)
 $KNaLi_4Al_4Be_3[B_{10}O_{27}]$, "родинит" (содержит Cs)
 $KLiFeAl[AlSi_3O_10](F, OH)_2$, "циннвальдит" (содержит Rb)



Галогениды
МГ, крист., бц. (γ -, рентгеновские лучи окрашивают);
МГ (M = Li–Rb) и CsF – стр. тип NaCl (к. ч. 6);
CsG (Г = Cl–I) – стр. тип CsCl (к. ч. 8); распл. МГ р. M., при охл. → МГ (син.) + M; в г. сущ. мол. $M_2\Gamma_2$ – плоские ромбы, Li – Г 2.23 (Cl), 2.35 (Br), 2.54 (I), $\angle GLi\Gamma$ 108 (Cl), 110 (Br), 116 (I); ΔH р. CsCl и RbCl > KCl ≈ NaCl ≈ 0; CsCl и RbCl хор. р. в конц. HCl (в отличие от NaCl и KCl); р. в ж. NH_3 (KBr и KI – хор., NaΓ – сл.); МГ (M = Li–K, Г = Cl–I) р. в ROH; р. в EtOH RbCl и CsCl ≈ KCl; LiBr и LiI р. в эф. (K, Rb)Cl · MgCl₂ · 6 H_2O , "карналлит" [Cs- и Rb-карналлит р. < K и в отличие от K конгруэнтно]; KCl · MgSO₄ · 3 H_2O , "каинит"; KCl · CaCl₂, "хлорокальцит"; NaI · 4 NH_3 = $[Na(NH_3)_4]^+$ I[–], ж. т. пл. + 3, разл. ≈ 25 , катион – тетраэдр (См. также Табл. "Галогены")



	т. пл.	т. к.	ΔH	Li – Г		$\mu(g.)$
				(г.)	(тв.)	
LiF_1 , р. в HF	870	1724	–611	1.56	2.01	6.33
$LiCl_1$, · H_2O	614	1397	–406	2.02	2.56	7.13
$LiBr_1$, · 2 H_2O	550	1310	–352	2.17	2.75	6.19
LiI_1 , · 3 H_2O	449	1190	–272	2.39	3.00	6.25
разл. 73	—	—	—	—	—	—

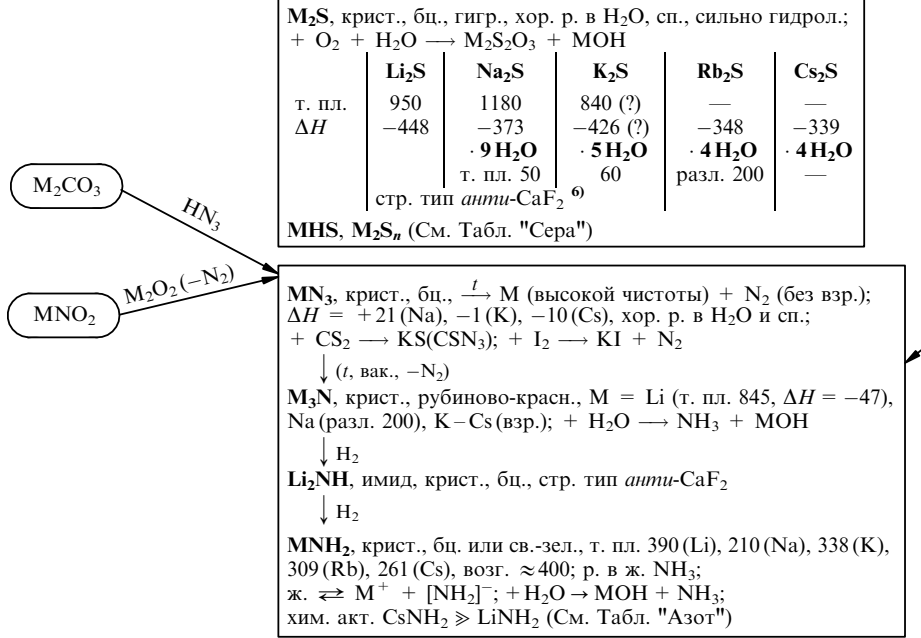
	т. пл.	т. к.	ΔH	Na – Г		$\mu(g.)$
				(г.)	(тв.)	
NaF , "виллиомит"	997	1785	–569	1.93	2.31	
$NaHF_2$	—	—	—	—	—	
$NaCl$, "галит" · 2 H_2O	801	1465	–410	2.36	2.81	
разл. < 0°	—	—	—	—	—	
$NaBr$ · 2 H_2O	755	1392	–360	2.50	2.98	
NaI · 2 H_2O	662	1304	—	2.71	3.23	

	т. пл.	т. к.	ΔH	K – Г		$\mu(g.)$
				(г.)	(тв.)	
KF , "кароббинит" · 2 H_2O	857	1502	–565	2.17	2.67	8.62
KHF_2	41	—	—	—	—	—
KCl , "сильвин"	239	—	—	—	—	—
KBr	776	1407	–434	2.67	3.14	10.27
KI	735	1383	–393	2.82	3.29	10.41
$K[I_3]$, син.	686	1330	–327	3.05	3.53	11.05
	45	разл. 225	—	—	—	—

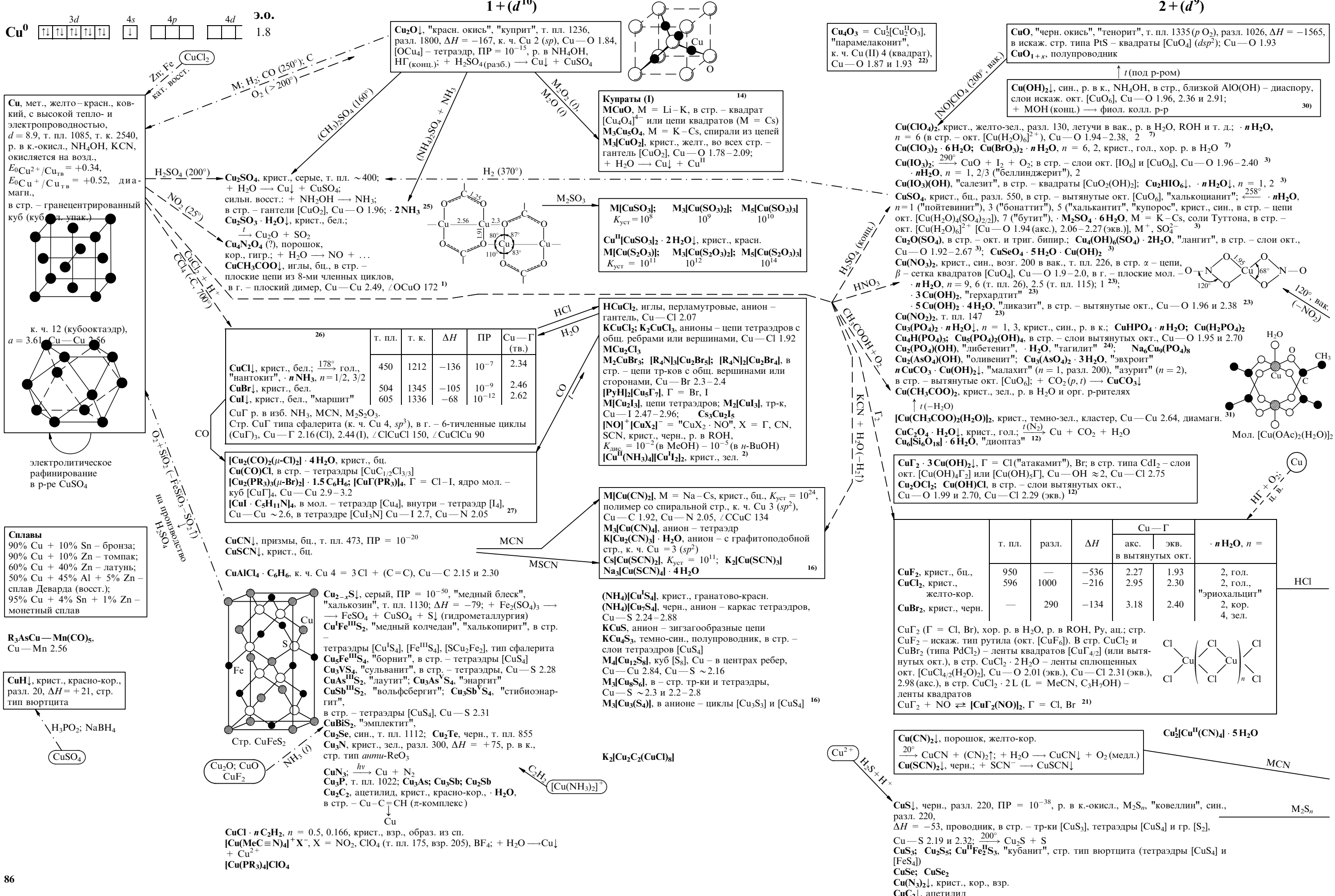
	т. пл.	т. к.	Rb – Г		$\mu(g.)$
			(г.)	(тв.)	
RbF , · n H_2O , n = 3, 3/2, · n HF, n = 1, 2, 3	798	1408	2.27	2.82	
$RbCl$	726	1395	2.79	3.27	
$RbBr$	682	1352	2.94	3.43	
$Rb[Br_3]$	140 разл.	—	—	—	
RbI	642	1304	3.18	3.66	
$Rb[I_3]$, n = 7, 9, крист., бур.	190	—	—	—	

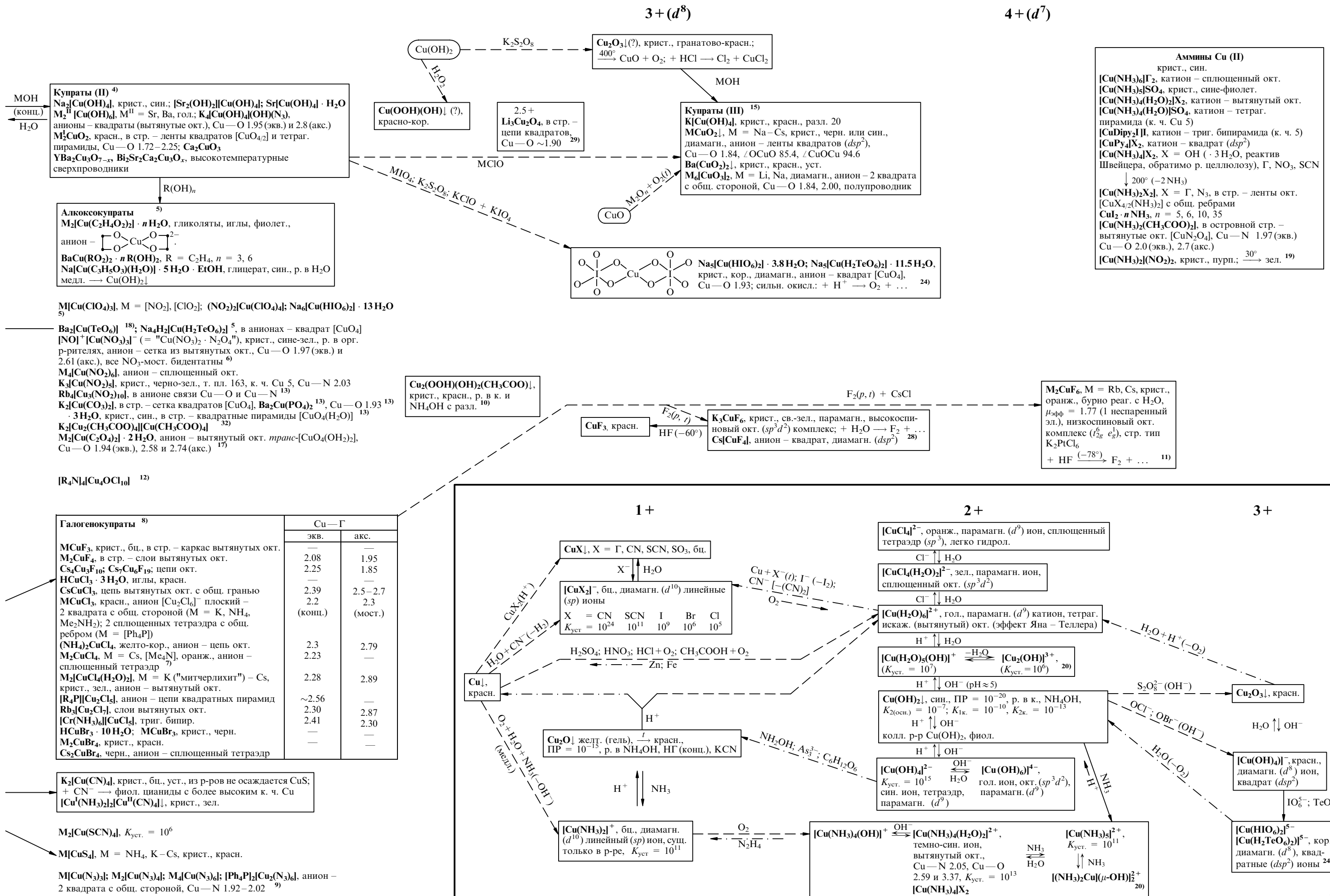
	т. пл.	т. к.	Cs – Г		$\mu(g.)$
			(г.)	(тв.)	
CsF , · n H_2O , n = 2/3, 1/5	684	1253	–531	2.34	3.00
$CsCl$	—	—	—	—	—
$CsBr$	646	1295	–431	2.91	3.56
$Cs[Br_3]$	638	1297	–410	3.07	3.72
CsI	180	—	—	—	—
$Cs[Cl_3]$	622	1280	—	3.31	3.95
	207	—	—	—	—

$MBiCl_4$; M_2BiCl_5 ; M_3BiCl_6 ; $Rb_3Bi_2Cl_9$; Cs_4BiCl_7 , используются для разделения M^I и выделения Rb и Cs⁵⁾
 M_2SiF_6 , M = Li (· 2 H_2O , разл. 100, хор. р. в H_2O , сп.), Na₂ (· "маллардит"), K₂ (· "гигратит"), Rb₂, NH₄, Cs (оч. хор. р. в H_2O); \xrightarrow{t} MF + SiF₄
 M_2SnCl_6 , M = Li, Na (р. в H_2O), K–Cs↓
 $M_2O \cdot n B_2O_3$, см. Табл. "Бор"
 $M[BF_4]$, M = Na (т. пл. 384, хор. р. в H_2O , "ферручит"), K↓ (т. пл. 530), (K, Cs)BF₄, "авогадрит"
 $M[BPh_4]$, M = Li, Na (р. в H_2O), K–Cs↓
 $M_3[Co(NO_2)_6]$, крист., желт., M = Li, Na (р. в H_2O), NH₄↓, K–Fr↓
 $M_2[PtCl_6]$, крист., желт., M = Li, Na (р. в H_2O), NH₄, K–Fr (мало р. в H_2O , не р. в сп.)



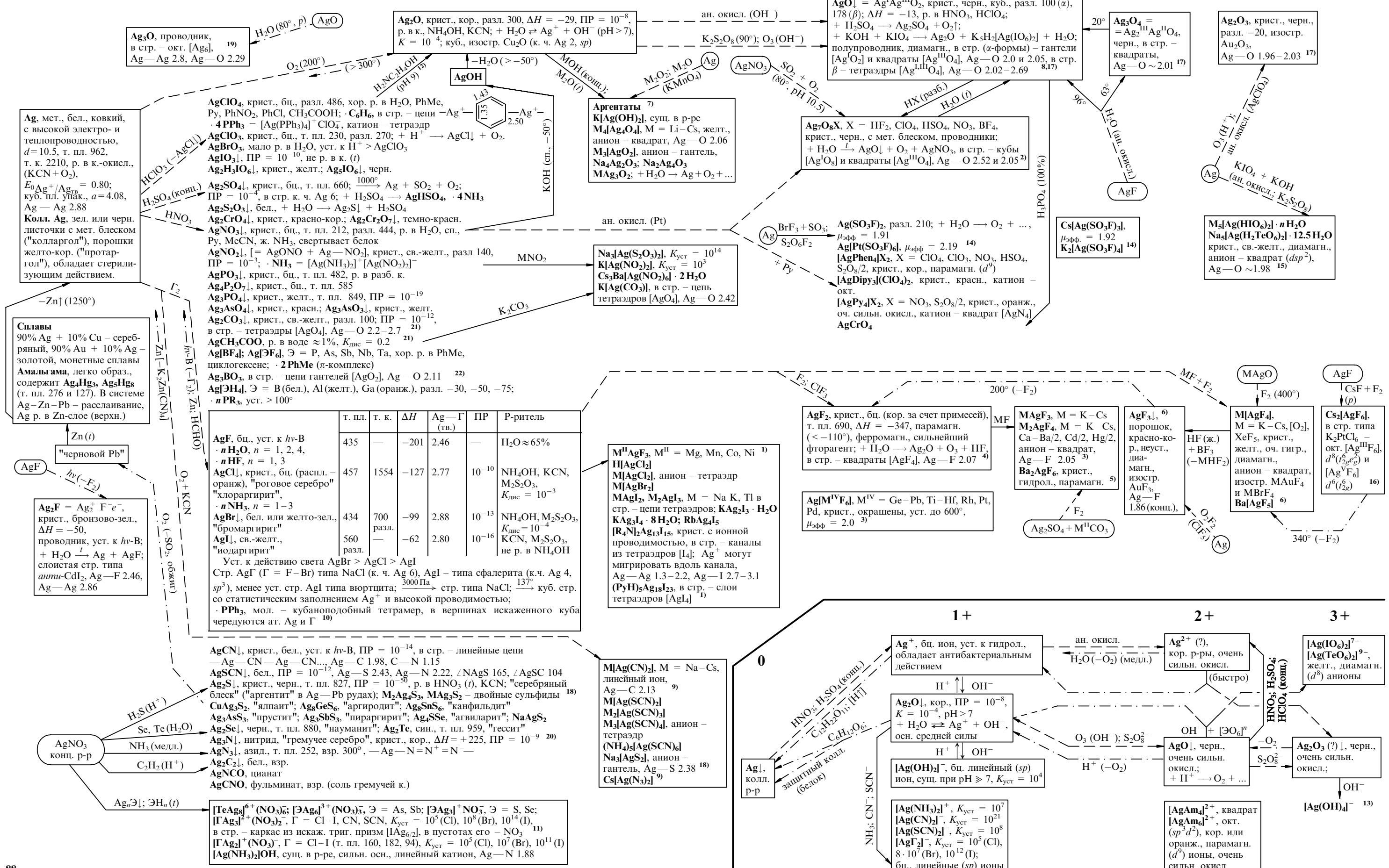
МЕДЬ



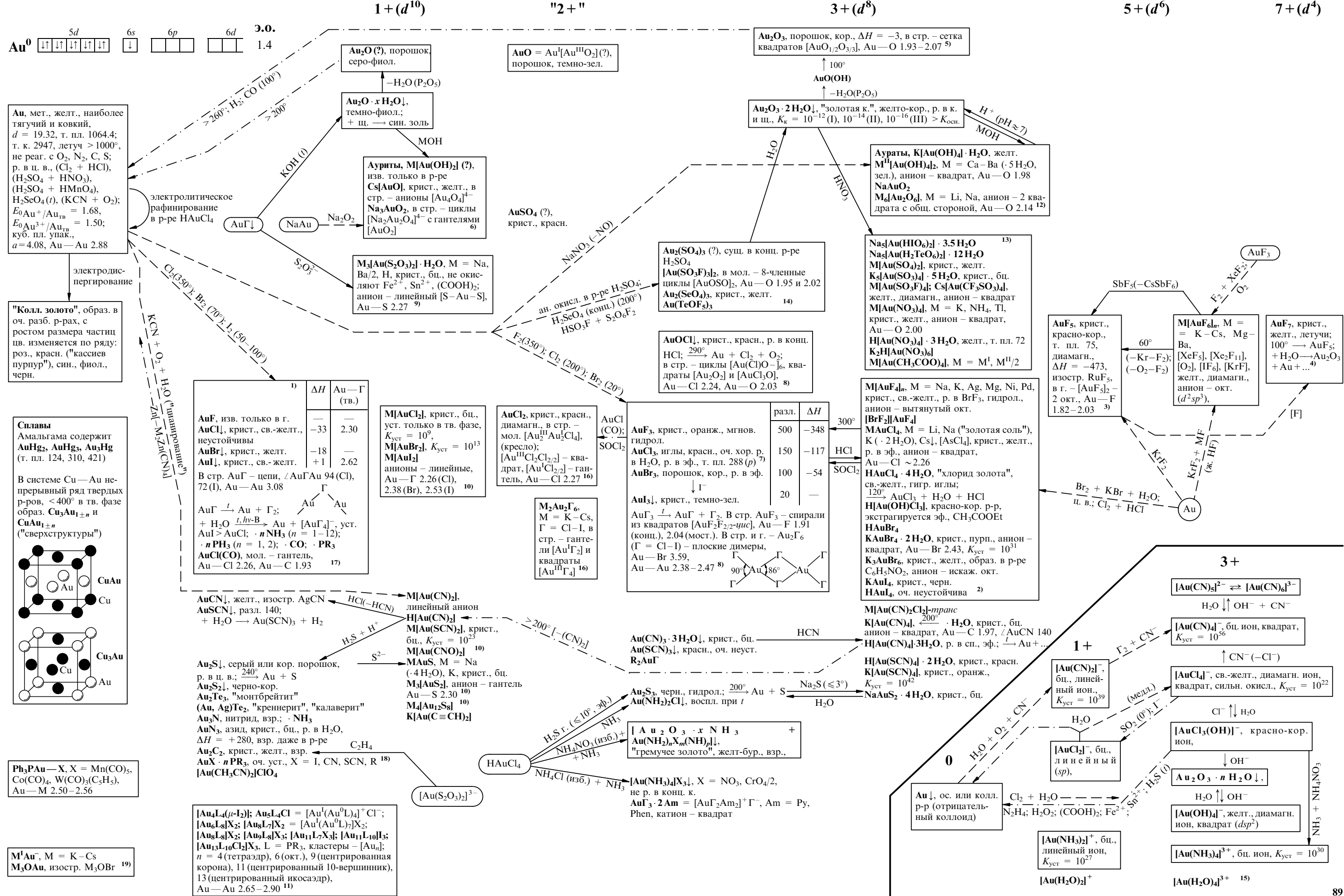


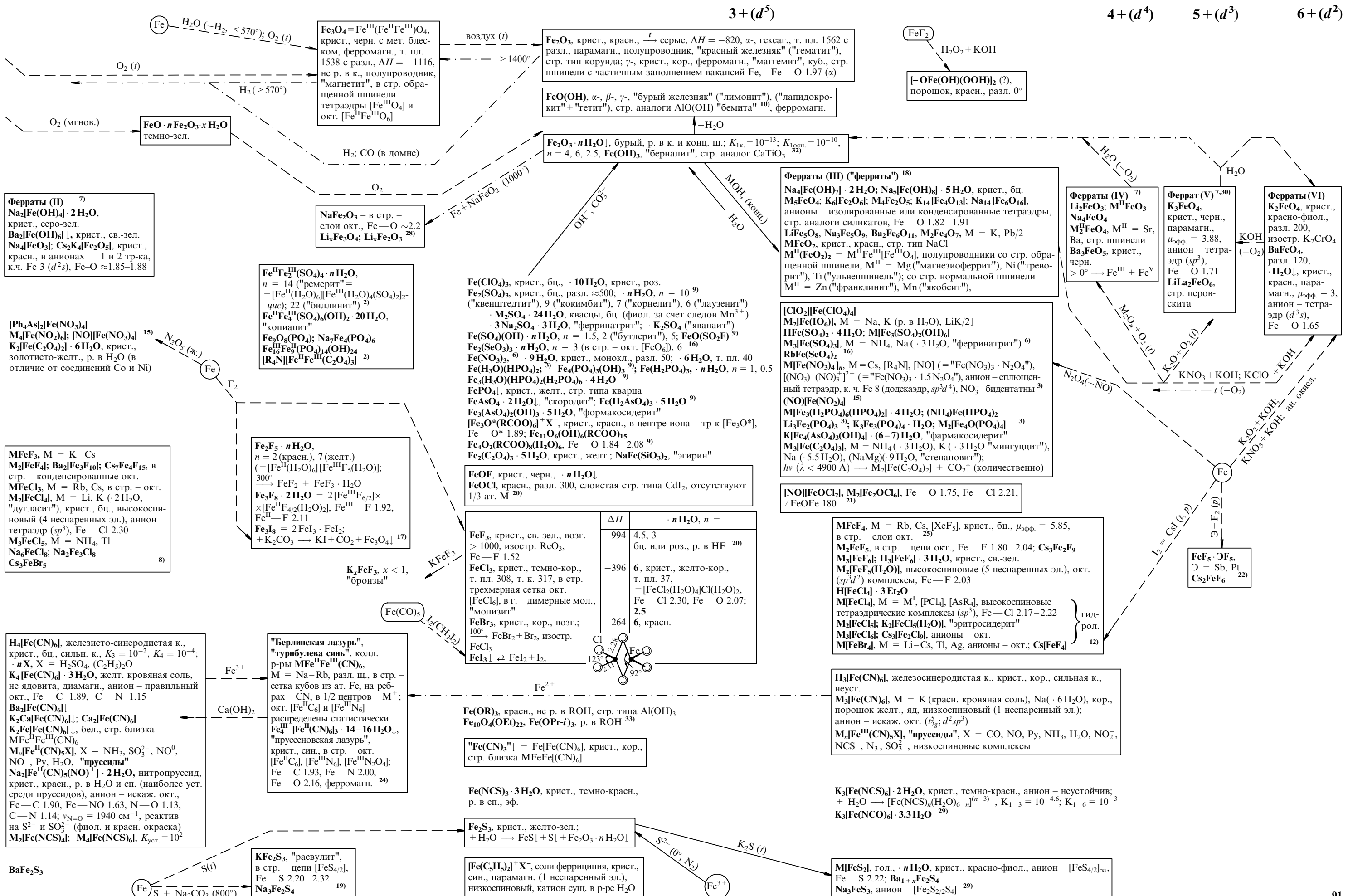
СЕРЕБРО

Ag⁰		5s	5p	5d	E.O.	1.4
-----------------------	---	-----------	-----------	-----------	-------------	-----



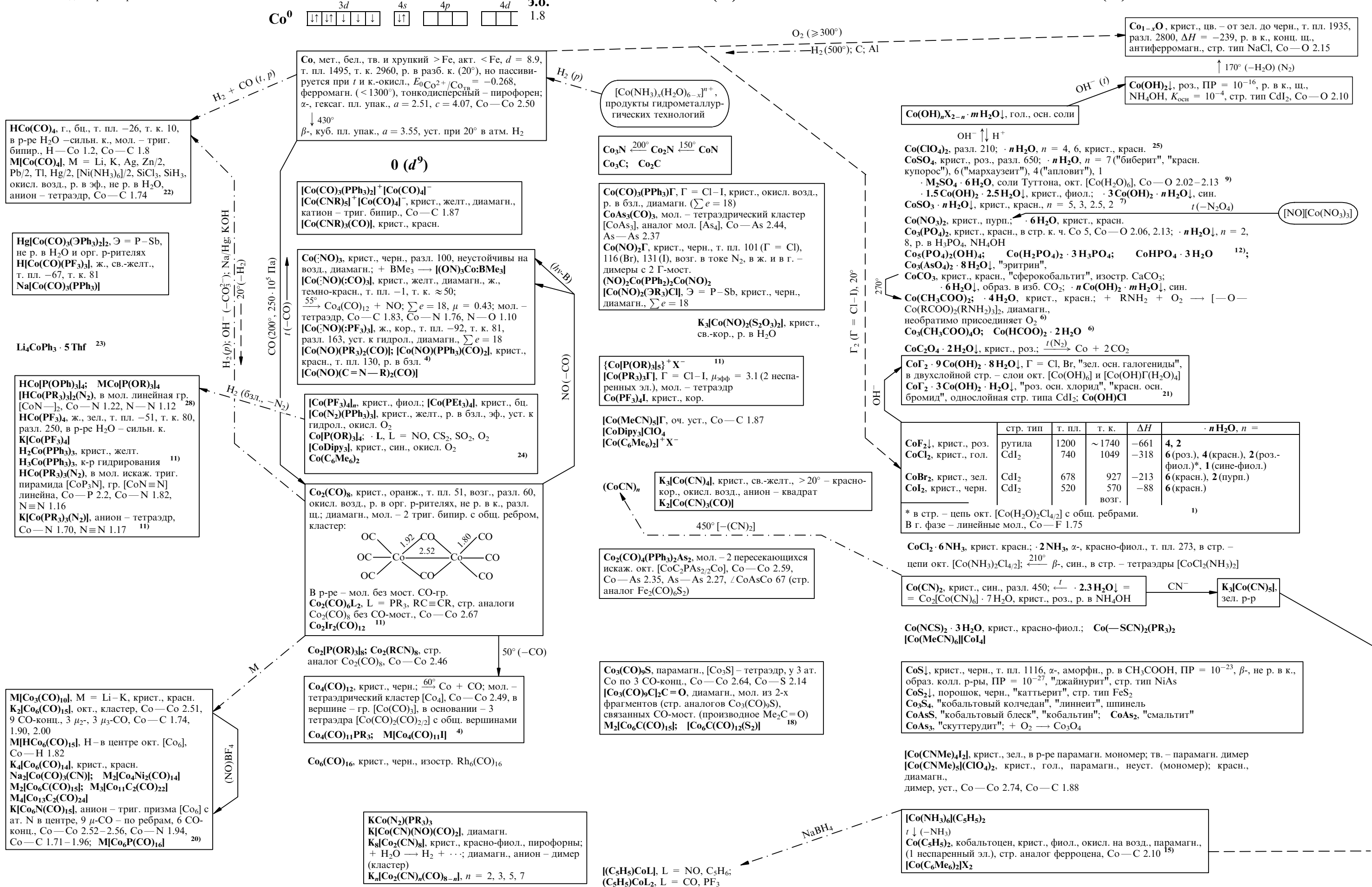
ЗОЛОТО

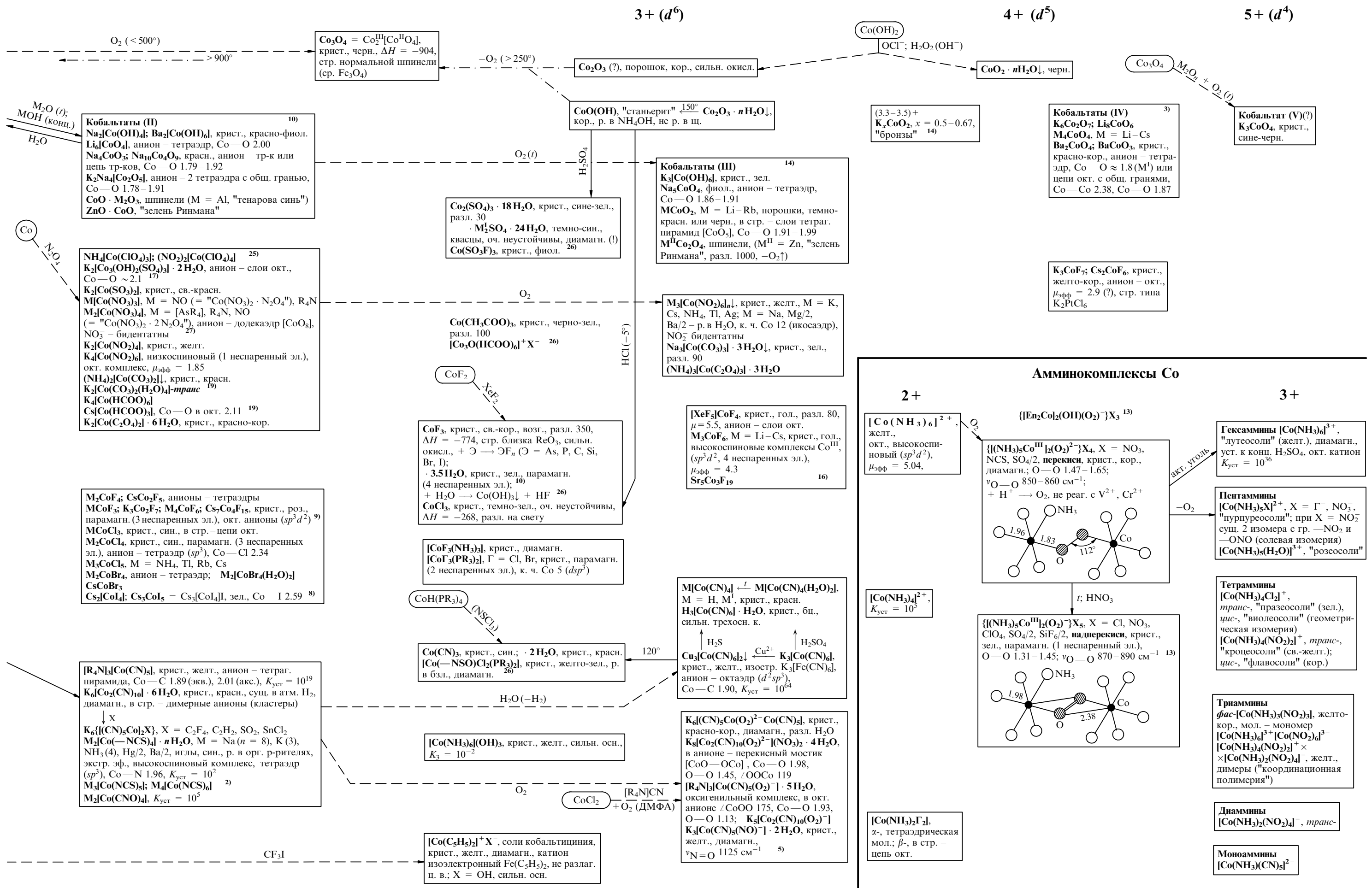




КОБАЛЬТ

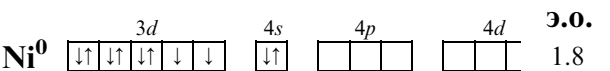
Ионы Со в водном растворе см. с. 96





НИКЕЛЬ

Ионы Ni в водном растворе см. с. 96



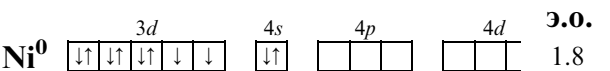
HNi(N₂)(PR₃)₂

H₂Ni(CO)₆ · NH₃
M₂[Ni₂(CO)₆]

H₂[Ni₃(CO)₈]_l, крист., темно-красн.
Li₂[Ni₃(CO)₈]_l
M₂[Ni₃(CO)₈]₂, M = K, NH₄, анион – триг. антипризма из 2-х плоских тр-ков (кластеров), Ni – Ni 2.38 (в плоскости), 2.77 (между плоскостями)

H₂Ni₄(CO)₉, крист., черно-фиол., K₂ = 10⁻¹⁰
M₂[Ni₄(CO)₉], M = Na, K, Mg/2, Cd/2, [Ni(NH₃)₂]/2, оч. чувствительны к окисл., в анионе – тетраэдр [Ni₄], 6 CO-мост., вдоль ребер, у 3 ат. Ni по 1 CO-концу, а у IV – свободная пара эл.

M₂Ni₅(CO)₁₂; M₂Ni₆(CO)₁₂
M₂Ni₉(CO)₁₈
M_nH_{4-n}Ni₁₂(CO)₂₁, n = 2, 3¹⁰



Ni, мет., блестящий, бел., d = 8.9, т. пл. 1455, т. к. ≈ 2900, акт. < Fe и Co; р. в к. (пассивируется конц. HNO₃) и [NH₄OH + (NH₄)₂CO₃]; E₀Ni²⁺/Ni_{fb} = -0.25; ферромагн. (< 358°); α-, гексаг. пл. упак., a = 2.65, c = 4.32, Ni – Ni 2.48
↓ 250°
β-, куб. пл. упак., a = 3.52 (уст. при 20°)
"Скелетный Ni Ренея", порошок, черн., содержит р. H₂, кр. гидрирования

↑ конц. NaOH [-NaAl(OH)₄]
Сплав Ni-Al

Ni-сплавы: содержание 4–5% Ni повышает антикоррозионные св-ва сталей; "инвар" (36% Ni + 0.2% C + 64% Fe) имеет минимальный коэффициент линейного расширения; "магнитный сплав" содержит 11–14% Al, 22–34% Ni, остальное – Fe

0 (d¹⁰)

Ni(CO)₄, ж., бц., яд, т. пл. -19, т. к. 43, разл. 180, ΔH = -146, взр. на возд., р. в орг. р-рителях, не р. в к. и щ.; диамагн., мол. – тетраэдр (sp³), Ni – C 1.84, Ni – O 1.15

[Ni(CO)_n(PPh₃)_{4-n}]_l, крист., св.-желт., мол. – тетраэдр⁶⁾
[Ni(CO)_n(PF₃)_{4-n}]_l, мол. – тетраэдр, Ni – P 2.10
[Ni(CO)(C=N-Me)₃]_l
[Ni(CO)(N≡C – N-R₂)₂]_l, крист., оранж., неустойчивы на возд.

[Ni(PX₃)₄], X = F (ж., бц., т. пл. -55, т. к. 71), H, Cl, R, OR, OCN, мол. – тетраэдр
[Ni(PR₃)₃(N₂)]_l
[Ni(PPh₃)₂(O₂)]_l; + H₂O → H₂O₂ + ...
Ni(PPh₃)₂(C₂H₄)_l, мол. почти плоская, Ni – P 2.20, Ni – C 2.00, C – C 1.46, /PNiP 112, /CNiC 43
[Ni(ΞR₃)₄], Ξ = As, Sb; [Ni(PR₃)₂(μ-CS₂)₂]¹⁾

[Ni(C=N – R)₄]_l, крист., желт., гидрофобны, уст. > Ni(CO)₄; O₂ → [Ni(CNR)₃(O₂)]_l
Ni₄(CNR)_n, n = 6, 7

[NiPy₃(SO₂)⁰]_l, разл. 150, не окисл.¹²⁾
[NiDipy₃]_l, крист., син., пирофорны
Ni(C₅H₆)₂, дициклопентадиениникель (0)

K_n[Ni(CN)_n(CO)_{4-n}]_l
↑ CO
K₄[Ni(CN)₄]_l, крист., желт., разл. на возд.; анион – тетраэдр (sp³); + H₂O → K₄[Ni₂(CN)₆] + H₂ + + KCN + KOH; HNi(PR₃)₃(CN)_l
K₄[Ni(C≡CH)₄]_l, оч. неустойчиво
Li₃NiPh₃ · 3 Thf

Ni₂(CO)₆(P₂Cl₄), крист., желт., разл. 0
(CO)₃Ni(Ph₂P – PPh₂)Ni(CO)₃
(PR₃)₂Ni(N₂)Ni(PR₃)₂

Ni₄(CO)₁₂(P₄O₆)

M₂[Ni₈(CO)₁₆C]_l; M₂[Ni₉(CO)₁₇C]_l
M₂[Ni₁₀(CO)₁₆(C₂)₂]_l; M₄[Ni₁₆(CO)₂₃(C₂)₂]_l¹¹⁾

1 + (d⁹)

Ni₂H, стр. тип *anti*-CdI₂¹³⁾

NiS_l, крист., черн., т. пл. 797, "желт."
Ni-колчедан ("миллерит"), α-, стр. тип NiAs, р. в к., ПР = 10⁻²¹ (O₂) β-, не р. в к., образ. колл. р-ры, ПР = 10⁻²⁶
Ni₃S₄, "полидимит"; Ni₃S₂, "хизлевудит"
(Ni,Fe)₉S₈, "пентландит", в стр. – тетраэдры [MS₄] с общ. ребрами
NiS₂, "ваэсит", стр. тип FeS₂ ("пирита")

Ni₃N; Ni₃N₂, разл. 585°

NiAs, "красн. Ni-колчедан" ("никелин"), т. пл. 968, в стр. – ат. Ni – в узлах "двухэтажной" гексаг. ячейки, атомы As – в центрах триг. призм, по 3 в каждом "этаже", окт. [NiAs₆] и [AsNi₆]
NiSb, "брейтгауптит"

Ni₃C, образ. при 900–2100°, пирофорен; <350° → Ni + C

Ni(CO)₂(C₅H₅)₂; 130°(-CO) Ni₃(CO)₂(C₅H₅)₃

Ni(CO)(CN)

[Ni(NO)(NO₂)₂]_l, крист., гол., разл. 90, р. в CHCl₃
[Ni(NO)(PPh₃)₄]_l
[Ni(NO)₄]_l, Г = Cl – I, крист., черно-зел., медл. гидрол., мол. – тетраэдр [Ni₄], Г – в центрах граней
[Ni(NO)(PR₃)₂]_l, диамагн.
[Ni(GPPPh₃)₂]_l, Г = Cl – I
[Ni(PR₃)₂][BPh₄]_l, катион – тетраэдр NiX · n Am, X = BH₄, BF₄, PF₆, Am = Dipy, Phen
[Ni(μ-PR₂)(CO₂)₂]_l

(NiCN)_n, оранж.

H_x

K

K₆[Ni₂(C≡CH)₈]_l, диамагн.

K₃[Ni(CN)₄]_l, крист., красн., гигр., парамагн. (1 неспаренный эл.), оч. реакц.; + H₂O + O₂ → K₂[Ni(CN)₄] + KOH
M₄[Ni₂(CN)₆]_l, крист., красн., уст. в р-ре при pH > 7, диамагн., кластер, Ni – Ni 2.3²⁾

K₄[Ni₂(CN)₆(CO)₂]_l, крист., желт., уст.

при pH > 7; + H⁺ → K₂[Ni(CN)₄]_l +

+ Ni(CO)₄ + H₂

K₄[Ni₂(CN)₆(NO)₂]_l, крист., оранж., диамагн.

2 + (d⁸)

O_{2(t)} — H₂(400°) — C

Ni_{1-x}O, крист., черно-зел., т. пл. 1990, ΔH = -239, р. в к., "бунзенит", искаж. стр. тип NaCl, Ni – O 2.10

Ni(OH)₂↓, яблочно-зел., р. в к. и NH₄OH; не р. в конц. щ., ПР = 10⁻¹⁷, стр. тип CdI₂, Ni – O 2.11

Ni(ClO₄)₂, в стр. – окт., Ni – O 2.04; · n H₂O, n = 4, 6, крист., сине-зел., т. пл. 149; · 6 NH₃²³⁾

Ni(ClO₃)₂ · 6 H₂O, зел., разл. 80

Ni(O₃)₂↓, иглы, желт.; · 4 H₂O; Ni₃JO₆ · 6 H₂O²³⁾

NiSO₄, крист., желт., разл. 640³⁾; · 7 H₂O, "зел. купорос" ("мореназит"); · 6 H₂O, крист., гол или зел., "ретгерсит";

· M₂SO₄ · 6 H₂O (соли Туттона) = M₂[Ni(H₂O)₆]SO₄²⁷⁾; Ni₂SO₃ · 6 H₂O⁷⁾

NiSO₃ · 6 H₂O↓; NiSeO₄ · 6 H₂O, зел. или роз., "альфельдит"

Ni(NO₃)₂, крист., св.-зел., разл. вак. 220, не летучи; · 6 H₂O, т. пл. 57, разл. 105

↓ t(-O₂)

Ni(NO₂)₂, крист., св.-зел., разл. 220

NiHPO₄ · n H₂O, n = 3, 3/2; Ni₃(HP₂O₇)₂ · 10 H₂O; Ni(H₃P₂O₇)₂ · 2 H₂O²⁵⁾

Ni₃(PO₄)₂ · 7 H₂O↓, крист., зел.; Ni₂P₂O₇ · 6 H₂O, зел.; Ni(H₂PO₂)₂ · 6 H₂O

Ni₃(AsO₄)₂↓, желт., аморфн., "ксантосит", · 8 H₂O, "аннабергит"

NiCO₃↓, крист., желт. или зел., изостр. CaCO₃ ← CO_{2(p)} · 6 H₂O↓, "хельерит"

↑ HCO₃⁻

3 Ni(OH)₂ · 2 NiCO₃ · 4 H₂O↓

Ni(CH₃COO)₂ · 4 H₂O, крист., зел., в р-ре сильно гидрол., K₂ = 10⁻³²⁶⁾

NiC₂O₄ · 2 H₂O↓, t → Ni + 2 CO₂; Ni(HCOO)₂ · 2 H₂O

NiSiF₆ · 6 H₂O, крист., зел., хор. р. в H₂O

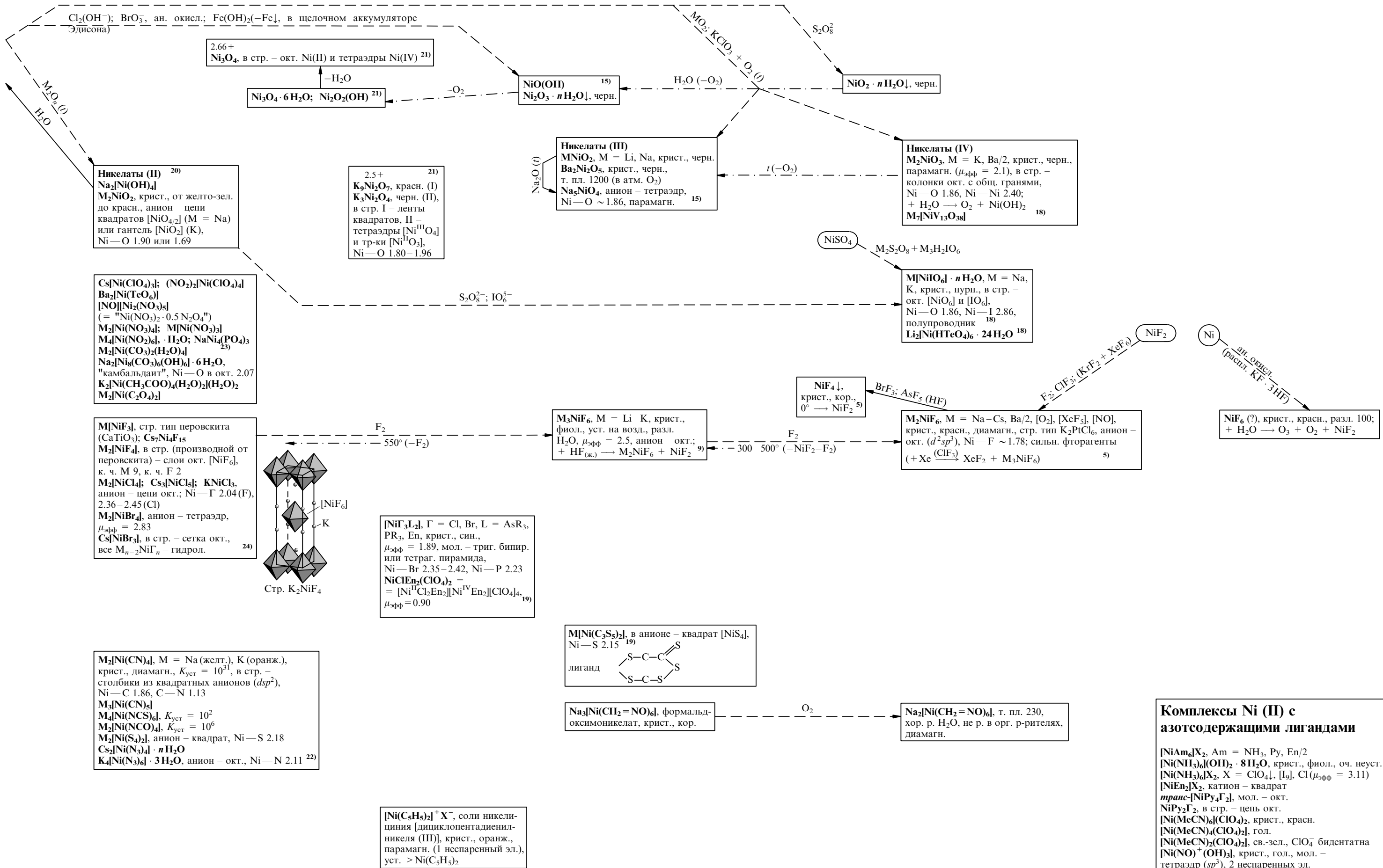
Ni(OH)Cl, стр. тип CdI₂; NiΓ₂ · 3 Ni(OH)₂, Γ = Cl, Br

	т. пл.	т. возг.	ΔH	· n H ₂ O, n =
NiF ₂ ↓, крист., желт.	1160	—	-657	3, 4, 6, зел.
NiCl ₂ , крист., желт.	1001	970	-305	4, 6 (= транс-[NiCl ₂ (H ₂ O) ₄] ₂ · 2 H ₂ O)

3 + (d⁷)

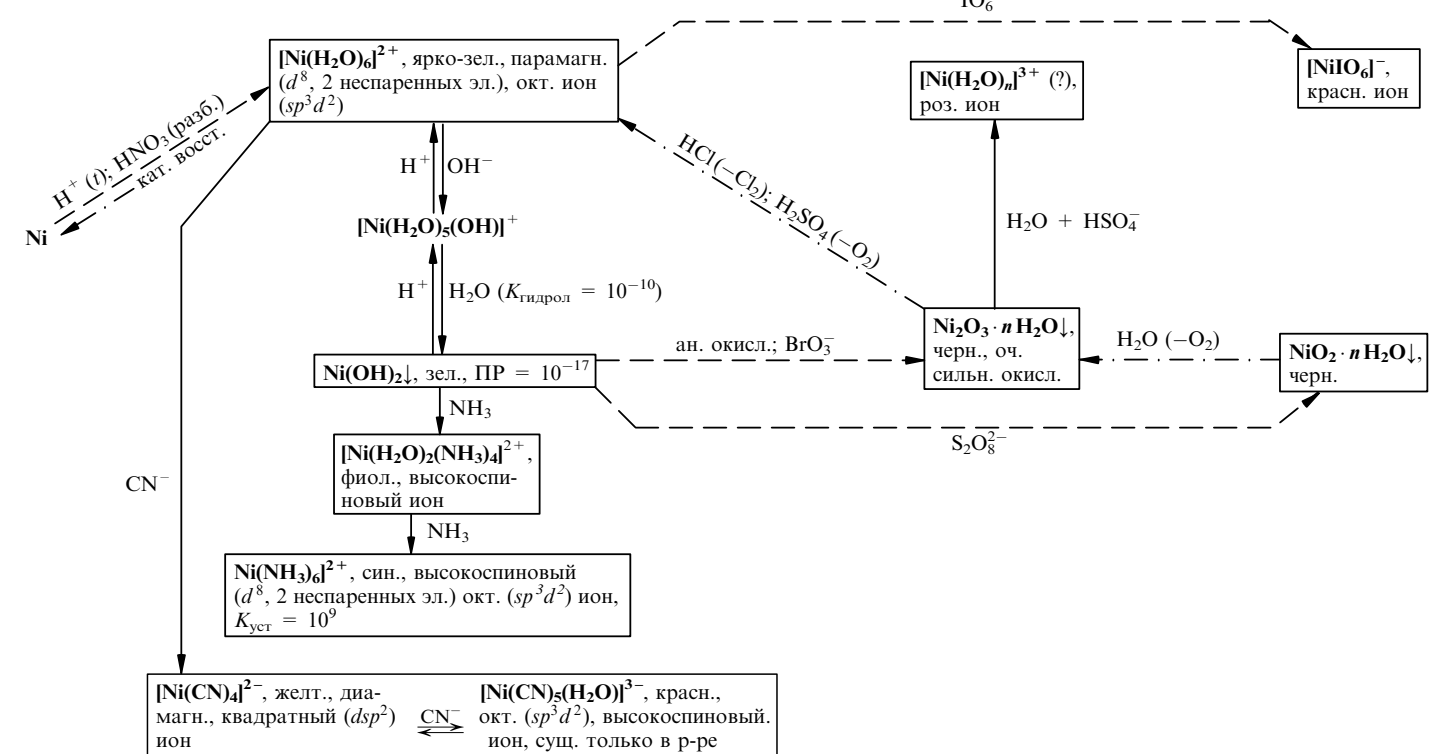
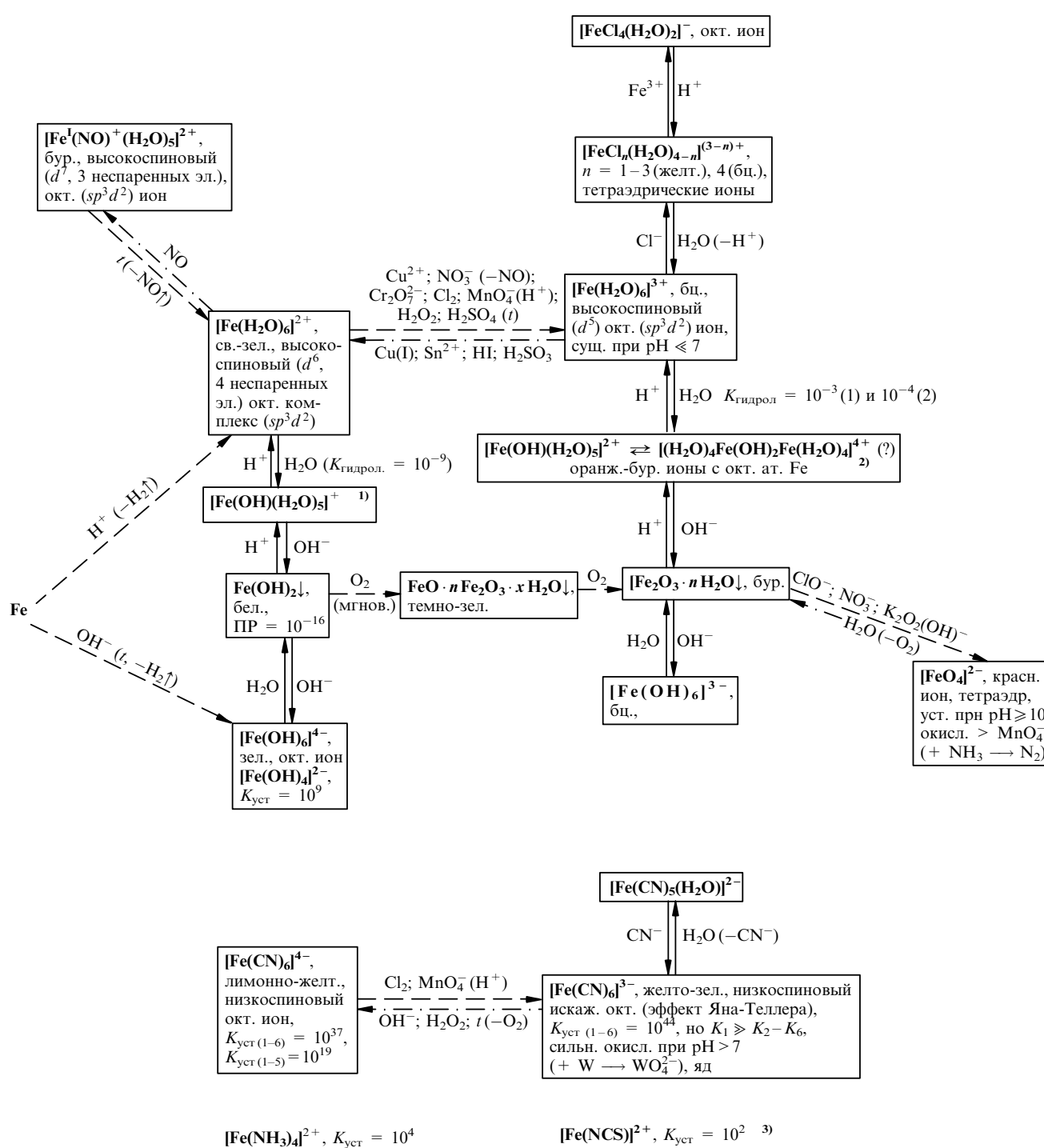
4 + (d⁶)

6 + (d⁴)



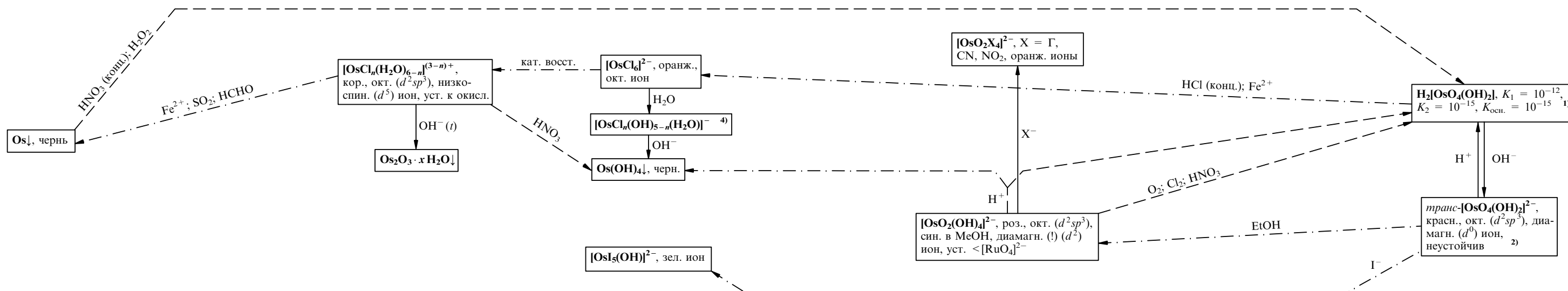
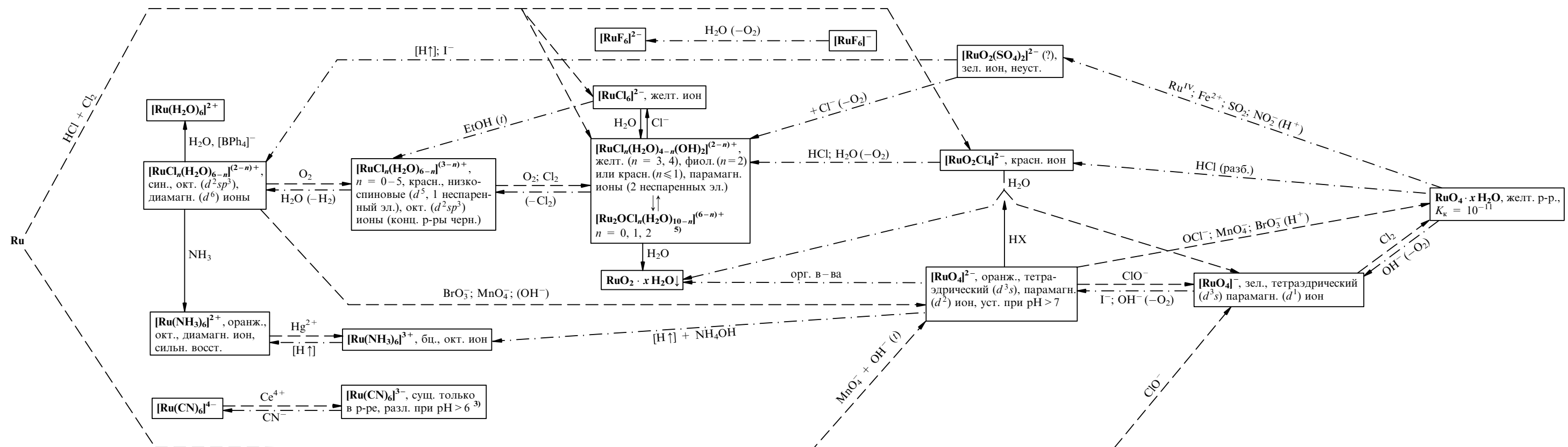
ИОНЫ ЖЕЛЕЗА, КОБАЛЬТА И НИКЕЛЯ В ВОДНОМ РАСТВОРЕ

0 1+ 2+ 3+ 6+ 0 2+ 3+ 4+



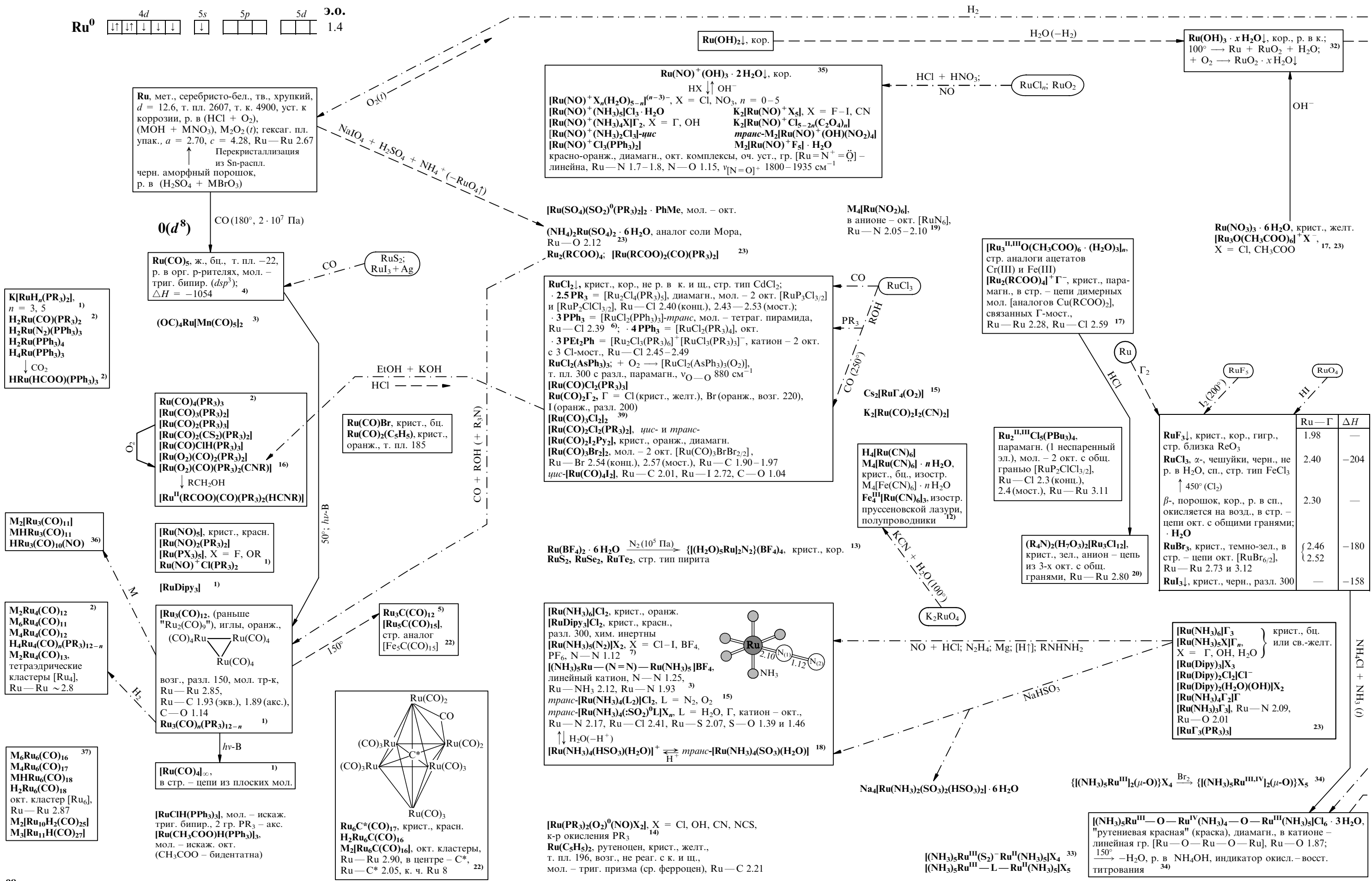
ИОНЫ РУТЕНИЯ И ОСМИЯ В ВОДНОМ РАСТВОРЕ

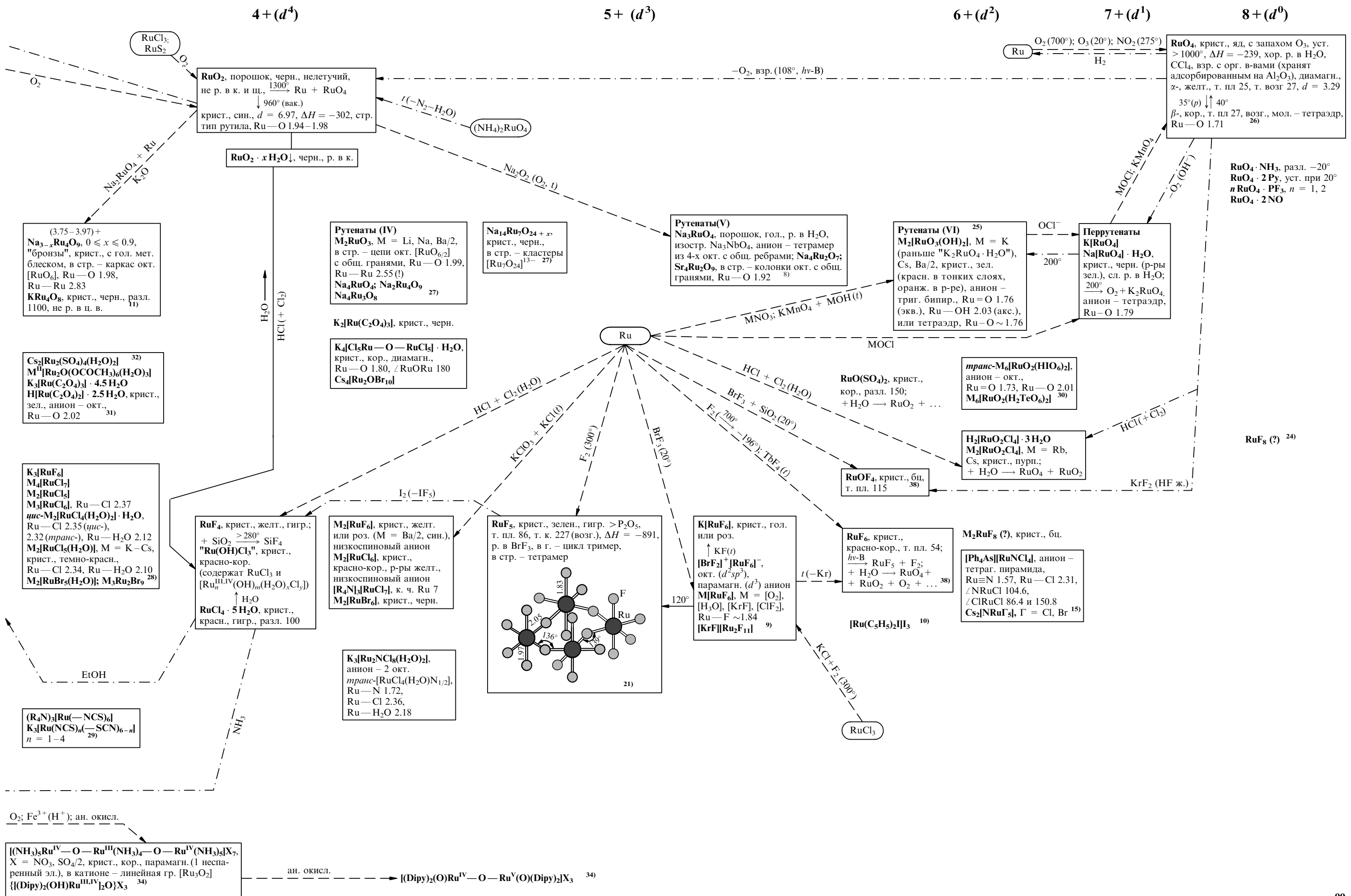
0 2+ 3+ 4+ 5+ 6+ 7+ 8+



РУТЕНИЙ

Ионы Ru в водном растворе см. с. 97

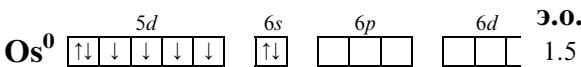




ОСМИЙ

Ионы Os в водном растворе см. с. 97

1 + (d⁷)



Os, мет., бел.-гол., тв., хрупкий, самый тяжелый, $d = 22.6$, т. пл. 3027, т. к. ~ 5000 , окисляется на воздухе, р. в HNO_3 , гексаг. пл. упак., $a = 2.73$, $c = 4.32$, Os—Os 2.70

0 (d⁸)

$H_2Os(CO)_4$, крист., бц., т. пл. 149
 $Na_2Os(CO)_4$, 1)
уст. на возд.
 $H_2Os(CO)(PR_3)_3$

$H_2Os_2(CO)_8$, масло, бц. 1)

$H_2Os_3(CO)_{10}$, · L, L = CO, PR₃
 $H_2Os_3(CO)_{12}$
 $M_2Os_3(CO)_{11}$, оранж.
 $Ho_3(CO)_{11}(NO)$, кластер — тр-к,
Os—Os ~2.86 2)

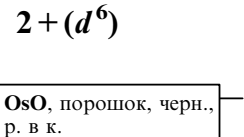
$H_4Os_4(CO)_{12}$
 $M_2H_2Os_4(CO)_{12}$
 $MHOs_4(CO)_{13}$, анион — тетраэдрический кластер,
Os—Os 2.73—2.95 2,18)

$H_2Os_5(CO)_5$
 $M_2[Os_5(CO)_5]$, кластер — тр-к, бипир., Os—Os 2.71—2.87 30)

$H_2Os_6(CO)_{18}$
 $M_2[Os_6(CO)_{18}]$, 30)
окт. кластер

$M_2Os_7(CO)_{20}$
 $M_2Os_8(CO)_{22}$, 31)

2 + (d⁶)

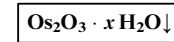


$O_2(20^\circ)$

H_2

3 + (d⁵)

$O_2; NO$ (в недостатке)



4 + (d⁴)

OsO_2 , крист., черно-кор. $\xrightarrow{>500^\circ} Os + OsO_4$; $\Delta H = -260$, пирофорны ($\rightarrow OsO_4$), р. в к., стр. тип рутила, Os—O 1.96 (2 связи), 2.01 (4 связи)

$\uparrow -H_2O(N_2)$



Осматы (IV), $M^{II}[Os(OH)_6]$, $M^{II}Os_3$, M = Ca—Ba, Pb, Cd, стр. тип. первоскита, $t \xrightarrow{(N_2)} MO + Os + O_2$ 6)

$K_8[Os_2O_2(SO_4)_6]$, диамагн., Os—Os 2.45

$M_8[Os_3O_6]$, крист., бц.

$M_6[Os_3O_5(H_2O)]$, крист., бц.

$M_6[Os_3O_4X_2]$, X = Cl (желт.), OH (фиол.)

$M_4[Os_2O_2O_2(SO_4)_6]$, $\Gamma = Cl, Br$ (cp. Ru)

$(NH_4)_2[Os(OH)Cl_5]$, крист., кор.

$H_2Os_2(CO)_8$, масло, бц. 1)

$Os(CO)_5$, ж., бц., т. пл. -15, мол. — триг. бипир. $\Delta H = -1033$ 5)

$[Os(CO)_3(PPh_3)_2]$, триг. бипир.
 $Os(CO)_2(PR_3)_3$
 $O_2 \downarrow$
 $Os(CO)_2(PR_3)_2(O_2)$ 5)
 $\muuc-[Os(PR_3)_3H(CO)\Gamma]$, крист., бц., мол. — окт., Os—P 2.34 и 2.56 (trans- к H)

$Os(PF_3)_5$, крист., бц.
 $[Os(NH_3)_6]$, крист., кор., разл. 25
 $[Os(NH_3)_5(C_6H_6)]$ 5)
 $[OsDipy_3]$

$Os_2(CO)_9$, крист., оранж., т. пл. 64, разл. 20, в мол. — тр-к [Os₂(CO)]

$Os_3(CO)_{12}$ (раньше "Os₂(CO)₉"), крист., желт., т. пл. 224, возг. 130, мол. — кластер [Os₃], Os—Os 2.88, Os—C 1.95, C—O 1.14
 $Os_3(CO)_{11} Py$

$Os_5(CO)_n$, крист., роз., n = 16—19

$CO(t, p)$

$Os_6(CO)_{18}$, крист., кор., мол. — двухшапочный тетраэдр [Os₆] 4)
 $Os_6(CO)_{20}$
 $Os_6(CO)_{12}(\eta^6-C_6H_6)_2$

$Os_7(CO)_{21}$, крист., оранж., [Os₇] — одношапочный окт., Os—Os ~2.83, все CO конц. 3)

$[Os(CO)_2(C_5H_5)]_2$, крист., желт., т. пл. 197

$Os_8(CO)_{23}$, оранж. 3)

$H_2Os(CO)_4$, крист., бц., т. пл. 149
 $Na_2Os(CO)_4$, 1)
уст. на возд.

$H_2Os_2(CO)_8$, масло, бц. 1)

$H_2Os_3(CO)_{10}$, · L, L = CO, PR₃
 $H_2Os_3(CO)_{12}$
 $M_2Os_3(CO)_{11}$, оранж.
 $Ho_3(CO)_{11}(NO)$, кластер — тр-к,
Os—Os ~2.86 2)

$H_4Os_4(CO)_{12}$
 $M_2H_2Os_4(CO)_{12}$
 $MHOs_4(CO)_{13}$, анион — тетраэдрический кластер,
Os—Os 2.73—2.95 2,18)

$H_2Os_5(CO)_5$
 $M_2[Os_5(CO)_5]$, кластер — тр-к, бипир., Os—Os 2.71—2.87 30)

$H_2Os_6(CO)_{18}$
 $M_2[Os_6(CO)_{18}]$, 30)
окт. кластер

$M_2Os_7(CO)_{20}$
 $M_2Os_8(CO)_{22}$, 31)

$Os_8(CO)_{23}$, оранж. 3)

$H_2Os(CO)_4$, крист., бц., т. пл. 149
 $Na_2Os(CO)_4$, 1)
уст. на возд.

$H_2Os_2(CO)_8$, масло, бц. 1)

$H_2Os_3(CO)_{10}$, · L, L = CO, PR₃
 $H_2Os_3(CO)_{12}$
 $M_2Os_3(CO)_{11}$, оранж.
 $Ho_3(CO)_{11}(NO)$, кластер — тр-к,
Os—Os ~2.86 2)

$H_4Os_4(CO)_{12}$
 $M_2H_2Os_4(CO)_{12}$
 $MHOs_4(CO)_{13}$, анион — тетраэдрический кластер,
Os—Os 2.73—2.95 2,18)

$H_2Os_5(CO)_5$
 $M_2[Os_5(CO)_5]$, кластер — тр-к, бипир., Os—Os 2.71—2.87 30)

$H_2Os_6(CO)_{18}$
 $M_2[Os_6(CO)_{18}]$, 30)
окт. кластер

$M_2Os_7(CO)_{20}$
 $M_2Os_8(CO)_{22}$, 31)

$Os_8(CO)_{23}$, оранж. 3)

$H_2Os(CO)_4$, крист., бц., т. пл. 149
 $Na_2Os(CO)_4$, 1)
уст. на возд.

$H_2Os_2(CO)_8$, масло, бц. 1)

$H_2Os_3(CO)_{10}$, · L, L = CO, PR₃
 $H_2Os_3(CO)_{12}$
 $M_2Os_3(CO)_{11}$, оранж.
 $Ho_3(CO)_{11}(NO)$, кластер — тр-к,
Os—Os ~2.86 2)

$H_4Os_4(CO)_{12}$
 $M_2H_2Os_4(CO)_{12}$
 $MHOs_4(CO)_{13}$, анион — тетраэдрический кластер,
Os—Os 2.73—2.95 2,18)

$H_2Os_5(CO)_5$
 $M_2[Os_5(CO)_5]$, кластер — тр-к, бипир., Os—Os 2.71—2.87 30)

$H_2Os_6(CO)_{18}$
 $M_2[Os_6(CO)_{18}]$, 30)
окт. кластер

$M_2Os_7(CO)_{20}$
 $M_2Os_8(CO)_{22}$, 31)

$Os_8(CO)_{23}$, оранж. 3)

$H_2Os(CO)_4$, крист., бц., т. пл. 149
 $Na_2Os(CO)_4$, 1)
уст. на возд.

$H_2Os_2(CO)_8$, масло, бц. 1)

$H_2Os_3(CO)_{10}$, · L, L = CO, PR₃
 $H_2Os_3(CO)_{12}$
 $M_2Os_3(CO)_{11}$, оранж.
 $Ho_3(CO)_{11}(NO)$, кластер — тр-к,
Os—Os ~2.86 2)

$H_4Os_4(CO)_{12}$
 $M_2H_2Os_4(CO)_{12}$
 $MHOs_4(CO)_{13}$, анион — тетраэдрический кластер,
Os—Os 2.73—2.95 2,18)

$H_2Os_5(CO)_5$
 $M_2[Os_5(CO)_5]$, кластер — тр-к, бипир., Os—Os 2.71—2.87 30)

$H_2Os_6(CO)_{18}$
 $M_2[Os_6(CO)_{18}]$, 30)
окт. кластер

$M_2Os_7(CO)_{20}$
 $M_2Os_8(CO)_{22}$, 31)

$Os_8(CO)_{23}$, оранж. 3)

$H_2Os(CO)_4$, крист., бц., т. пл. 149
 $Na_2Os(CO)_4$, 1)
уст. на возд.

$H_2Os_2(CO)_8$, масло, бц. 1)

$H_2Os_3(CO)_{10}$, · L, L = CO, PR₃
 $H_2Os_3(CO)_{12}$
 $M_2Os_3(CO)_{11}$, оранж.
 $Ho_3(CO)_{11}(NO)$, кластер — тр-к,
Os—Os ~2.86 2)

$H_4Os_4(CO)_{12}$
 $M_2H_2Os_4(CO)_{12}$
 $MHOs_4(CO)_{13}$, анион — тетраэдрический кластер,
Os—Os 2.73—2.95 2,18)

$H_2Os_5(CO)_5$
 $M_2[Os_5(CO)_5]$, кластер — тр-к, бипир., Os—Os 2.71—2.87 30)

$H_2Os_6(CO)_{18}$
 $M_2[Os_6(CO)_{18}]$, 30)
окт. кластер

$M_2Os_7(CO)_{20}$
 $M_2Os_8(CO)_{22}$, 31)

$Os_8(CO)_{23}$, оранж. 3)

$H_2Os(CO)_4$, крист., бц., т. пл. 149
 $Na_2Os(CO)_4$, 1)
уст. на возд.

$H_2Os_2(CO)_8$, масло, бц. 1)

$H_2Os_3(CO)_{10}$, · L, L = CO, PR₃
 $H_2Os_3(CO)_{12}$
 $M_2Os_3(CO)_{11}$, оранж.
 $Ho_3(CO)_{11}(NO)$, кластер — тр-к,
Os—Os ~2.86 2)

$H_4Os_4(CO)_{12}$
 $M_2H_2Os_4(CO)_{12}$
 $MHOs_4(CO)_{13}$, анион — тетраэдрический кластер,
Os—Os 2.73—2.95 2,18)

$H_2Os_5(CO)_5$
 $M_2[Os_5(CO)_5]$, кластер — тр-к, бипир., Os—Os 2.71—2.87 30)

$H_2Os_6(CO)_{18}$
 $M_2[Os_6(CO)_{18}]$, 30)
окт. кластер

$M_2Os_7(CO)_{20}$
 $M_2Os_8(CO)_{22}$, 31)

$Os_8(CO)_{23}$, оранж. 3)

$H_2Os(CO)_4$, крист., бц., т. пл. 149
 $Na_2Os(CO)_4$, 1)
уст. на возд.

$H_2Os_2(CO)_8$, масло, бц. 1)

$H_2Os_3(CO)_{10}$, · L, L = CO, PR₃
 $H_2Os_3(CO)_{12}$
 $M_2Os_3(CO)_{11}$, оранж.
 $Ho_3(CO)_{11}(NO)$, кластер — тр-к,
Os—Os ~2.86 2)

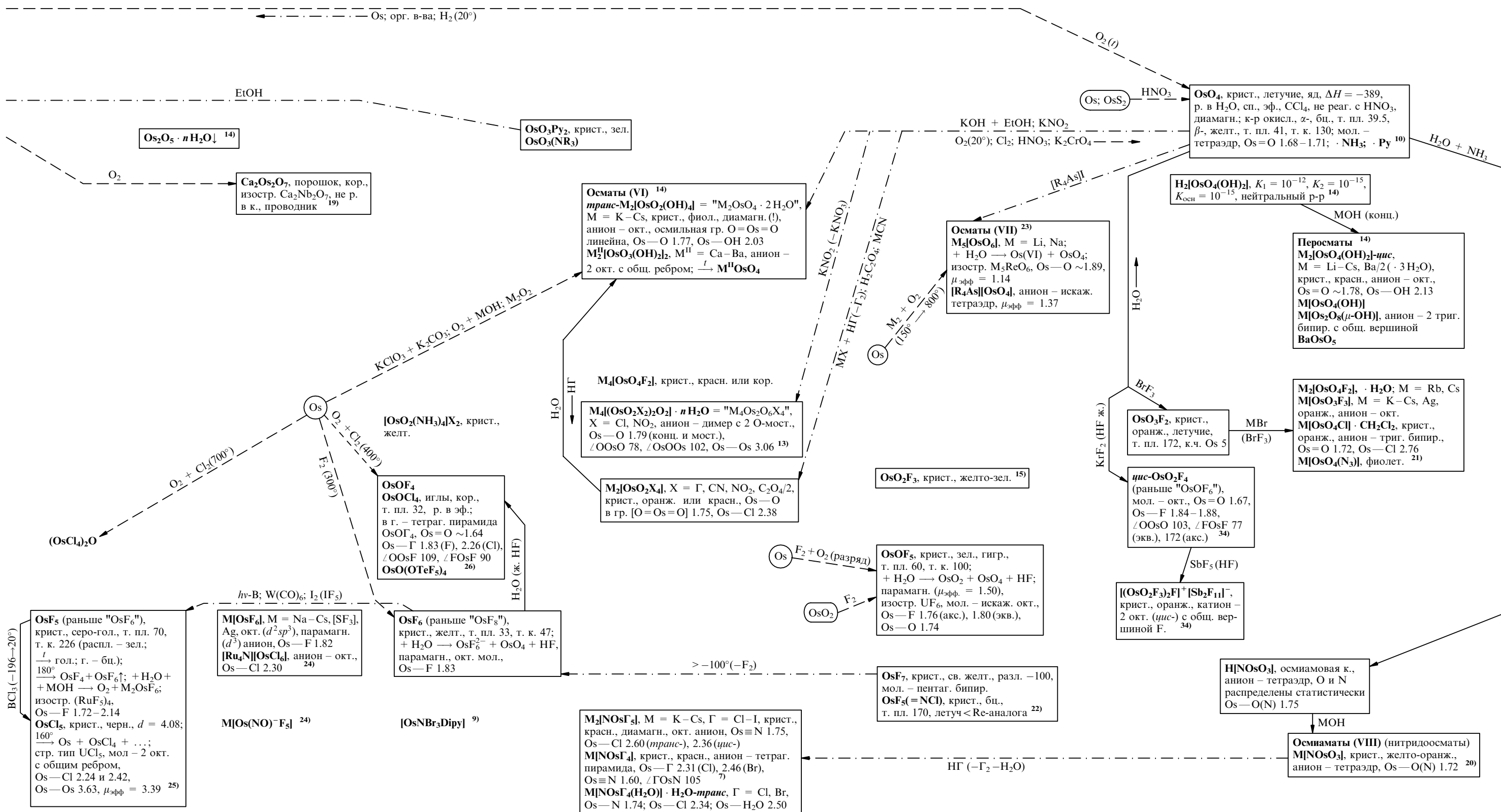
$H_4Os_4(CO)_{12}$
<math

5 + (d³)

6 + (d²)

7 + (d¹)

8 + (d⁰)



РОДИЙ

Rh⁰ 3.0. 1.5

1 + (d⁸)

2 + (d⁷)

M[Rh(CO)₄]
HRh(CO)₄, крист., св.-желт.,
т. пл. -10 с разл., мол. –
тетраэдр
Na[Rh(CO)₂(PPh₃)₂] ¹⁾
HRh(CO)(PR₃)₃

HRh(PF₃)₄, ж., бц., т. пл. -40,
т. к. 90 с разл., мало р. в H₂O,
р. в орг. р-рителях; мол. –
тетраэдр, Rh—P 2.34, 2.39;
0.5 C₆H₆
K[Rh(PF₃)₄], крист., бц., уст.
на возд.
HRh(PR₃)₄; H₂RhCl(PR₃)₂
Rh(NO)⁺(PR₃)₃ ¹⁾
[HRh(N₂)(PR₃)₂] ¹⁾

M[Rh₅(CO)₁₅], мол. – триг. бипир. ¹⁾

M₂[Rh₆(CO)₁₅] ²⁾
M₄[Rh₆(CO)₁₄] ²⁾

[Me₄N]₃[Rh₇(CO)₁₆], кластер
[Rh₇] – одношапочочный окт.,
Rh – Rh 2.71–2.88,
Rh – C 1.86 (конц.),
2.01–2.48 (мост.) ⁸⁾

M₃Rh₉(CO)₁₃ ⁸⁾
M₃[Rh₁₁(CO)₂₃] ⁸⁾

M₂[Rh₁₂(CO)₃₀], анион – 2 гр.
[Rh₆(CO)₁₅] [стр. аналоги
Rh₆(CO)₁₆] связаны 2 CO-мост.,
Rh – Rh 2.82, Rh – C 1.88 (конц.)
и 2.00 (мост.) ⁸⁾

M₂[H₃Rh₁₃(CO)₂₄]
M₄[Rh₁₄(CO)₁₁], n = 25, 26
M₃[Rh₁₅(CO)₂₇]
M₃[Rh₁₇(CO)₃₀]
[R₄N]₄[Rh₂₂(CO)₃₇],
анионы – кластеры,
Rh – Rh 2.69–2.90 ^{2, 23)}

Rh, мет., бел., ковкий,
d = 12.44, т. пл. 1963,
т. к. ~3700, коррозионно-
уст. > Pt, медленно р. в
конц. H₂SO₄, (HBr +
NaClO) (t), не р. в ц. в.;
парамагн.
Куб. пл. упак., a = 3.79,
Rh – Rh 2.68

Rh₂SO₄ ¹⁹⁾, · n H₂O, n = 4, 12, 15

распыление
Rh-черни, р. в к.-окисл.,
активнейший к-р
гидрирования

0 (d⁹)
CO

[Rh₃(CO)_n(PR₃)₃], n = 5, 7, ¹²⁾
Rh – Rh 3.12

Rh₄(CO)₁₂, крист., красн.,
разл. 150, не реаг. с H₂O,
стр. аналог Co₄(CO)₁₂,
Rh – Rh ≈ 2.7,
Rh – C 1.7–2.2
Rh₄(CO)_n(PR₃)_{12-n} ¹²⁾

Rh₆(CO)₁₆ (раньше
"Rh₄(CO)₁₁"), крист.,
черн., разл. 220, не реаг. с
H₂O, мало р. в орг. р-рителях;
мол. – окт. кластер [Rh₆] (Rh – Rh 2.78),
на 4-х гранях μ₃-CO, в
вершинах по 2 CO конц.,
к-ры разрыва P—C в PR₃
(→ RCHO + RCH₂OH)

M₂[Rh₆C(CO)_n], n = 13, 15
K[Rh₆N(CO)₁₅]
Cs₂[Rh₉P(CO)₂₁], ат. С, N,
P – в центрах кластеров –
окт. или одношапочкой
антитризмы ²¹⁾

[Rh(NH₃)(PPh₃)₃]ClO₄
[RhX(PPh₃)₃], X = Cl, NO₃ ²⁹⁾
[RhDipy₂I₂X], X = NO₃ (парамагн. мономер),
ClO₄ (диамагн. димер)

RhCl

[RhX(CO)₂]₂, X = Γ, NO₃, SCN, SO₄/2, RCOO, C₅H₅,
крест., Γ = Cl (оранж., т. пл. 123); Br (кор., 118);
I (рубиново-красн., 114), р. в орг. р-рителях,
диамагн., мол – 2 квадрата с общ. стороной Γ – Γ,
Rh – Rh 3.12

[RhCl(CO)L₂], L = Py, PR₃, AsR₃, мол. – квадрат
(ds^p²), к-р гидрирования

[RhCl(CO)L₂], L = C₂H₄, PR₃, CO; Rh – Rh 2.81 ⁹⁾

[RhX(CO)(PR₃)₂], X = OH, HCO₃, обратимо
присоединяет CO₂ ¹⁵⁾

[RhCl(CS)(PPh₃)₂], тиокарбонил, мол. – квадрат ¹⁴⁾

[RhCl(NO)(AsR₃)₂]

[RG(NO)₂]_n, Γ = Cl, Br, I, крист., темно-кор.

[RhI₂(NO)(PR₃)₂]

Rh₂(PR₃)₂, крист., красн.,
[Rh₂(PR₃)₃], крист., красн., к-р гидрирования C≡C
и C=C синтеза альдегидов из C_nH_{2n}, H₂ и CO

[RhCl(CH₂=CH₂)₂]₂

Оксигенильные комплексы

[RhCl(PPh₃)₂(O₂)₂], O₂ присоединяется обратимо
транс-RhCl[P(C₆H₁₁)₃]L, L = O₂ (крест., син.), N₂,
P₄, H₂, CO, C₂H₄ (желт., диамагн.) ⁴⁾

Rh₂(PPh₃)₂(RNC)(O₂)₂, диамагн., O₂ присоединен
обратимо (R = n-C₃H₆H₄) или необратимо
(R = t-prenyl-Bu) ¹⁰⁾

{Rh(O₂)(Ph₂PCH₂—)₂}⁺[PF₆]⁻, изостр.
Ir-комплексу, Rh – O 2.02, O – O 1.42;
O₂ присоединен обратимо

{Rh[P(OMe)₃]₂}⁺[BPh₄]⁻, катион – угловый,
∠PPh₃ 90, Rh – P 2.18, в координационную
сферу Rh входит Ph аниона
[Rh(CO)(PR₃)₄]₂S; [Rh(CO)₄SP₂]₂, окт. и квадрат ²⁵⁾

Rh₂P, RhP₂, RhP₃

1 + (d⁸)

Rh₂O (?)

(-O₂)

> 1100°; H₂

2 + (d⁷)

RhO (?)

Rh(OH)₂↓
син., сильно восст.

M₄[Rh₂(SO₄)₄(H₂O)₂] · n H₂O,
M = Na – Cs, [H₃O], зел.,
Rh – Rh 2.45, все [SO₄] – мост. ¹⁷⁾

Na₂[Rh(SO₄)₂] · 2 H₂O
M₄[Rh₂(CO₃)₄] · n H₂O,
M = Na, K (n = 2.5), Cs (n = 6.3; 7.5);
NH₄ (n = 4.5), Ba/2, диамагн. кластеры ¹⁶⁾

M₂[Rh₂(CH₃COO)₄]₂,
Γ = Cl, Br, Rh – Rh 2.47,
Rh – O 2.07,
Rh – Γ 2.06(Cl), 2.53(Br) ²⁷⁾

[Rh₂(μ-SO₄)₂]Py₆ · n H₂O, n = 3, 6
[Rh₂(μ-H₂PO₄)₄(H₂O)₂]₁₇₎, кластеры,
Rh – Rh 2.5–2.6
[Rh(NO₃)(PPh₃)₃]ClO₄ ²⁹⁾

[Rh(RCOO)₂]₂
(раньше "HRh¹(RCOO)₂"), крист.,
зел., диамагн., стр. аналоги ацетатов
Cu^{II} и Cr^{II}, кластер, к. ч. Rh 5
[Rh(CH₃COO)₂L]₂, L = H₂O, ROH,
PR₃, NH₃, Py, крист., зел. или син.,
диамагн. кластер, Rh – Rh 2.35–2.45,
стр. аналоги [Cu(CH₃COO)₂L]₂,
Rh – O 1.99, Rh – H₂O 2.30

2.5+
[Rh₂(CH₃COO)₅]
[Rh₂(CH₃COO)₄Cl] ²²⁾

RhCl₂, крист., красн., ΔH = -163,
окисл. возд., стр. тип CdCl₂

[RhCl₂(CO)(PR₃)], крист., желт. ⁵⁾

Rh₉S₈ RhS₂ RhSe₂
стр. тип пирита

Rh₂S₅ Rh₂Se₅ Rh₂Te₅

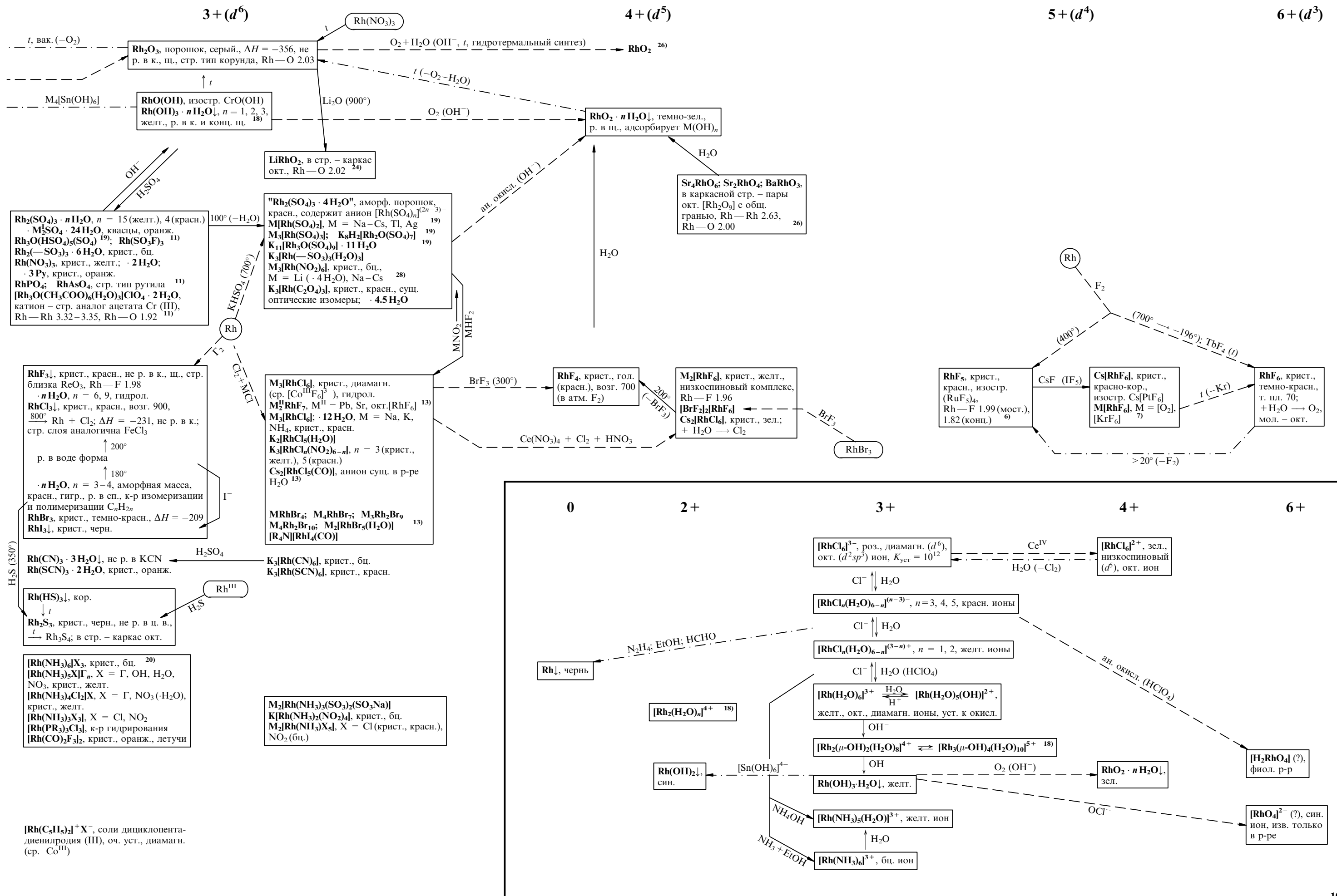
Rh₂P, RhP₂, RhP₃

[RhPy₆]Γ₂, Γ = Cl–I, крист., желт.
[RhPy₅Γ]Γ, Γ = Cl–I, крист., желт.
[RhDipy₂ClX]₂, X = NO₃, ClO₄, крист.,
красно-фиол., диамагн.
[Rh(AsR₃)₄Γ₂]; [Rh(AsR₃)₃Γ₂]₂

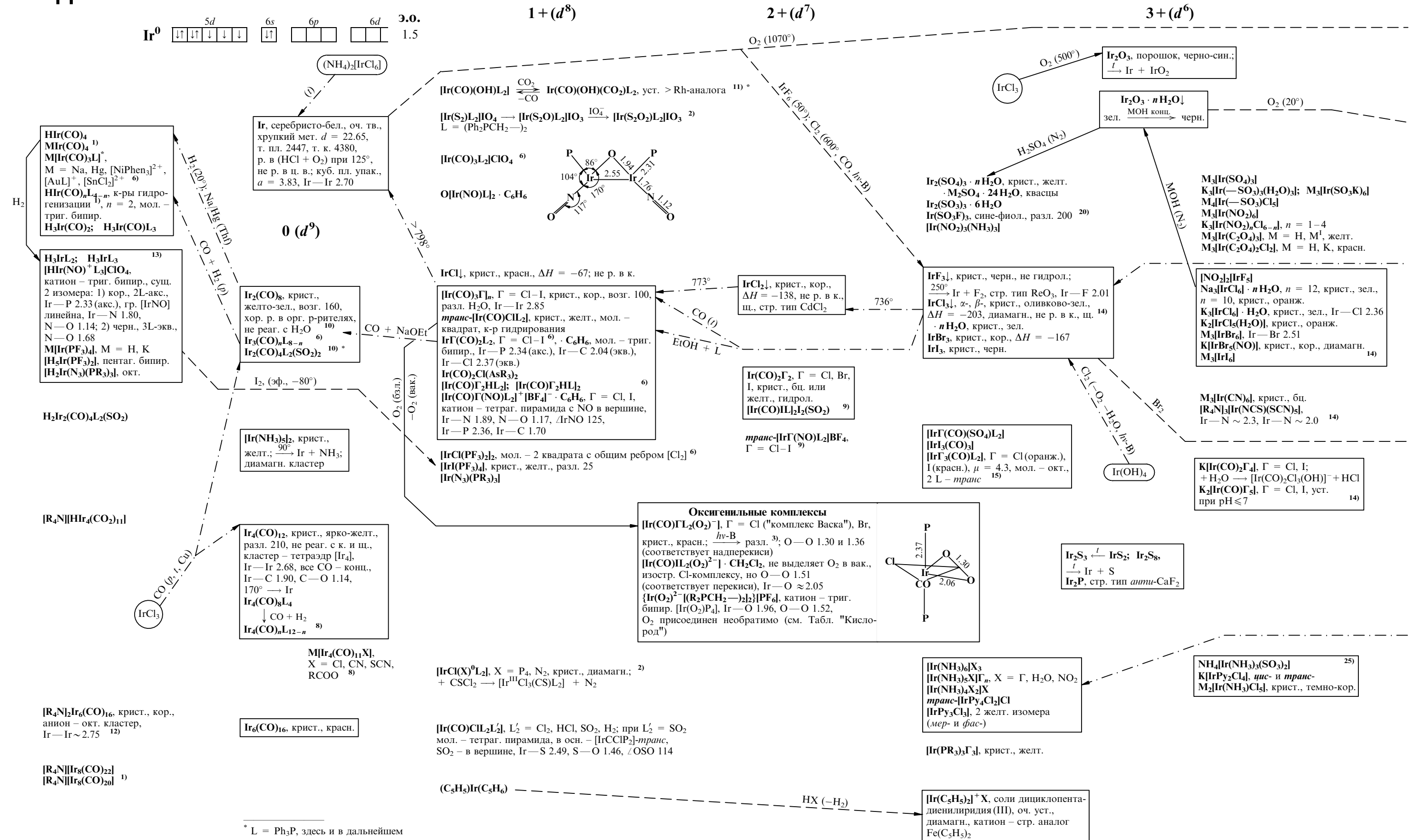
Li₄RhH₄
Li₄RhH₅ ³⁾

M₂[HRh(CN)₄(H₂O)]

t (-S)



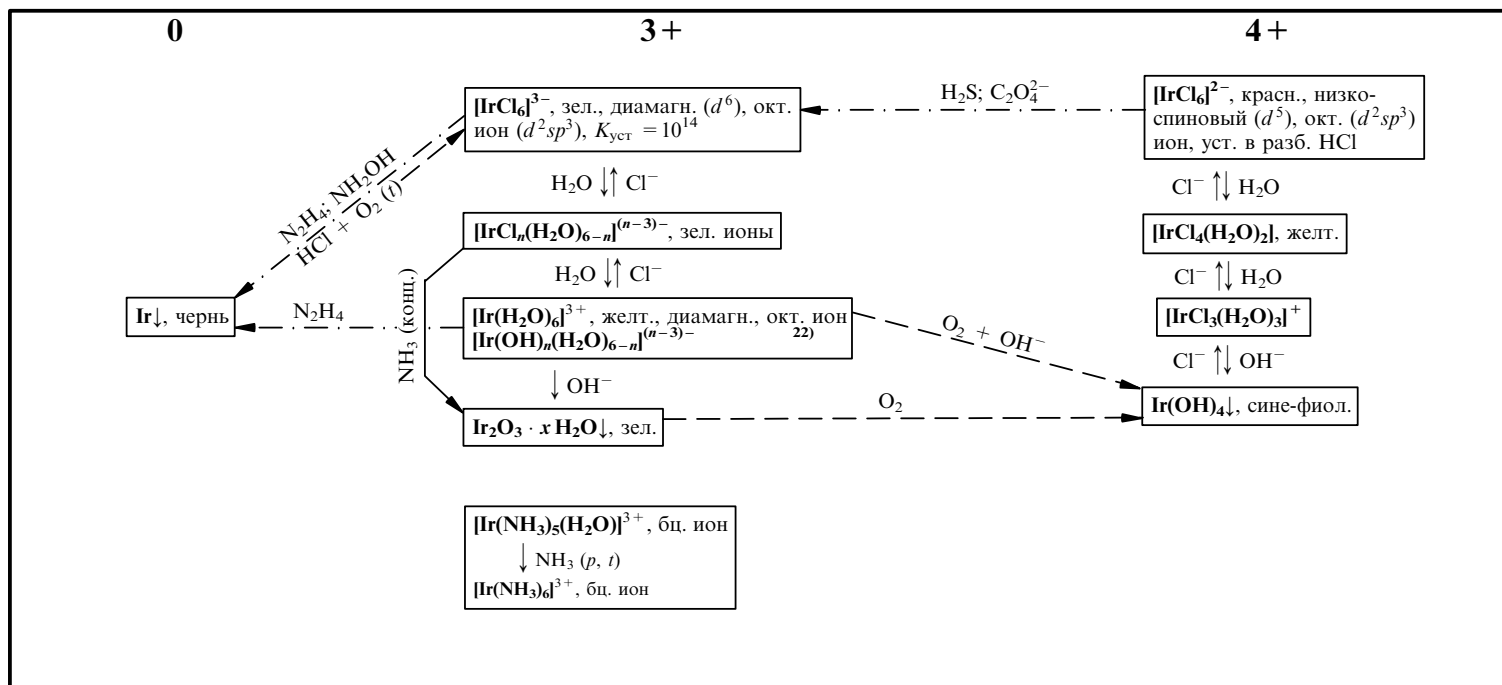
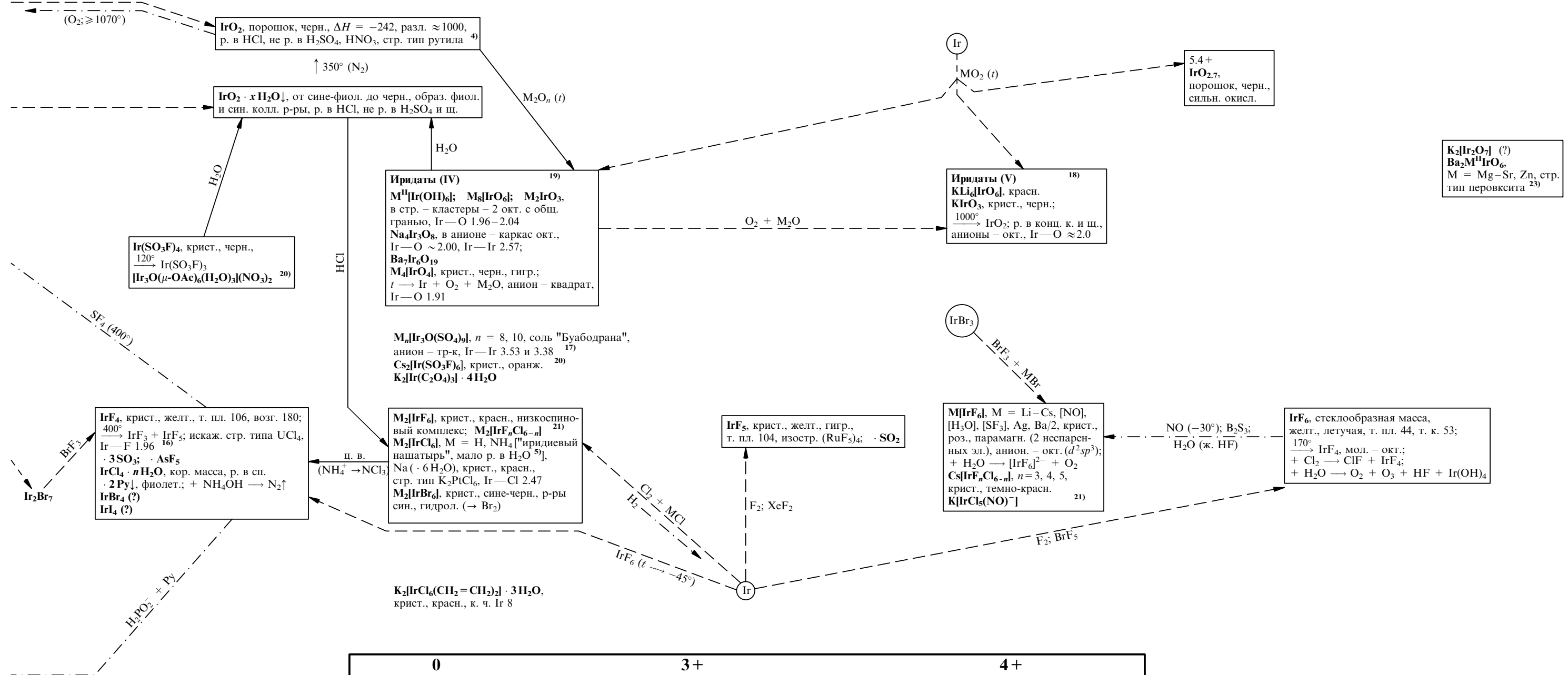
ИРИДИЙ



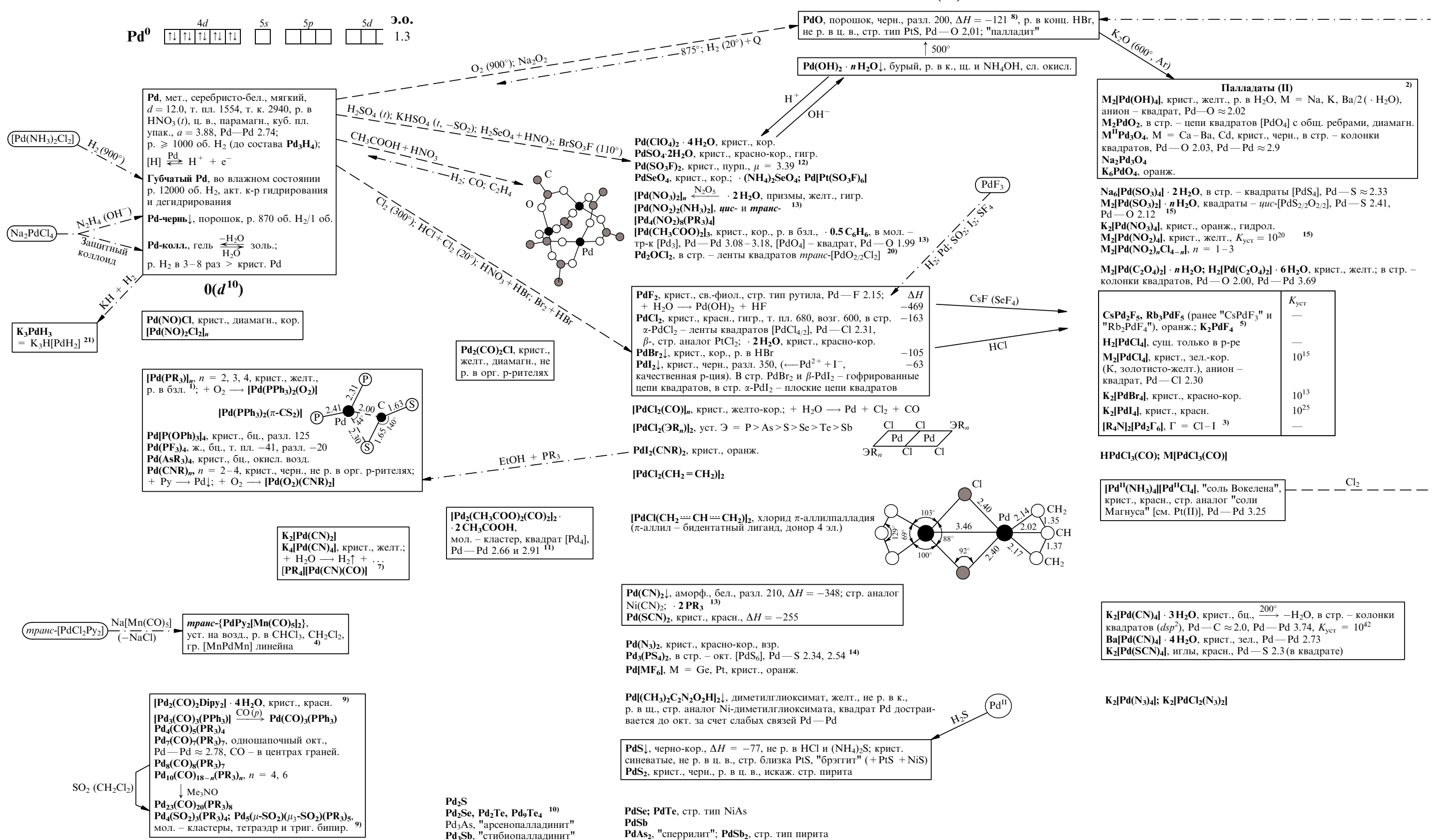
4 + (d^5)

5 + (d^4)

6 + (d^3)



ПАЛЛАДИЙ



"3+" и 3+ (d^7)

4+(d^6)

5+(d^5)

(2.33–2.66)+
 $M_2Pd_3O_4$
M = Li–K, Tl
крист., черн.
2)

200° ($-O_2$, $-H_2O$)

$PdO_2 \cdot n H_2O \downarrow$, темно-красн.,
свежеосажденный – р. в к. и щ.,
сильн. окисл.

PdO

$M_2Pd(OH)_6$; $\frac{-H_2O}{2}$ $M_2O + PdO_{1.63}$
 M_2PdO_3 , M = Na–Rb, диамагн., изостр. Li_2MnO_4

$(Pd(SO_3F)_2)$
 $S_2O_6F_2$
" $Pd(SO_3F)_3$ " = $Pd^{II}[Pd^{IV}(—OSO_2F)_6]$,
крист., красн., гигр., разл. 180,
 $\mu_{\text{эф}} = 3.45$; $\xrightarrow{130^\circ} Pd(SO_3F)_2$ 12)

$Pd; PdCl_2$
 $F_2(300^\circ)$
 $PdF_3 = Pd^{II}[Pd^{IV}F_6]$ (?), крист., черн.,
гигр., р. в BrF_3 , $\mu_{\text{эф}} = 2.88$ (высоко-
спиновый комплекс Pd^{2+}, d^8), стр.
близка ReO_3 , т. е. все ат. Pd
эквивалентны, $Pd — F 2.04$;
+ $H_2O \rightarrow O_2 + \dots$; уст. > PdF_4
 $BrF_3 \downarrow 180^\circ$
 BrF_3 , крист., кор., парамагн.,
 $\mu_{\text{эф}} = 2.24$

$PdBr_2$
 $BrF_3(Br^2)$
 $Na[PdF_4]; M_2M'[PdF_6]$,
(M, M') = (K, Li), (K, Na), (Cs, K),
изостр. $K[BrF_4]$ и $K_2Na[AlF_6]$,
анионы – окт. ($t_{2g}^6 e_g^1$) Pd^{3+} 17)

$[Pd^{II}(NH_3)_4][Pd^{IV}Cl_6]$
" $Pd^{II}_3 \cdot 2NH_3$ " = $[Pd^{II}(NH_3)_2\Gamma_2][Pd^{IV}(NH_3)_2\Gamma_4]$,
 $\Gamma = Cl, Br$, в стр. – цепи чередующихся окт. и
квадратов

$[Pd^{II}En_2]\Gamma_2$ — $\frac{\Gamma_2}{(HX)}$ — $[Pd^{II}En_2][Pd^{IV}En_2\Gamma_2]X_4$, $\Gamma = Cl, Br$; X = ClO_4 , NO_3 18)

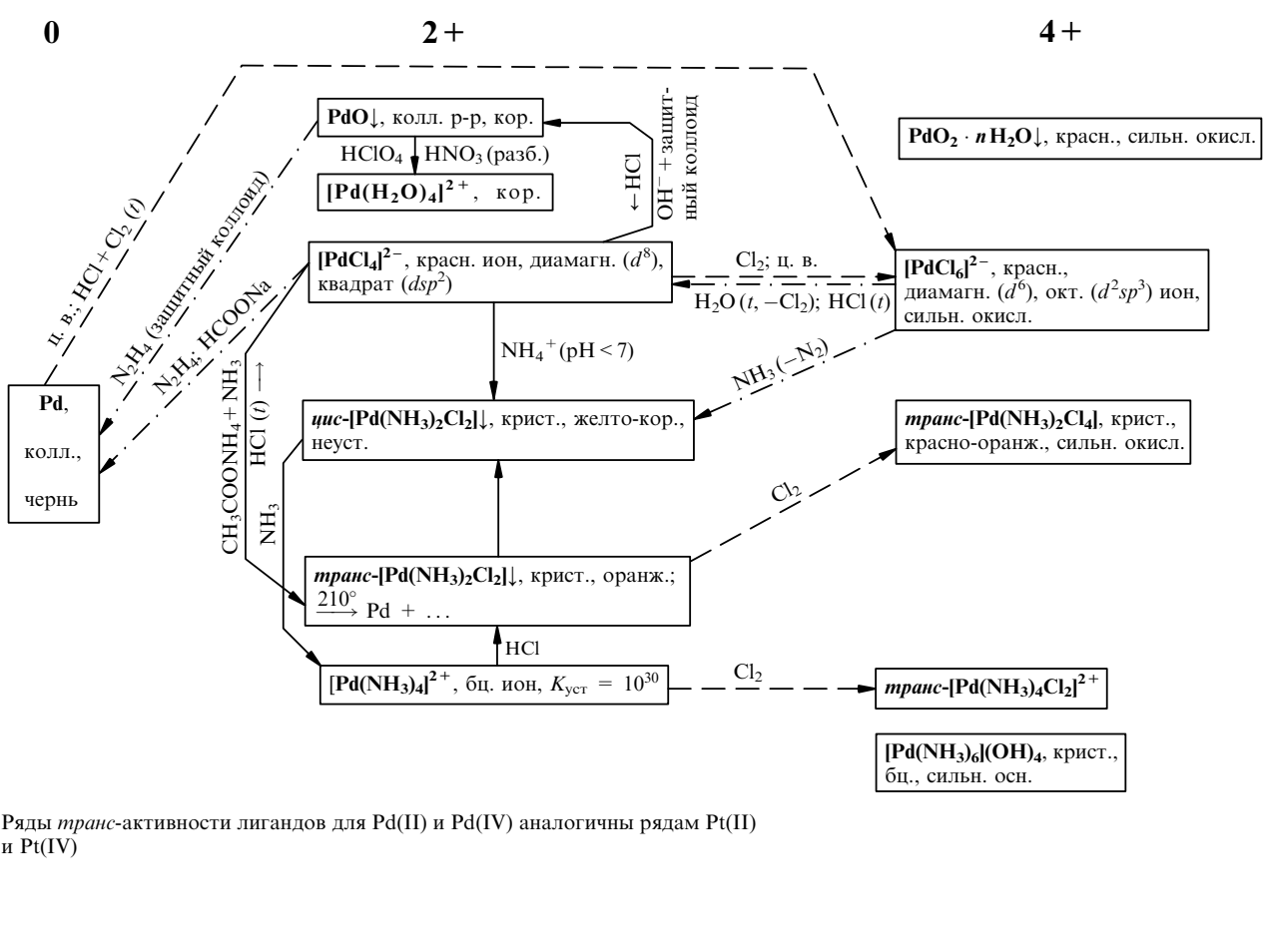
$Pd(NO_3)_2$
 N_2O_5
" $Pd(NO_3)_4$ ", крист., кор.,
диамагн., окисл.,
+ $I^- \rightarrow I_2$ (но с Fe^{2+}
не реаг.).

PdF_4 , крист., красн.,
искаж. стр. тип UCl_4
(к. ч. Pd 8), $Pd — F 1.94, 2.00$;
+ $H_2O \rightarrow O_2$ 16)
 $SeF_4(—Br_2)$
 $Pd(CN)_4$, крист., роз.;
 $\xrightarrow{20^\circ} (CN)_2$

$M_2[Pd(SO_3)_2(OH)_2]$, M = Na, K, крист., кор., неуст.
 $M_2[Pd(SO_3F)_6]$, M = Cs, $[NO]$, $[ClO_2]$, Ba/2 12)
 $K_2PdO(C_2O_4)_2 \cdot 2H_2O$, крист., красн.
 $M_2[Pd(C_2O_4)_2Cl_2]$, M = Na, K, крист., желт.

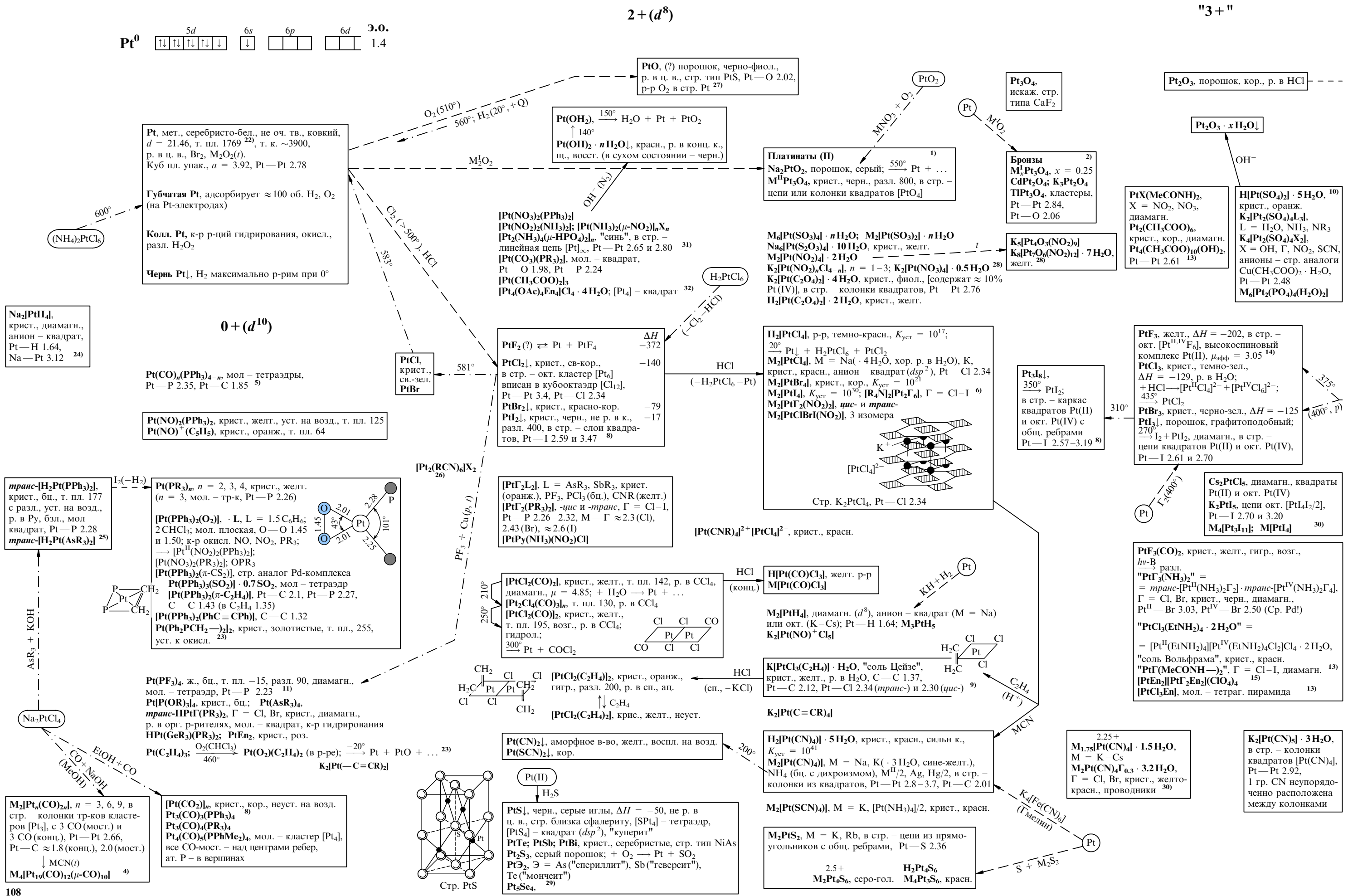
$M_2[PdF_6]$, M = K–Cs, $M^{II}/2, Xe/2^6$,
кист., желт., диамагн., анион – окт., $Pd — F 2.1$
 $\uparrow MF(SeF_4)$
 $[SeF_3]_2[PdF_6] \xrightarrow{155^\circ} PdF_2 + SeF_4 \uparrow + SeF_6 \uparrow$
 $[XeF_4]^+ [Pd_2F_9]^- \xrightarrow{280^\circ} XeF_4 + PdF_3$ 6)
 H_2PdCl_6 , сущ. в разб. р-ре, черн.;
+ $H_2O \rightarrow Cl_2 + PdCl_2$
 $M_2[PdCl_6]$, крист., красн., диамагн.,
стр. тип K_2PtCl_6 , $Pd — Cl 2.30$;
+ $H_2O(t) \rightarrow M_2PdCl_4 + Cl_2$
 $M_2[PdBr_6]$

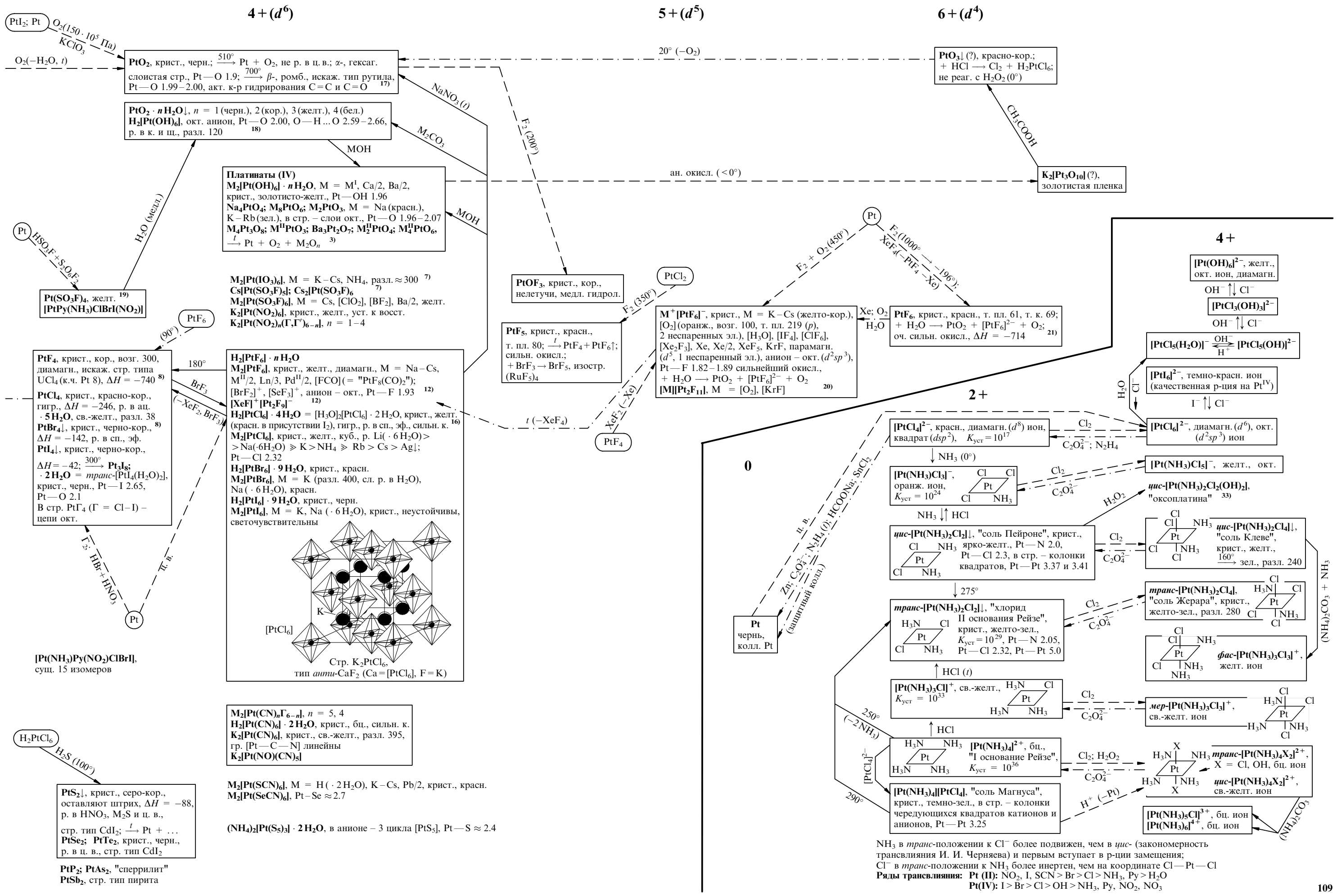
$MPdF_6$, M = Na, $[O_2]$ 19)



Ряды транс-активности лигандов для Pd(II) и Pd(IV) аналогичны рядам Pt(II) и Pt(IV)

ПЛАТИНА





ИНЕРТНЫЕ ГАЗЫ

		Э.0.
Гелий	He^0	$\begin{array}{ c }\hline 1s \\ \hline \uparrow\downarrow \\ \hline \end{array}$
Неон	Ne^0	$\begin{array}{ c }\hline 2s \\ \hline \uparrow\downarrow \\ \hline \begin{array}{ c c }\hline & 2p \\ \hline \uparrow\downarrow\downarrow\downarrow\downarrow \\ \hline \end{array} \end{array}$
Аргон	Ar^0	$\begin{array}{ c }\hline 3s \\ \hline \uparrow\downarrow \\ \hline \begin{array}{ c c }\hline & 3p \\ \hline \uparrow\downarrow\downarrow\downarrow\downarrow \\ \hline \end{array} \end{array}$
Криптон	Kr^0	$\begin{array}{ c }\hline 4s \\ \hline \uparrow\downarrow \\ \hline \begin{array}{ c c }\hline & 4p \\ \hline \uparrow\downarrow\downarrow\downarrow\downarrow \\ \hline \end{array} \end{array}$
Ксенон	Xe^0	$\begin{array}{ c }\hline 5s \\ \hline \uparrow\downarrow \\ \hline \begin{array}{ c c }\hline & 5p \\ \hline \uparrow\downarrow\downarrow\downarrow\downarrow \\ \hline \end{array} \end{array}$
Радон	Rn^0	$\begin{array}{ c }\hline 6s \\ \hline \uparrow\downarrow \\ \hline \begin{array}{ c c }\hline & 6p \\ \hline \uparrow\downarrow\downarrow\downarrow\downarrow \\ \hline \end{array} \end{array}$

Образование Rn при радиоактивном распаде:

$^{232}_{90}\text{Th} \xrightarrow{\alpha} \dots \xrightarrow{\alpha} ^{220}_{86}\text{Rn}$ ("Th Em", "торон") $\xrightarrow{\alpha} \dots$
54.5 с.

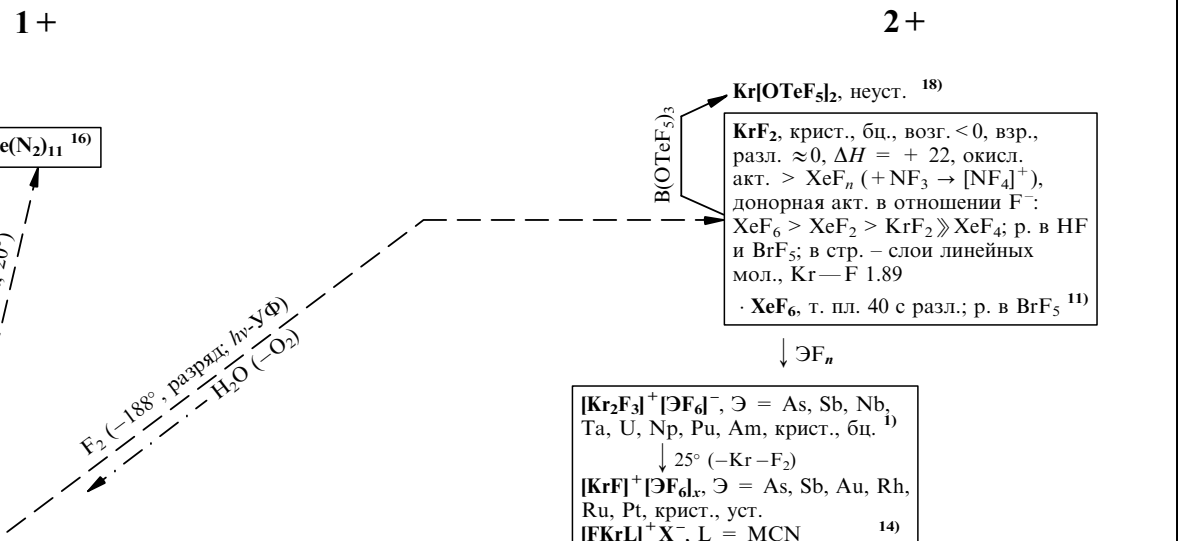
$^{235}_{92}\text{U} \xrightarrow{\alpha} \dots \xrightarrow{\alpha} ^{219}_{86}\text{Rn}$ ("Ac Em", "актинон")
 $\xrightarrow{\alpha} \dots$
3.92 с.

$^{238}_{92}\text{U} \xrightarrow{\alpha} \dots \xrightarrow{\alpha} ^{222}_{86}\text{Rn}$ ("Ra Em") $\xrightarrow{\alpha} \dots$
3.82 сут.

$\dots ^{218}_{85}\text{At} \xrightarrow{\beta} ^{218}_{86}\text{Rn}$ ("At Em") $\xrightarrow{\alpha} \dots$
0.019 с.

Образование Не и Ar в минералах U и K:

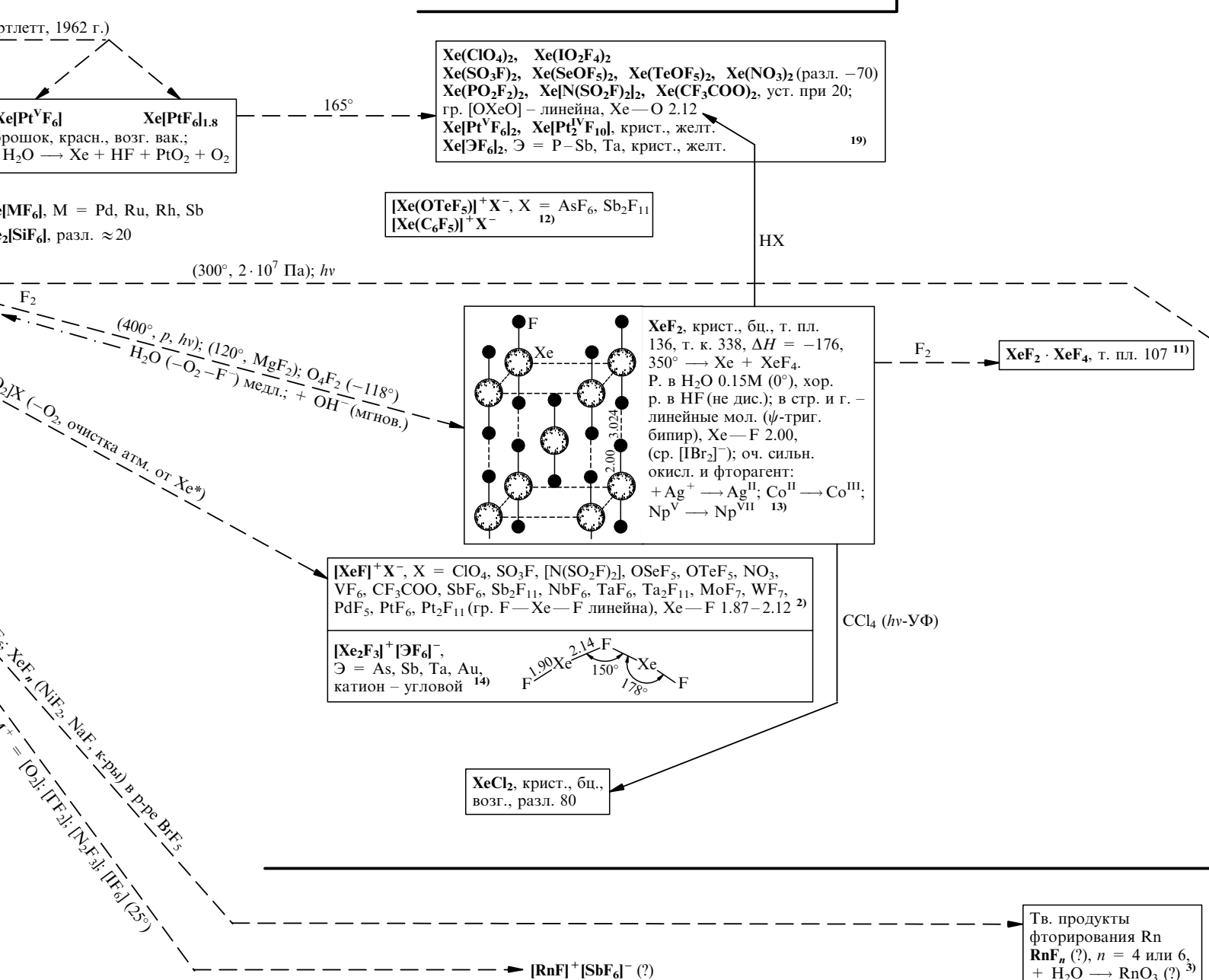
$^{238}_{92}\text{U} \longrightarrow \dots \longrightarrow 8\alpha + 6\beta + ^{206}_{82}\text{Pb};$
 $\downarrow + 8e$
 $8 \frac{1}{2}\text{He}$



	He	Ne	Ar	Kr	Xe	Rn
г., бщ., в разряде излучают						
Содержание в атм. (%об. $\cdot 10^4$)	желт.	оранж.	красн.	зел.-фиол.	фиол.	бел. свет
т. пл.	5.24	18.2	9340	11.4	0.087	$6 \cdot 10^{-14}$
т. к.	-269.7	-248.6	-189.4	-157.3	-111.9	-71.0
d (при т. к.)	-268.9	-245.9	-185.8	-153.2	-108.1	-61.9
p в H_2O (% об.) при 0°	0.126	1.20	1.40	2.60	3.06	4.40
	0.008	0.010	0.034	—	30	51
					хор. р. в орг.	р-рителях
$a = 4.42 (p = 125 \cdot 10^5)$						
$\downarrow -258^\circ$	куб. пл. упак.	4.52	5.43	5.69	6.24	—
$\downarrow -247^\circ$						
$a =$ $c =$ ($p = 130 \cdot 10^5$)	3.47	3.14	—	4.00	4.34	7.09 ¹³⁾
$\uparrow -270^\circ$						
куб. (тип α -Fe)						
$a = 4.11 (p = 30 \cdot 10^5)$						

$\text{H}_2\text{O}; n\text{-C}_6\text{H}_4(\text{OH})_2$

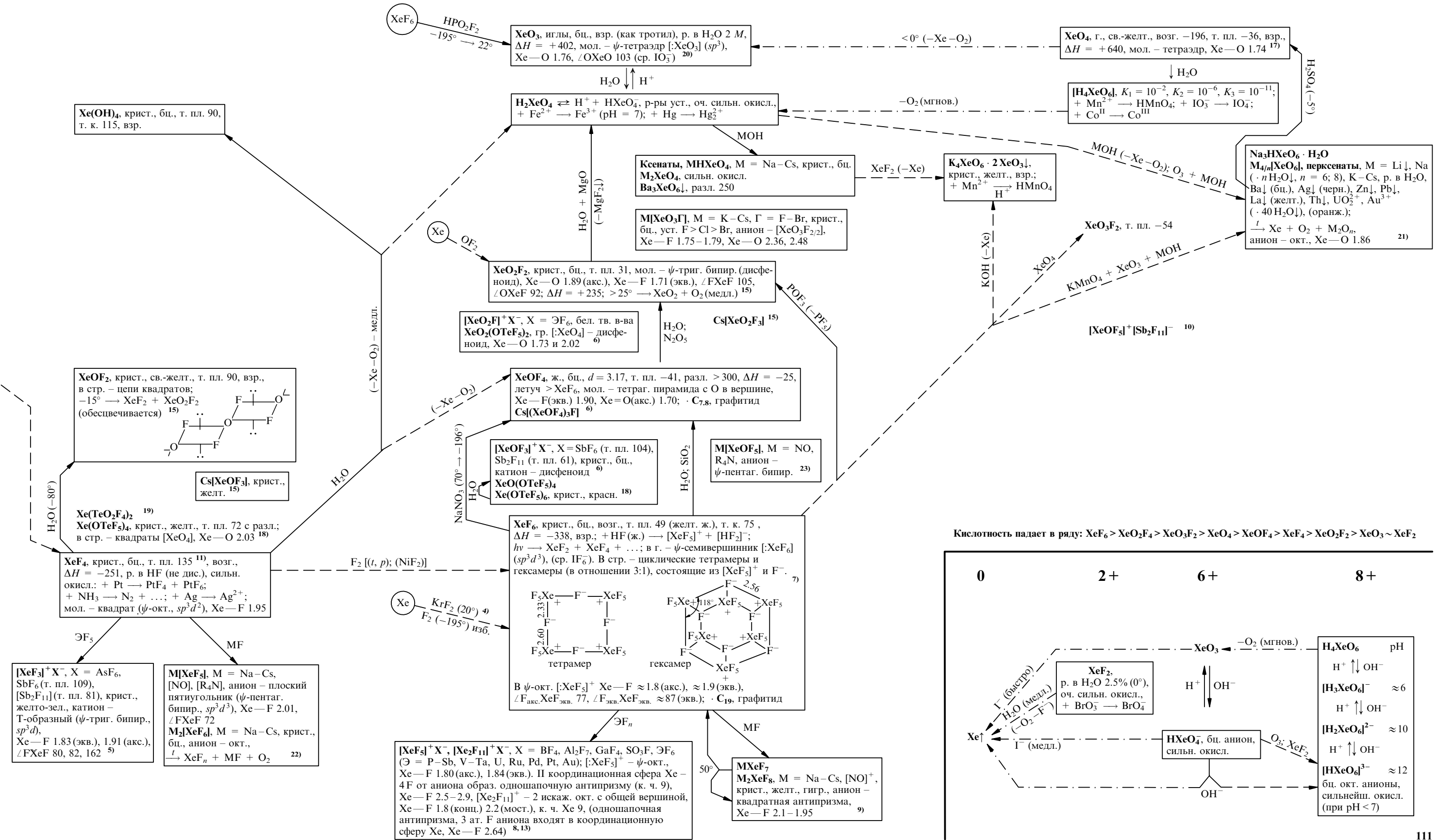
Клатратные соединения включения		
	$p_\text{Э}$ при синтезе (Па $\cdot 10^{-6}$)	т. разл. ($p = 10^5$)
$\text{Э} \cdot 5.75 \text{H}_2\text{O}$ (8: 46), Э = Ne	300	—
Ar	150	-42.8
Kr	15	-28
Xe	~1	-4
Rn	~1	—
$\text{Э} \cdot 3n\text{-C}_6\text{H}_4(\text{OH})_2$, Э = Ar, Kr, Xe (гидрохинон)		



4+

6+

8+



ВАЛЕНТНЫЕ СОСТОЯНИЯ (ТИПЫ ГИБРИДИЗАЦИИ) И КООРДИНАЦИОННЫЕ МНОГОГРАННИКИ ЦЕНТРАЛЬНОГО АТОМА

(E – локализованная пара эл.)

Число эл. пар	Валентное состояние, валентный угол	Тип молекулы или иона	К. Ч.	Пространственная конфигурация	Примеры	Число эл. пар	Валентное состояние, валентный угол	Тип молекулы или иона	К. Ч.	Пространственная конфигурация	Примеры	
2	sp , 180° $7s5f$, 180°	AX_2	2	линейная (гантель)		BeG ₂ , Г = F-I(г.), CO ₂ , N ₂ O, [NO ₂] ⁺ d^{10} : ZnCl ₂ (г.), HgCl ₂ , [Ag(NH ₃) ₂] ⁺ , d^0 : [UO ₂] ²⁺ , [NpO ₂] ²⁺ , [PuO ₂] ²⁺	5	AX_5	5	триг. бипир.		AlH ₃ · 2NR ₃ , [SnCl ₅] ⁻ , PF ₅ (г.), SOF ₄ , [IO ₅] ³⁻ , ClO ₂ F ₃
2	p^2 , 90°	AX_2	2	угловая		H ₂ S, H ₂ Se, [TlCl ₂] ⁻		AX_5	5	тетраг. пирамида		[InCl ₅] ²⁻
3	sp^2 , 120° d^2s , 120°	AX_3	3	плоский тр-к		K[BeF ₃](г.), ВГ ₃ , [BO ₃] ³⁻ , B ₂ Cl ₄ , [CO ₃] ²⁻ , C ₂ H ₄ , [NO ₃] ⁻ , SO ₃ (г.), [O(HgCl) ₃] ⁺ ; d^{10} : [HgI ₃] ⁻ d^6 : [FeO ₃] ⁴⁻ d^0 : ScΓ ₃ (г.)		AX_4E	4	дисфеноид (ψ -триг. бипир.)		[PBr ₄] ⁻ , [SbF ₄] ⁻ , SF ₄ , TeCl ₄ , [ΓO ₂ F ₂] ⁻ , [ΓF ₄] ⁺ , ΓOF ₃ , XeO ₂ F ₂ (2F-акс), XeO ₃ F
		AX_2E	2	угловая (ψ -тр-к)		SnΓ ₂ (г.), [NO ₂] ⁻ , N ₂ F ₂ , O ₃ , SO ₂ (г.), ClO ₂ ⁺		AX_3E_2	3	T-образная (ψ -триг. бипир.)		ClF ₃ , BrF ₃ , [XeF ₃] ⁺ , XeOF ₂
3	p^3 , 90°	AX_3	3	триг. пирамида		PH ₃ , AsF ₃ (г.)		AX_2E_3	2	линейная (ψ -триг. бипир.)		[ICl ₂] ⁻ , [Γ ₃] ⁻ , XeF ₂
4	sp^3 , $\approx 109^\circ 28'$	AX_4	4	тетраэдр		[Be(H ₂ O) ₄] ²⁺ , [OB ₄] ⁻ в мол. Be ₄ O(OAc) ₆ ; [BF ₄] ⁻ , [AlCl ₄] ⁻ , CH ₄ , [SiO ₄] ⁴⁻ , NOF ₃ , [SO ₄] ²⁻ , [ClO ₄] ⁻ d^{10} : Ni(CO) ₄ , [Cu(CN) ₄] ³⁻ , [Zn(CN) ₄] ²⁻ , [GaH ₄] ⁻ , GeCl ₄ , [AsO ₄] ³⁻ , [SeO ₄] ²⁻ , [BrO ₄] ⁻ , XeO ₄ d^9 : Co(CO) ₃ (NO), Cs ₂ [CuCl ₄] d^8 : [Fe(CO) ₂ (NO) ₂], [Co(CO) ₄] ⁻ , [NiCl ₄] ²⁻ d^7 : [Mn(CO)(NO) ₃], [CoCl ₄] ²⁻ d^6 : [FeCl ₄] ²⁻ ; d^5 : [MnCl ₄] ²⁻ ; d^3 : [FeO ₄] ³⁻		AX_5	5	триг. бипир. тетраг. пирамида (центральный ат. над центром квадрата)		d^8 : [Mn(CO) ₅] ⁻ , Fe(CO) ₅ , [Co(CO) ₃ (PR ₃) ₂] ⁺ , [Pt(SnCl ₃) ₅] ³⁻ , [CuCl ₅] ³⁻ ($3d^9 \rightarrow 3d^8 4d^1$) d^7 : Mn(CO) ₄ (NO)(г.), [NiBr ₃ (PEt ₃) ₂]
		AX_3E	3	триг. пирамида (ψ -тетраэдр)		NH ₃ , NF ₃ , N ₂ F ₄ , [AsO ₃] ³⁻ , [H ₃ O] ⁺ , SOCl ₂ , [SO ₃] ²⁻ , [Se _n], [SeO ₃] ²⁻ , [IO ₃] ⁻ , [BrO ₃] ⁻ , XeO ₃		AX_5	5	триг. бипир.		d^6 : [RuCl ₂ (PR ₃) ₃] d^4 : [Et ₄ N] ₂ [MnCl ₅]
		AX_2E_2	2	угловая (ψ -тетраэдр)		H ₂ O, OF ₂ , [S _n], SCl ₂ , TeΓ ₂ , [ClF ₂] ⁺ , [ClO ₂] ⁻ , XeO ₂		AX_5	5	тетраг. пирамида (центральный ат. над центром квадрата)		d^0 : NbCl ₅ , VΓ ₅
		AX_4	4	тетраэдр		d^2 : Cr(OC ₄ H _{9-t}) ₄ , [MnO ₄] ³⁻ , [FeO ₄] ²⁻ d^1 : VCl ₄ , [CrO ₄] ³⁻ , [MnO ₄] ²⁻ , [RuO ₄] ⁻ d^0 : TiCl ₄ , [VO ₄] ³⁻ , [CrO ₄] ²⁻ , [MnO ₄] ⁻ , OsO ₄		AX_5	5	тетраг. пирамида (центральный ат. в центре или под центром квадрата) (ψ -окт.)		d^2 : VCl ₃ (SMe ₂) ₂ , [Mo(CN) ₅] ⁻ , [ReOΓ ₄] ⁻
6	sp^3d^2 , 90°	AX_6	6	окт.		[Mg(H ₂ O) ₆] ²⁺ , [AlF ₆] ³⁻ , [SiF ₆] ²⁻ , [Pb(OH) ₆] ²⁻ , [PCl ₆] ⁻ , SF ₆ , [IO ₆] ⁵⁻ , [IF ₆] ⁺ , [IO ₂ F ₄] ⁻ d^{10} : AgCl, [Cd(OH) ₆] ⁴⁻ , [InF ₆] ³⁻ , [SnCl ₆] ²⁻ , [Sb(OH) ₆] ⁻ , TeF ₆ , IOF ₅ , [XeO ₆] ⁴⁻ d^9 : K ₂ [CuCl ₄] (искаж. окт.); d^8 : [AuBr ₆] ³⁻		AX_6	6	окт.		d^7 : [Fe ^I (NO) ^{+(H₂O)₅]²⁺, [Co(NH₃)₆]²⁺ d^6: [Fe(H₂O)₆]²⁺, [CoF₆]³⁻ d^5: [Mn(H₂O)₆]²⁺, [Fe(H₂O)₆]³⁺ d^4: [Cr(H₂O)₆]²⁺, [Mn(C₂O₄)₃]³⁻}
		AX_5E	5	тетраг. пирамида (центральный ат. в центре или под центром квадрата) (ψ -окт.)		[SbF ₅] ²⁻ , [SF ₅] ⁻ , ΓF ₅ , [ΓOF ₄] ⁻ , [XeF ₅] ⁺		AX_4E_2	4	квадрат (ψ -окт.)		[ICl ₄] ⁻ , XeF ₄

Число эл. пар	Валентное состояние, валентный угол	Тип молекулы или иона	К. Ч.	Пространственная конфигурация	Примеры	Число эл. пар	Валентное состояние, валентный угол	Тип молекулы или иона	К. Ч.	Пространственная конфигурация	Примеры	
6	d^2sp^3 , 90°	AX_6	6	окт.	<p>низко-спиновые</p> $\begin{cases} d^7: [Os(NH_3)_6]^+, [NiF_6]^{3-} \\ d^6: Cr(CO)_6, [Mn(CN)_6]^{5-}, [Fe(CN)_6]^{4-}, \\ \quad [Co(NH_3)_6]^{3+}, [NiF_6]^{2-} \\ d^5: [Mn(CN)_6]^{4-}, [Fe(CN)_6]^{3-}, \\ \quad [PtF_6]^- \\ d^4: [TiDipy_3], [Mo(CN)_6]^{4-}, \\ \quad [Mn(CN)_6]^{3-}, [OsCl_6]^{2-}, [IrF_6]^-, PtF_6 \\ d^3: [V(H_2O)_6]^{2+}, [Cr(NH_3)_6]^{3+}, \\ \quad [MnCl_6]^{2-}, [OsF_6]^- \\ d^2: [V(H_2O)_6]^{3+}, [CrF_6]^{2-}, \\ \quad [ReOCl_5]^{2-}, [OsN\Gamma_5]^{2-}, RuF_6 \\ d^1: [Ti(H_2O)_6]^{3+}, [VF_6]^{2-}, \\ \quad [MoF_6]^- \\ d^0: [Sc(OH)_6]^{3-}, [Ti\Gamma_6]^{2-}, [VF_6]^- \\ \quad MoF_6, [ReO_3Cl_3]^{2-}, [OsO_4(OH)_2]^{2-} \end{cases}$		8	sp^3d^4 , d^4sp^3	AX_8	8	антипризма (томсоновский куб) (\angle поворота 45° – антипризма Архимеда)	[XeF_8]^{2-}, [Ba(H_2O)_8]^{2+}, Zr[IO_3]_4, [TaF_8]^{3-}, [W(CN)_8]^{2-}, [Mo(CN)_8]^{4-}, [ReF_8]^{2-}, [Eu(H_2O)_6Cl_2]^{+}
										куб	ThO_2, UO_2, (NH_3)_4[U(C_2O_4)_4]	
7	sp^3d^3 , sp^3d^2f (?)	AX_5E	6	трист. призма	 d^2 : MoS_2, WS_2		9	AX_9	9	додекаэдр	Ti(NO_3)_4 (NO_3 – бидентатны), [ZrF_8]^{4-}, [Cr^V(O_2)_4]^{3-}, [Mo(CN)_8]^{2-}, [Co(NO_3)_4]^{2-}, [Fe(NO_3)_4]^-	
										гексаг. бипир.	[UO_2(H_2O)_6]^{2+}	
7	sp^3d^3 , sp^3d^2f (?)	AX_7	7	пентаг. бипир.	 IF_7		10	AX_{10}	10	тетраг. одношапочная призма	Li_3ThI_7	
		AX_6E	6	искаж. окт. (ψ -пентаг. бипир. или ψ -одношапоччный окт.)	 [IF_6]^-, XeF_6(г.), [XeOF_5]^-					трехшапочная триг. призма	PbCl_2, BaF_2, EuCl_2, [Nd(H_2O)_9]^{3+}, [Sc(H_2O)_9]^{3+}, [Th(SO_4)_4]^{4-}, K_2[PaF_7], UCl_3, [ReH_9]^{2-}, Tl(NO_3)_3 · 3 H_2O	
		AX_5E_2	5	плоский 5-угольник (ψ -пентаг. бипир.)	[XeF_5]^-		8	sp^3d^5	AX_8E	квадратная антипризма	[XeF_8]^{2-}	
7	d^5sp , d^4sp^2 , d^3sp^3	AX_7	7	пентаг. бипир.	d^0 : (NH_4)_3[ZrF_7], OsF_7 d^1 : OsF_7 d^2 : [V(CN)_7]^{4-} d^3 : [Mo(CN)_7]^{4-} d^4 : [Re(CN)_7]^{4-}		11	AX_{11}	11	квадратная призма с 2 центрированными гранями	[Th (трополонат)_5]^-	
										пентаг. бипир.	[UO_2(C_2O_4)_2]^{2-}	
			7	одношапоччный окт.	 d^0: [NbOF_6]^{3-}					триг. призма с центрированными основаниями и ребрами	LnF_3, UF_3, Th(NO_3)_4 · 5 H_2O	
			7	одношапоччная триг. призма	 d^0: [NbF_7]^{2-}, [TaF_7]^{2-}, LnO(OH), YO(OH)		12	AX_{12}	12	икосаэдр (кубооктаэдр и его гексаг. аналог встречаются в ионных крист.)	La_2(SO_4)_3 · 9 H_2O, [Ce(NO_3)_6]^{3-}, [Th(NO_3)_6]^{2-}, [UO_2(C_2O_4)_3]^{4-}	

ВАЖНЕЙШИЕ ТИПЫ КРИСТАЛЛИЧЕСКИХ СТРУКТУР

Формула		Тип решетки	К. Ч. и многогранник центрального атома	К. Ч. и многогранник лиганда	Стра-ница	Формула		Тип решетки	К. Ч. и многогранник центрального атома	К. Ч. и многогранник лиганда	Стра-ница	
Простые вещества	Cu	куб. пл. упак.	12, кубооктаэдр	—	86	Соединения типа AX₃	FeCl₃	ромбоэдрическая	6, окт.	3, триг. пирамида	91	
	α-Fe	куб. объемно-центрированная	8, куб	—	90		ReO₃	куб.	6, окт.	2, гантель	15	
	Mg	гексаг. пл. упак.	12, гексаг. аналог	—	78		PuBr₃	ромб.	8, искаж. восьмивершинник	{ 3, триг. пирамида 2, угол	34	
	C (алмаз)	куб.	4(= 8-4), тетраэдр	—	54		UCl₃	гексаг.	9, трехшапочная триг. призма	3, триг. пирамида	32	
	C (графит)	гексаг.	3, тр-к	—	54		LaF₃	гексаг.	3(тр-к) + 6(призма) + 2(акс.) = 11	{ 4, тетраэдр 3, тр-к	77	
	P – бел.	куб.	3 (= 8-5), триг. пирамида, ∠ PPP 60	—	40		YF₃	ромб.	9 = 8 + 1	—	77	
	P – черн.	ромб.	3, триг. пирамида	—	40		Coединения типа AX₄	тетраг.	4 (искаж. тетраэдр) + + 4 (мост.) = 8	2, угол	32	
	S₈	ромб.	2 (= 8-6), ∠ SSS 108	—	18		ZrF₄	монокл.	8, антипризма	2, угол	65	
	I₂	ромб.	1 (= 8-7)	—	6		Coединения типа A₂O₃	α-Al₂O₃ (корунд)	ромбоэдрическая	6, искаж. окт.	4, искаж. тетраэдр	70
			K. Ч. = 8–№ гр. (правило Юм-Розери)				Mn₂O₃	куб.	6 (6 вершин куба)	4, тетраэдр	12	
Соединения типа AX	NaCl	куб.	6, окт.	6, окт.	85		La₂O₃	гексаг.	7, одношапочный окт.	4 (= 3 + 1)	77	
	CsCl	куб.	8, куб	8, куб	85	Тройные соединения	MgAl₂O₄ (шпинель)	куб.	Mg – 4, тетраэдр Al – 6, окт.	4, тетраэдр (= 3Al + 1Mg)	70	
	ZnS (сфалерит)	куб.	4, тетраэдр	4, тетраэдр	81		CaTiO₃ (перовскит)	ромб. (псевдокубическая)	Ca – 12, кубооктаэдр (куб из 4 гр. [TiO ₃]) Ti – 6, окт.	2 Ti + 4 Ca (тетраг. бипир.)	65	
	ZnS (вюрцит) = ZnO	гексаг.	4, тетраэдр	4, тетраэдр	81		K₂PtCl₆	куб. (тип. anti- CaF ₂)	K – 12, кубооктаэдр (тетраэдр из 4 гр. [PtCl ₆]) Pt – 6, окт.	2Pt + 4K (тетраг. бипир.)	109	
	NiAs	гексаг.	6, окт.	6, окт.	94		K₂NiF₄	тетраг.	K – 9 Ni – 6, искаж. окт.	2 Ni	95	
	BN	гексаг.	3, тр-к	3, тр-к	69		Гидраты газов 8X · 46H₂O , X = Cl ₂ , H ₂ S, N ₂ O, CO ₂ , CH ₄ , Xe 6X · 46H₂O , X = Br ₂ , SO ₂ , соединения включения в стр. льда		20 H ₂ O, пентагондодекаэдр	—	6	
	PbO	тетраг.	4, тетраг. пирамида	4, тетраэдр	61							
	PtS	тетраг.	4, квадрат	4, тетраэдр	108							
Соединения типа AX ₂	CaC₂	тетраг.	10 и 2, тетраг. пирамиды, сближенные основаниями	5, тетраг. пирамида	79							
	FeS₂ (пирит)	куб.	6, окт.	4, тетраэдр	90							
	CaF₂ (флюорит)	куб.	8, куб	4, тетраэдр	79							
	PbCl₂	ромб.	9, трехшапочная триг. призма	{ 4, тетраэдр 5, пентаг. пирамида	62							
	TiO₂ (рутил)	тетраг.	6, окт.	3, тр-к	65							
	CdI₂	гексаг.	6, окт.	3, триг. пирамида	80							
	CdCl₂	ромбоэдрическая	6, окт.	3, триг. пирамида	80							
	SiO₂ (кристобалит)	куб.	4, тетраэдр	2, гантель	59							
	SiS₂	ромб.	4, тетраэдр	2, угловая, ∠ SiSSi ≈ 100°	59							
	CO₂	куб.	2, гантель	1	55							

ЭФФЕКТИВНЫЕ ИОННЫЕ РАДИУСЫ (r)

Приведенные значения радиусов базируются на $r_{\text{O}^{2-}}$ с К. Ч. 6, равном 1.40 Å, например, в структурах окислов $M^{\text{II}}\text{O}$. Эти величины используются в кристаллохимии при сравнении межатомных расстояний, объемов элементарных ячеек и т. д. В физике твердого тела (при описании диффузии, плотнейшей шаровой упаковке ионов и т. д.) чаще применяются т. н. "кристаллические" радиусы, значения которых на 0.14 Å превышают приведенные в табл.; исключение составляют ионы Γ^- , H^+ , N^{3-} , N^{5+} , \mathcal{E}^{2-} ($\mathcal{E} = \text{O}, \text{S}, \text{Se}, \text{Te}$) и OH^- , радиусы которых на 0.14 Å меньше эффективных ионных (Shannon R.D., Acta Crystallogr., 1976, A32, 751).

ион	К.Ч.	r	ион	К.Ч.	r	ион	К.Ч.	r	ион	К.Ч.	r	ион	К.Ч.	r																						
Ac^{3+}	6	1.12	Bi^{3+}	8	1.17	Cm^{4+}	8	0.95	Co^{2+}	4	0.58	Eu^{2+}	10	1.35	Ho^{3+}	9	1.07	Mn^{4+}	4	0.39	Np^{2+}	6	1.10	Pd^{1+}	2	0.59	Ru^{4+}	6	0.62	Tb^{3+}	6	0.92	12	1.17		
Ag^{1+}	2	0.67	Bi^{5+}	6	0.76	Cm^{4+}	9		Co^{2+}	5	0.67	Eu^{3+}	6	0.95	I^{1-}	6	2.20	Mn^{4+}	6	0.53	Np^{3+}	6	1.01	Pd^{2+}	4	0.64	Ru^{5+}	6	0.56	7	0.98	U^{5+}	6	0.76		
	4	1.00		8	0.96					8	0.74		7	1.01	I^{5+}	3	0.44		4	0.33	Np^{4+}	6	0.87	Pd^{2+}	6	0.86		8	1.04		7	0.84				
	5	1.09	Bk^{3+}	6	0.83					6	0.74		8	1.07		6	0.95		4	0.25	Mn^{6+}	4	0.25	Pd^{3+}	6	0.76	Ru^{7+}	4	0.38							
	6	1.15		8	0.93					8	0.90		8	1.07		6	0.95		4	0.25	Mn^{7+}	4	0.25	Pd^{4+}	6	0.61	S^{2-}	6	1.84	Tb^{3+}	9	1.09	U^{6+}	2	0.45	
	7	1.22	Br^{1-}	6	1.96	Co^{3+}	6	0.61			9	1.12	F^{1-}	2	1.28	I^{7+}	4	0.42		6	0.46	Np^{5+}	6	0.75	Pm^{3+}	6	0.97	S^{4+}	6	0.37		8	0.88		6	0.73
	8	1.28	Br^{3+}	4	0.59	Co^{4+}	4	0.40			3	1.30			6	0.53	In^{3+}	4	0.62		6	0.69	Np^{6+}	6	0.72		8	1.09	Tc^{4+}	6	0.64		7	0.81		
Ag^{2+}	4	0.79	Br^{5+}	3	0.31					6	0.53			3	1.30			6	0.65		6	0.46	Np^{7+}	6	0.71		9	1.14	Tc^{5+}	6	0.60		8	0.86		
	6	0.94	Br^{7+}	4	0.25	Cr^{2+}	6	0.73			4	1.31			6	0.80			4	0.46	Mo^{3+}	6	0.69		6	0.94	Po^{4+}	6	0.94		4	0.37	V^{2+}	6	0.79	
Ag^{3+}	4	0.67		6	0.39	Cr^{3+}	6	0.61			3	1.33			8	0.92			6	0.61	Mo^{4+}	6	0.65		8	1.08	Po^{6+}	6	0.67		6	0.56	V^{3+}	6	0.64	
	6	0.75	C^{4+}	3	0.08	Cr^{4+}	4	0.41			4	0.63			6	0.78			4	0.41	Ir^{3+}	6	0.68		6	1.40	Pr^{3+}	6	0.99		6	0.76	Te^{2-}	6	2.21	
Al^{3+}	4	0.39		4	0.15	Cr^{5+}	6	0.55			6	0.55			6	0.57			6	0.50	Ir^{4+}	6	0.62		8	1.42	Pr^{4+}	6	0.99		6	0.76	Te^{4+}	3	0.52	
	5	0.48		6	0.16	Cr^{5+}	4	0.34			8	0.92			8	0.92			6	0.59	K^{1+}	4	1.37		7	0.73	OH^{-}	2	1.32		8	1.13	Sc^{3+}	6	0.74	
	6	0.53	Ca^{2+}	6	1.00					6	0.49			6	0.49			7	0.73		7	0.73		3	1.34		9	1.18	Se^{2-}	6	1.98					
Am^{2+}	7	1.21		7	1.06	Cr^{6+}	4	0.26			5	0.58			6	1.38			4	1.46	N^{3-}	4	1.46		6	0.85	Pt^{2+}	4	0.60							
	8	1.26		8	1.12	Cr^{6+}	4	0.26			6	0.64			7	1.46			6	0.16	N^{3+}	6	0.16		8	0.96	Se^{4+}	6	0.50							
	9	1.31		9	1.18					6	0.44			8	0.78			9	1.51	N^{5+}	3	0.10		6	0.63	Pt^{4+}	4	0.60								
Am^{3+}	6	0.97		10	1.23	Cs^{1+}	6	1.67							9	1.55			6	0.13	Os^{4+}	6	0.63		6	0.80	Se^{6+}	4	0.28							
	8	1.09		12	1.34					8	1.74			10	1.59			10	1.59	Na^{1+}	4	0.99		5	0.49	Pt^{4+}	6	0.62								
Am^{4+}	6	0.85		4	0.78					9	1.78			12	1.64			5	1.00	Fr^{1+}	6	1.80		6	0.54	Pt^{5+}	6	0.57								
	8	0.95		5	0.87					10	1.81			10	1.81			6	1.03	Ga^{3+}	4	0.47		6	1.02	Os^{7+}	6	0.52								
As^{3+}	6	0.58		6	0.95					11	1.85			7	1.10			7	1.12	Os^{8+}	4	0.39		8	0.96	Pu^{3+}	6	1.00								
	4	0.33		7	1.03					11	1.85			8	1.15			6	0.62	Gd^{3+}	6	0.94		9	1.09	Pu^{4+}	6	0.86								
	6	0.46		8	1.10	Cu^{1+}	2	0.46			12	1.88			7	1.00			9	1.22	Li^{1+}	4	0.59		12	1.64	Os^{4+}	6	0.63							
	6	0.62		12	1.31					4	0.60			10	1.00			10	1.27	Ge^{2+}	6	0.94		12	1.39	Os^{5+}	6	0.57								
At^{7+}	6	0.62		6	1.01	Ce^{3+}	6	0.77			8	1.05			12	1.36			12	1.36	Nb^{3+}	6	0.72		5	0.29	Pt^{4+}	6	0.60							
Au^{1+}	6	1.37				Cu^{2+}	4	0.57			9	1.11			9	1.11																				